

MEMOIRE POUR L'OBTENTION DU DIPLOME D'INGENIEUR 2IE AVEC GRADE DE MASTER

SPECIALITE: GENIE CIVIL & HYDRAULIQUE/ROUTES ET OUVRAGES D'ART

Présenté et soutenu publiquement le 01 Juillet 2019 par

LIONEL TSABDO (N° 20160117)

Travaux dirigés par :

M. MADOUGOU ISSA : Enseignant à 2iE, Département des Sciences et Techniques de l'Ingénieur

M. Benoit MBELE, Ingénieur de génie civil, conducteur des travaux à CETP

SARL, BP: 15094-Yaounde, Email: CETP-142000@yahoo.fr

Jury d'évaluation du stage :

Président: Pr ADAMAH MESSAN

Membres et correcteurs : Dr. DECROLY DJIOUBISSIE

M. PHILBERT NSHIMIYIMANA

Promotion 2018/2019





DEDICACE

À

LA

FAMILLE

TSABDO





CITATIONS

« FAIS DE TA VIE UN RÊVE, ET D'UN RÊVE, UNE RÉALITE »

ANTOINE DE SAINT EXUPERY





REMERCIEMENTS

Mes remerciements vont particulièrement à l'endroit de :

- L'Institut International d'Ingénierie de l'Eau et de l'Environnement (2iE) représenté par son Directeur Général qui n'a ménagé aucun effort pour nous dispenser une formation de qualité;
- Monsieur ISSA MADOUGOU, enseignant au département de Génie-civil et Hydraulique à la Fondation 2iE pour toute sa disponibilité, son encadrement et toute son attention à mon égard;
- Monsieur Augustin MBATAKOU, Directeur Général de la Centrale d'Etude et des Travaux publics (CETP) qui m'a accordé un stage académique au sein de son entreprise et m'a témoigné de tout son soutien;
- Monsieur Benoît OMBA MBELE, Ingénieur de Génie-Civil, conducteur des travaux à CETP pour sa disponibilité et son accompagnement tout au long de la rédaction de ce mémoire;
- Tout le personnel de l'entreprise CETP pour l'accueil chaleureux et leur sens de l'humour qui ont rendu mon séjour en leur sein agréable;
- Toute la famille TSABDO : Je loue ici ce fort esprit de fraternité et de convivialité qui existe parmi nous ;
- A mes amis, notamment Lilian Emeric TCHIPSEE, Aristide MAZABALO, Telesphore TSAPY, Ornella ESSIANE, Justin ZOGANG, Clara DONGMO, Melissa OUEDRAOGO, Carlos KITIO, Alex TONLE pour la considération et les encouragements;
- A tous mes promotionnaires pour leur soutien durant toute la formation à la Fondation 2iE.





RESUME

Le présent mémoire porte sur une étude technique en vue de la réhabilitation de la voie et l'entretien des ouvrages de la Route Nationale N°2 (RN2) dans la région du sud CAMEROUN. Le tronçon concerné est celui situé entre EBOLOWA et AMBAM et a une longueur de 91780 ml. Il a atteint un niveau de dégradation élevé qui nécessite une auscultation de la chaussée ainsi que des ouvrages présents sur le tronçon afin de proposer des solutions techniques et économiques appropriées.

L'objectif de cette réhabilitation est de concevoir un projet répondant aux normes et permettant de supporter le trafic actuel tant pour la structure routière que pour les ouvrages hydrauliques. Des analyses des mesures de déflexion et de l'état superficiel de cette route ont été réalisées afin d'identifier les zones critiques.

Les mesures de déflexions ont été faites à l'aide de la poutre de Benkelman. La méthode rationnelle, de ORSTOM et CIEH nous on permit de déterminer les débits des bassins versant. Et la norme de calcul pour le dimensionnement des ouvrages en béton armé est le BAEL 91 modifié 99. Les études hydrologiques et hydrauliques ont été réalisées. Dans cette rubrique, l'étude hydrologique a permis de délimiter des bassins versants du tronçon étudié et de ressortir les caractéristiques physiques de ces bassins et sous-bassins. Les différents débits de crues ont été calculés. Ces débits varient entre 6,49 à 35,35 m3/s. Par rapport à ces débits, il en ressort que, treize buses (13) sont remplacées par la construction de nouveaux dalots.

Les études géotechniques ont conduit à un renforcement de la structure de chaussée en y ajoutant un revêtement de 05 cm de béton bitumineux comme couche de roulement sous 17 cm grave bitume comme couche de Base pour donner une durée de vie de 15 ans à la route.

Une évaluation environnementale sur les impacts potentiels du projet a été abordée et pour terminer avec une estimation sommaire du coût du projet, sur la base de l'Avant-métré, de 63 139 997 206 toute taxe comprise.

Mots Clés:

- 1 Auscultation
- 2 Dégradations
- 3 Réhabilitation
- 4 Renforcement
- 5 dimensionnement de la chaussée





ABSTRACT

This present graduation thesis is about a technical study for rehabilitation of the way and maintenance of works of the national road N°2(RN°2) in the south region of CAMEROON.

The concerned section is that located between EBOLOWA and AMBAM and has a length of 91780m. It has reached a high level of degradation that requires auscultation of the pavement and also those of the works present on that section in order to propose appropriate technical and economical solutions.

The aim of this rehabilitation is to design project answering to the norms and supporting the actual traffic both for the road structure and for the hydraulic works. Analysis of deflection menses and the superficial state of the road were done in order to identify the critical zones.

Deflection measures were done by the help of the beam of Benkelmen. The rational method of ORSTOM and CIEH permited us to determine the levels of watershed.

And the norm of calculation for the dimensions of the works in reinforcing concrete is the BAEL. 91 modified in 99.

Hydrological and hydraulic studies were done. In this section, hydrological studies made it possible to delimit watersheds of the studied section and to show out the physical characteristics of these basins and sub-basins. The different levels of hollows were calculated .These levels vary between 6.49 and 35.35 m/s . Concerning these levels, it appears that thirteen nozzles (13) are replaced by the construction of new culverts.

Geotechnical studies lead to a reinforcement of the shod structure while adding a coating of 05 cm of bituminous concrete as tread under 17 cm of severe bitumen as base layer to give a life span of 15 years to the road.

An environmental evaluation on the potential impacts of the project were touched on and to round up with a summarized estimation of the cost of the project, based on the front meter of 63139997206 all taxes included.

Key words

- 1 Auscultation
- 2 Degradations
- 3 Rehabilitation
- 4 Reinforcement
- 5 road dimensioning





LISTE DES ABREVIATIONS

2iE: Institut International d'Ingénierie de l'Eau et de l'Environnement

APD: Avant-Projet Détaillée;

BAEL: Béton Armé Aux Etats Limites

BB: Béton Bitumineux;

BCEOM: Bureau Central d'Etude pour les équipements d'Outre-Mer;

CAM: Coefficient D'agressivité Moyenne;

CPC: cahier des prescriptions communes ;

CCTP: cahier des clauses techniques particulières ;

CBR: California Bearing Ratio;

CEBTP: Centre Expérimental De Recherche Et D'études Du Bâtiment Et Des Travaux Publics;

CETP: centrale d'études et des travaux publics ;

CIEH: Comité Inter-Etats Africaines Pour L'hydraulique;

ELU: état limite ultime ;

ELS: Etat Limite De Service;

EIES: études d'impact environnemental et sociale;

FAO: Food and Agriculture Organization;

GLC: Graveleux Latéritique Ciment;

GPS: Global Positioning System;

LNBTP: Laboratoire National De Bâtiment Et Travaux Publics;

LCPC: Laboratoire Centrale Des Ponts Et Chaussées;

MINTP: Ministère des Travaux Publics

NASA: National Aeronautics And Space Admission;

NPL: Nombre De Poids Lourds;

OPM: Optimum Proctor Modifie;

PK : Point Kilométrique ;

RN: Route Nationale;

SRTM: Shuttle Radar Topography Mission

TDR: Termes De Référence;

TMJA: Trafic Journalier Moyen Annuel;

TPL: Total Poids Lourds;

UTM: Universal Transverse Mercator;



LISTE DES TABLEAUX

Tableau 1:adresse de la CETP SARL	3
Tableau 2:déformations et causes	11
Tableau 3:fissurations et causes	12
Tableau 4:arrachements et causes des dégradations	13
Tableau 5:nid de poule et causes des dégradations	14
Tableau 6:Corrélation entre le niveau des dégradations sur un itinéraire et le niveau de	la
déflexion	16
Tableau 7:Mesure de déflexion en fonction de l'état apparent	17
Tableau 8:Détermination du trafic cumulé Tn suivant la méthode CEBTP	19
Tableau 9:Classes de trafic suivant la méthode CEBTP	19
Tableau 10:paramètres géométriques du tracé en plan	
Tableau 11:paramètres géométriques du profil en long	21
Tableau 12:classification de la plateforme	23
Tableau 13:variante proposée en fonction de l'indice de qualité Q5	24
Tableau 14:variante proposée en fonction de l'indice de qualité Q4	
Tableau 15:Caractéristiques des matériaux à utiliser en structure de chaussée à 25°C et	
fréquence de 10 HZ	28
Tableau 16:Déformations de la structure de chaussée	29
Tableau 17:Valeurs admissibles des déformations dans le cas de la variante choisie	31
Tableau 18: Valeurs admissibles des contraintes dans le cas de la variante choisie	31
Tableau 19: comparaison des contraintes et déformations obtenues aux valeurs admissib	oles 32
Tableau 20:Paramètres physiques des bassins versants	37
Tableau 21:Paramètres physiques des bassins versantsErreur! Signet non d	défini.
Tableau 22:Récapitulatif des résultats du calcul des débits par la méthode rationnelle _	41
Tableau 23:récapitulatif du calcul du débit par la METHODE ORSTOM ET CIEH	41
Tableau 24:Récapitulatif des charges permanentes sur la traverse	48
Tableau 25:Récapitulatif des charges permanentes sur le radier	49
Tableau 26:Récapitulatif des charges permanentes sur la traverse	49
Tableau 27:Récapitulatif des charges routières sur la traverse	50
Tableau 28:Récapitulatif des charges routières sur le radier	50
Tableau 29:Résultats du calcul des sollicitations agissant sur le tablier et radier	51





Tableau 30:Résultats du calcul des sollicitations agissant sur les piédroits	_51
Tableau 31:tableau récapitulatif du choix des sections d'armatures	_52
Tableau 32:feuille de calcul des moments fléchissants	_56
Tableau 33:Vérification au non glissement et non poinçonnement	_58
Tableau 34:Récapitulatif des sections d'armatures du mur en aile	_59
Tableau 35:estimation du coût des travaux	_67
Tableau 36:estimation du coût des travaux(suite)	_68
Tableau 37:résultats des mesures de déflexions	_ 72
Tableau 38:illustration de la qualité de la structure de chaussée en fonction de la classe de	e
portance	_ 73
Tableau 39:récapitulatif des indices de qualité de la structure	_74
Tableau 40:moyenne journalière des véhicules	_ 75
Tableau 41:moyenne journalière des poids lourds	_ 75
Tableau 42 :Valeurs des coefficients de ε6, b, SN, Sh, Kc en fonction des couches	
bitumineuses extraits du guide de dimensionnement des chaussées.	_80
Tableau 43:Choix de l'élasticité pour téta équivalent et pour 10° en fonction du type de	
couche bitumineuse issus du guide de conception et de dimensionnement des chaussées	_80
Tableau 44:Coefficient Kc en fonction de la couche bitumineuse	_81
Tableau 45:Coefficient Ks en fonction du module d'élasticité	_82
Tableau 46:Modules d'élasticité des couches de chaussées	_82
Tableau 47:Récapitulatif de l'ensemble des ouvrages sur le tronçon Ebolowa-Ambam	_85
Tableau 48:coefficient de montana	_87
Tableau 49:intensité pluviométrique et hauteur maximale en 24 h avec temps de retour	_88
Tableau 50:Ajustement De Gumbel	_89
Tableau 51:intensité pluviométrique	_89
Tableau 52:intensité pluviométrique durant la période retour dans les principales stations	
météorologiques du Cameroun	_90
Tableau 53 : caractéristiques des bassins versants concernés par la méthode rationnelle.	_90
Tableau 54:Determination du coefficient de ruissellement Kr	_92
Tableau 55:calcul du débit par la méthode ORSTOM	_92
Tableau 56:calcul du débit par la méthode CIEH	_93
Tableau 57:verification entre Vr et Vp et détermination de la section du dalot sur le BV 20	96





Tableau 58:verification entre Vr et Vp et détermination de la section du dalot sur le BV 15 et	
19	96
Tableau 59:Tableau récapitulatif des résultats du calcul des ouvertures	s des différents dalots
	97
Tableau 60:Caractéristiques géométriques des lignes discontinues	129
Tableau 61:Classes de durabilité	130
Tableau 62:sous détails de prix dalot 1,5×1m	133
Tableau 63:sous détails de prix recalibrage cour d'eau	134
Tableau 64:sous détails de prix couche de roulement	134
Tableau 65:sous détails de prix caniveaux bétonnés	135
Tableau 66:sous détails de prix fourniture et pose bordure T	135
Tableau 67:sous détails de prix avaloir	136
Tableau 68:Synthèse des mesures d'atténuation ou de bonification des	impacts pendant la
phase de construction	137
Tableau 69:Synthèse des mesures d'atténuation ou de bonification des	impacts pendant la
phase d'exploitation	138



LISTE DES FIGURES

Figure 1:situation géographique	5
Figure 2:Organigramme de la démarche de l'étude	9
Figure 3:images illustrant des déformations	12
Figure 4:images illustratives des fissures	13
Figure 5:image illustrant des arrachements	14
Figure 6:images illustratives des nids de poule	14
Figure 7:Définition de la charge de référence	27
Figure 8:Morphologie d'un bassin versant	34
Figure 9:bassins versant de notre zone obtenue à partir de Global Mapper®	35
Figure 10:modélisation de l'ouvrage	46
Figure 11:schéma équivalent de chargement	48
Figure 12:Schéma du mur	53
Figure 13:Dimensions du mur en aile	54
Figure 14:bilan des forces appliquées au mur	55
Figure 15:Définition des couches de chaussée Epaisseur-Module de Young-Coeff. Pour	sson 78
Figure 16 : Définition de la structure de chaussée et calcul des déformations	78
Figure 17:Choix du facteur u en fonction du risque r	79
Figure 18:Images illustrant le niveau de dégradations des ouvrages	87
Figure 19:Dalots fonctionnant à sortie libre : Calcul de la profondeur d'eau	94
Figure 20:Dalots fonctionnant à sortie libre : Calcul de la pente critique	94
Figure 21:Dalots fonctionnant à sortie libre : Calcul de vitesse à la sortie	95
Figure 22:Chargement permanent appliqué à l'ouvrage	99
Figure 23:Disposition des roues des deux files de camions sur une travée sous Bc	100
Figure 24:Disposition des roues des deux files de camions sur une travée sous Bt	101
Figure 25:Disposition des roues des deux files de camions sur une travée sous Bc	104
Figure 26:Disposition des roues des deux files de camions sur une travée sous Bt	105
Figure 27:Caractéristiques géométriques des lignes discontinues	129
Figure 28:application de l'enrobé	131





TABLE DES MATIERES

DEDICACE	i
CITATIONS	ii
REMERCIEMENTS	iii
RESUME	iv
ABSTRACT	v
LISTE DES ABREVIATIONS	vi
LISTE DES TABLEAUX	vii
LISTE DES FIGURES	X
TABLE DES MATIERES	xi
INTRODUCTION	1
CHAPITRE 1 : PRÉSENTATION DE LA STRUCTURE D'ACCUEIL ET DE LA ZC D'ÉTUDE	
2	2
I. PRESENTATION DE LA STRUCTURE D'ACCUEIL	2
1. HISTORIQUE, MISSION ET DOMAINES ACTIVITES DE CETP SARL	2
2. STRUCTURE ET MISSIONS DE LA CETP SARL	2
3. DOMAINES D'ACTIVITÉS	3
II. CONTEXTE ET PROBLEMATIQUE DE L'ETUDE	3
1. PRÉSENTATION DU CADRE DE L'ETUDE	
2. OBJECTIF DE L'ÉTUDE	7
3. DESCRIPTION DE L'ETAT ACTUEL DU SITE	8
III. METHODOLOGIE ADOPTEE POUR L'ETUDE	8
CHAPITRE 2 : DIAGNOSTIC ET ETUDES PRELIMINAIRES	10
I. STRUCTURE DE CHAUSSEE EXISTANTE	10
II. ÉTUDE GEOTECHNIQUE	10
1. EVALUATION DE L'ÉTAT DE LA CHAUSSÉE ET ETUDE DU TRAFIC	10
1. ÉTUDE DU TRAFIC	18
CHAPITRE 3 : RE-CONCEPTION GEOMETRIQUE DE LA ROUTE	20
I. TRACE EN PLAN	20
II. PROFIL EN LONG	20
III. PROFIL EN TRAVERS TYPE	
CHAPITRE 4 DIMENSIONNEMENT DE LA CHAUSSEE	
1. CLASSE DE TRAFIC	22







2.	METHODE DE DIMENSIONNEMENT	22
3.	EVALUATION DE LA PORTANCE DE LA CHAUSSEE	23
4.	MATERIAUX DISPONIBLES	23
5.	DETERMINATON DES VARIANTES	24
6.	VERIFICATION THEORIQUE DES CONTRAINTES DANS LE CORPS DE CHAUSSEE	25
7.	DEFINITION DU CORPS DE CHAUSSEE	26
8.	DEFINITION DES CHARGES AGISSANTES	26
9.	CARACTERISATION DES MATERIAUX	27
10	. DETERMINATION DES DEFORMATIONS ET CONTRAINTES ADMISSIBLES	28
11		
AI	DMISSIBLES	31
CHAPI	TRE 5 ASSAINISSEMENT DE LA ROUTE	33
I.	ÉTUDES HYDROLOGIQUES	33
1.	LA PLUVIOMETRIE	33
2.	LES BASSINS VERSANTS	33
II.	LES METHODES DE DETERMINATION DES DEBITS DE PROJETS	38
1.	METHODE RATIONNELLE	38
2.	METHODE ORSTOM	39
3.	METHODE CIEH	40
4.	METHODE DE GRADEX	40
III.	CALCUL DES DEBITS PAR LA METHODE RATIONNELLE	41
IV.	CALCUL DU DEBITS DU BASSIN VERSANT 20 PAR LES METHODES	
ORS	TOM, CIEH ET DE GRADEX	41
V.	ÉTUDES HYDRAULIQUES	41
CHAPI	TRE 6 : ETUDE STRUCTURAL DU DALOT (BASSIN VERSANT 20)	44
I.	HYPOTHESE DE BASE	
1.	REGLEMENTS ET INSTRUCTIONS	44
2.	CARACTERISTIQUE DES MATERIAUX	44
3.	CARACTERISTIQUE GEOMETRIQUE DE L'OUVRAGE	45
4.	METHODE DE CALCUL DES SOLLICITATIONS	46
II.	ÉVALUATION DES CHARGES APPLIQUEES SUR L'OUVRAGE	48
1.	CHARGES PERMANENTES	48
2.	CHARGES D'EXPLOITATION	49
III.	CALCUL DES EFFORTS ET SOLLICITATIONS	50
1.	RÉSULTATS DU CALCUL DES SOLICITATIONS	50
2.	CALCUL DES SECTIONS D'ARMATURES	52





IV.	CALCUL DU MUR EN AILE	53
1.	PREDIMENSIONNEMENT DES EPAISSEURS	53
2.	HYPOTHESES DE CALCUL DU MUR EN AILE	55
3.	EVALUATION DES FORCES ET MOMENTS APPLIQUÉES AU MU	55
4.	VÉRIFICATION DE LA STABILITÉ DU MUR	56
5.	CALCUL DES SECTIONS D'ACIER ET FERRAILLAGE DU MUR	59
6.	PLANS D'EXECUTION	59
CHAPIT	TRE 7 : ETUDE D'IMPACT ENVIRONNEMENTALE ET SOCIALE	60
I. (CADRE LEGISLATIF ET REGLEMENTAIRE	60
		т.
	DENTIFICATION ET ANALYSE DES IMPACTS ENVIRONNEMENTAUX E	
SOCI	AUX	61
1.	PENDANT LA PHASE DE PLANIFICATION ET D'INSTALLATION DE CHANTIER	61
2.	PENDANT LA PHASE DE CONSTRUCTION	61
3.	PENDANT LA PHASE D'EXPLOITATION	63
III.	MESURES D'ATTENUATION PRECONISEES	63
1.	PHASE DE CONSTRUCTION	63
2.	PHASE D'EXPLOITATION	64
IV.	SURVEILLANCE ET SUIVI ENVIRONNEMENTAL	65
CHAPI	TRE 8 AVANT METRE ET ESTIMATION DES COUTS DU PROJET	66
CONCL	USION ET RECOMMANDATIONS	69
BIBLIO	GRAPHIE	70
ANNEX	TEC	71





INTRODUCTION

La conception et la réalisation d'un projet routier peut prendre des mois et même des années mais en revanche son entretien portera sur des décennies et même plus. En effet aucune route n'est éternelle et à peine achevées, les routes commencent à se dégrader sous l'effet conjugué du trafic et de l'action de l'eau. Ainsi seul une surveillance attentive et un entretien constant permettent de maintenir la route dans un bon état de praticabilité.

Certaines routes revêtues du réseau routier camerounais présentent des dégradations de grandes ampleurs, tel que les nids de poules, les fissurations et bien d'autres. La structure de la chaussée ne parvient plus à supporter les sollicitations dues au trafic de plus en plus croissant ; le système de drainage et tous les ouvrages annexes ne cadrent plus avec les normes établies au moment de la conception.

C'est pour cette raison que depuis un certain temps, le Ministère des Travaux Publics, en charge du réseau routier au Cameroun, organise plusieurs campagnes de réhabilitation de certains axes routiers parmi lequel celle de la section de la route national N°2 plus précisément le tronçon entre Ebolowa et Ambam qui va du PK 0+00 au PK91+078. Pour la réhabilitation de cette route, les études techniques ont été menées avec beaucoup de précisions ; d'où le thème « Etudes Techniques Détaillées Des Travaux de réhabilitation De La Route Nationale N2 : « Cas Du Tronçon Ebolowa-Ambam » (91780 ml) : Région Du Sud - Cameroun »

Pour mener à bien cette étude, en complément de cette introduction et de la conclusion, notre travail sera subdivisé en huit (08) chapitre ;

- Le premier chapitre portera sur la présentation de la structure d'accueil et de la zone d'étude ;
- Le deuxième chapitre s'attardera sur les diagnostics et études préliminaires ;
- Le troisième chapitre portera sur la re-conception géométrique de la route ;
- Le quatrième chapitre est axé sur le dimensionnement de la chaussée ;
- Le cinquième chapitre portera l'assainissement de la route ;
- \triangleright Le sixième chapitre portera sur l'étude structural d'un dalot $2\times4\times3$;
- Dans le septième chapitre, il sera question de déceler les impacts positifs et négatifs générés par le projet et enfin proposer des mesures d'atténuations.





CHAPITRE 1 : PRÉSENTATION DE LA STRUCTURE D'ACCUEIL ET DE LA ZONE D'ÉTUDE.

La formation d'un ingénieur à l'Institut International d'Ingénierie de l'Eau et de l'Environnement (2iE) de Ouagadougou au Burkina Faso est sanctionnée par un stage de fin de formation devant permettre à l'élève ingénieur d'asseoir les compétences acquises sur un projet concret, en lien étroit avec la formation théorique reçue. Ledit stage permet également de se confronter au monde professionnel dans lequel l'apprenant est appelé à évoluer. Dans cette optique, j'ai été accueilli par l'entreprise Centrale d'Etudes et de Travaux publics (CETP Sarl) afin de mener une étude technique détaillée des travaux de réhabilitation de la routes nationale N2 : « cas du tronçon Ebolowa-Ambam » (9178 ml), région du Sud-Cameroun.

I. PRESENTATION DE LA STRUCTURE D'ACCUEIL

1. HISTORIQUE, MISSION ET DOMAINES ACTIVITES DE CETP SARL

a) HISTORIQUE DE LA CETP SARL

CETP Sarl est une entreprise de construction fondée en 1999 par Monsieur Augustin MBATAKOU, un entrepreneur camerounais occupant actuellement le poste de président directeur général. Dans un premier temps, il commence ses activités dans l'électricité uniquement dans la ville de Yaoundé, puis évolue parallèlement dans la signature des contrats de travaux publics avec la Communauté urbaine de Yaoundé (CUY); le Ministère de l'Habitat et du Développement urbain (MINDUH) puis le Ministère des Travaux publics (MINTP). Depuis sa création, CETP SARL bénéficie de la confiance des pouvoirs publics et des Organisations Non Gouvernementales (ONG). Ce qui expliquerait l'envergure de ses prestations avec ces entités publiques et privés.

2. STRUCTURE ET MISSIONS DE LA CETP SARL a) STRUCTURE

CETP SARL dispose de plusieurs employés toutes catégories confondues (hommes, femmes). L'administration de la CETP **SARL** se compose de globalement de la manière suivante :

- > Un Direction Générale ;
- ➤ Une direction associée aux chantiers où sont exécutées les projets.





🖶 Adresse de la CETP SARL

Elle se résume dans le tableau1.

Tableau 1:adresse de la CETP SARL

CETP SARL			
BP	15094-Yaounde		
Tél	(+ 237) 222233671		
Email	CETP-142000@yahoo.fr		
Situation	ESSOS, Rue 1,367, Yaoundé		
	Cameroun		

SOURCE: Entreprise CETP

b) MISSIONS DE CETP SARL

CETP Sarl a pour mission de contribue à l'économie du Cameroun en créant de la valeur ajoutée et en générant des emplois. Ainsi, ses objectifs sont de :

- Contribuer au développement économique des villes du Cameroun ;
- Contribuer à l'amélioration des conditions de vie et de bien-être des populations ;
- Fournir des services de qualité afin d'être le leader dans son domaine d'activité à savoir le génie-civil. Il est capable de s'occuper de bout en bout, quel que soit la provenance, de la destination de d'ouvrage de génie-civil et d'électricité, notamment en travaux publics en vue de satisfaire sa clientèle ; etc.

3. DOMAINES D'ACTIVITÉS

Comme activités exercées par la CETP Sarl, nous pouvons citer :

- Les travaux publics en général ;
- La construction des bâtiments ;
- La réalisation des travaux d'électricité basse et moyenne tensions (sous-traitant ENEO, entreprise publique en charge de la distribution de l'énergie électrique au Cameroun).

II. CONTEXTE ET PROBLEMATIQUE DE L'ETUDE

Dans le cadre de la mise en œuvre de la politique des grandes réalisations prônée par le Président de la République du Cameroun Paul Biya et qui tire ses origines dans le Document de Stratégie pour la Croissance et l'Emploi (DSCE) à l'horizon 2035, le gouvernement a engagé depuis 2011, un vaste programme de construction et de réhabilitation des infrastructures ayant





un impact significatif sur l'amélioration des conditions de vie des populations. Parmi les projets phares, on peut citer entre autres :

- a) La construction du barrage de Memve'ele et de Mékin dans la région du Sud ;
- b) La construction du barrage hydroélectrique de Lom Pangar;
- c) La construction de l'autoroute Yaoundé-Nsimalen;
- d) La construction de l'autoroute Yaoundé-Douala pour relier entre elles les deux grandes métropoles du pays ;
- e) La construction du second pont sur le Wouri dans la région du Littoral, etc.

Dans la même lancée, le gouvernement finance les programmes participant à la modernisation des infrastructures de transport et de l'amélioration de la circulabilité et des conditions de sécurité sur les routes du pays. L'initiative rentre dans le cadre de la mise en œuvre de la politique des grandes réalisations pilotée par le Président de la République et s'impose de ce fait comme une exigence forte dans un environnement caractérisé par la volonté des pouvoirs publics d'améliorer les conditions socio-économiques des populations.

Les voies concernées dans ce programme se trouvent sur différents types de routes du Cameroun (routes classées, voies urbaines).

Le projet vise à :

- f) Améliorer significativement le confort et les services des axes routiers sur le territoire national ;
- g) Améliorer la fluidité de la circulation, en particulier le transport des biens et des personnes sur toute l'étendue du territoire national.

C'est ainsi que l'Etat a lancé en 2015 les travaux de construction de certaines routes du sud Cameroun, tels les tronçons routiers Ebolowa-Akom II-Kribi et Mengong-Sangmelima et la réhabilitation du tronçon routier Ebolowa-Ambam.

Ainsi donc, l'entreprise CETP SARL a été désignée pour la réalisation du marché N° 275/M/MINTP/CMPM-TI/2017 du 13 avril 2017 en procédure d'urgence pour l'exécution des travaux de réhabilitation des routes limites Sud-Sangmelima, Ebolowa-Nkoemvon et Nkoemvon-Ambam, lot 3-SU/17.

1. PRÉSENTATION DU CADRE DE L'ETUDE a) LOCALISATION DE LA ZONE DU PROJET

Le projet est localisé au Cameroun qui est un pays de l'Afrique Centrale, avec une superficie d'environ 475 650 km² et de 23 248 044 habitants en 2017 (selon





PopulationData.net). Il est organisé en 10 (dix) régions donc la région du Sud, avec Ebolowa pour chef-lieu, 58 départements ,360 arrondissements et 360 communes (d'après le décret n°2008/376). Le site du projet se situe proprement dite entre EBOLOWA ET AMBAM dans la région du sud, plus précisément dans les départements de la MVILA (chef-lieu Ebolowa) et la vallée-du-ntem (chef-lieu Ambam). Il se situe entre les latitudes 2°54 '36' ' et 3°19'31'' N et les longitudes 11°8'55'' et 11°16 ' 12' '

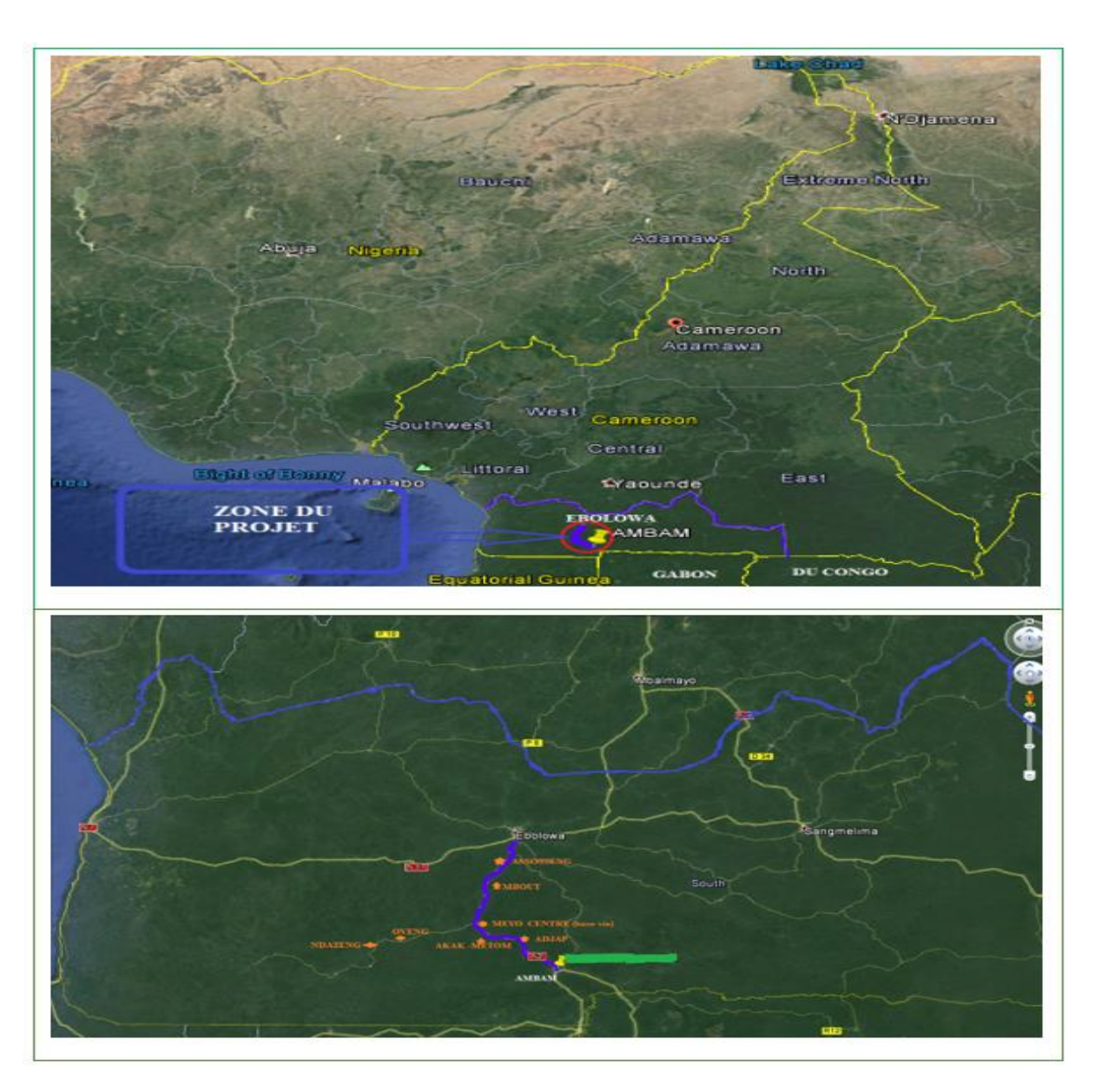


Figure 1: situation géographique

Source: GOOGLE EARTH 7.1.8.3036 du 1/17/2017(date de capture 5/06/2019 à 14H)





b) CADRE PHYSIQUE DE LA ZONE D'ETUDE LE CLIMAT

La zone de projet est soumise dans son ensemble à l'influence d'un climat équatorial humide à deux saisons de pluies et de deux saisons sèches. Au cours de l'année, les saisons se succèdent de la manière suivante :

- La grande saison des pluies de septembre à novembre ;
- La grande saison sèche de décembre à mars ;
- La petite saison des pluies d'avril à mai et
- La petite saison sèche de juin à août.

Les précipitations annuelles moyennes se situent entre 1800 mm et 2600 mm Elles se singularisent par l'existence d'une végétation évolutive du Nord au Sud allant de la forêt semi-décidue (forêt caractérisée par la présence d'une majorité d'arbres dont les feuilles, caduques, tombent au rythme des saisons) à la forêt dense humide. L'humidité relative moyenne annuelle est élevée (supérieure à 80%). La température moyenne est de l'ordre de 24,50°C par an.

(Source: carte communale du Cameroun 2008).

♣ L'HYDROGRAPHIE

La zone du projet est caractérisée par un réseau hydrographique particulièrement dense et constitué de grandes rivières et de ruisseau dont les plus importantes sont visible le long des axes routiers à savoir : la MEMOUGOU, la SOUMOU, ADJAP, OTONG NKOULOU, MEMOU'OU, AKONLO'O, SENG ; OTO OKOUK, OTO MBA, MONE MEMOU'OU, etc.

LE RELIEF

La zone de projet est une vaste pénéplaine appartenant au plateau sud-camerounais et dont l'altitude varie entre 400-900m. Les collines sont séparées de vallées qui servent de lits à la plupart des rivières qui se jettent dans les fleuves Ntem, Mboro, Sanaga et Sangha. Le plateau sud-camerounais s'étend sur 600 km d'Ouest en Est de Yaoundé et Ebolowa jusqu'au-delà de Berbérati en Centrafrique. Vers le nord, il est limité par les contreforts (chaîne de montagnes latérales) de l'Adamaoua avec des escarpements (versants en pente raide) de 200 à 400 m à l'Ouest. Au Sud, le plateau déborde largement sur le Gabon. Au Sud-Est, ce plateau s'incline en pente douce et se limite par la cuvette congolaise à environ 350m d'altitude.





LA FLORE ET FAUNE

La végétation est celle de forêt dense équatoriale. Elle appartient aux formations mixtes semi caducifoliées toujours vertes, présentant des faciès de dégradation le long de la route à cause de l'occupation et des activités humaines (habitations, cultures de proximité et réseaux de pistes). Elle est essentiellement constituée de jachères (jeunes ou anciennes), d'une forêt secondaire et d'une forêt primaire dégradée selon qu'on évolue en profondeur. A l'intérieur de celle-ci. Les jachères (terres forestières dégradées) sont aux abords de la route et des zones de cultures et d'habitation. Les forêts marécageuses longent les cours d'eau. La forêt regorge d'une diversité d'essences ainsi que de nombreux produits forestiers non ligneux.

La faune domestique est composée de chiens, chats, chèvres, moutons, porcs, poulets, canards qui sont élevés en divagation. La faune sauvage est surtout constituée du petit gibier regorgeant des animaux tels que les lièvres, les chats tigres, les porcs épics, les hérissons, les singes, les biches, les vipères, les rats palmistes, les varans etc. Les zones de pêche que sont les cours d'eau regorgent du poisson, des crevettes et des crabes.

2. OBJECTIF DE L'ÉTUDE a) OBJECTIFS GÉNÉRAL

L'objectif général de la présente étude est de de proposer une étude technique détaillée ainsi que la méthodologie d'exécution des tâches dans le cadre de la réalisation des travaux de réhabilitation de la route nationale N°2 plus précisément sur le tronçon de route EBOLOWA-AMBAM

b) OBJECTIFS SPÉCIFIQUE

Les objectifs spécifiques visent à :

- Faire une évaluation technique de l'état de la route actuelle ;
- Déterminer et faire une étude spécifique des zones à mauvaises déflexions ;
- Proposer la meilleure solution de renforcement sur le plan technique et économique;
- Mener des études devant aboutir au choix de la zone d'implantation des ouvrages d'hydraulique;
- Proposer un plan de gestion environnemental et social;





3. DESCRIPTION DE L'ETAT ACTUEL DU SITE

L'état actuel du tronçon se caractérise par les aspects suivants :

- Niveau de dégradation avancée des ouvrages hydrauliques et de la chaussée ;
- Plusieurs buses ne parviennent plus à drainer les débits eaux et nécessitent d'être remplacées par des ouvrages adéquats ;
- Le long du tronçon, on peut observer des dalots et buses en bonne état nécessitant des opérations de curage afin de retirer les débris qui font obstruction à l'écoulement des eaux ;
- La majorité de la zone du projet nécessite des opérations de débroussaillage et d'élagage des herbes et arbres qui empiètent d'une part l'emprise de la chaussée et gênent la visibilité des usagers et d'autre part couvrent partiellement ou totalement la signalisation verticale presqu'inexistante.

III. METHODOLOGIE ADOPTEE POUR L'ETUDE

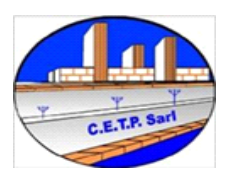
La méthodologie de l'étude se présente comme suit :

A partir des études de déflexion menées sur l'ensemble du tronçon, notre travaille consiste dans un premier temps à déterminer les valeurs de portance ainsi que la qualité de la structure afin de proposer une solution de renforcement économique et durable suivant la méthode et recommandation du CEBTP-LCPC.

Par la suite, il sera question de mener un diagnostic des ouvrages d'arts et hydrauliques présents dans la zone d'étude et par la suite faire des études hydrologiques suivies du dimensionnement d'un dalot.

L'ouvrage de franchissements (dalots) a une conception qui obéit à celle d'un pont cadre. La détermination des sections hydrauliques passe par la caractérisation du bassin versant afin d'en trouver le débit à évacuer. La détermination de ce débit sera faite par la méthode **ORSTOM**, **CIEH** et la méthode **RATIONNELLE**. Une fois le débit déterminé, nous déterminerons la section hydraulique optimale qui nous conduira à la détermination des sections d'armatures suivant les règles du BAEL 91 modifié 99 (béton armé aux états limites). La figure 2 récapitule l'essentiel de la démarche.





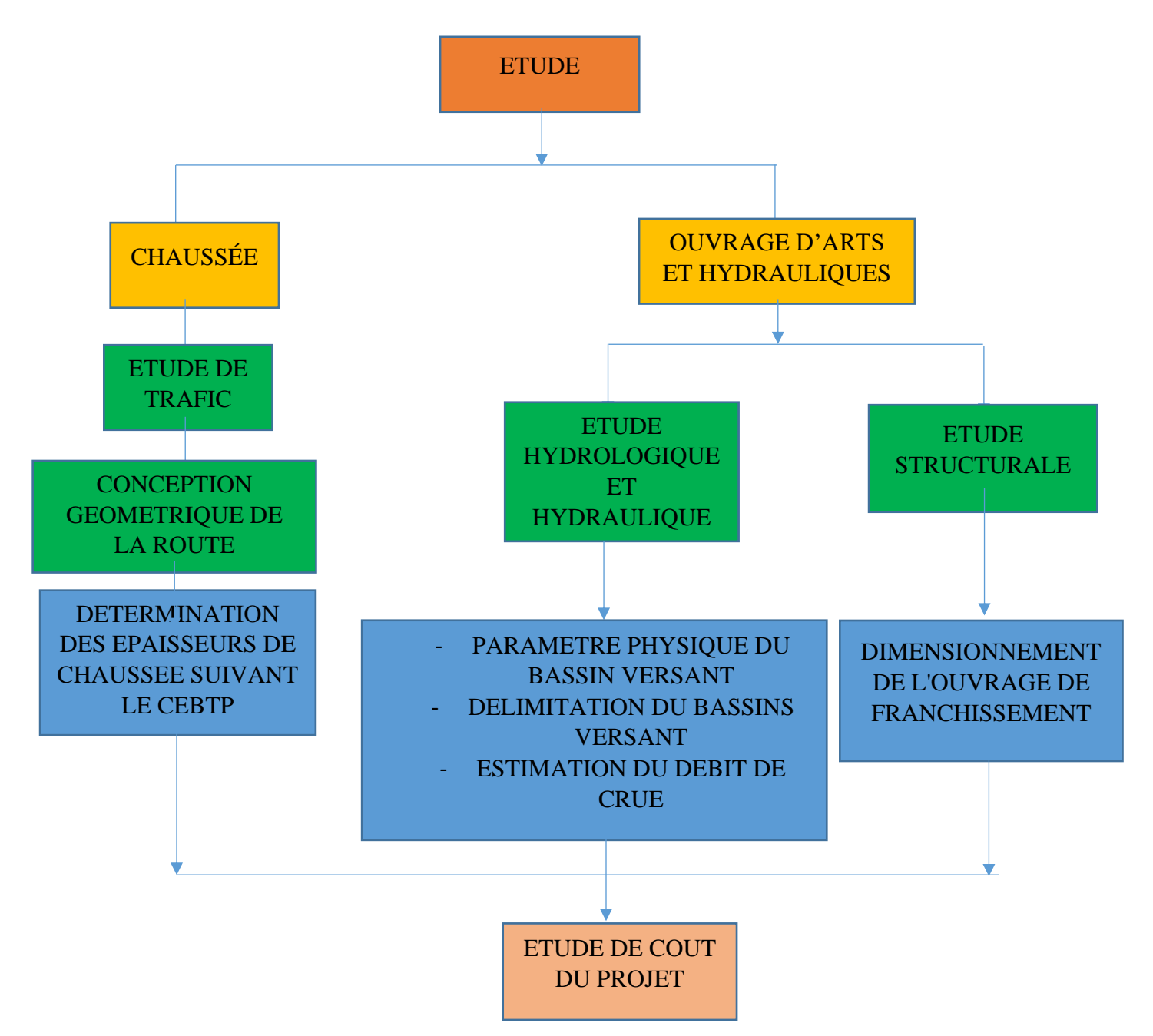


Figure 2:Organigramme de la démarche de l'étude





CHAPITRE 2 : DIAGNOSTIC ET ETUDES PRELIMINAIRES

I. STRUCTURE DE CHAUSSEE EXISTANTE

L'auscultation de la route existante nous a montré la structure de chaussée suivante :

- Couche de roulement : enduit superficiel bicouche ;
- Couche de base : Grave concassé 0/31,5 de 20 cm ;
- Couche de fondation : grave latéritique naturelle de 25cm ;
- Sol support ou plateforme.

La géométrie de la route se présente ainsi qu'il suit :

- Largeur du revêtement : 7,00 m (1×2 voies de 3,5 de largeur) ;
- Largeur des accotements : $2 \times 1,00$ m.

II. ÉTUDE GEOTECHNIQUE

La connaissance des caractéristiques mécaniques et physiques du sol en place revêt une importance capitale pour tout ouvrage de génie-civil. Son comportement en dépend dans le cadre de ce projet. Une campagne de reconnaissance géotechnique du sol a été réalisée et avait pour objectif principal :

- L'évaluation de l'état et de la portance de la chaussée ;
- L'étude des matériaux de la plateforme ;
- L'analyse des résultats des essais sur les matériaux de la plateforme ;
- La proposition des diverses solutions (renforcement, reconstruction, traitement etc.);
- L'étude des sols de fondation des principaux ouvrages d'hydraulique.

Il sera question dans cette étude, d'exploiter et d'analyser les résultats des essais géotechniques et des mesures de déflexions afin de proposer des solutions capables de pallier le problème de dégradation de la chaussée.

1. EVALUATION DE L'ÉTAT DE LA CHAUSSÉE ET ETUDE DU TRAFIC

Cette partie concerne essentiellement l'état de la chaussée sur le tronçon réservé à CETP Sarl. Pour réaliser le diagnostic de l'itinéraire Ebolowa-Ambam, nous avons, en premier lieu, mené trois types d'investigations qui sont :





- La reconnaissance visuelle des dégradations qui permet d'évaluer la gravité des désordres actuels de la route ;
 - Une campagne de mesure de déflexions tous les 100 m en quinconce sur toute la longueur de l'itinéraire, en vue de quantifier sa déformabilité;
 - Une série de sondages au pénétromètre dynamique qui donneront des renseignements sur la structure en place, c'est-à-dire la nature et l'épaisseur des différentes couches de chaussée.

Les résultats de ces investigations seront utilisés pour déterminer les méthodes de renforcement adaptées aux problèmes à résoudre.

a) DIAGNOSTIC VISUEL ET CAUSES DES DÉGRADATIONS SUR LA CHAUSSÉE

Lors de notre campagne d'étude, nous avons procédé aux relevés des dégradations de la chaussée par observation visuelle en continu le long de l'itinéraire. L'objectif de cette phase était d'avoir plus des données sur les différents tronçons afin de proposer des solutions de renforcement ou d'amélioration de la chaussée. Nous avons relevé trois types de dégradations : les déformations de chaussée, les fissures et faïençages, les arrachements et nids de poule. Les dégradations ont été classées selon leur type tout en énumérant les causes qui ont engendré ces dégradations.

• Les déformations : celles-ci sont regroupées dans le tableau 2.

Tableau 2:déformations et causes

Dégradations	Origines et causes
	Trafic élevé
Déformation :	Conditions climatiques
C'est la flexion des couches	Mauvaise mise en oeuvre
de la structure d'une chaussée	Mauvais système
sous l'effet des charges	d'assainissement
roulantes	Chocs dus aux accidents





Les figures 3,4,5 et 6 illustrent les déformations visualisées dans la zone d'étude.





Figure 3:images illustrant des déformations

• Les fissures : celles-ci sont regroupées dans le tableau3.

Tableau 3:fissurations et causes

Dégradations	Causes	
	Trafic élevé	
Fissure :	Conditions climatiques	
La fissure est un « défaut » ou	Mauvaise mise en œuvre	
une Discontinuité brutale	Mauvaise qualité des	
apparaissant sur la chaussée	matériaux	
	Insuffisance et mauvaise	
	qualité des matériaux	
	Qualité des sols	

Les fissures sont observées sur l'ensemble de l'itinéraire. Elles sont généralement associées à des ornières qui en règle générale évoluent vers les nids de poule. Les figures 3 cidessous illustrent les fissures visualisées dans notre zone d'étude.









Figure 4:images illustratives des fissures

Source photographique :20 MARS 2019

• Les arrachements : ceux-ci sont regroupés dans le tableau 4.

Tableau 4:arrachements et causes des dégradations

Dégradations	Causes
	Trafic élevé
Arrachement: absence	Conditions climatiques
localisée ou arrachement des	Mauvaise mise en œuvre
matériaux par plaque laissant	Mauvaise qualité des matériaux
apparaître la couche inférieure	Qualité insuffisante de liant
ou l'imprégnation.	Insuffisance et mauvaise qualité
	des matériaux
	Mauvais système
	d'assainissement

La figures 5 illustre les arrachements visualisés dans notre zone d'étude.



Memoire De Fin D'étude



Figure 5:image illustrant des arrachements

Source photographique: 20 MARS 2019

• Nid de poule : ceux-ci sont regroupés dans le tableau 5.

Tableau 5:nid de poule et causes des dégradations

Dégradations	Causes
Nid de poule : cavité dans la chaussée aux bord	Trafic élevé
découpés qui se crée lorsque le revêtement	Conditions
s'effrite et que les matériaux constitutifs du	climatiques
revêtement se dispersent.	Mauvais système
	d'assainissement

Les figures 6 illustrent les nids de poule visualisés dans notre zone d'étude.





Figure 6:images illustratives des nids de poule

Source photographique: 20 MARS 2019

b) DIAGNOSTIC VISUEL SUR LES OUVRAGES D'ARTS ET HYDRAULIQUES

Cette partie concerne l'inspection des ouvrages d'arts et hydrauliques en vue de la réhabilitation de la route Ebolowa-Ambam. Il sera question de faire le diagnostic des ouvrages d'art et des ouvrages hydrauliques. Ensuite, nous présenterons les actions à entrevoir et les travaux à envisager pour la réhabilitation de ces ouvrages.





Diagnostique Des Ouvrages D'art Et Hydraulique Existant

Pour mener à bien notre étude, nous avons procédé aux relevés des dégradations des ouvrages d'art et des ouvrages hydrauliques par observation visuelle en continu le long de la chaussée. L'objectif de cette phase était d'avoir plus des données sur les différents tronçons afin de proposer des solutions de réparation ou d'entretien.

\$\infty\$ SUR LES DALOTS, BUSES

Les analyses visuelles nous ont permis d'inventorier un certain nombre d'anomalies à savoir :

- L'envasement, l'ensablement et l'obstruction par des débris et la broussaille ;
- L'érosion du lit à la sortie des dalots et buses ;
- Le tassement et les fissures ;
- Les buses métalliques attaquées par la rouille.

SUR LES PONTS

Nous avons noté les anomalies ci-après :

- Manque de signalisation routière ;
- État de dégradations avancé des rampes d'accès et garde-corps ;
- Envahissement par la broussaille.

Les ouvrages existants ainsi que leurs localisations sont récapitulés dans le tableau 48 page 85.

LES TRAVAUX A ENVIGASER POUR LA RÉHABILITATION DES OUVRAGES D'ART

Les travaux envisagés pour la réhabilitation des ouvrages d'arts sont définis comme suit :

- Traitement de l'usure et nettoyage des parements ;
- Pose des grilles à l'entrée des buses et des dalots ;
- Remplacement de certaines buses métalliques par des buses en béton ;
- Remplacement de certaines buses par les dalots.

SUR LES PONTS

Les travaux envisagés pour la réhabilitation des ouvrages d'arts sont définis comme suit :

- Le nettoyage en surface des piles et des culées ;
- Le désherbage des bordures pour certains ponts ;
- Le remplacement des garde-corps (Type T2) au niveau des tabliers de certains ouvrages d'art ;
- Refaire la signalisation horizontale et verticale ;
- Appliquer une couche de peinture anticorrosive sur les garde-corps.





c) ANALYSE DES MESURES DE DEFLEXION SUR LE TRONCON ROUTIER

La valeur de la déflexion est sensible à l'environnement géologique et climatique et à la nature des matériaux constituant les chaussées et leurs supports. Une fois les conditions de mesure définies, on cherche à établir la corrélation entre le niveau des dégradations sur un itinéraire ou sur l'ensemble de l'itinéraire et le niveau de la déflexion. L'exploitation statistique de ces deux paramètres pour un réseau situé dans une unité géologique et climatique donne les valeurs des seuils de déflexion critiques :

- d1 : valeur au-dessous de laquelle on considère que la structure se comporte d'une façon satisfaisante ;
- d2 : valeur au-dessus de laquelle on considère que la structure présente de sérieux défauts de portance.

D'où la représentation schématique6.

Tableau 6: Corrélation entre le niveau des dégradations sur un itinéraire et le niveau de la déflexion

Déflexion	Faible	1 1 d	2 Forte
Portance	Elevée		Faible
Qualité des structures	Bonne	Douteuse	Mauvaise

Source : Manuel pour le renforcement des chaussées souple en pays tropicaux, Mai 1985

RESULTATS DES MESURES DE DEFLEXION

Les mesures de déflexion ont été réalisées par le laboratoire BRECG a l'aide de la poutre Benkelman par l'entre axe des deux roues jumelées du camion chargé à 13 tonnes à l'arrière et dont la pression de gonflage des pneus est de 7 bars. Les mesures ont été réalisées avec un pas de 100 m côté droit et gauche et à l'axe de la route. Les résultats ont été subdivisés en sections « homogènes » avec calcul de : moyenne, écart - type et déflexion caractéristique D90 par section.

 $D90 = Dmoy + 1.3\partial$ Où:

Dmoy est la moyenne des valeurs sur la section considérée

∂ : est l'écart type des déflexions sur la section considérée





D90 est déflexion caractéristique correspondant à une probabilité de risque de dépassement de 10%.

Les résultats sont présentés dans le tableau 38 en annexe I page 72 :

Les classes de déflexion varient de d 4 à d 6 et sont reparties de la manière suivante :

- 2 sections de classe d4 (3,10);
- 5 sections de classe d5 (4, 5, 6, 7, 11);
- 4 sections de classe d6 (1, 2, 8, 9);

Il convient de noter que, Illustration de la qualité de la structure de chaussée en fonction de la classe de portance montre que la majeure partie de l'itinéraire Ebolowa – Ambam présente une déflexion forte et donc une portance faible. La qualité de la structure est donc mauvaise sur presque tout l'itinéraire. Les détails sont répertoriés dans le tableau 39 en ANNEXE I page 73.

d) EXPLOITATION DES RESULTATS DE DEFLEXION ET DE DEGRADATIONS

La méthode de détermination de la qualité apparente de la chaussée utilisée est la méthode du « *Manuel pour le renforcement des chaussées souple en pays tropicaux* » (CEBTP LCPC, mai 1985) dont les principes préconisent que la qualité (Qi) de la chaussée est déterminée par le couple (déflexion, état apparent de la structure). Chaque valeur de Qi correspond à une solution de remise en état comme présenté dans le tableau 7. (i) varie de 1 à 5 comme indiqué.

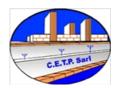
Tableau 7:Mesure de déflexion en fonction de l'état apparent

<u>Déflexion</u> Etat apparent	Faible		Elevée	
Bon 1	Q1	Q2	Q3	
	ENTRETIEN	ENTRETIEN		
Fissuré non déformé 2 - 3	Q2	Q3	Q4	
r issure non deforme 2 - 3	ENTRETIEN	Ų3	RENFORCEMENT	
Déformé et fissuré 4 - 7	Q3	Q4	Q5	
Deforme et fissure 4 - 7		RENFORCEMENT	RENFORCEMENT	

<u>SOURCE</u>: Manuel pour le renforcement des chaussées souple en pays tropicaux » (CEBTP LCPC, Mai 1985).

Il apparaît, au regard de la grille ci-dessus, que l'itinéraire Ebolowa-Ambam d'indice de surface compris entre 4 à 6, donc déformé et fissuré et d'indice de qualité très majoritairement Q4 à Q5, devrait subir un renforcement.





Le récapitulatif des différents indices de qualité sont répertorier dans le **tableau 40 ANNEXES I page 74.**

1. ÉTUDE DU TRAFIC

Le trafic est un paramètre important dans le dimensionnement des chaussées. Le passage des véhicules impose à la chaussée des efforts par l'intermédiaire des pneumatiques. Ce volet consiste donc à déterminer le volume de trafic que va supporter la route au cours de sa durée de vie. Afin de déterminer la classe de trafic nous avons effectué, un comptage a été réalisé sur une semaine (**Voir tableaux 41 et 42 en Annexe I page75**) afin d'évaluer le trafic moyen journalier par sens pour ensuite le comparer avec la classe de trafic fournir par le MINTP qui est de 700 véhicules par jour. Les hypothèses considérées pour avoir le trafic projeté sur la voie d'accès principale sont les suivantes :

- Année de mise en service : 2019 ;
- Durée de vie : 15 ans ;
- Croissance exponentielle du trafic : 7%;
- On calculera le trafic en considérant le seul cumul des poids lourds ;
- Les poids lourds sont définis comme étant les véhicules dont le poids à vide est supérieur à 3.5 tonnes (camionnettes, camions);
- En absence de campagne de pesage, le coefficient d'agressivité moyen CAM, est pris égal à CAM=1.

a) Calcul du trafic cumulé

Pour les besoins de dimensionnement, il nous faut déterminer le trafic cumulé de poids lourds qui emprunteront la chaussée durant sa mise en service. Le calcul du trafic sera effectué par la méthode CEBTP.

Les formules à utiliser pour les calculs de trafic sont les suivantes :

Cas de croissance exponentielle :

$$t_n = t_1 (1+i)^{n-1}$$

$$365 \sum_{1}^{n} t_n = 365t_1 \frac{(1+i)^{n-1}}{i}$$

Cas de croissance linéaire :

$$t_n = t_1 [1 + (n-1)i]$$

$$365 \sum_{1}^{n} t_n = 365t_1 \frac{[1 + (n-1)i]}{2}$$





Tableau 8:Détermination du trafic cumulé Tn suivant la méthode CEBTP

Désignation	Valeurs	Unités
Trafic Moyen Journalier Annuel (TMJA)	243	Pl/sens/jr
Essieu de référence	13t	-
Durée de vie n	15	Ans
i taux géométrique de croissance annuelle du trafic selon une étude économique de la zone	7	%
Année de comptage	2019	-
Année de mise en service	2019	-
Méthode CEBTP croissance géométrique		
Facteur de cumul (C)	25,13	
Trafic pour l'année de service n=15 ans	2,228905* 106	Essieux

Tableau 9: Classes de trafic suivant la méthode CEBTP

$T_1 < 5 \times 10^5$
$5 \times 10^5 < T2 < 1.5 \times 10^6$
$1.5 \times 10^6 < T3 < 4 \times 10^6$
$4 \times 10^6 < T4 < 10^7$
$10^7 < T5 < 2 \times 10^7$

Source : « guide de dimensionnement des chaussées pour les pays tropicaux » 1980 pages 24.

NB: après comptage, le trafic est de type T3 ayant **2,228905* 10**⁶PL pour l'année de service n=15ans. Il convient de noter que la route est une route frontalière au Gabon et à la Guinée Equatoriale. Pour des raisons politiques, la frontière avec la Guinée Equatoriale est fermée ; d'où l'impact significatif sur le résultat de la campagne de comptage effectuée.





CHAPITRE 3 : RE-CONCEPTION GEOMETRIQUE DE LA ROUTE

L'étude du tracé en plan et du profil en long de la route a été effectuée sur la base d'un certain nombre de normes. Il a été considéré dans cet ouvrage les normes préconisées par les termes de référence (TDR) et également bien d'autres normes et considérations définies en fonction du trafic à écouler, du niveau d'aménagement et du niveau de confort et de sécurité que l'on souhaite offrir à l'usager. Une vitesse de référence de 80 km/h a été retenue pour le projet. L'objectif est d'offrir aux usagers des conditions de conduite plus confortables. La conception a été faite à l'aide du logiciel PISTE 5.05 du SETRA. Pour ce faire, nous disposions comme données d'entrée, des fichiers de levée topographique et d'un fond topographique sur AUTOCAD. Elle a été effectuée sous la base de l'axe de la voie existante tout en respectant les rayons de raccordement et les distances d'alignement droit et de visibilité.

I. TRACE EN PLAN

Le tracé en plan est la projection sur un plan horizontal de l'axe de la chaussée. L'axe est constitué d'une succession de segments de droites raccordés entre eux par des courbes qui peuvent être soit des cercles, soit des clothoïdes, soit la combinaison des deux. La combinaison de ces éléments doit respecter dans la mesure du possible les contraintes, topographiques, économiques, sécuritaires et de confort. En fonction de la vitesse de référence adoptée, des valeurs minimales des rayons permettant d'atteindre principalement les objectifs de confort et de sécurité sont données dans le Tableau 10. Le trace en plan est répertorier en annexe II page 77.

Désignation du paramètre Symbole Catégorie de route et unité Except. Vitesse de référence Vr (km/h) 40 60 80 100 120 δM(%) **Devers maximal** 240 Minimal 40 120 425 665 RHm absolu Fracé en plan (dévers δM) Minimal RHN 120 240 425 665 1000 Rayon en normal (δ%) (5%) (5%) (5%) (4%) (4%)plan RH(m) (dévers) 900 Au dévers RH' (2,5%) 250 450 650 1500 minimal 400 600 Non déversé RHnd 900 1300 1800

Tableau 10:paramètres géométriques du tracé en plan

Source: Aménagement des routes principales, guide technique Aout 1994 (ARP)

II. PROFIL EN LONG

Le profil en long est composé d'éléments rectilignes caractérisés par leur déclivité et des





raccordements paraboliques caractérisés par leur rayon. C'est le développement du cylindre vertical sur lequel est tracé l'axe de la route. Les paramètres géométriques du profil en long doivent respecter les caractéristiques limites résumées dans le tableau 11.

Tableau 11:paramètres géométriques du profil en long

Désignation du paramètre		Symbole	Catégorie de route					
			et unité	4 ^e	3 ^e	2 ^e	1 ^e	Except.
Vites	Vitesse de référence		Vr (km/h)	40	60	80	100	120
Déclivité maximal en rampe		πM(%)	8	7	6	5	4	
angle sailla RV(m) Rayon en	Rayon en	Minimal absolu	RVm	500	1500	3000	6000	12000
		Minimal normal	RHN	1500	3000	6000	12000	12000
	Rayon en angle rentrant	Minimal absolu	RVm'	700	1500	2200	3000	4200
	RV'(m)	Minimal normal	RVN'	1500	2200	3000	4200	6000

Source : Aménagement des routes principales, guide technique Aout 1994 (ARP)

Les profils en long sont répertoriés en annexe II page 77.

III. PROFIL EN TRAVERS TYPE

C'est la coupe transversale de la chaussée et de ses dépendances. Il fait ressortir l'assiette, l'emprise de la route ainsi que les différentes déclivités. Les profils en travers permettent en outre de déterminer le plan général et de calculer les volumes de déblai et de remblai nécessaires à la réalisation du projet. Le profil en travers du projet montre la constitution de la chaussée suivante :

- 2 voies de circulation pour les automobiles d'une largeur de 3,5m;
- Deux accotements de 1,00 m;

Les profils en travers types sont répertoriés en annexe II page 77.





CHAPITRE 4 DIMENSIONNEMENT DE LA CHAUSSEE

Ce chapitre est consacré essentiellement à la recherche de solutions afin de mettre en place une structure de chaussée avec des paramètres optimums de choix. Nous prendrons ainsi en compte comme paramètres :

- La qualité de la structure ;
- La classe de trafic ;
- La nature et la qualité des matériaux disponibles.

C'est à la fin de tout ceci que nous allons faire un choix de structure de chaussée.

QUALITE DE LA STRUCTURE EN PLACE

Les sondages réalisés nous montrent une structure de chaussée rappelée ci - après :

- Revêtement en enduit superficiel bicouche;
- Couche de base : grave concassée 0/31,5 de 20 cm ;
- Couche de fondation : Grave latéritique naturelle de 25 cm ;

1. CLASSE DE TRAFIC

Nous avons dans un premier temps effectué une campagne de comptage sur une période d'une semaine (du 12 au 18 mars 2019) afin de vérifier les données relatives au trafic fourni par le ministère des Travaux publics (MINTP) pour notre projet. A l'issue de ce comptage, nous avons obtenus un trafic de type T3 avec comme nombre d'essieux équivalents NE=2,228905*10⁶ essieux. Le trafic fourni par le MINTP sur l'itinéraire Ebolowa-Ambam se situe autour de 700 véhicules/jour avec un pourcentage de poids lourds avoisinant 36,5 %, soit environ 255 poids lourds/jour avec un nombre d'essieux standards pris égal à 4* 10⁶ (source : MINTP). Les conclusions des études de trafic ont montré que le trafic de dimensionnement est de type T3 selon « Le Manuel pour le renforcement des chaussées en pays tropicaux (CEBTP - LCPC -1985) ». Cette classe de trafic sera donc retenue pour le dimensionnement de la structure de renforcement.

2. METHODE DE DIMENSIONNEMENT

La méthode de dimensionnement utilisée est celle dite CEBTP - LCPC qui consiste à :





- Modéliser sous multicouche la chaussée avec pour chaque couche de la Structure les paramètres caractéristiques (épaisseur, module de déformation et coefficient de poisson)
- Déterminer à l'aide du calculateur ALIZE III du LCPC les contraintes et déformations au niveau de chaque couche de la chaussée et du sol support et à les comparer aux contraintes et déformations admissibles des matériaux.

Les structures proposées par le catalogue du manuel pour le renforcement des chaussées en pays tropicaux (LCPC - CEBTP 1985) sont adaptées en fonction de la nature des matériaux retenus et des traitements éventuels pour être en concordance avec les trafics retenus.

3. EVALUATION DE LA PORTANCE DE LA CHAUSSEE

Les résultats des essais font ressortir que le sol support de chaussée est relativement Homogène. Les sols sont de portance moyenne et donc acceptables. Ce sol support de la RN2 est, selon le rapport d'étude géotechnique, de la classe S4 (CBR 15 à 30 %). Nous avons retenu un CBR de 28.

Tableau 12:classification de la plateforme

S1	CBR<5
S2	5 <cbr<10< td=""></cbr<10<>
S3	10 <cbr<15< td=""></cbr<15<>
S4	15 <cbr<30; (cas="" de="" notre="" td="" étude)<=""></cbr<30;>
S5	CBR >30

Source: « guide de dimensionnement des chaussées pour les pays tropicaux », 1980 page 21

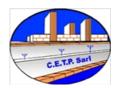
4. MATERIAUX DISPONIBLES



Les matériaux susceptibles d'être utilisés pour la réalisation des chaussées dans le cadre du Renforcement de la route Ebolowa-Ambam sont les suivants :

- ➤ Au niveau du Revêtement : le béton bitumineux (**BB**) ;
- Au niveau de la Couche de base nous pouvons avoir comme variantes :
 - La grave bitume (**GB**);
 - La grave ciment (GC);
 - Le graveleux latéritique ciment (GLC).





5. DETERMINATON DES VARIANTES

Le Manuel pour le renforcement des chaussées souples en pays tropicaux (LCPC - CEBTP 1985) défini les structures possibles en fonction du modèle caractérisant la chaussée (bicouche ou tri couche). Les structures de renforcement de type bicouche que nous proposons pour un trafic T3 et d'indice de qualité de la chaussée Q4 et Q5 sont présentées dans les tableaux 13 et 14. Le linéaire total pour la qualité de chaussée de type Q4 est d'environ 19 km et celui de type Q5 d'environ 73 km.

Structure avec pour indice de qualité Q5

Tableau 13:variante proposée en fonction de l'indice de qualité Q5

	Couche	Variante1	Variante 2	Variante 3
Renforcement	Revêtement	5BB	5BB	5BB
	Couche de base	15GB	25GC	28GLC
Ancienne chaussée	cienne chaussée Couche de fondation		25 GLN	25 GLN
	Plateforme	GLN	GLN	GLN

BB=béton bitumineux ; GB=grave bitume ; GLN=grave latéritique naturel ; GLC=grave latéritique ciment

♣ Structure avec pour indice de qualité Q4

Tableau 14:variante proposée en fonction de l'indice de qualité Q4

	Couche	Variante 1	Variante 2	Variante 3		
Renforcement	Revêtement	5BB	5BB	5BB		
	Couche de base	12GB	22GC	25GLC		
Ancienne chaussée	Couche de fondation	25 GLN	25 GLN	25 GLN		
	Plateforme GLN GLN GLN					
GB=grave bitume ; GLN=grave latéritique naturel ; GLC=grave latéritique ciment.						

<u>Choix de la variante de structure pour le dimensionnement :</u> le choix se fera en faisant une comparaison entre les matériaux constituant la couche de base. Les avantages et inconvénients des matériaux sont répertoriés dans le tableau 15.



Tableau 15: avantages et inconvénients des matériaux constituant la couche de base

Désignations	Avantages	Inconvénients
Grave bitume	Facilité de mise en	Coûteux
	œuvre;	
	Bonne capacité	
	d'imperméabilité	
	et de déformabilité	
	sans se fissurer;	
Grave ciment	Très résistant en	Présente des fissure lors du retrait du
	traction et en	béton; Coûteux
	compression	
Grave latéritique ciment	Coût abordable	Le manque de carrière à proximité de la
		zone du projet.

6. VERIFICATION THEORIQUE DES CONTRAINTES DANS LE CORPS DE CHAUSSEE

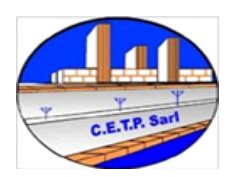
Elle est basée sur la détermination des contraintes et déformations admissibles des matériaux sous l'effet du trafic considéré et la durée de vie escomptée. Les sollicitations subies par les matériaux sous l'effet du trafic sont ensuite calculées et comparées aux sollicitations admissibles. Pour ce faire, le projecteur doit connaître les paramètres suivants :

- La charge de référence ;
- Le nombre de couches composant la chaussée, leur épaisseur, leur nature et le mode de liaison entre ces différentes couches ;
- Les caractéristiques pour chaque matériau composant la chaussée :
 - Le module de Young;
 - Le coefficient de Poisson (égal à 0,35 pour toutes les couches) ;

Le dimensionnement de la chaussée par la méthode du CEBTP va nous permettre d'avoir les épaisseurs et le type de matériau à utiliser en revêtement et en corps de chaussée. Le logiciel Alizé-LCPC va nous permettre de dimensionner la structure de chaussée par la méthode rationnelle.

Le principe de dimensionnement est le suivant :





- Définition du corps de chaussée ;
- Détermination des contraintes et déformations ;
- Définition des charges agissantes ;
- Caractérisations des matériaux ;
- Comparaison des contraintes et déformations obtenues aux valeurs admissibles.

7. DEFINITION DU CORPS DE CHAUSSEE

La structure de chaussée est celle obtenue lors du dimensionnement par la méthode CEBTP, à savoir :

a) Structure avec pour indice de qualité Q4

- **Revêtement :** béton bitumineux (Epaisseur : 5cm) ;
- Couche de base : grave bitume (Epaisseur : 12cm) ;
- Couche de fondation (existante) : graveleux latéritique naturel (Epaisseur : 25cm).

b) Structure avec pour indice de qualité Q5

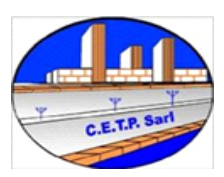
- **Revêtement**: béton bitumineux (Epaisseur: 5cm);
- Couche de base : grave bitume (Epaisseur : 15cm) ;
- Couche de fondation(existante) : graveleux latéritique naturel (Epaisseur : 25cm).

8. DEFINITION DES CHARGES AGISSANTES

L'essieu de référence est celui défini par Alizé-LCPC qui est un essieu de 130 kN à roues jumelées ayant les caractéristiques suivantes :

- Jumelage standard français 65kN;
- Pression verticale: **0,6620MPa**;
- Rayon de contact : **0,125m** ;
- Distance entraxe des roues : 0,375m





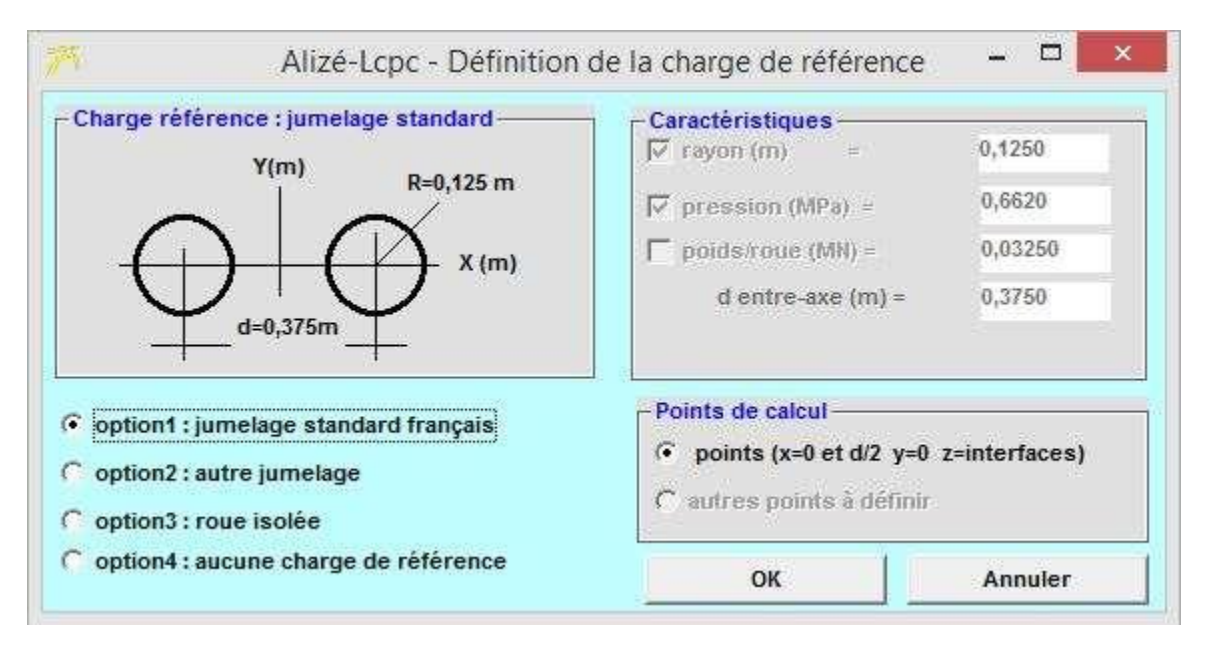


Figure 7:Définition de la charge de référence

Source: logiciel ALIZE-LCPC version 1.3.0

9. CARACTERISATION DES MATERIAUX

La classe de plateforme étant de S4, nous considérons un CBR de 28MPa. Son module de Young est pris égal 5 x CBR. Les modules de Young des autres couches sont déterminés par la même relation (Guide technique de conception et de dimensionnement des chaussées).

Les modules de Young obtenus pour chaque couche sont présentés dans le tableau 16.





Tableau 16: Caractéristiques des matériaux à utiliser en structure de chaussée à 25°C et une fréquence de 10 HZ.

Couches	Nature (indice de qualité Q5)	té Q5) de qualité Q4/Q5)		Coefficient de Poisson v	
Couche de surface	Béton Bitumineux Ép. = 5 cm	Béton Bitumineux Ép. = 5 cm	2450	0,35	
Couche de base (GB)	12/15		4500	0,35	
Couche de fondation (GLN)	Graveleux latéritique naturel ép. = 25cm	Graveleux latéritique naturel ép = 25cm	450	0,35	
Plateforme	Graveleux latéritique naturel	Graveleux latéritique naturel	140	0,35	

10. DETERMINATION DES DEFORMATIONS ET CONTRAINTES ADMISSIBLES

a) Détermination des déformations

Pour la détermination des déformations, nous allons supposer l'interface entre les Couches « collé ». Les variantes étudiées sont modélisées de la manière suivante avec le logiciel Alizé-LCPC.

Les valeurs des déformations calculées sont consignées dans le tableau 17.





Tableau 17:Déformations de la structure de chaussée

DESIGNATION	NATURE MATERIAUX DE CHAUSSEE	EPAISSEURS COUCHES DECHAUSSEE	DEFORMATIONS [μdéf]
	Béton bitumineux	E= 7cm	$\varepsilon_{t=16,4}$
	Grave bitume	E= 15cm	$\varepsilon_{t=109,9}$
Matériaux	Graveleux Latéritiques naturel	E= 25cm	$\varepsilon_z = 165,6$
	Plateforme :PF3	E= infini	$\varepsilon_{z=285,5}$

Déflexion=30.1mm/100

b) Détermination des contraintes admissibles

Nous déterminerons les valeurs admissibles manuellement à partir des formules du guide de conception et de dimensionnement des structures de chaussées. Les facteurs pris en considération pour évaluer la dégradation des chaussées sont entre autres :

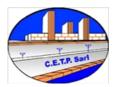
- Les résultats d'essai en fatigue ;
- L'épaisseur des couches de fondation lors de l'exécution.

Pour les matériaux bitumineux, La déformation horizontale admissible en traction à la base du béton bitumineux est donnée par l'expression :

$$\varepsilon_{t,adm} = \varepsilon_6 (10^{\circ}C, 25Hz) x \left(\frac{NE}{10^6}\right)^b x \left(\frac{E(10^{\circ}C)}{E(\theta_{eq})}\right)^{0.5} x K_c x K_r x K_s$$

Pour déterminer la contrainte au niveau supérieur de la plateforme, on n'applique la formule semi-empirique de KERKHOVEN ET DORMON donnée par le CEBTP. Cette formule s'articule sur deux paramètres essentiels à savoir la charge (NE) et le CBR. Etant donné nous avons un CBR de 28 le sol de plateforme est de type S4.le trafic NE = **4* 10⁶ PL** sur la voie et La contrainte admissible est alors donnée par :





$$\sigma_{z,adm} = \frac{0.3 \ x \ CBR}{1 + 0.7 x log(NE)}$$

Cette formule est également valable sur les couches non traitées.

La déformation verticale admissible dans les graves naturelles non traitées est donnée par la formule de l'ouvrage intitulé « Conception et dimensionnement de structure de chaussée » du SETRA, édition 1998, en considérant une chaussée à moyen ou fort trafic, comme suit :

$$\varepsilon_{z,adm} = Ax(NE)^{-0.222}$$

Avec A pris égal à 12000 car NE > 250000.

Dans la mesure où il faudrait utiliser des matériaux traités au liant hydraulique, on déterminera la contrainte admissible dans la couche considérée par la relation :

$$\sigma_{t,adm} = \sigma_6 x \left(\frac{NE}{10^6}\right)^b x K_c x K_r x K_s x K_d$$

Avec :Kc = coefficient de calage rattaché au matériau

Kr = coefficient de risque

Ks = coefficient tenant compte de l'hétérogénéité de portance du support (Ks = 1 sur couche de base)

Kd = coefficient de discontinuité, intégrant les phénomènes d'augmentation des contraintes près des bords (Kd = 0,8 sur couche de base).

Les tableaux 18 récapitule les valeurs admissibles des contraintes et des déformations.





Tableau 18: Valeurs admissibles des déformations dans le cas de la variante choisie

Désignation	Nature matériaux de chaussée	Déformations admissibles [μdéf]
(Q5-T3)	Béton Bitumineux Grave Bitume	$arepsilon_{t,adm} = 121,8$ $arepsilon_{t,adm} = 114,0$
	Grave latéritique naturelle	$\varepsilon_{z,adm} = 410,70$

Tableau 19: Valeurs admissibles des contraintes dans le cas de la variante choisie

Contraintes (MPa)
4,80
1,49

11. COMPARAISON DES CONTRAINTES ET DEFORMATIONS OBTENUES AUX VALEURS ADMISSIBLES

La comparaison entre les valeurs se fait à partir du tableau 19.





Tableau 20:comparaison des contraintes et déformations obtenues aux valeurs admissibles

DESIGNATION	NATURE MATERIAUX DE	EPAISSEURS COUCHES DECHAUSSEE	DEFORMATIONS [μdéf]	DEFORMATIONS Admissibles $[\mu d \in f]$
	CHAUSSEE			
	Béton	E= 7cm	$\varepsilon_{t=33,1}$	
	bitumineux			$\varepsilon_{t,adm} = 121,8$
	Grave bitume	E= 20cm	$\varepsilon_{t=111,1}$	$\varepsilon_{t,adm} = 114,0$
(S4; T3)	Graveleux	E= 25cm	$\varepsilon_z = 168,5$	$\varepsilon_{t,adm=410,7}$
	Latéritiques			
Q5	naturel			
	Plateforme :PF3	E= infini	$\varepsilon_{z=304,00}$	$\varepsilon_{t,adm} = 410,7$

Conclusion : La structure de chaussée obtenue après dimensionnement par la méthode rationnelle donne la composition suivante :

- 5cm de béton bitumineux en couche de roulement ;
- 17cm de grave bitume en couche de base ;
- 25cm de graveleux latéritiques naturels en couche de fondation.

Pour ces différentes épaisseurs, nous avons :

- Au sommet de la plateforme (Sol support) :
- $\varepsilon z = 304 \,\mu d\acute{e}f < \varepsilon z$, $adm = 410.7 \,\mu d\acute{e}f \Rightarrow Condition satisfaisante$
 - A la base de la couche de grave bitumineuse :
- $\varepsilon t = 111,1 \, \mu d\acute{e}f < \varepsilon t, \, adm = 114,0 \, \mu d\acute{e}f \Rightarrow Condition \, satisfaisante$
 - A la base de la couche de béton bitumineuse
- $\varepsilon t = 33,10 \,\mu d\acute{e}f < \varepsilon t$, $adm = 121,8 \,\mu d\acute{e}f \Rightarrow Condition satisfaisante$

Au regard du trafic poids lourds que cette route est appelée à supporter pendant toute sa durée de vie (notamment le transport grumiers-billes de bois), il est important que cette structure de chaussée obtenue par la méthode rationnelle de dimensionnement, soit effectivement mise en œuvre pendant l'exécution du projet. Les détails de calculs sont explicités **ANNEXES III PAGE 78 à 84.**





CHAPITRE 5 ASSAINISSEMENT DE LA ROUTE

I. ÉTUDES HYDROLOGIQUES

L'étude hydrologique met en évidence la détermination des débits de crue pour chaque bassin versant dont l'écoulement coupe notre projet. Il est cependant nécessaire de pouvoir délimiter ces bassins et trouver leurs caractéristiques. Nous utiliserons à cet effet Global Mapper[®] un logiciel de Système d'Information Géographique (SIG) qui permet d'arriver à ces résultats.

1. LA PLUVIOMETRIE

La pluviométrie intervient dans le dimensionnement des ouvrages d'assainissement sous la forme d'intensité, durée, fréquence (IDF). Elle peut être exprimée sous forme d'équation dont la plus courante est celle de Montana :

$$I = a \times T_c^{-b}$$
 avec
$$\begin{cases} I: intensit\'e \ de \ l'averse \\ a \ et \ b: les \ coefficients \ de \ Montana \\ T_c: le \ temps \ de \ concentration \ en \ minute \end{cases}$$

Les paramètres de Montana à utiliser pour les différentes évaluations des débits sont fournis dans les **tableaux 49 en Annexe IV page 86**. Pour ce projet les coefficients **a** et **b** de Montana de la région du Sud du Cameroun utilisés sont **a** = **698,4** et **b**=**0,54** pour une durée d'averse inférieure à 45 min.

Les données pluviométriques sont répertoriées en ANNEXE IV PAGE 86 et 89.

2. LES BASSINS VERSANTS

Le bassin versant représente l'unité spatiale de référence pour l'hydrologie. Il est défini comme étant une section d'un cours d'eau définie comme la surface totale topographique drainée par ce cours d'eau et ses affluents à l'amont de cette section (Nguyen Van, 1981).la morphologie d'un bassin versant est illustrée à la figure 8.





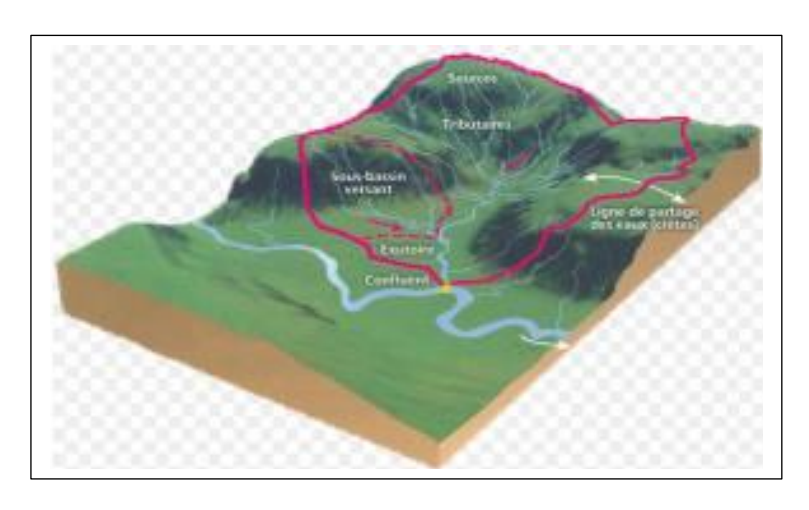


Figure 8: Morphologie d'un bassin versant

Source: (Google, 2018)

a) La délimitation des bassins versants

Pour le tracé des limites d'un bassin versant, il faut au préalable :

- Repérer l'exutoire ;
- Repérer le réseau hydrographique ;
- Repérer les points hauts puis les courbes de niveau autour de ces points hauts ;
- Tracer la ligne de partage des eaux en suivant les lignes de crête puis en rejoignant, l'exutoire par une ligne de plus grande pente perpendiculaire aux courbes de niveau.

Pour ce faire, on importe le tracé de la zone obtenue par le logiciel Google Earth dans le logiciel Global Mapper. Ensuite, on fixe quelques paramètres : la spécification du type de projection (UTM) pour le Cameroun et du système géodésique de référence WGS 84. Après avoir fixé les paramètres, la seconde étape consiste à charger le modèle numérique de terrain MNT. Le logiciel nous propose plusieurs modèles. Mais, on utilisera le modèle "SRTM" qui est libre et accessible au grand public et fourni par la NASA. Une fois enregistré, nous générons le réseau des cours d'eaux. La figure 9 représente les bassins versants de la zone d'étude.



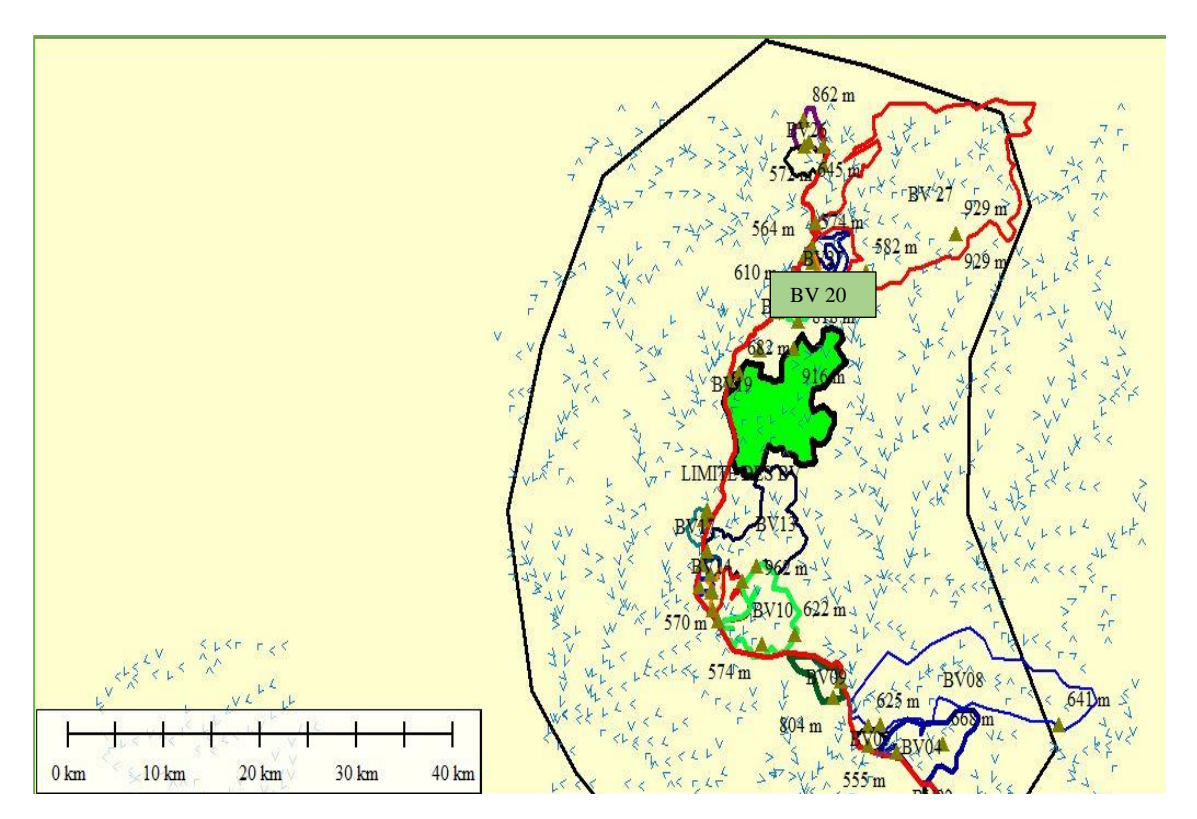


Figure 9:bassins versant de notre zone obtenue à partir de Global Mapper®

Source: Global Mapper®18.2.0

a) Les caractéristiques des bassins versants

Les paramètres physiques et géométriques de ces bassins ont été déterminés par le logiciel Global Mapper[®]. Pour notre projet, ces paramètres sont essentiellement composés de :

- L'exutoire : point à partir duquel on peut tracer la ligne de partage des eaux qui délimite le bassin versant ;
- La longueur hydraulique : la distance entre l'exutoire et le point le plus éloigné du bassin
- Le périmètre : c'est le contour des surfaces des bassins versants ;
- La superficie en km², il s'agit de l'aire totale, incluant éventuellement ceux des sous bassins, drainé par l'écoulement et circonscrite par les lignes de partages des eaux ;
- La pente moyenne des bassins versants en pourcentage (%);
- Les altitudes : ce sont les altitudes maximales et minimales des bassins, ainsi que celle à l'exutoire ;
- Le coefficient de ruissellement en pourcentage (%);
- La forme : allongée, circulaire ou en éventail. Influence les débits maximums à l'exutoire.





b) Paramètres physiques des bassins versants

Les paramètres physiques du bassin versant désignent un ensemble de caractéristiques physiographiques, obtenues à partir de données cartographiques ou de mesures de terrain et donnent un certain nombre d'information sur ce dernier. Les paramètres physiques du bassin versant sont :

- La longueur du plus long cours d'eau du BV exprimée en km;
- Indice de compacité (Icomp) appelé également coefficient de forme, correspondant au rapport du BV à celui d'un cercle de même superficie ;

$$Icomp = 0.282 \ x \ P \ x \ S^{\frac{-1}{2}}$$

Avec P: Paramètre stylisé du BV en km

S: Superficie du BV en km

• Le rectangle équivalent (L) : C'est un rectangle qui a la même superficie, le même indice de compacité et la même distribution hypsométrique que le BV. Sa longueur est donnée par l'expression suivante :

$$\bullet L = \sqrt{S} \times \left(\frac{l_{comp}}{1,128}\right) \times \left(1 + \sqrt{1} \times \left(\frac{1.128}{l_{comp}}\right)^2\right)$$

Avec L exprimé en km

Icomp est l'indice de compacité, sans dimension

S est la superficie du BV, exprimée en km

• L'indice global de pente (Ig) : c'est l'indice caractérisant le relief d'un bassin.

 $Ig = \frac{D}{L}Ig$ est défini par la formule suivante :

Ig: exprimé en m/km

D : représente la dénivelée, exprimée en m, séparant les altitudes ayant approximativement 5% et 95% de la surface du bassin au-dessus d'elles. Ces altitudes sont déterminées sur la courbe hypsométrique.

L : longueur du rectangle équivalent, exprimée en km.

Les tableaux 21 et 22 représente les paramètres physiques de l'ensemble des bassins versants présent dans notre zone d'étude.





Tableau 21:Paramètres physiques des bassins versants

N° BV	Superficies (km²)	Périmètre (km)	Côte amont (m)	Côte aval(m)	Pente moyenne I (m/m)	
BV1	1,59	2,268	708	562	10,52	
BV2	2,645	7,158	724	571	10,71	
BV3	3,003	8,628	763	555	11,51	
BV4	25,972	28,224	668	559	8,37	
BV5	6,37	15,353	621 562		7,18	
BV6	1,794	5,623	625	556	8,19	
BV7	3,713	9,166	712 554		8,4	
BV8	1,288	4,714	783	556	19,05	
BV9	9,619	14,802	803 558		9,33	
BV10	37,113	33,402	945	572	8,55	
BV11	7,689	11,86	744	574	7,94	
BV12	6,378	17,348	813	572	10,21	
BV13	1,761	6,298	686	571	9,258	

Tableau 22:Paramètres physiques des bassins versants

N°BV	Superficie (km2)	Périmètre (km)	Cote amont (m)	Cote aval (m)	Pente moyenne I (m/m)
BV 14	6,099	567	658	658	9,3
BV 15	38,813	962	564	11	
BV 16	4,509	10,71	626	564	5,9
BV 17	3,044	10,115	630	561	6,65
BV 18	1,394	5,701	675	566	9,55
BV 19	2,217	7,455	708	569	10,8
BV 20	6,736	16,831	789	567	12,15
BV 21	1,035	5,011	616	560	7
BV 22	2,502	8,051	788	569	10,9
BV 24	6,915	13,262	663	570	7,46





II. LES METHODES DE DETERMINATION DES DEBITS DE PROJETS

Le problème d'évaluation des débits pluviaux dans les bassins versants a fait l'objet de nombreuses études théoriques. Ainsi, plusieurs méthodes d'évaluation des débits pluviaux sont adoptées parmi lesquelles on peut citer (Nguyen Van, 1981) :

- La méthode rationnelle ;
- La méthode du CIEH;
- La méthode ORSTOM;
- La méthode de GRADEX.

1. METHODE RATIONNELLE

La méthode rationnelle a été mise au point au milieu du XIX siècle. Cette formule utilise un modèle de transformation de la pluie, décrite par son intensité considérée comme uniforme dans le temps en un débit instantané maximal à l'exutoire. Elle peut être utilisée dans le cas de bassins versants urbanisés ou non ayant une superficie de bassin inférieure à 4 km². Cette méthode est encore très utilisée pour les villes africaines. Cette approximation donne l'ordre de grandeur des débits à véhiculer, mais ne peut pas prévoir toutes les situations critiques comme les eaux qui stagnent.

$$Q_{Projet} = 0.278 \times C \times I \times \\ A \ avec \begin{cases} Q_{Projet}: \ d\'{e}bit \ maximal \ \grave{a} \ l'exutoire \ (m^3/s); \\ C: \ coefficient \ de \ ruissellement \ (\%); \\ I: \ l'intensit\'{e} \ de \ l'averse \ (mm/h); \\ A: \ aire \ du \ bassin \ versant \ (km^2). \end{cases}$$
 La formule de la méthode rationnelle

qui donne le débit s'écrit :

Nous estimerons l'intensité avec la formule de Montana :

$$I = a \times T_c^{-b}$$
 avec
$$\begin{cases} a \text{ et } b \text{ les coefficients de Montana} \\ T_c \text{ le temps de concentration (minute)} \end{cases}$$

• Le coefficient de ruissellement :

Il représente la fraction recueillie à l'exutoire de la totalité des eaux pluviales qui sont tombées sur un bassin versant. Il quantifie l'aptitude au ruissellement de la surface du bassin versant. Ce coefficient est fonction de la capacité d'infiltration du sol et de la pente du terrain.





Notre zone de projet étant une zone de forêt équatoriale, nous avons opté pour un coefficient dont la nature de la couverture végétale est celle de brousse

Le temps de concentration :

Le temps de concentration Tc (en min), temps mis par une goutte d'eau tombant sur le point hydrauliquement le plus éloigné pour arriver à l'exutoire (Nguyen Van, 1981) est donné par différentes formules telles que :

Formule de passini
$$t_c = 0.108 \frac{\sqrt[3]{AL}}{\sqrt{I}}$$

Formule californienne
$$t_c = 3.98 \left(\frac{L}{\sqrt{l}}\right)^{0.77}$$

Formule NASH
$$t_c = 29.3(\frac{A}{I})^{0.3}$$

Formule de KIRPICH
$$t_c = 0.01947 \times \frac{L^{0.77}}{I^{0.385}}$$

$$OU\ t_C = \frac{1}{52} \times \frac{L^{0,77}}{I^{0,385}}$$

t_c= temps de concentrations en heure

A= surface BV en Km²

L= longueur du plus long cheminement hydraulique en km

I= pente moyenne en m/m

t_c= temps de concentrations en min

A= surface BV en hectare

L=longueur du plus long cheminement hydraulique en m

2. METHODE ORSTOM

Cette méthode permet d'évaluer le débit de la crue décennale sur les bassins versants de la zone sahélienne et tropicale sèche. Elle s'applique à des bassins versants dont la superficie est située entre quelques dizaines d'hectares jusqu'à 1500 km². Pour les petits bassins versants de superficie inférieure à 200 km², les hydrologues de l'ORSTOM ont proposé de prendre pour référence de crue de projet la crue dite « décennale ». Le débit de pointe correspondant au ruissellement de la crue décennale peut être défini par la relation :

$$Q_{10} = \alpha_{10} \times A \times P_{10} \times Kr_{10} \times \frac{S}{T_{b10}} \ avec$$

: Coefficient de point $Q_{10} = \alpha_{10} \times A \times P_{10} \times Kr_{10} \times \frac{S}{T_{b10}} \ avec \begin{cases} \alpha_{10} : \textit{Loefficient de point} \\ A: \textit{Coefficient d'abattement} \\ P_{10} : \textit{Hauteur de pluie journalière} \\ \textit{décennale (24h)(m)} \\ K_{r10} = \textit{Coefficient de ruissellement} \\ \textit{décennal} \\ S: \textit{Surface du bassin versant en km}^2 \\ T_{b10} : \textit{Temps de base correspondant} \\ \text{à la crue décennale} \end{cases}$





3. METHODE CIEH

En 1983, Peuh et Chabi-Gonni ont proposé une méthode statistique, connue depuis sous le nom de méthode CIEH. Cette méthode reprend les principes fondamentaux d'études statistiques mais en se servant de données enrichies des mesures effectuées ces dernières années. Elle repose sur l'étude statistique initiale de 162 bassins dont la superficie varie entre 0,07 et 2 500 km² (414 bassins versants lors de la révision de 1994) pour des pluies annuelles comprises entre 100 et 2500mm. Sur l'échantillon de bassins versants utilisés, les auteurs montrent que cette méthode est satisfaisante pour des conditions de perméabilité et de relief moyennes. Le débit décennal en m/s est donné par les formules suivantes :

$$Q10 = a \times S^{s} \times P_{an} \times p \times I_{g} \times i \times K_{r10} \times k \times D_{d} \times d$$

$$Q_{50} = C_{50} \times Q_{10}$$

$$C_{50} = 1 + \frac{P_{50} - P_{10}}{P_{10}} \times \frac{\left(\frac{T_{b10}}{24}\right)^{0,12}}{K_{r10}} Q_{50} = C_{50} \times Q_{10}$$

4. METHODE DE GRADEX

Cette méthode permet le passage du débit décennal au débit projet sous une forme linéaire. Pour se mettre dans une marge de sécurité à cause de la variabilité de l'intensité des pluies, nous dimensionnerons nos ouvrages avec une période de retour de 50 ans. Les détails des calculs sont reportés en notes de calcul (voir **ANNEXE IV page 91**). L'expression générale de la méthode du Gradex se présente sous la forme : $Q_{50} = C_{50} \times Q_{10}$

Avec:
$$C_{50} = 1 + \frac{p_{50} - P_{10}}{P_{10}} C_{10} \times \frac{(\frac{T_{b10}}{24})^{0,12}}{K_{r_{10}}}$$

- $Q_{50} = \text{Débit cinquantennale (m}^3/\text{s)}$;
- Q_{10} = Débit décennal (m³/s);
- P_{50} = Pluie maximale journalière cinquantennale
- P_{10} = Pluie maximale journalière décennale ;
- T_{b10} = Temps de base (h);
- K_{r10} = Coefficient de ruissellement décennal (%).

Le calcul de C_{50} par la méthode donne souvent des valeurs exceptionnelles qui produisent des grands débits. Pour tenir compte du rapport sécurité-coût, nous prendrons C50





= 2 selon les recommandations de l'Association européenne d'études d'équipements ruraux (AEEER) en cas de nécessité.

III. CALCUL DES DEBITS PAR LA METHODE RATIONNELLE

Le tableau 23 récapitule l'ensemble des paramètres physique et les résultats de calcul de débit par la méthode rationnelle. Les détails des calculs se trouve en **ANNEXE IV page 89.**

Tableau 23: Récapitulatif des résultats du calcul des débits par la méthode rationnelle

Désignation	Surface	L	H	Tc	i	C	Q10	C50	Q50
Bassin versant	(Km ²)	(m)	(m)	min	(mm/h)	%	%	-	m3/s
BV3	3,003	3465,83	208	29,779	11,736	12	11,19	1,02	11,41
BV6	1,794	2678,8	69	33,68	104,551	12	18,77	1,02	19,15
BV8	1,288	2269,8	227	17,71	147,96	12	6,36	1,02	6,49
BV13	1,761	2654,05	115	27,443	116,78	12	20,58	1,02	20,99
BV14	2,085	2887,9	91	33,1	105,61	12	22,04	1,02	22,48
BV18	1,394	2361,36	109	24,486	124,19	12	17,33	1,02	17,68
BV19	2,217	2977,92	139	29,151	113,03	12	8,36	1,02	8,53
BV21	1,035	2034,7	56	26,57	118,82	12	12,31	1,02	12,56
BV22	2,502	3163,54	219	26,29	119,51	12	9,97	1,02	10,17

IV. CALCUL DU DEBITS DU BASSIN VERSANT 20 PAR LES METHODES ORSTOM, CIEH ET DE GRADEX

Le tableau 24 ci- dessous présente les résultats de calcul des différents débits. Les détails des calculs se trouve en **ANNEXE IV page 90.**

Tableau 24: récapitulatif du calcul du débit par la METHODE ORSTOM ET CIEH

Méthode		CIEH		ORSTOM		
Débit (m³/s)	Q10	C50 (GRADEX)	Q50	Q10	C ₅₀ (GRADEX)	Q50
(111 75)	32,33	1,02	32,97	34,63	1,02	35,32

V. ÉTUDES HYDRAULIQUES

L'étude hydraulique est une opération qui consiste à faire la conception et le dimensionnement des ouvrages hydrauliques. Dans ce cas, nous étudierons les dalots et les buses. Par rapport aux observations faites sur le terrain lors de la visite, nous allons proposer un nouveau dimensionnement des ouvrages en mauvais état.





Dimensionnement hydraulique

Pour des débits inférieurs à $10 \text{ m}^3/\text{s}$ et une hauteur de remblai supérieure à 2m, nous opterons pour les buses. Pour des débits inférieurs à $10 \text{ m}^3/\text{s}$, nous opterons pour des dalots. Compte tenu de l'état de l'inondation, tous les ouvrages seront des dalots quel que soit le débit. Pour le calcul du dalot, connaissant le débit Q on se donne une première valeur de la hauteur D admissible pour le dalot telle que la vitesse moyenne V = Q/BD ne dépasse pas la vitesse maximale de 3m/s. Pour la détermination des sections du dalot, les étapes de calcul sont les suivantes :

Etape 1: elle consiste à déterminer la hauteur d'eau H en amont de l'ouvrage, cette hauteur d'eau est fonction du débit réduit Q* et de la hauteur réduite H*. Connaissant Q, Vitesse admissible et en se fixant une hauteur D du dalot, on déduira la largeur B par la relation V = Q/B.D. En ayant la section du dalot, on peut calculer le débit réduit Q* et à l'issue du résultat obtenu par le débit réduit, on déduira celui de la hauteur réduite en utilisant un abaque. Les abaques sont présentés en Annexe IV figure 19 pages 93 et 94

$$Q^* = \frac{Q}{Q \times \sqrt{2 \times g \times D}}$$
 et $H^* = \frac{H}{D}$

Étape 2 : le calcul de la pente critique de l'ouvrage, permet de s'assurer si la vitesse de l'eau dans le dalot reste dans les limites admissibles. Le dalot doit être capable d'évacuer le débit critique correspondant à la hauteur d'eau en amont pour cela il faut que la pente longitudinale du dalot soit au moins égale à la pente critique. Connaissant Q et B on peut obtenir le débit réduit de la pente critique, en ayant le résultat du débit réduit on obtient celui de la pente réduite Icrit* à l'aide d'un abaque (abaque figure 82 du document Hydraulique Routière) et on déduit celui de la pente critique Icrit. Pour effectuer les calculs nous avons utilisés les formules cidessous :

$$Q^* = \frac{Q}{\sqrt{g \times B^5}} \text{ et } \frac{I_{crit}}{\frac{g}{K^2 \times B^3}} \to I_{crit}^* = \frac{I_{crit} \times xg}{K^2 \times B^{\frac{1}{3}}}$$
Avec : Icrit* = la pente réduite

Icrit = la pente critique

$$B = \text{la largeur du dalot}$$

Ks = le coefficient de rugosité

Etape 3 : le calcul de la vitesse moyenne d'écoulement de l'eau dans l'ouvrage, il permet de vérifier :

• Si la vitesse moyenne reste en dessous de la vitesse maximale admissible (Vmax = 3m/s);





• Si elle reste suffisante pour éviter les dépôts des particules solides dans le dalot.

Connaissant Q, K, Icrit, B, on déterminera le débit réduit de la vitesse moyenne. A l'aide de ce calcul, on obtiendra la vitesse réduite V* à l'aide d'un abaque (abaque figure 84 du document Hydraulique routière). Enfin, on déduira la vitesse de sortie V. Les formules qui ont servi au calcul sont les suivantes :

:

$$Q^* = \frac{Q}{K \times I_{crit}^{\frac{1}{2}} \times B^{\frac{8}{3}}} \ , \qquad V^* = \frac{V}{K \times I_{crit}^{\frac{1}{2}} \times B^{\frac{2}{3}}} \to V = V^* \times K \times I_{crit}^{\frac{1}{2}} \times B^{\frac{2}{3}}$$

Avec : V*= la vitesse réduite

V = la vitesse de sortie

Il convient de noter que toutes les formules utilisées ci-dessus proviennent du document

Hydraulique Routière ,1981. Le détail du calcul est présenté en Annexe IV Page 95.

Pour la suite des calculs nous allons opter pour le bassin versant ayant le plus grand débit notamment le Bassin versant 20.





44

CHAPITRE 6 : ETUDE STRUCTURAL DU DALOT (BASSIN VERSANT 20)

L'étude structurelle de l'ouvrage hydraulique en béton armé sera basée sur le principe du cadre fermé. Ce concept repose sur la distribution des charges horizontales et verticales sur les dalles (tablier, radier) et piédroits suivant leurs rigidités respectives. Pour que cette hypothèse soit respectée, la continuité de la section en béton armé doit être assurée aux jonctions piédroit dalle. Ce qui peut être réalisé en prolongeant les armatures dans les zones de tension et en assurant une construction monolithique des dalles et piédroits de l'ouvrage.

I. HYPOTHESE DE BASE

1. REGLEMENTS ET INSTRUCTIONS

Les calculs sont établis selon les prescriptions des principaux documents suivants :

- Le BAEL 91 et additif 99;
- Le Guide de conception des ponts, cadres et portiques (SETRA) ;
- Le Fascicule 65-A du CCTG et son additif : Exécution des ouvrages en génie-civil en béton armé ou précontraint ;
- Le Fascicule 62 titre V Règles techniques de conception et de calcul des fondations des ouvrages de génie-civil ;
- Le Fascicule n° 61 (Titre II) concernant les charges d'exploitation Conception calcul et épreuves des ouvrages d'art (Cahier des prescriptions communes (CPC) français).

• .

2. CARACTERISTIQUE DES MATERIAUX

a) Béton

Dosage en ciment 350 kg/m3 pour béton armé

Résistance à la compression à 28 jours : fc28 = 25 Mpa

Résistance à la traction à 28 jours : $ft_{28}=0.6+0.06$ fc₂₈ = $0.6+0.06\times25=2.10$ Mpa

Poids volumique du béton : $\gamma_b=25$ kN/m³

Contrainte de calcul du béton : $\sigma_{bc} = \frac{0.85 \text{ x f}_{c28}}{1.15} = 18,47 \text{ Mpa}$

Contrainte limite du béton : = $0.6 \times fc_{28} = 15$ Mpa

Module d'élasticité : E_m= 200000

Masse volumique de l'acier : $\gamma_s = 7850/3$

Conditions de fissurations préjudiciables : fissuration préjudiciable (FP)

ÉTUDES TECHNIQUES DÉTAILLÉES DES TRAVAUX DE RÉHABILITATION DE LA ROUTE NATIONALE N°2 : « CAS DU TRONÇON EBOLOWA-AMBAM » (91780 ml) : RÉGION DU SUD - CAMEROUN.





Contrainte limite de l'acier $\sigma_{st} = \text{Min}\left(\frac{2}{3}f_e ; \text{Max}\left(0.5f_e; 110\sqrt{\eta.\,f_{tj}}\right)\right) = 250 \text{ MPa}$

(Avec
$$\left(\frac{2}{3}f_e = \frac{2}{3}*500 = 333.333$$
Mpa; $\left(0.5f_e = 250; 110\sqrt{\eta.f_{tj}}\right) = 110\sqrt{1.6*2.10}\right)$

Enrobage: c = 3 cm

Contrainte limite du béton :

Contrainte limite de cisaillement du béton : $\tau u = 2.5$

Fissuration préjudiciable

• Acier

Nuance: Acier à haute adhérence (HA), FeE 500: = 500

• Matériaux de remblai

Pour le calcul des efforts et sollicitations dus aux remblais, on considère une hauteur moyenne de remblai Hr = 90 cm sur le tablier à partir de l'axe principal. Les caractéristiques du matériau de remblai sont issues des essais géotechniques et vérifiées conformes aux prescriptions du cahier des clauses techniques particulières (CCTP).

Le poids volumique des terres $\gamma_d = 1.8 \text{ t/m}^3$

L'angle de frottement interne $Ø_r = 30^\circ$ avec c = 0.

Le coefficient de poussée des terres : K = 0.333

Surcharge sur remblai $q_o = 1.0 \text{ t/m}$

3. CARACTERISTIQUE GEOMETRIQUE DE L'OUVRAGE

L'ouvrage présente comme caractéristiques géométriques :

Dimensions d'une alvéole : largeur L = 4,00 m, hauteur d'une cellule : H = 3,00 m

Nombre des alvéoles : n = 2

Largeur de calcul entre fibres moyennes de 2 piédroits consécutifs Li = 4,30 m

Hauteur de calcul entre fibres moyennes du radier et du tablier Hi = 3,30 m

Guide roue : hgr = 50 cm et egr = 25 cm

Épaisseur de piédroits, radier et traverse e = L/32 + 0.125 = 4/32 + 0.125 = 0.25 m

Choix : e = 0.30 m



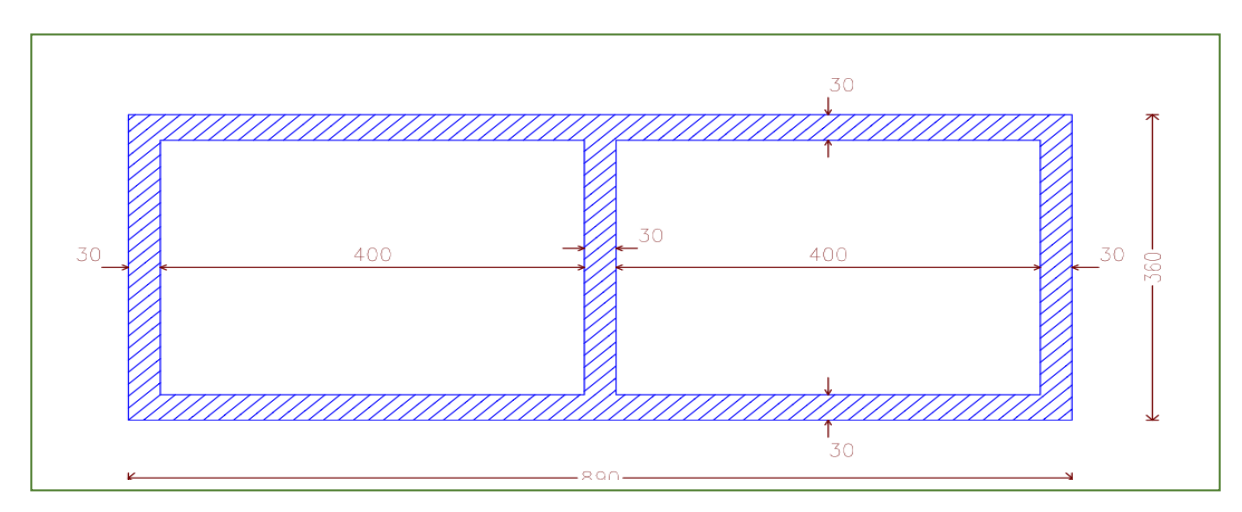


Figure 10:modélisation de l'ouvrage

4. METHODE DE CALCUL DES SOLLICITATIONS

Soit I le moment d'inertie du tablier, du radier, des piédroits et E le module d'élasticité (constant et peux être pris gal à 1 pour la suite des calculs).

Les études seront faites par bande d'un (01) mètre de dalot (b=1m). Dans notre étude, compte tenu de la symétrie de géométrie de notre ouvrage, nous avons considéré que le piédroit intermédiaire sera dimensionné en compression simple, ce qui nous permet d'annuler le moment au niveau de ces piédroits, d'où la possibilité d'utiliser la méthode des rotations pour l'étude de l'équilibre de chaque nœud. Désignons par :

 $M_{i.j} = \text{moment statique appliqué au nœud i par la barre ij}; m_{i.j} = \text{moment d'encastrement}$ appliqué au nœud i par la barre j (déterminé par les charges appliquées à la barre); $a_i = \text{rotation}$ du nœud i; $k_1 = \text{caractéristique de la rigidité des barres horizontales} = <math>\frac{2 \times E \times I1}{L} = \frac{2 \times I1}{L}$;

 k_2 = caractéristique de la rigidité des barres verticales = $\frac{2 \times E \times I2}{L} = \frac{2 \times I2}{L}$

$$M_{i,j} = k \times (2 \times a_i + a_j) + m_{i,j}, \quad k = k_1 \text{ ou } k_2$$

 b_i = constante du nœud i

En considérant pour l'ouvrage, une bande de largeur b = 1m, on a :

$$I = \frac{bh^3}{12} = \frac{1 \times 0,30^3}{12} = 2,25.10^{-3} \text{ m}^4$$

$$k_1 = \frac{2 \times 2.25.10^{-3}}{4,30} = 1,05$$
kN. m





$$k_2 = \frac{2x \cdot 2.25.10^{-3}}{3,30} = 1,36$$
kN. m

$$2 (k_1 + k_2) = 4.82 \text{ kN. m}$$

$$2(2xk_1 + k_2) = 6.92 \text{ kN. m}$$

L'équilibre du nœud 1 s'écrit :

$$M_{1.2} + M_{1.6} = 0$$

$$\rightarrow$$
 2 (k₁ + k₂)a₁ + k₁a₂ + k₂a₆ = -(m_{1.2} + m_{1.6}) = b₁

En écrivant ainsi l'équilibre de tous les nœuds, nous obtenons 6 équations a 6 inconnues $(a_1, a_2, a_3, a_4, a_5, a_6, a_7, a_8, a_9, a_{10})$. Ces équations sont les suivantes :

• Nœud 1 : 2
$$(k_1 + k_2)a_1 + k_1a_2 + k_2a_6 = -(m_{1,2} + m_{1,6}) = \mathbf{b_1}$$

• Nœud 2 : 2
$$(2k_1 + k_2)a_2 + k_1a_1 + k_1a_3 + k_2a_5 = -(m_{2.1} + m_{2.3} + m_{2.5}) = \mathbf{b_2}$$

• Nœud 3 : 2
$$(k_1 + k_2)a_3 + k_1a_2 + k_2a_4 = -(m_{3,2} + m_{3,4}) = b_3$$

• Nœud 4 : 2
$$(k_1 + k_2)a_4 + k_1a_5 + k_2a_3 = -(m_{4.5} + m_{4.3}) = \mathbf{b_4}$$

• Nœud 5 : 2
$$(2k_1 + k_2)a_5 + k_1a_4 + k_1a_6 + k_2a_2 = -(m_{5.4} + m_{5.6} + m_{5.2}) = \mathbf{b_5}$$

• Nœud 6 : 2
$$(k_1 + k_2)a_6 + k_1a_5 + k_2a_1 = -(m_{6.5} + m_{6.1}) = \mathbf{b_6}$$

Une fois le système d'équation résolu, suivant les différents cas de chargement, ce sont ceux produisant les effets les plus défavorables qui sont considérés pour les combinaisons de charge. Les moments M_{ij} obtenus étant les moments au nœud. Les moments à mi-travée sont donnés par l'expression :

$$M_{\text{mi-trav\'ee}} = \frac{M_{gauche} - M_{droite}}{2} + M_{isostatique}$$

De plus, les réactions aux appuis gauche et droite sont déterminées par la relation :

$$R_{agt} = \frac{M_{adt} - M_{agt}}{2} + \frac{P \times L}{2}$$
 et $R_{adt} = \frac{M_{agt} - M_{adt}}{2} + \frac{P \times L}{2}$

Les combinaisons d'actions utilisées sont :





Schéma de calcul équivalent :

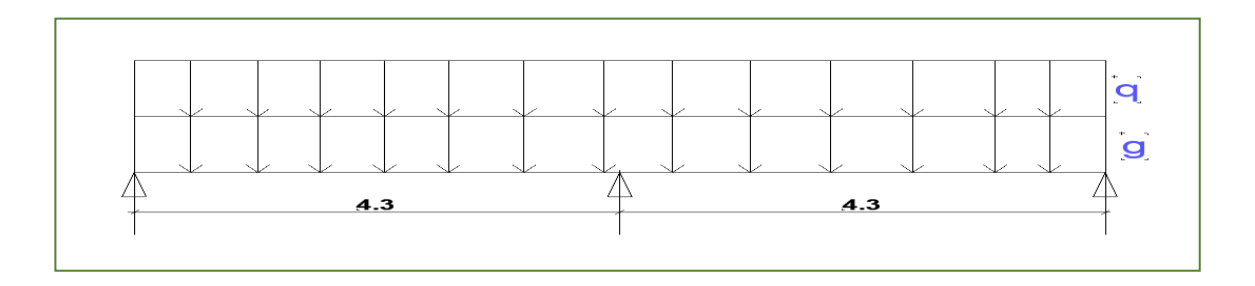


Figure 11:schéma équivalent de chargement

II. ÉVALUATION DES CHARGES APPLIQUEES SUR L'OUVRAGE.

1. CHARGES PERMANENTES

Les chargements sont ramenés à des charges uniformément réparties dont les intensités sont majorées par les combinaisons d'action. La charge maximale servira à charger en particulier une entière travée. Suivant leur impact longitudinal, ces charges sont aussi appliquées sur les deux travées adjacentes. Dans tous les cas, les surcharges appliquées aux dalots ne seront pas inférieures à 2 t/m².

Il est également pris en compte une poussée des terres Qr = 1 t/m² (Srmax = Ka x Qr) due aux surcharges de remblai et agissant sur les piédroits.

Les charges permanentes seront évaluées pour une bande de B = 1 m de largeur de dalot. Les tableau 25 ;26 et 27 récapitulent les charges permanentes sur la traverse et sur le radier. Les détails de calcul seront consignés en **annexe V page 97.**

a) Charges verticales

Tableau 25: Récapitulatif des charges permanentes sur la traverse

N°	DESIGNATIONS	FORMULE	RESULTAT(kN/ml)
1	Poids propre de la	Poids propre de la $e_1 \times \gamma_b \times b$	
	dalle		
2	Poids remblai+	$e_2 \times \gamma_d \times b + (e_3 \times a)$	19,1
	revêtement	$\gamma_b \times b$)	
3	Poids propre des	$2(e \times h \times \gamma_b \times L)$	4,98
	guides roues(C)	l_{radier}	
Tota	al G1	31,58	





Tableau 26: Récapitulatif des charges permanentes sur le radier

N°	DESIGNATIONS	FORMULE	RESULTAT(kN/ml
)
1	Poids propre du radier	$e_1 \times \gamma_b \times b$	7,5
2	Poids propre de la	$e_1 \times \gamma_b \times b$	7,5
	dalle(A)		
3	Poids remblai+	$e_2 \times \gamma_d \times b + (e_3 \times \gamma_b \times a)$	19,1
	revêtement	<i>b</i>)	
4	Poids propre des	P_{ra}	7,59
	piedroits	$= \frac{(n+1) \times H \times e \times \gamma_b}{n \times L + (n+1) \times e}$	
		$- n \times L + (n+1) \times e$	
5	Poids propre des	$2(e \times h \times \gamma_b \times L)$	4,98
	guides roues(C)	l_{radier}	
Tota	1 G2	46,67	

a) Charges horizontales

Tableau 27: Récapitulatif des charges permanentes sur la traverse

Partie d'ouvrage	Piédroit (partie sup)	Piédroit (partie inf)
Charges (kN/ml)	6,993	28,971

2. CHARGES D'EXPLOITATION

Les surcharges à considérer dans le calcul comprennent les systèmes B (Bc, Bt, Br) et Mc120. On peut disposer sur une seule travée longitudinalement 1 seul camion type et transversalement 2 camions types de façon à avoir l'effet le plus défavorable.

On admet une diffusion à 30° dans les deux directions dans le corps du remblai et une diffusion à 45° dans le béton. Lorsque plusieurs rectangles d'impact se chevauchent, on répartira uniformément la charge totale sur le rectangle enveloppe. Le rectangle d'impact de la fibre neutre est u*v tel que :

$$U=u_o +2tan30^{\circ} \times (e_r + H_r) +e \times tan45^{\circ}$$

$$V = v_o + 2tan30^{\circ} \times (e_r + H_r) + e \times tan45^{\circ}$$

 $u_0 = largeur de la roue et v_0 = longueur de la roue$

$$e_r + H_{r=0,05+0,9} = 0.95m$$
;





 $2\tan 30^{\circ} = 1,155 * et \tan 45^{\circ} = 1$

 $u=u_0 +1,155\times0,95+0,3\times1=u_{0+1,40}$

 $V=v_0+1,155\times0,95+0,3\times1=v_{0+1,40}$

Les tableaux 28 et 29 récapitule les charges routières respectivement sur la traverse et sur le radier. Les détails de calcul seront consignés en **Annexe VI Page 98**

Tableau 28: Récapitulatif des charges routières sur la traverse

Désignation	Système Bc	Système Bt	Système Br	Système Mc120	
Q en kN/m ²	65,02	50,75	54,34	41,94	
G en kN	126,32	126.32	126,32	126,32	
Q en kN	240	320	100	1100	
Coef de majoration δ	1,23	1.375	1,24	1,55	
Q en kN/ml	86,48	69.78	67,38	65,00	
Choix	La charge Bc est la plus défavorable avec Q = 86.48 kN/ml				

Tableau 29: Récapitulatif des charges routières sur le radier

Désignation	Système Bc	Système Bt	Système Br	Système Mc120	
Q en kN/m ²	65,02	50,75	54,34	41,94	
G en kN	186,68	186,68	186,68	186,68	
Q en kN	240	320	100	1100	
Coef de majoration δ	1,29	1,32	1,21	1,50	
Q en kN/ml	83,87	66,99	65,75	62,91	
Choix	La charge Bc est la plus défavorable avec Q = 83.87 kN/m				

III. CALCUL DES EFFORTS ET SOLLICITATIONS

Le calcul des différentes sollicitations est sous charges permanentes et d'exploitation sont détaillées respectivement en **ANNEXE V page 106.**

1. RÉSULTATS DU CALCUL DES SOLICITATIONS

Apres déterminations des charges (permanentes et d'exploitation), nous pondérons ces charges a l'ELS et à l'ELU. Les résultats des calculs des sollicitations sont consignés dans le tableau 30.



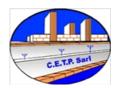


Tableau 30:Résultats du calcul des sollicitations agissant sur le tablier et radier

ELEMENTS	RECAPIT	ULATIF	DES CHARG	Combinaison d'actions		
			Charges	Charges		
	SOLLICITATI	ONS	permanentes	routières	ELU	ELS
		Appuis gauche	58,99	56,85	170,60	127,21
TABLIER	MOMENT	Appuis droite	58,99	121,50	274,04	192,29
	FLECHISSANT (kN.m/ml)	Mi- travée	24,59	78,54	158,86	108,05
		Appuis gauche	81,91	61,39	208,80	159,68
RADIER	MOMENT	Appuis droite	93,34	67,47	233,01	174,30
	FLECHISSANT (kN.m/ml)	Mi- travée	81,91	76,525	233,96	173,74

Tableau 31:Résultats du calcul des sollicitations agissant sur les piédroits

	RECAPITULATIF D	ES CHAR(Combinaison d'actions		
	SOLLICITATIONS	Charges permane ntes	Charges routières	ELU	ELS
ELEMENTS	MOMENT FLECHISSANT (kN.m/ml) piédroit extrême	-5,695	25,34	32,86	24,71
	EFFORT NORMAL	-37,39	185,50	246,32	185,21
	MOMENT FLECHISSANT (kN.m/ml) piédroit				
	intermédiaire	3,40	8,36	17,97	13,43
	EFFORT NORMAL (kN)	190,75	282,42	709,38	529,65





2. CALCUL DES SECTIONS D'ARMATURES

Les hypothèses de calcul et les caractéristiques des différents matériaux utilisés (béton, acier, remblai) sont spécifiées aux I-2.

Le calcul des sections d'armatures du corps d'ouvrage sont détaillés **en** *ANNEXE V page* 112.

Le tableau 32 récapitule l'ensemble des sections.

Tableau 32:tableau récapitulatif du choix des sections d'armatures

		Dimen	sions	Se	ection d'acier	S	
Par	tie	(cm)			Espacement		
d'ouv	d'ouvrage		h	Théorique	Choix	Adoptées	(Cm)
				(cm ²)		(cm ²)	
		100	30	18,55	1er lit : 9HA12	20,40	15
	En				НА		
	travée				2ème lit :		
Т	travec	100	20	24.40	9HA12 HA	26.10	1.7
Taverse		100	30	34,49	1 ^{er} lit : 7HA14 + 2HA16	36,19	15
	Sur				+2 HA16 2ème lit :		
	appui				Zeme m.		
	En	100	30	29,87	1 ^{er} et 2ème lit:	32,2	10
	travée				8HA14 +		
	uuvee				+ 2HA16 HA		
Radier		100	30	31,16	1 ^{er} et 2ème lit:	32,2	15
	Sur				8HA16 HA		
	appui				: 8НА16 НА		
		100	30	10,4	AV: 8HA 14	12,3	15
Piédro	its de				AH : 4HA12	4,52	20
riv							
Piédr	oits	100	30	4,47/face	AV: 7HA 10	5,5	15
intéri					AH : 7HA10	5,5	15
meer							



IV. CALCUL DU MUR EN AILE

Le mur en aile sera considéré comme un mur de soutènement de type cantilever. Le rôle de cet ouvrage de soutènement est de retenir un massif de terre. L'étude de ce mur de forme trapézoïdale nécessite une méthode spécifique d'étude et de contrôle du dimensionnement dans le but d'assurer sa stabilité. Le mur cantilever en béton armé qui, doté d'une base élargie encastrée à la partie supérieure du sol, fonctionne sous l'effet du poids du remblai ; c'est un ouvrage rigide. Le calcul du mur et ses vérifications demande une succession de calculs cohérents et itératifs. Il est important de pré-dimensionner de la manière rigoureuse les caractéristiques géométriques du mur dans le but d'arriver de façon rapide aux bons résultats.

L'utilisation de quelques règles simples pour les murs-cantilever « courants » en béton armé permet de choisir rapidement les dimensions du mur.

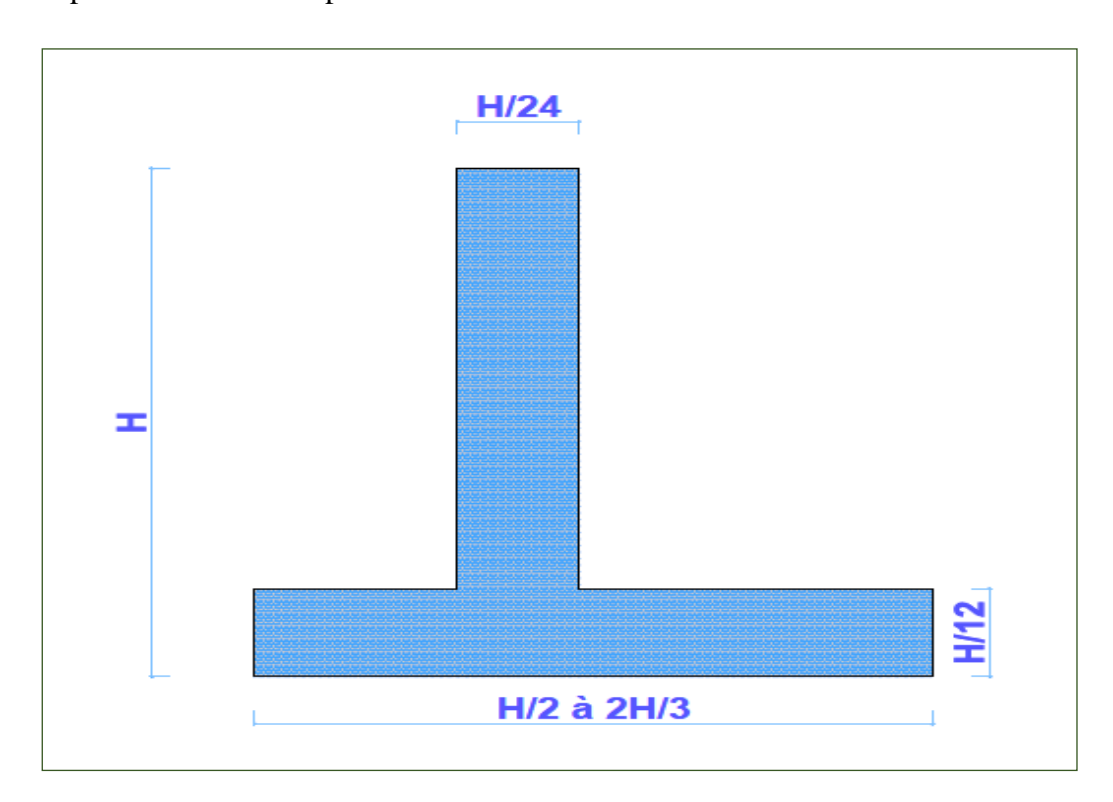


Figure 12:Schéma du mur

1. PREDIMENSIONNEMENT DES EPAISSEURS

La hauteur du mur varie de $H_{min} = 1,40$ m à $H_{max} = 5,0$ m

Le calcul des dimensions du mur avec H_{min} est synonyme de le sous-dimensionner, tandis le calcul avec H_{max} reviendrait à le surdimensionner. Dans notre cas, nous allons faire une moyenne donnée par la formule suivante : $H_m = \frac{H_m + H_m}{2} = 3,20m$

Dans le souci d'avoir un bon prédimensionnement, nous allons retenir la valeur de Hm



comme étant : $H_m = 0.80 \times H_{max} = 0.80 \times 5 = 4.00m$

✓ Épaisseur en tête et à la base du mur

Elle est évaluée par la formule suivante : $e_1 = \frac{H_c}{24} = \frac{400}{24} = 16,67$

Choix : $e_o = 30cm$

✓ Largeur b de la semelle

Elle est donnée par :
$$\frac{1}{2}H_{max} \le b \le \frac{2}{3}H_{max} = 2,50m \le b \le 3,30m$$

La valeur b = 3,35 sera retenue dans le souci de satisfaire les vérifications de la stabilité externe.

Choix : b = 3.35

✓ Largeur b1 du patin :

Elle vaut :
$$b_1 = \frac{b}{3}$$
 soit $\frac{2.5}{3} \le b_1 \le \frac{3.30}{3} \to 0.833 \le b_1 \le 1,10$
 $\frac{1}{2}H_{max} \le b \le \frac{2}{3}H_{max} = 2.50m \le b \le 3,30m$

Choix : $b_1 = 1.00m$

✓ Largeur b2 du talon

Elle se déduit :
$$b_1 = b - (b_1 + e_1) = 3.35 - (1 + 0.30) = 2.05m$$

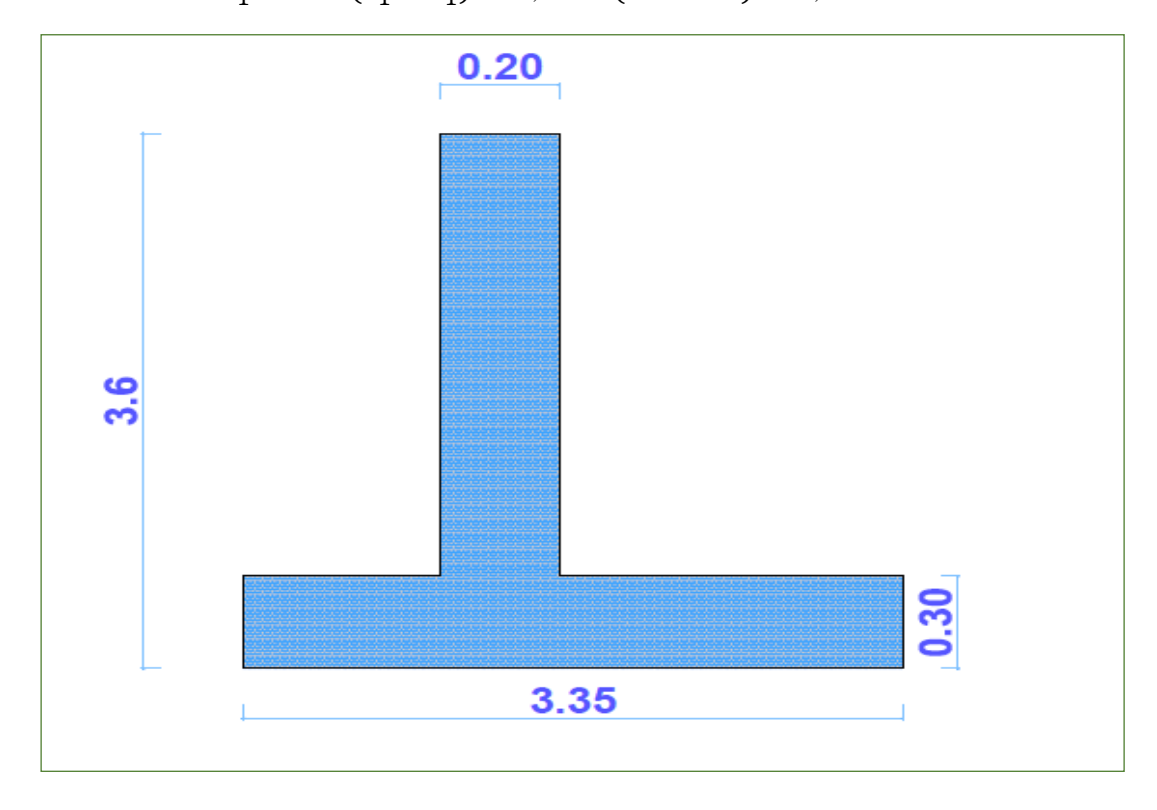


Figure 13:Dimensions du mur en aile





2. HYPOTHESES DE CALCUL DU MUR EN AILE

Les calculs sont effectués pour une bande de 1 m de mur. Les paramètres de calcul sont les suivants :

Pour le remblai, les caractéristiques sont les suivantes :

- Cohésion c = 0
- Coefficient de poussée
- Poussée passive nulle sur l'avant du patin
- Angle de frottement interne $\emptyset = 30^{\circ}$
- Poids volumique des terres $\gamma s = 18 \text{ kN/m}^3$
- Terre-plein horizontal non chargé

- Horizontale :
$$K_{aH} = tan^2 \left(45 - \frac{\emptyset}{2} \right) = tan^2 \left(45 - \frac{30}{2} \right) = 0.333$$

- Verticale : $K_{aV} = 0$
- Hauteur de remblai sur le patin h = 0.40 m
- Pour le sol de fondation sous la semelle (remblai compacté), on a
- Angle de frottement interne \emptyset ' = 20°
- Contrainte du sol : $\sigma_o \simeq 1.4 \ bar \simeq 1.4 \times 10^2 kN/m^2$
- Cohésion c'= 0

L'enrobage st pris égal 5 cm pour la semelle du mur et 3 cm pour les autres parties.

3. EVALUATION DES FORCES ET MOMENTS APPLIQUÉES AU MU

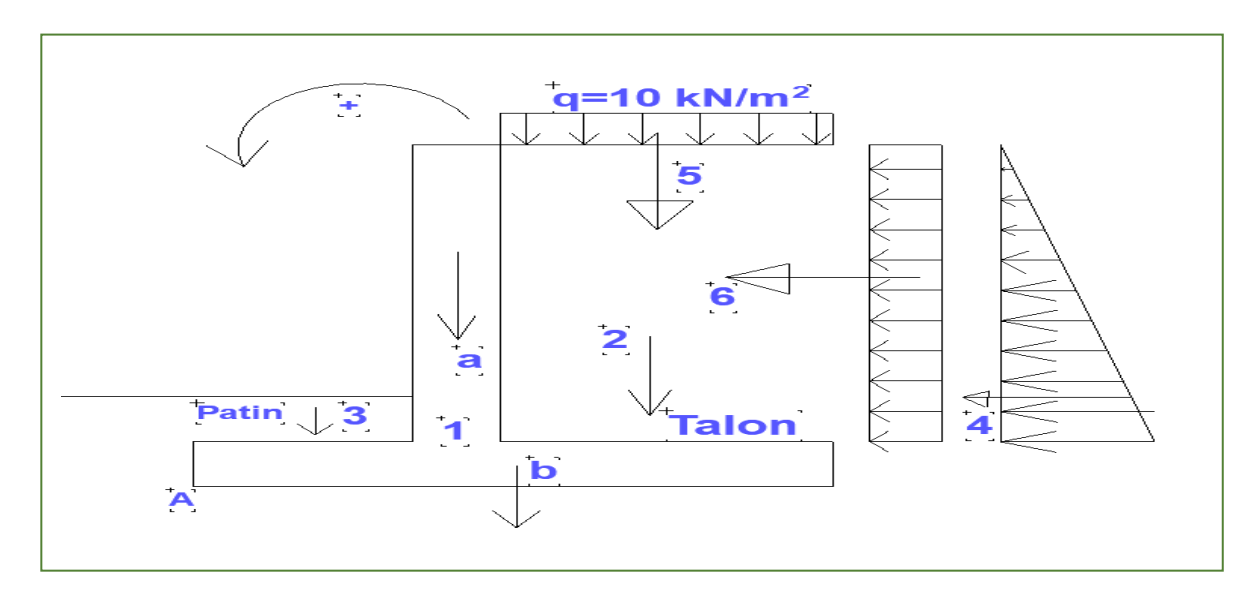


Figure 14:bilan des forces appliquées au mur





Tableau 33: feuille de calcul des moments fléchissants

Désignation			Partie 'ouvrage	Actions horizontale $R_{H} = P_{G} \ ou \ P_{Q} \ en$ KN/ml		Actions verticale R _V = G en KN/ml		Bras de levier	M _{/A} en KN.m/ ml
		a.	Voile			3.6x0.3x25	27	1.15	-31.10
		<u>b</u>	Semelle			2x0.3x25	33.50	3.35/2	-56.12
		1	Mur				60.5		-87.20
Charges G			(atb)						
arge		2	Terre			3.6x2.05x20	147	2.325	-343.20
ਰਿੰ	Poids du		(talon)						
	mur	3	Terre			1.00 x 0.40 x 20	8	0.50	-4.00
	III		(patin)						
		4		$0.33x20x3.6^{2}$	43.20			4/3	+57.60
				2					
	Charges	5				10x2.05	20.5	2.325	-47.70
	d'exploitati								
	on								
Charges Q	Poussée due	6		0.33x10x3.6	12.00			4/2	24.00
harg	à la								
3	surcharge								
	d'exploitati								
	on								

$$R_V = 60,50 + 147,60 + 20,5 = 228,60$$

$$R_{H} = 55.2 \text{ kN}$$

• Sous la combinaison C3

$$M_{/A}$$
=-87,16-343,17 + 57,60 = -372,73 kN

$$R_V = 60,50 + 147,60 + 0 = 208,10$$
kN

$$R_H = 43,20 \text{ kN}$$

4. VÉRIFICATION DE LA STABILITÉ DU MUR

De façon générale, le mur de soutènement se trouve soumis à un effort de poussée P et un effort de butée B (considérée comme stabilisante).

• Vérification au renversement (non basculement)

La stabilité est être définie comme le rapport du moment des forces stabilisatrices sur le moment des forces de renversement, moments évalués par rapport au point A. Forces de renversement : poussée Pt, résultante éventuelle des sous-pressions de l'eau U.

Forces stabilisatrices: poids Pi, butée B.

Le coefficient de sécurité au renversement est donné par : $\frac{\sum moment\ stabilisant}{\sum moment\ renversant} = \frac{M_S}{M_T}$

La sécurité est assurée pour $F_r \ge 1.5$

TSABDO LIONEL

La vérification au non renversement est effectuée sous la combinaison C2 en prenant pas en compte la butée sur le patin.

Moment stabilisant : $M_s = 87,16 + 343,17 + 47,66 = 477,99$ kN. m

ÉTUDES TECHNIQUES DÉTAILLÉES DES TRAVAUX DE RÉHABILITATION DE LA ROUTE NATIONALE N°2 : « CAS DU TRONÇON EBOLOWA-AMBAM » (91780 ml) : RÉGION DU SUD - CAMEROUN.





Moment renversant : $M_r = 57,60 + 24,00 = 81,60$ kN. m

Il vient :
$$F_r = \frac{M_s}{M_r} = \frac{477,99}{81,00} = 5,8 > 1,5$$

La stabilité du mur est donc vérifiée

• Stabilité au non glissement et non poinçonnement du sol d'assise

Le coefficient de sécurité au glissement est $F_g = \frac{c'*b + R_V tan\theta}{R_H} \ge 1.5$

Avec:

- b = 3,35 m, largeur du mur à la base
- θ = 20°, angle de frottement entre le mur et la base du mur
- RV = composante horizontale de la résultante des forces

$$\sigma_{ref} \leq \overline{\sigma_{ser}} = \sigma_0 * \delta_R$$

• RH = composante verticale de la résultante des forces

$$F_g = \frac{0*b + R_V tan\theta}{R_H} = \frac{R_V tan\theta}{R_H} \ge 1.5$$

La justification du non-poinçonnement consiste à s'assurer que la contrainte verticale de référence σ_{ref} au quart de la largeur comprimée est au plus égale à la contrainte de calcul que, et convenablement corrigée pour tenir compte de l'excentricité et de l'inclinaison δg sur la verticale de la résultante R des actions appliquées.

La condition suivante doit être vérifiée : les sollicitations de calcul (résultantes des forces verticales et horizontales, moment résultant de ces forces au point A) permettent la détermination des contraintes verticales exercées par la semelle du mur sur le terrain d'assise. Le sol d'assise est supposé élastique, et la semelle infiniment rigide. Il en résulte que le diagramme des contraintes sur le sol peut valablement être supposé linéaire. Le tableau 34 récapitule la vérification au non glissement et non poinçonnement de notre mur.





Tableau 34: Vérification au non glissement et non poinçonnement

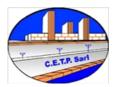
Désignation	Combinaison C1	Combinaison C2	Combinaison C3		
M/A (kN.m/ml)	-400,39	-396,39	-372,73		
Rv (kN/ml)	236,60	228.60	208,10		
RH (kN/ml)	55,20	55,2	43,20		
Coefficient de sécurité au					
glissement Fg =	1,56	1,51	1,75		
$Rv*tan\Theta/RH \ge 1,5$					
Vérification Fg > 1,5	La condition est vérifiée	La condition est vérifiée	la condition est vérifiée		
Excentricité $eA = M/A/Rv$	1,69	1,73	1,79		
Tiers centrale $b/3 = 0.67$;	La résultante R passe	La résultante R passe	La résultante R passe dans		
2b/3=2	dans le tiers central	dans le tiers central	le tiers central		
$\sigma_{ref} = \frac{5R_V}{2b}(1 - 1.2\frac{e_A}{b})$	69,68	64,88	55,72		
$tan\delta_R = rac{R_H}{R_V}$	0,233	0,241	0,207		
δ_R en radian	0,229	0,236	0,203		
$e^{-\delta_R}$	0,796	0,790	0,816		
$\overline{\sigma_{ser}} = \sigma_0 \ e^{-\delta_R}$ $1.35e^{-\delta_R}$	107,38	106,65	110,16		
Condition de non			55.72 < 110,16 la		
poinçonnement	condition au		condition au		
$\sigma_{ref} < \overline{\sigma_{ser}}$	poinçonnement est vérifiée	poinçonnement est vérifiée	poinçonnement est vérifiée		

Le non glissement du mur est vérifié sous les 3 combinaisons

La stabilité au non - glissement du mur est vérifiée avec les 3 combinaisons

N.B: Le non glissement du mur est vérifié lorsque le Coefficient de sécurité au glissement Fg respecte la condition : 1,5 < F_g < 2





5. CALCUL DES SECTIONS D'ACIER ET FERRAILLAGE DU MUR

Le calcul des sections d'armatures du mur en aile sont consignés en Annexe V Page120.

Récapitulatif des sections d'armatures d'un mur en aile pour 1 ml d'ouvrage

Tableau 35:Récapitulatif des sections d'armatures du mur en aile

	Désignation	Aciers	Choix des	Espacement (cm)
			aciers	
Voile	Face	Aciers principaux	2×5HA14	20
, 3116	remblayée	Aciers de répartitions	5HA12	20
	Face vue	Aciers principaux	5HA12	20
	Tuce vue	Aciers de répartitions	5HA10	20
	Patin	Aciers principaux	5HA12	20
Semelle	T dtill	Aciers de répartitions	5HA10	20
	Talon	Aciers principaux	8HA14	20
		Aciers de répartitions	6HA12	20

6. PLANS D'EXECUTION

Le dimensionnement structural du dalot a abouti à l'établissement des plans d'exécution

. Ces plans sont regroupés dans en annexe V page 125.

Ce dossier plan comprend:

- Une vue en plan de l'ouvrage;
- Une coupe transversale;
- Une coupe longitudinale;
- Le plan de ferraillage du cadre ;
- Le cahier d'armatures du cadre ;
- Le plan de ferraillage du mur en aile.





CHAPITRE 7 : ETUDE D'IMPACT ENVIRONNEMENTALE ET SOCIALE

Dans cette partie, il sera question de mener une étude d'impact sur l'environnement, d'identifier et d'analyser les impacts environnementaux et sociaux en phase de planification, d'installation de chantier, celle de construction et pendant l'exploitation. Cette étude vise tout aussi à proposer des mesures d'atténuations. Sa démarche a pour avantage également d'éviter d'intervenir après- coup pour limiter les dégâts dont les corrections seront difficiles, insatisfaisantes et voire très onéreuses. Du coup, elle est bénéfique non seulement pour l'environnement, mais aussi pour le maitre d'ouvrage.

I. CADRE LEGISLATIF ET REGLEMENTAIRE

Plusieurs intervenants sont impliqués dans la mise en œuvre de la procédure de l'EIES au Cameroun et selon la nature et l'importance du projet. Dans le cadre du présent projet, le cadre Institutionnel concerne les Institutions Publiques Nationales, notamment les Ministères des Travaux Publics (MINTP); des Forêts et de la Faune (MINFOF); de l'Agriculture et du Développement Rural (MINADER); de l'Economie, des Affaires Sociales (MINAS); de la Planification et de l'Aménagement du Territoire (MINEPAT); de l'Environnement, de la Protection de la Nature et du Développement Durable (MINEPDED); des Transports. La réalisation de ce projet s'appuie sur le cadre défini dans la politique nationale en matière de protection de l'environnement qui situe les enjeux environnementaux au Cameroun et les textes législatifs et réglementaires tels que :

- La loi cadre n° 96/12 du 5 Août 1996 relative à la gestion de l'environnement. Complétée par le décret N° 2013/0103/PM du 14 février 2013 qui fixent les modalités de réalisation des EIE au Cameroun ;
- La loi n° 94/01 du 20 janvier 1994 portant Régime des Forêts, de la Faune et de la pêche ;
- La loi n°96/67 du 08 avril 1996 portant protection du patrimoine routier national;
- Le décret n°2003/418/PM du 25 Février 2003 fixant les tarifs des indemnités ;
- L'arrêté N°00001 /MINEPDED du 08 Février 2016 qui fixe les différentes catégories d'opérations soumises à la réalisation d'une étude d'impact détaillée ;





II. IDENTIFICATION ET ANALYSE DES IMPACTS ENVIRONNEMENTAUX ET SOCIAUX 1. PENDANT LA PHASE DE PLANIFICATION ET D'INSTALLATION DE CHANTIER

Les impacts environnementaux et sociaux pendant cette phase sont les suivantes :

- Désillusion de la part des entreprises locales ; Immigration spontanée de potentiels demandeurs d'emploi dans la zone du projet et frustration chez les jeunes qui crée un Risque de détérioration de la paix sociale. Résurgence de conflits latents ;
- Erosion des sols par mouvements des engins lourds ;
- Une augmentation des niveaux sonores dans la région et une perturbation de la circulation causée par le transfert des engins.

2. PENDANT LA PHASE DE CONSTRUCTION

a) Impact sur l'environnement

♣ Dégradation de la qualité de l'air

Elle sera causée par :

- Une augmentation de la concentration des polluants présents dans l'air provenant des gaz d'échappement des véhicules et engins travaillant sur les différentes sections de la voirie ;
- Le soulèvement des poussières plus ou moins intenses selon les différentes phases et le mode de travaux au niveau des différentes plates-formes d'exécution des travaux ;
- •La formation éventuelle de brouillard photochimique suite à des réactions liées principalement à la présence de mélange d'hydrocarbure et d'oxydes d'azote

Erosion des sols

Les mouvements des engins motorisés risquent d'entraîner l'érosion des sols par Compactage. Cet impact est de courte durée, de portée localisée et d'intensité moyenne.

Pollution sonore

Les mouvements des engins motorisés vont entraîner une augmentation des niveaux sonores dans la région. Toutefois, cet impact est de courte durée, de portée localisée et d'intensité moyenne. Nous pouvons citer entre autres :





Impacts associés à l'ouverture des carrières

L'exploitation des carrières aura des incidences relativement limitées sur l'évolution pédologique des zones d'emprunts.

↓ Impact sur la végétation

Impacts associés aux zones d'emprunt de matériaux graveleux puisqu'on procède au niveau de ses zones à deux types d'opération :

- Débroussement de la végétation
- Décapage de la terre végétale

a) Les impacts sociaux

Les impacts sociaux négatifs

Parmi les impacts sociaux négatifs on distingue :

- Une nuisance sonore provoquée par les engins et autres outillages qui vont impacter la tranquillité des habitants et villages concernés ;
- Nuisances respiratoires provoquer par les échappements des différents engins et qui pourrai entrainer des maladies respiratoires cher celle-ci risque d'accidents de la circulation ;
- Les travaux de renforcement impacteront la circulation sur l'itinéraire Concerné par le projet entrainant des ruptures de communication et la perturbation des déplacements des habitants des villages riverains, et des poids lourds en provenance et à destination des villages Ce qui fera croitre les risques d'accident;
- Risque d'insécurité. L'afflux de nombreux travailleurs peut engendrer l'insécurité en effet le projet devant injecter de l'argent dans la zone d'exécution des personnes mal intentionné peuvent y immigre avec de mauvais dessins ;
- La dépravation des mœurs. Les travailleurs passeront un bon moment dans la zone environnant le projet ils peuvent s'adonner à des pratiques indécentes ;
- Risque dégradation de santé avec notamment la propagation des maladies sexuellement transmissible.

Les impacts sociaux positifs

- Réduction du chômage dans la zone d'impact du projet avec le recrutement de nombreux jeunes dans cette région ;
- Développement d'activités génératrices de revenus. (Restauration, vente de produits du





cru comestibles, etc.) aux abords des chantiers ;

•La réalisation du projet va accroître le nombre des investissements (infrastructures Communautaires) dans les différentes localités traversées et contribuer à leur développement.

3. PENDANT LA PHASE D'EXPLOITATION

a) Impacts sur L'environnement

Nous pouvons citer entre autres :

- Pollution de l'air : les gaz produisent par les tuyaux d'échappements des différents engins qui circulerons sur la voie vont altère la qualité de l'air dans la zone environnante de la voie ;
- Pollution sonore : le bruit provoquer par la circulation sur la voie va affecter la vie des riverains de la zone d'impact direct du projet en effet le brui accentué les risque d'obtention de certaines maladies Cardiaque ;
- Impact sur la faune

Pendant la phase d'exploitation, la circulation des véhicules sur les voies constitue un risque d'accident pour le bétail qui a l'habitude de promener en ces endroits.

a) Impacts socioéconomiques



- •Le renforcement de la voie rendra plus fluide le mouvement des populations ce qui renforcera les relations commerciales et culturelles entre les localités située sur le tracée de la route ;
- Développement de la localité ce qui va augmentation un bienêtre des populations ;
- Augmentation des revenus des habitants du fait de la facilité d'évacuer les productions agricoles vers les grands centres urbains.

Impacts sociaux négatifs

• Risque accru d'accident routier

III. MESURES D'ATTENUATION PRECONISEES

Pour atténuer l'impact environnemental cité ci-dessus nous préconisons les solutions suivantes

1. PHASE DE CONSTRUCTION

Les solutions préconisées sont les suivantes :





- Réaliser les aménagements dans l'emprise définie pour les travaux, procéder à l'arrosage de la voie et utiliser des engins en bon état afin de limiter les émissions des gaz ;
- Éviter l'abattage abusif des arbres et Appliquer les clauses environnementales régissant les Conditions de préservation de la biodiversité (Gestion déchets de chantiers, Réhabilitation des zones d'emprunt) ;
- Respecter les clauses environnementales établies définissant les conditions de sécurité routière et appliquer ;
- •Le plan de circulation établi (Information et sensibilisation de la population sur les risques d'accident);
- Respecter les normes en matière de sécurité (usage de cache-nez) ;
- Organiser des Campagne de sensibilisation VIH pendant la phase de construction ;
- Rencontrer les autorités villageoises pour définir les conditions de cohabitation et donner des consignes au personnel sur les respects des coutumes ;
- Respecter les mesures de sécurité établies. Renforcer la sécurité dans la zone.

2. PHASE D'EXPLOITATION

Les solutions préconisées sont les suivantes :

- L'entrepreneur devra construire dans les règles de l'art un atelier mécanique susceptible de recevoir les engins et véhicules de chantier pour les différentes révisions et entretiens courant. Avec des réservoirs pour recueillir les huiles usager ;
- Les sites d'installation de chantier devront être aménagés loin des cours d'eau, de même que le centre d'enrobage devra être loin des zones d'habitation et surtout des forages d'alimentation en eau potables des villages ;

L'entrepreneur prendra les mesures et les précautions suivantes :

- Arrosage périodique des plates-formes des terrassements pour atténuer l'impact sur la qualité de l'air ;
- Mise en place d'un filet de protection sur les camions transportant des matériaux ;
- L'entrepreneur fera en sorte de cesser les mouvements des engins dès 18 heures afin d'atténuer l'impact du bruit ;
- Les sites d'emprunts et de carrières devront faire l'objet d'une réhabilitation effective qui permettra leur remise en culture ou leur reconquête par la végétation naturelle, dans





un délai assez court;

- L'entrepreneur devra sensibiliser les ouvriers sur la problématique du braconnage dans la région ;
- Respecter les normes en matière d'émission de bruit Campagne de sensibilisation sur les questions de pollution liées au transport ;
- Respecter les normes en matière d'émission de bruit ;
- Campagne de sensibilisation sur les questions de pollution liées au transport ;
- Appliquer les clauses environnementales définissant les conditions de préservation de la biodiversité ;
- Renforcer la présence des forces de défense et de Sécurité dans la zone ;
- Créer des conditions susceptibles de renforcer des Autorités administratives et coutumières de la zone ;
- Former les jeunes autochtones et les migrants à la culture de la coexistence Pacifique ; Les tableaux 69 et 70 en annexe IX page 136 à 137 récapitule la Synthèse des mesures d'atténuation ou de bonification des impacts pendant la phase de construction.

IV. SURVEILLANCE ET SUIVI ENVIRONNEMENTAL

La surveillance environnementale est une activité qui vise à s'assurer que le maître d'ouvrage respecte ses engagements et ses obligations en matière d'environnement tout au long du cycle de vie du projet. Elle a pour objectif essentiel de réduire les désagréments susceptibles d'être causés par les activités du projet sur les populations et sur les différents milieux. Le programme de surveillance élaboré lors de l'EIES a donc pour but :

- De s'assurer de la mise en œuvre des mesures d'atténuation, de compensation ou de bonification prévues dans l'EIES ;
- De s'assurer du respect des exigences relatives aux lois et règlements en vigueur ;
- De faire respecter l'échéancier de réalisation ;

Quant au suivi environnemental, il s'effectuera lors de la phase d'exploitation. Le promoteur du projet (Gouvernement Camerounais) sera responsable de la mise en œuvre de l'ensemble des mesures de mitigation. Il doit veiller à mettre en place le dispositif nécessaire pour un meilleur suivi du projet.





CHAPITRE 8 AVANT METRE ET ESTIMATION DES COUTS DU PROJET.

L'étude de prix est une étape importante dans l'élaboration d'un projet car elle permet d'estimer tous les facteurs influençant le coût d'un ouvrage et de prévoir les besoins financiers nécessaires à sa réalisation. Cette étude vise donc à estimer le cout d'un ouvrage avant sa réalisation. La gestion de la variété des facteurs qui influent sur un prix nécessite une approche méthodique appelée la méthode des sous détails de prix. Cette méthode permet d'intégrer tous les éléments intervenant dans un prix.

Le cout d'un projet est donné par la formule :

PV = DS + FC + FG + A + B

Dans laquelle:

- DS= Déboursé sec
- FC= Frais de chantier
- FG= Frais généraux d'entreprise
- A = Aléas
- B = Bénéfice

Dans cette partie nous avons procéder aux étapes suivantes pour la détermination du cout total du projet :

- Calcul du coefficient K qui regroupe le coefficient de frais des frais généraux de chantier, le coefficient de frais généraux de siège ainsi que les bénéfices et aléas ;
- Calculer le prix unitaire de ventre de chaque détail d'ouvrage en y intégrant les quantités de chaque éléments les engins alloués à chaque tache ainsi que la main d'œuvre nécessaire à l'exécution de chacune de ces taches ;
- Une fois ces différents tâches et coût estimés nous allons les synthétiser en un seul document qui va constituer notre devis quantitatif et estimatif.

Les détails de déterminations du cout de notre projet sont répertoriés en annexe VIII page 132. Si dessous le tableau 36 cadre du devis quantitatif et estimatif de notre projet.





Tableau 36:estimation du coût des travaux

	AM				
Nº Prix	Désignations	Unité	Quantité	Prix Unitaire	Prix Total HTVA
	Série 000: INSTALLATIONS				
1	Installation de chantier	FF	1	700,000,000	700,000,000
2	amener et repli de chantier	FT	1	157,800,000	157,800,000
3	provisoire pour gestions du PGES	PROV	1	200,000,000	200,000,000
	Total	•			1,057,800,000
	Série 100 : Nettoyage et terrassemen	ıt			
4	Débroussaillage	m²	174940	150	26,241,000
5	Déblai à mettre en dépôt	m3	66240	8,375	554,760,000
5	Déblai mis en remblai	m3	99360	4,629	459,937,440
7	Purge	m3	3600	41,800	150,480,000
9	Curage et remise en forme des exutoires existants	u	27	625,000	16,875,000
11	Ouvrages divers en béton ou maçonnerie	m3	26	1,946,930	50,620,191
13	Dalots, buses, ponçeau, S<2 m²	ml	12	1,960,241	23,522,893
14	Dalots, buses, ponçeau, S >=2 m ²	ml	8	26,882,292	215,058,332
	Total				1,497,494,856
	Série 200 : CHAUSSEE				
17	Couche de base	m3	165600	150,000	24,840,000,000
18	Imprégnation sablée	m²	819000	13,887	_ 11,373,453,000
19	Couche d'accrochage	m²	819000	1,600	Page, 310,400,000
20	Couche de roulement en BB	m3	57960	200,000	11,592,000,000
21	Fourniture et pose bordure T2	ml	8610	25,000	215,250,000
	TOTAL				49,331,103,000
	Série 300 : ASSAINISSEMENT-DRAINA	AGE			
27	Recalibrage du cour d'eau	m3	807	24,832	20,039,424
28	Caniveaux bétonnés	m1	868	144,971	125,834,662
32	Avaloir de liaison sous trottoir avec dallette	ml	3721	1,698,725	6,320,955,512
34	Dalot 1,5x1.5	ml	99	459,689	45,509,211
35	Dalot 2x4x3	ml	36	1,356,887	48,847,932
36	Dalot 2x2x2.5	ml	36	3,189,075	114,806,700
37	Mur en aile de dalots 1,5x1	u	44	501,762	22,077,528
38	Mur en aile de dalots 2x4x3	u	16	4,908,222	78,531,552
39	Mur en aile de dalots 2x2x2.5	u	16	3,789,000	60,624,000
40	enrochement	m3	55500	149	8,269,500
41	Perrés maçonnés	m²	9000	42,951	386,560,056
42	Ouvrages Divers en béton armé	m3	750	543,000	407,250,000
	travaux de reconstruction des fossés maconnés	ml	2604	50,000	130,200,000
	travaux de reconstruction des fossés en terre	m1	52075	1,000	52,075,000
43	entretien du pont sur le SENG	ft	1	35,000,000	35,000,000
	Total				7,856,581,077





Tableau 37:estimation du coût des travaux(suite)

				i			
	Série 500 : SIGNALISATION ET EQUIPEMENTS	DE SEC	URITE				
43	lignes blanches longitudinales axiale	ml	91132	800	72,905,600		
44	lignes blanches longitudinales de rive	ml	182264	800	145,811,200		
45	marquages spéciaux	ml	8610	5,012	43,153,320		
46	panneaux de danger de type A,AB	ml	10849	393,400	4,267,996,600		
47	panneaux de prescriptions type B,C	m1	217	250,000	54,250,000		
48	panneaux d'indication de type D,E,EB	ml	87	330,500	28,753,500		
49	49 panonceau de type M			356,400	23,166,000		
50	50 balise de virage			119,400	5,373,000		
51	bornes penta kilométriques	u	32	99,200	3,174,400		
52	fourniture et pose des glissières (GBA/DBA)	ml	6943	12,000	83,316,000		
	Total						
	Série 600 : DIVERS						
49	Plantation d'arbre	u	100	28,668	Page 42,866,756		
50	Espaces verts	m ²	3600	21,493	77,376,578		
	Total						
	TOTAL HTVA						
	12,426,090,963						
	76,977,212,851						
	AIR (2,2% montant total HTVA)						
	63,130,997,206						





CONCLUSION ET RECOMMANDATIONS

Durant la période de stage académique, il a été question, dans la cadre de cette étude, de procéder à la conception d'une structure de chaussée capable de supporter un trafic poids lourds, notamment des grumiers pour la plupart sur la route nationale RN 2 au Sud-Cameroun. Pour y parvenir, les points suivants ont été développés conformément aux objectifs spécifiques visés par la présente étude :

- Une évaluation technique de l'état de la route actuelle :il en ressort que l'état de la route présente des déflexions fortes et un été déformé et fissuré ;
- Une évaluation du trafic actuel et comparée à celui fourni par le ministère des Travaux publics : ici le trafic utilisé pour le dimensionnement a été celui fournir par le MINTP ;
- Proposition d'une structure de renforcement de la chaussée constitué de 5cm de BB en couche de roulement, 17 cm en couche de base et 25 cm en graveleux latéritique naturelle;
- Mener des études devant aboutir au choix de la zone d'implantation des ouvrages d'hydraulique;
- L'élaboration de la méthodologie d'exécution des différentes tâches et estimation du coût d'exécution du projet.

Afin d'atteindre l'objectif fixé, des outils informatiques tels que AutoCAD 2012 pour la confection des plans, Global Mapper pour la délimitation des bassins versants, les classeurs Excel pour le calcul des ferraillages des différents éléments de l'ouvrage d'hydraulique, la détermination des débits et beaucoup d'autres applications ont été mis à contribution. L'essentiel du travail a été fait manuellement.





BIBLIOGRAPHIE

- Babrowski, Y., 2014. Hydraulique urbaine et hydraulique rurale.
- C.E.B.T.P. LCPC : Manuel Pour Le Renforcement Des Chaussées Souples En Pays Tropicaux (Mai 1985).
- C.E.B.T.P. (Ministère De La Coopération Française) : Guide Pratique De Dimensionnement Des Chaussées Pour Les Pays Tropicaux : (1980).
- ➤ Conception et dimensionnement des structures de chaussée : NFP98-136.
- Etude des routes non revêtues VIZIRET, système de gestion de l'entretien d'un réseau.
- ➤ Jeanne BERTHOMIER : Les Routes (Presses Universitaires De France) (1964).
- MM. A. Andrieux; B. Bamba; F. X. Caseneuve; A. Cave; M. Cosyn; J.-P. Courteille;
 P. Dencausse; J.-P. Favreau; P. Gxso; M. Gauthier,; L. Goinard; M. LAMOTTE; R. LE Bihan,; R. LE Diffon; E. Lv Oumar; O. Mattei; j.-S. Moreau; P. Moreau; P. Mussy;
 C. Nerbonne; J. RreHER; M. Soule; S. Sall; J.-C. Tijou, 1980. Guide pratique de Dimensionnement des Chaussées pour les Pays Tropicaux.
- Nguefack kitio carlos « Etude technique de la réhabilitation et du recalibrage des ouvrages de la section Douala-Mbanga » » mémoire de fin d'étude 2019,2IE.
- ➤ NOMBRE JULIEN « Vérification hydraulique et dimensionnement structural d'un ouvrage de franchissement de section 4× (3×3) » mémoire de fin d'étude 2013,2IE.
- Organisation des nations unies pour l'alimentation et l'agriculture (FAO), n.d. Manuel pour l'estimation des crues décennales et des apports annuels pour les petits bassins versants non jaugés de l'Afrique sahélienne et tropicale sèche.
- ➤ OUEDRAOGO abdoul rahim, a.r., 2011. etude technique et detaillee des travaux de construction et de bitumage de l'interconnexion de la rn 01 et rn 04 lot 2 troncon 1 section 2.
- Routier, LCPC, P. Autret, bulletin réf.4104, juillet-aout 1997.
- > SEA : Manuel De Dimensionnement De Chaussées Pour Les Pays Tropicaux (Octobre 1972).
- > Service d'études techniques des routes et autoroutes, centre de la sécurité et des techniques routières, 1994. ARP. Aménagement des routes principales.
- ➤ VAN Tuu, N., 1981. 020H4145 Hydraulique Routière BCEOM.





ANNEXES

ANNEXE I: DIAGNOSTIC ET ETUDES PRELIMINAIRES

ANNEXEII: RE-CONCEPTION GEOMETRIQUE DE LA VOIE

ANNEXESIII: SOLUTIONS DE RENFORCEMENT

ENVISAGÉES

ANNEXE IV: ASSAINISSEMENT DE LA ROUTE

ANNEXE V: ETUDE STRUCTURAL D'UN DALOT 2×4×3

(BASSIN VERSANT 20)

ANNEXE VI: SÉCURITÉ ET SIGNALISATION ROUTIÈRE

ANNEXES VII: PRESENTATION D'UNE MÉTHODOLOGIE

D'EXÉCUTION DES TRAVAUX

ANNEXES VIII: AVANT METRE ET ESTIMATION DES

COUTS DU PROJET.

ANNEXES IX : ETUDE D'IMPACT ENVIRONNEMENTALE ET SOCIALE





ANNEXE I : DIAGNOSTIC ET ETUDES PRELIMINAIRES

I. ETUDE DES DEFLEXIONS

1. CLASSE DE DEFLEXION

Tableau 38: résultats des mesures de déflexions

N°		Distance	Moyenn	Ecart	D90	Classe de
Section	Pk	en km	e	type	(1/100 mm)	déflexion
1	0+000-5+575	5,575	175	21	202	d6
2	5+587.5- 17+362,5	11,775	141	59	218	d6
3	17+375 - 23+975	6,600	113	20	140	d4
4	23+987,5 - 33+637,5	9,650	97	41	151	d5
5	33+675 - 60+075	26,400	130	42	184	d5
6	60+087,5 - 64+925	4,8375	158	25	190	d5
7	64+937,5 - 70+787,5	5,850	96	44	153	d5
8	70+800 - 74+812,5	4,0125	158	33	204	d6
9	74+825 - 81+375	6,550	169	36	216	d6
10	81+387,5 - 84+275	2,8965	95	30	134	d4
11	84+287,5 - 91+337,5	7.05	64	29	101	d4





2. ILLUSTRATION DE LA QUALITE DE LA STRUCTURE DE CHAUSSEE EN FONCTION DE LA CLASSE DE PORTANCE.

Tableau 39:illustration de la qualité de la structure de chaussée en fonction de la classe de portance.

Section	РК	D90 (1/100 mm)	Qualité de la Déflexion	Portance	Qualité de la structure
1	0+000-5+575	202	Forte	Faible	Mauvaise
2	5+587.5-17+362.5	218	Forte	Faible	Mauvaise
3	17+375 - 23+975	140	Forte	Faible	Mauvaise
4	23+987,5 - 33+637,5	151	Forte	Faible	Mauvaise
5	33+675 - 60+075	184	Forte	Faible	Mauvaise
6	60+087,5 - 64+925	190	Forte	Faible	Mauvaise
7	64+937,5 - 70+787,5	153	Forte	Faible	Mauvaise
8	70+800 - 74+812,5	204	Forte	Faible	Mauvaise
9	74+825 - 81+375	216	Forte	Faible	Mauvaise
10	81+387,5 - 84+275	134	Forte	Faible	Mauvaise
11	84+287,5 - 91+337,5	101	Forte	Faible	Mauvaise





Tableau 40: récapitulatif des indices de qualité de la structure

Section	РК	D90 (1/100 mm)	Qualité de la Déflexion	Portance	Etat Apparent (IS)	Indice de Qualité
1	0+000-5+575	202	Forte	Faible	6	<i>Q5</i>
2	5+587.5-17+362.5	218	Forte	Faible	6	Q5
3	17+375 - 23+975	140	Forte	Faible	5	Q4
4	23+987,5 -33+637,5	151	Forte	Faible	6	Q5
5	33+675 - 60+075	184	Forte	Faible	6	Q5
6	60+087,5 - 64+925	190	Forte	Faible	5	Q4
7	64+937,5 - 70+787,5	153	Forte	Faible	6	Q5
8	70+800 - 74+812,5	204	Forte	Faible	6	Q5
9	74+825 - 81+375	216	Forte	Faible	6	Q5
10	81+387,5 - 84+275	134	Forte	Faible	5	Q5
11	84+287,5 - 91+788	101	Forte	Faible	4	Q4





I. RÉSULTATS ISSUS DU COMPTAGE ROUTIER

Les tableaux 41et 42 récapitulent respectivement la moyenne journalière des véhicules et celle des poids lourds uniquement.

Tableau 41:moyenne journalière des véhicules

Désignations	Gros porteur et grands bus	Camionnettes et mini bus	Camions	Véhicule de touriste	Total
Trafic moyen journalier total	79	75	89	99	342

Tableau 42:moyenne journalière des poids lourds

Désignations	Gros porteur et grands bus	Camionnettes et mini bus	Camions	Véhicule de touriste	Total
Trafic moyen journalier total	79	75	89	-	243

1. DÉTERMINATION DU TRAFIC CUMULÉ À L'ANNÉE N=15 ANS SUIVANT LA MÉTHODE CEBTP DES DONNÉES ISSUES DU COMPTAGE ROUTIER.

Données:

- Pour un sens de circulation, nous avons un trafic T₁ de 243 PL/Jour/sens en 2019.
- Un taux d'accroissement de 7% par an

Nous obtenons ainsi un trafic T_n de 243 PL/Jour/sens

$$365 \sum_{1}^{20} T_{n} = max \left\{ 365 \times n \times T_{1} \times \left[1 + \frac{(n-1) \times \tau}{2} \right] \right.$$
$$365 \times T_{1} \times \left[\frac{(1+\tau)^{p} - 1}{\tau} \right]$$

$$C = \frac{((1+\tau)^n - 1)}{\tau}$$
 Ainsi C = 25,13







Ainsi, le Trafic cumulé est de 2228905 PL/Jour. D'où le Nombre d'équivalent d'essieux est donné par $NE = N \times CAM$

<u>NE= 2228905</u> [Essieux]

Selon la classification du CEBTP dans la <u>figure 5</u> la classe de trafic est de type T3. Nous avons un Trafic Journalier par sens de Poids lourd PL et un trafic cumulé de PL en 2034.





ANNEXEII : RE-CONCEPTION GEOMETRIQUE DE LA VOIE

Cette partie mettra en lumière les différents plans ci-dessous :

- Les profils en travers types ;
- Les profils combinés ;
- Les différentes données topographiques après tabulation.



 \vdash S = 9400,000 ZTN = 653,555 ZPRG= 658,403 ECHS=1/ 100 ECHZ=1/ 100 PC = 652.0 PC = 652.0 PROFIL DISTANCES 125 653.55 653.51 -8.48 653.53 653.31 653.29 -7.95 -6.91 653.42 -5.09 653.55 -3.93 653.58 -2.82 0.07 653.54 653.58 653.52 1.98 2.30 653.89 653.95 2.97 3.30 653.96 5.22 8.17 654.46 9.10 654.89 10.60 \bot L

S = 4847.224 ZTN = 677.039 ZPRO= 677.043 ECHS=1/ 100 ECHZ=1/ 100 PC = 675.0 PROFIL Piste.pis DISTANCES 64 680.52 677.92 677.84 677.49 677.32 -9.01 -8.73 -8.32 -8.17 677.10 677.03 677.07 676.98 677.14 5.42 5.58 677.64 6.22 681.26 10.86

S = 11100.000 ZTN = 646.904 ZPRD= 647.406 ECHS=1/ 100 ECHZ=1/ 100 PC = 644.0

DISTANCES

-10.37 -9.82 -9.82

648.48

648.46 648.41 648.38

647.89

646.16 645.91

PROFIL PISTE,PIS

150

 $\boldsymbol{\top}$

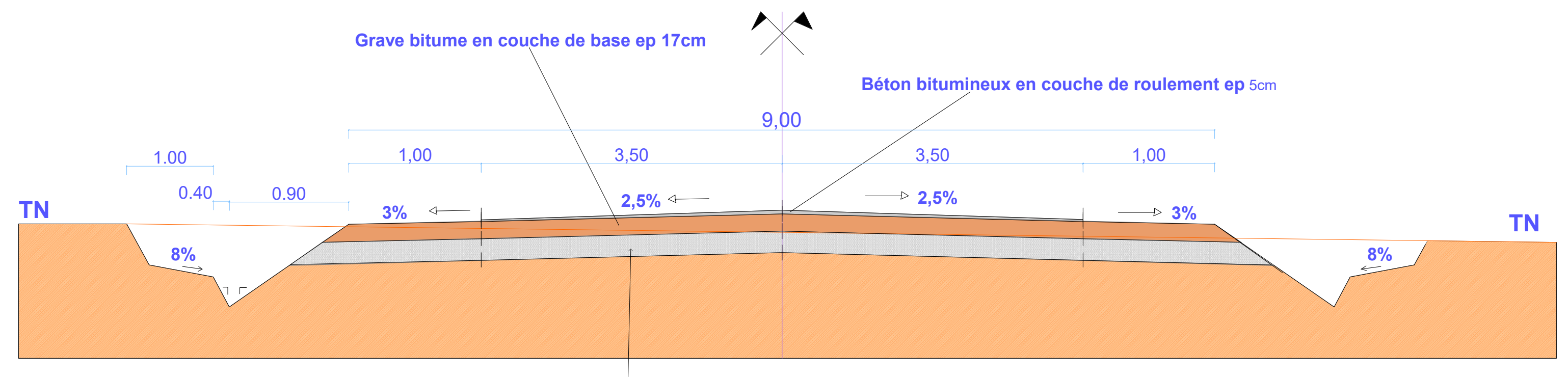
ECHS=1/ 100 ECHZ=1/ 100 PC = 689.0 LICENCE: 3958 PROFIL PISTE,PIS 100.000 692.524 692.878 690.80 N 690.95 691.02 691.07 691.14 -9.63 -9.46 -8.91 -8.39

Etudes techniques détaillées des travaux de Réhabilitation de la routes nationale N2:"cas du tronçon EBOLOWA-AMBAM



06/06/2019	Date
1:100	Echelle

06/06/2019	Date
1:100	Echelle

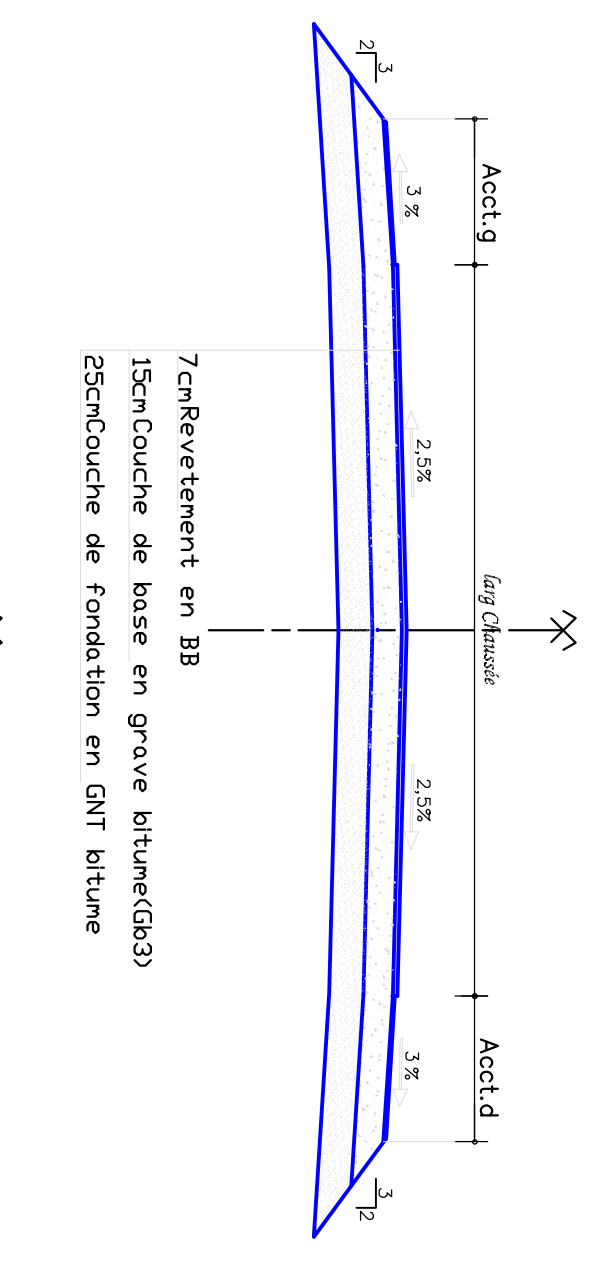


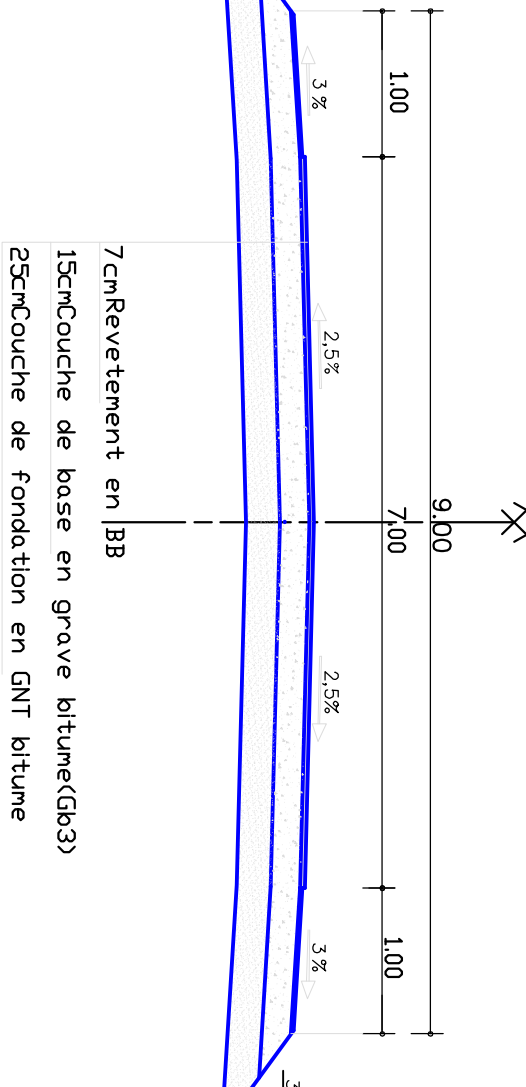
grave latéritique naturelle en couche de fondation ep 25cm

PROFIL EN TRAVERS TYPE

ECHELLE:1/50

PROFIL EN TRAVERS TYPE COURANT DES COUCHES DE CHAUSSEE SUR LE TRONCON





Note:

- 1- Toutes les dimensions indiquées sur le plan sont en cm;
 2 Le fossé représenté sur le plan est à titre indicatif. Sur certaines sections,
- il sera exécuté suivant les conditions du site et des prescriptions y relatives; Le présent plan s'applique sur la section courante de remblai et de déblai;

TSABDO LIONEL ETUDIANT EN MASTER II

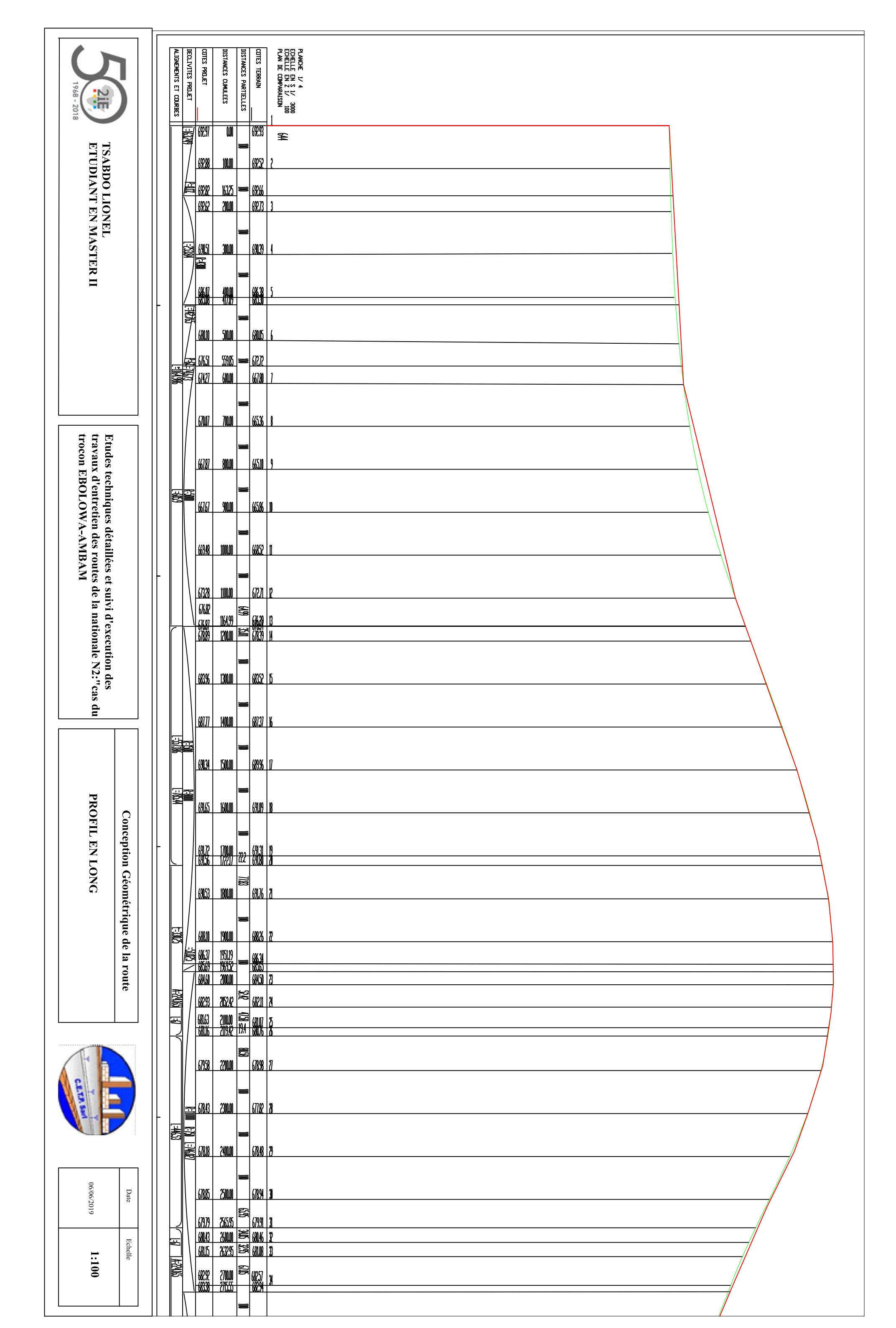
Etudes techniques détaillées des travaux de Réhabilitation de la routes nationale N2:"cas du tronçon EBOLOWA-AMBAM

Plan d'exécution des dalots

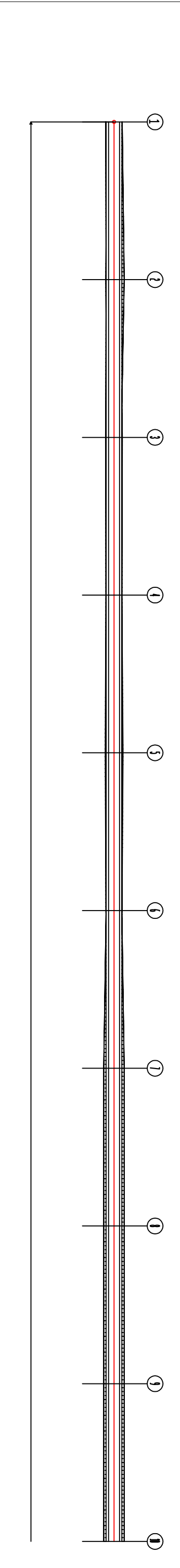
Profil en travers



06/06/2019	Date
1:100	Echelle







G=74,673 L=900

Etudes techniques détaillées des travaux de Réhabilitation de la routes nationale N2:"cas du tronçon EBOLOWA-AMBAM

TITRE

trace en plan 1



06/06/2019	Date
1:100	Echelle



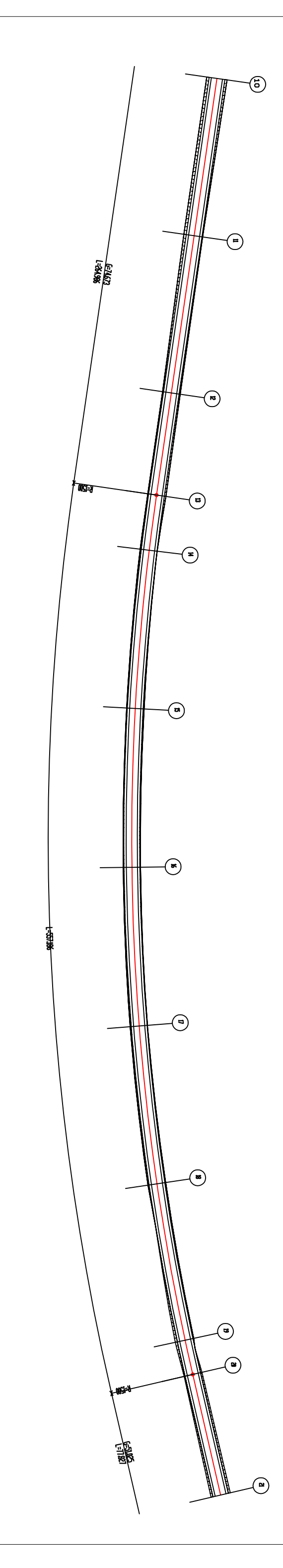
Etudes techniques détaillées des travaux de Réhabilitation de la routes nationale N2:"cas du tronçon EBOLOWA-AMBAM

trace en plan 2

TITRE

C.E. To. San

06/06/2019	Date
1:100	Echelle





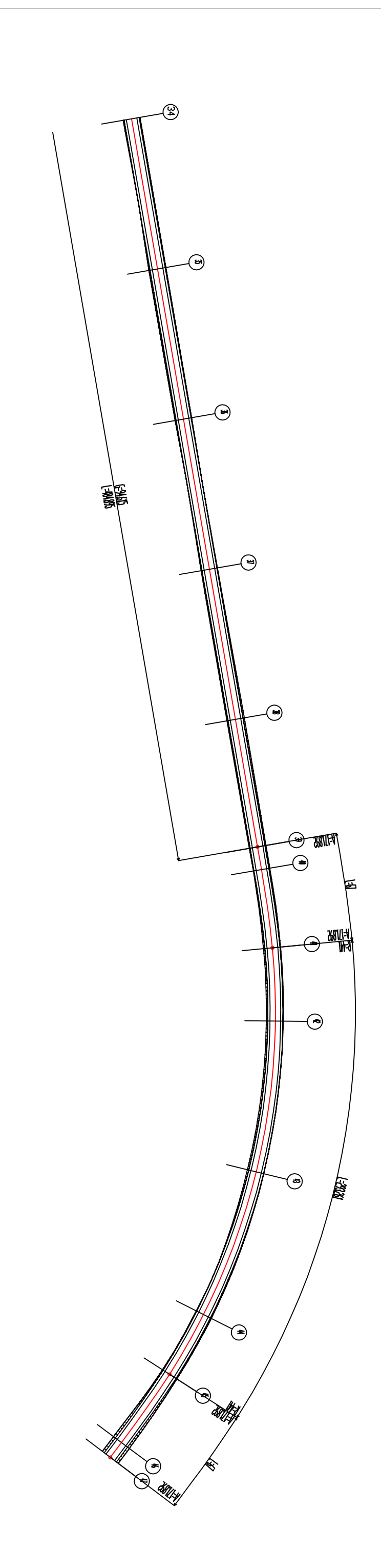
Etudes techniques détaillées des travaux de Réhabilitation de la routes nationale N2:"cas du tronçon EBOLOWA-AMBAM

TITRE

trace en plan 2



06/06/2019 1:100	Date Echelle
00	





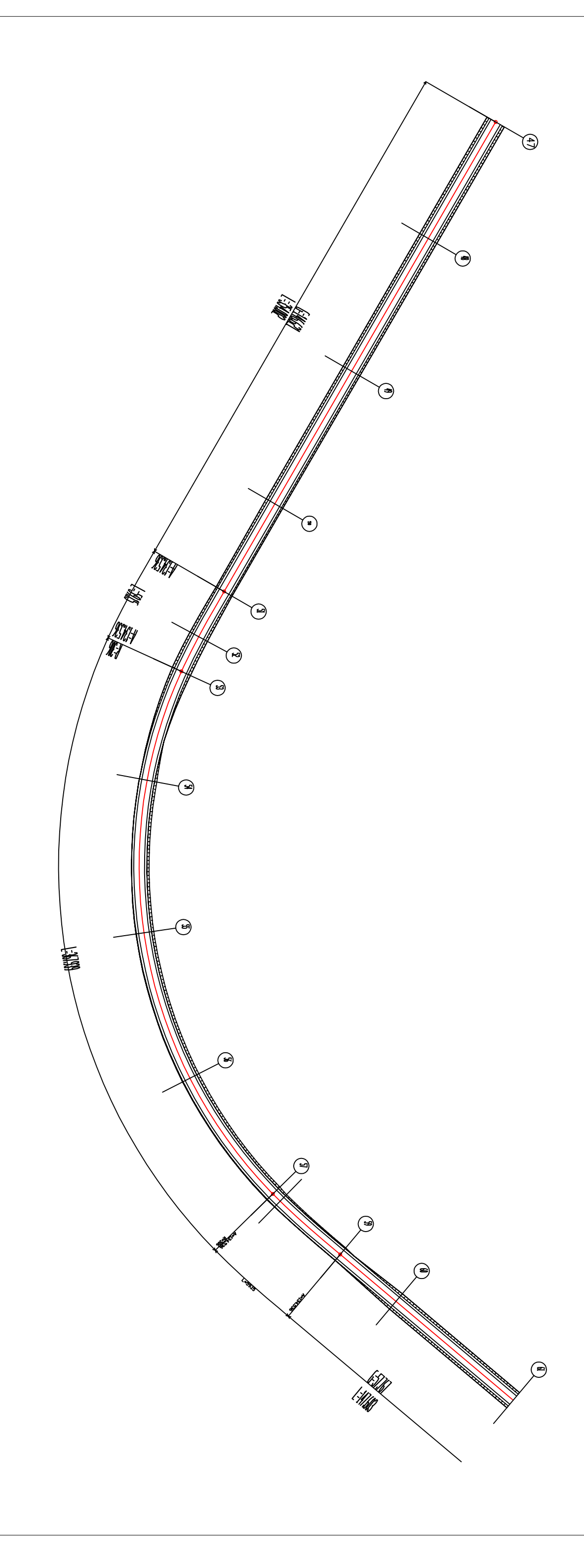
Etudes techniques détaillées des travaux de Réhabilitation de la routes nationale N2:"cas du tronçon EBOLOWA-AMBAM

TITRE

trace en plan 04

CALTA Savi

06/06/2019	Date
1:100	Echelle





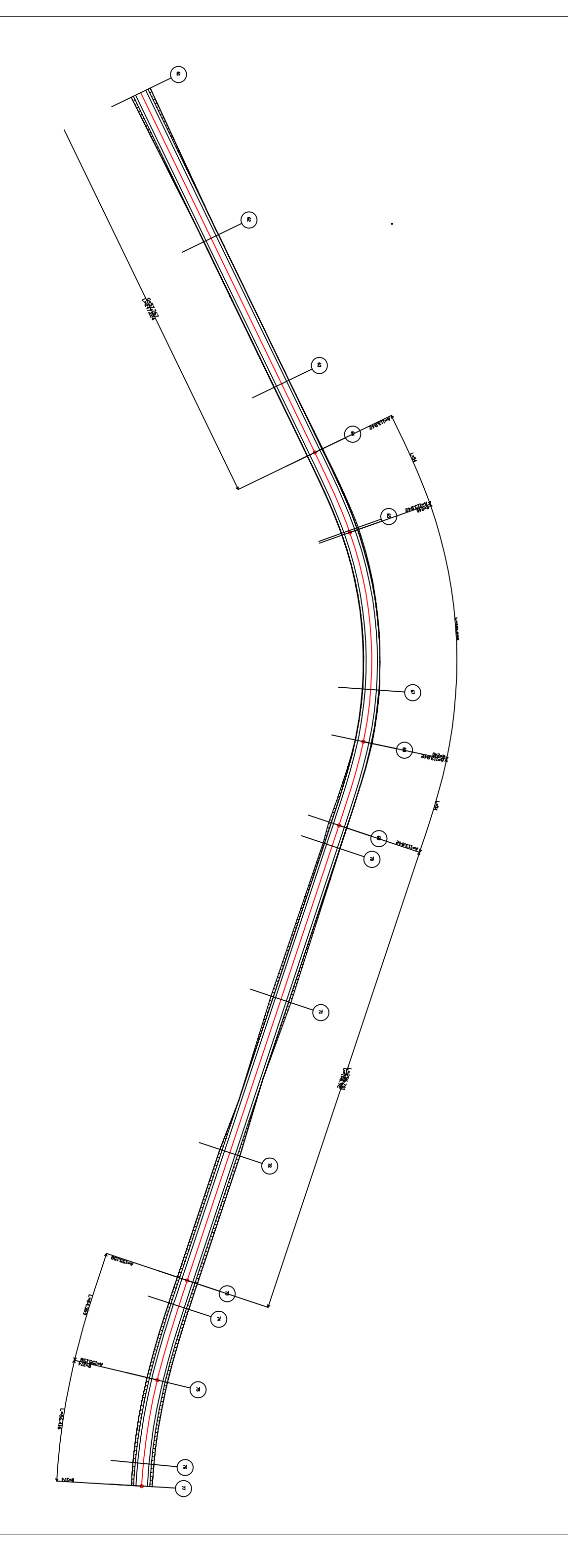
Etudes techniques détaillées des travaux de Réhabilitation de la routes nationale N2:"cas du tronçon EBOLOWA-AMBAM

TITRE

trace en plan 05



06/06/2019	Date
1:100	Echelle





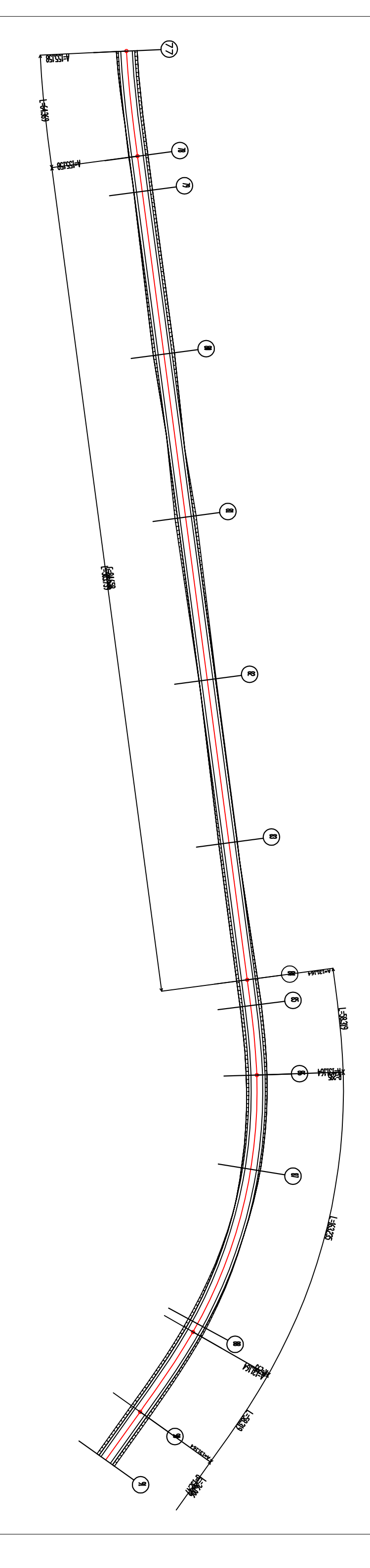
Etudes techniques détaillées des travaux de Réhabilitation de la routes nationale N2:"cas du tronçon EBOLOWA-AMBAM

TITRE

trace en plan 06



06/06/2019	Date
1:100	Echelle





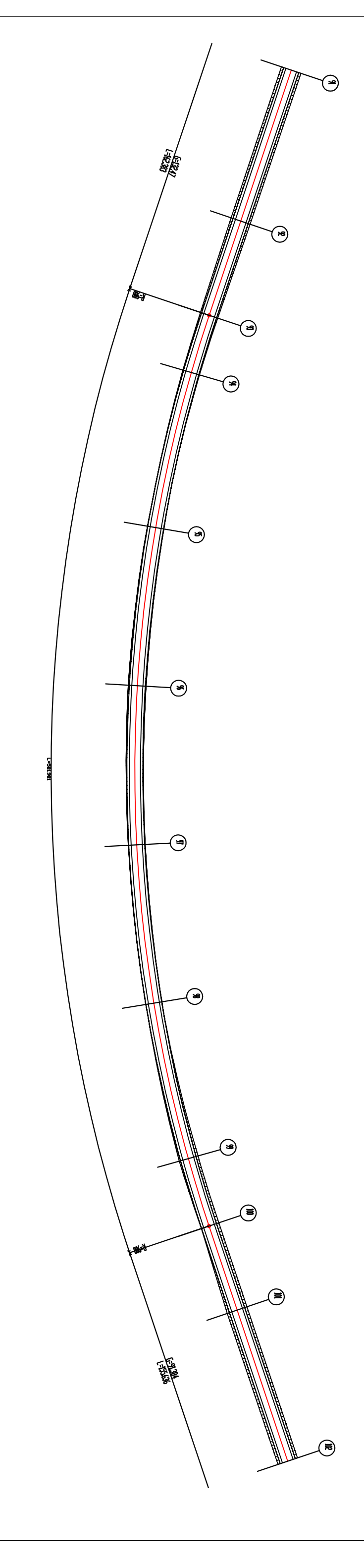
Etudes techniques détaillées des travaux de Réhabilitation de la routes nationale N2:"cas du tronçon EBOLOWA-AMBAM

TITRE

trace en plan 07



Date Echelle
06/06/2019 **1:100**





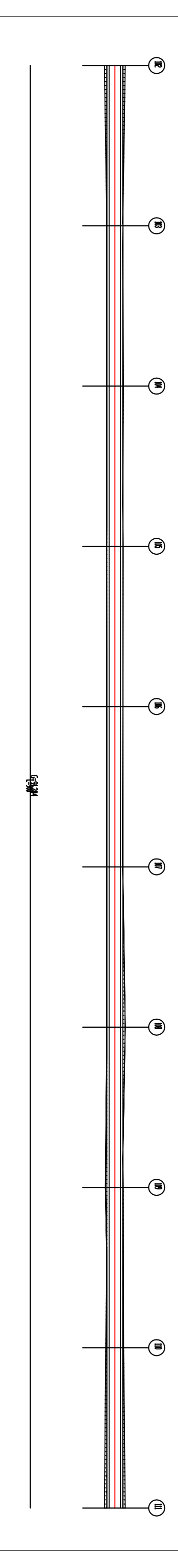
Etudes techniques détaillées des travaux de Réhabilitation de la routes nationale N2:"cas du tronçon EBOLOWA-AMBAM

TITRE

trace en plan 08



06/06/2019	Date
1:100	Echelle



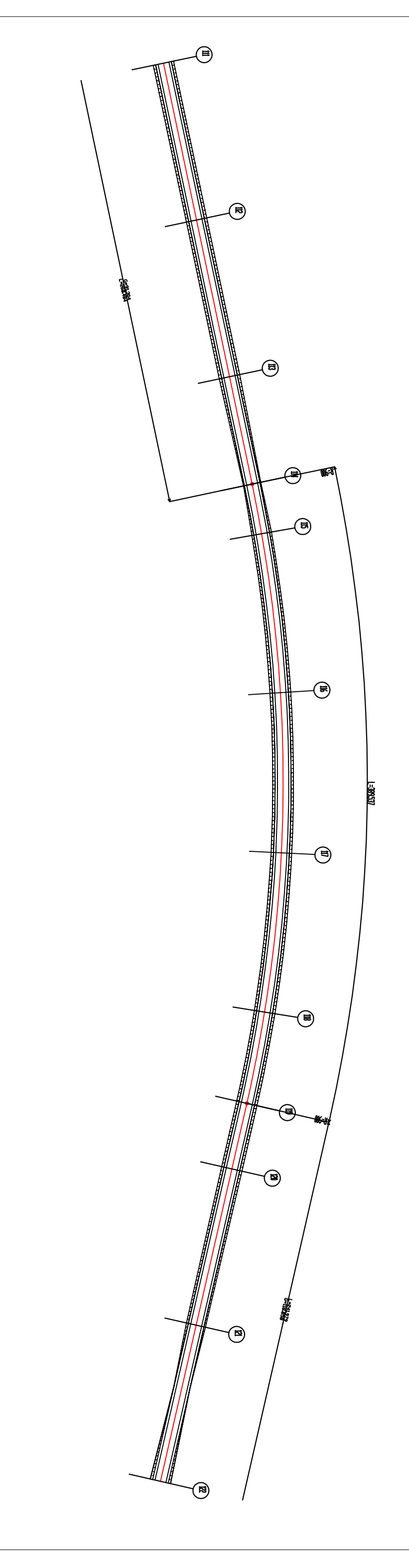


Etudes techniques détaillées des travaux de Réhabilitation de la routes nationale N2:"cas du tronçon EBOLOWA-AMBAM

TITRE

trace en plan 09

Date Echelle
06/06/2019 **1:100**





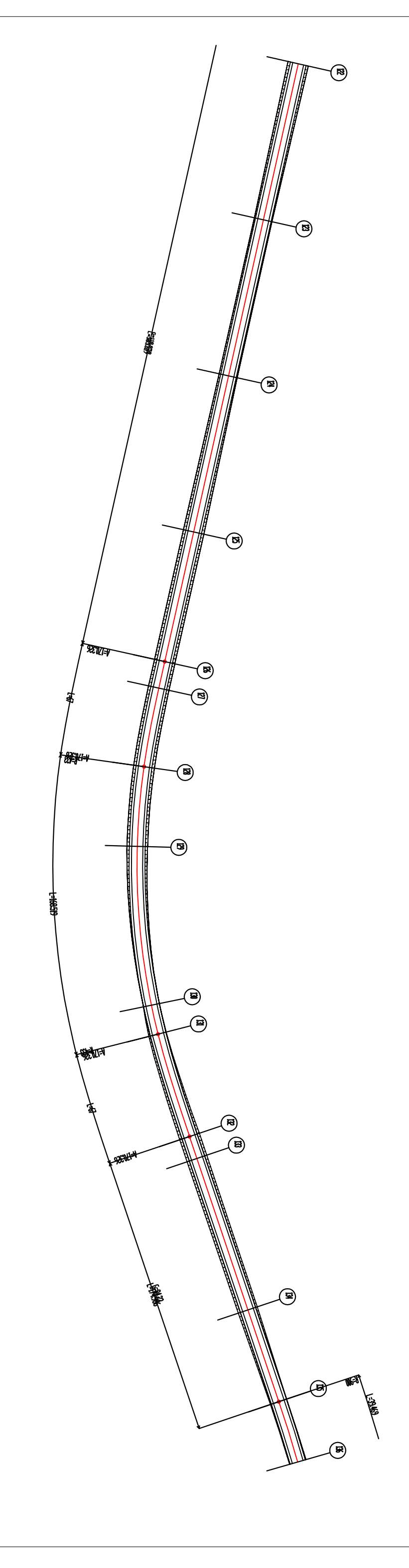
Etudes techniques détaillées des travaux de Réhabilitation de la routes nationale N2:"cas du tronçon EBOLOWA-AMBAM

TITRE

trace en plan 10

CATA San

06/06/2019	Date
1:100	Echelle





Etudes techniques détaillées et suivi d'execution des travaux d'entretien des routes de la nationale N2:"cas du trocon EBOLOWA-AMBAM

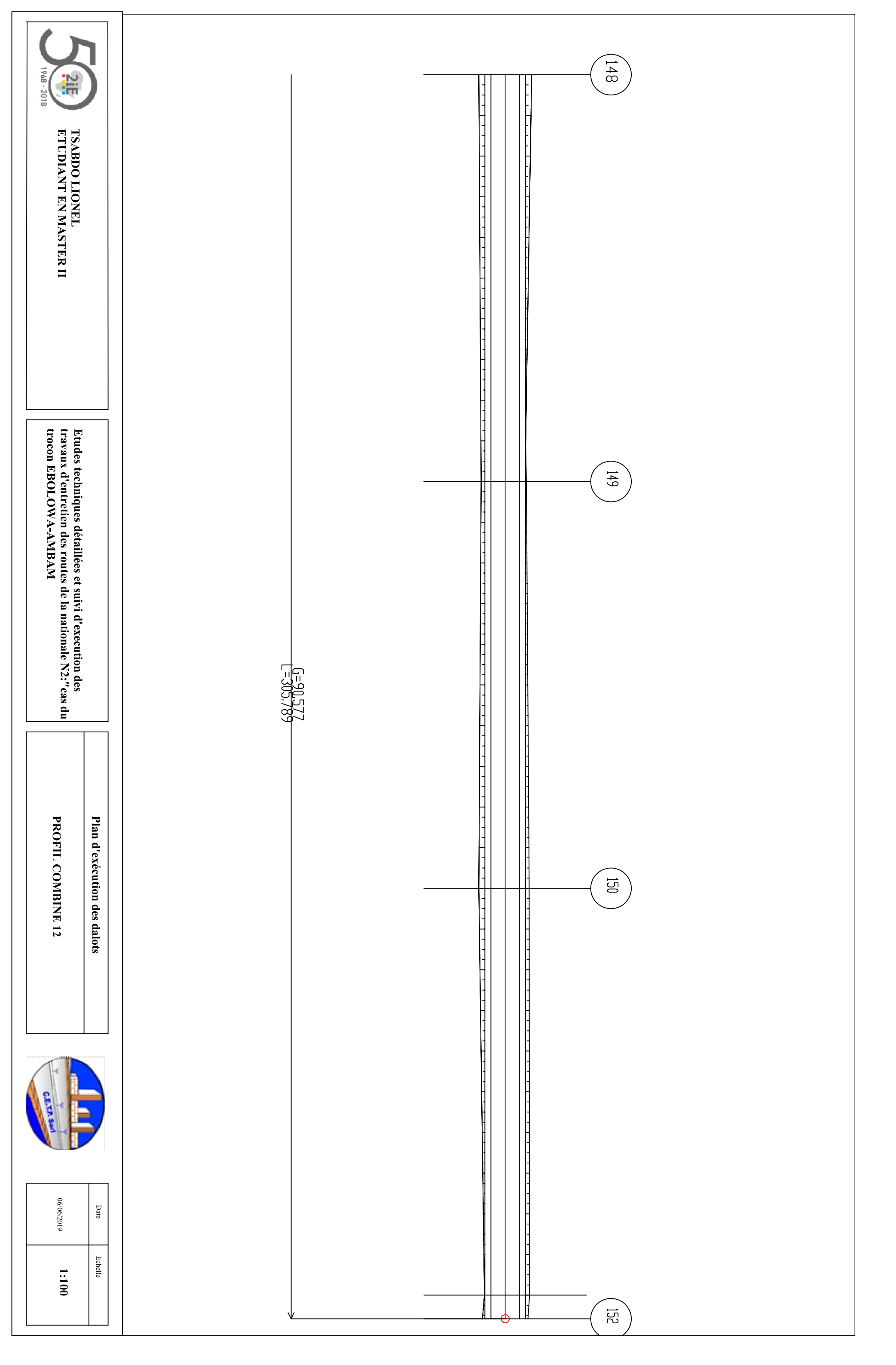
Plan d'exécution des dalots

PROFIL COMBINE 11



Date Echelle
06/06/2019 **1:100**

₹ -(**3 (E) (E) ₹** - (3) - (3)



N° PROF	ABSCISSE CURVILIGN	COTE TN	COTE PROJET	X PROFIL	Y PROFIL	ANGLE PROFIL	DEV GAU	DEV DRO
1	0.000	656.854	655.854	829391.986	327521.885	372.523g	2.50	-2.5
2	40.000	656.231	654.696	829355.654	327505.151			
3	80.000							
4	120.000							
5	146.136	V CONTRACTOR OF THE CONTRACTOR						
6	160.000	17. C. A. 000 C. A. 000 C.						
6 7	177.670							
8	200.000							
9	240.000							CARACTER
10	280.000							
11	320.000	S AND STATE OF STATE						
12	360.000							
13	400.000							
14	440.000					390.773g	2.50	
15	480.000						2.50	
16	520.000							
17	560.000					390.773g	2.50	
18	567.615					390.773g	2.50	
19	600.000						2.50	
20	640.000	S 10,435 P (May 2000) 10,455						
21	680.000							
22	720.000							
23	760.000							
24	800.000	12 500 000 000 000 000 000						
25	826.628							
26	840.000							-2.5
27	880.000	TANKS OF SUPERIOR	130 March 200 Ma				3. 1000000000000000000000000000000000000	
28	920.000	1.000.000.000.000	667.336					
29	960.000							
30	1000.000	0.0000000000000000000000000000000000000						
31	1040.000							
32	1080.000	The state of the s						
33	1090.637							-2.5
34	1120.000		1. 1. 1. 1. 1. 1. 1. 1. 1. 1. 1. 1. 1. 1					675
35	1160.000		671.224		7 77 NO. 10 TO SERVICE STATE OF THE PARTY OF	2.356g	2.50	-2.5
36	1200.000							
37	1240.000	C 10.000 at 20.000 p.000 to	100000000000000000000000000000000000000					-2.5
38	1280.000							-2.5
39	1320.000							-2.5
40	1360.000							-2.5
41	1400.000							-2.5
42	1402.743							
43	1440.000							
44	1480.000	C CONTRACTOR OF THE						
45	1520.000							
46	1560.000							
47	1600.000							-2.5
48	1640.000							-2.5
49	1673.350							-5.5
50	1680.000							-5.5
51	1720.000							-5.5
52	1760.000							-5.5
53	1800.000							-5.5
54	1829.833							-5.5

56	PROF	ABSCISSE CURVILIGN	COTE TN	COTE PROJET	X PROFIL	Y PROFIL	ANGLE PROFIL	DEV GAU	DEV DRO
57 1920 000 650 669 653 712 827508 319 32730 776 18 392g 2 50 58 1960 000 652 498 654 492 827489 877 327382 172 18 382g 2 50 60 2040 000 659 651 658 870 827393 3292 32740 964 18 392g 2 50 61 2080 000 663 146 661 81 474 827354 950 327416 360 18 392g 2 50 62 2120 000 666 325 663 958 827316 607 327427 756 18 392g 2 50 63 2160 000 672 566 666 90 46 827239 823 327439 152 18 392g 2 50 64 2200 000 675 5071 671 589 827201 580 32746 1944 18 392g 2 50 66 2240 000 677 5071 674 133 327463 339 332746 1944 18 392g 2 50 67 2320 000 678 131 676 677 32712 4886 32749 131 18 392g 2 50 68 2360 000 682 497 </td <td></td> <td>1840.000</td> <td>652.526</td> <td></td> <td>CONTRACTOR CONTRACTOR CONTRACTOR</td> <td>327347.985</td> <td>18.392g</td> <td>-4.17</td> <td>4.1</td>		1840.000	652.526		CONTRACTOR	327347.985	18.392g	-4.17	4.1
58		7 - A. Martin, 1928 (2017)				The state of the s			-2.5
59 2000 000 654 070 656 339 827431 634 327393.588 18.392g 2.50 61 2080 000 663 146 661.414 827393.292 327404.964 18.392g 2.50 62 2120 000 663 256 663.958 827316.607 327427.756 18.392g 2.50 63 2160 000 669.153 665.902 827278.265 327439.152 18.392g 2.50 64 2200 000 672.566 669.046 827229.923 327461.944 18.392g 2.50 66 2280.000 677.509 674.133 827163.238 327461.944 18.392g 2.50 67 2320.000 679.91 679.066 827086.553 327496.131 18.392g 2.50 68 2360.000 682.497 679.066 827086.553 327496.131 18.392g 2.50 69 2400.000 684.540 681.101 827048.511 327518.923 18.392g 2.50 71 2480.000 689.573			CONTRACTOR OF THE PROPERTY OF			The second of th			-2.5
60 2040 000 659 651 658 870 827393 292 327404 964 18.392g 2.50 61 2080 000 663 146 661 414 827354 950 327416.360 18.392g 2.50 62 2120 000 669 153 666 502 827278 265 327439.152 18.392g 2.50 65 2240 000 675 071 671.589 827201.580 327461.944 18.392g 2.50 66 2280 000 675 071 671.589 827201.580 327461.944 18.392g 2.50 67 2320 000 677 509 674.133 827163.238 327494.735 18.392g 2.50 68 2360 000 682 497 679.066 827086.553 327496.131 18.392g 2.50 70 2440 000 686.573 682.780 82709.869 327518.923 18.392g 2.50 71 2480 000 688.547 684.104 826971.526 327530.319 18.392g 2.50 73 2520.000 699.206		1960.000	652.498			327382.172	18.392g	2.50	-2.5
61 2080.000 663.146 661.414 827354.950 327416.360 18.392g 2.50 62 2120.000 669.255 663.958 827316.607 327427.756 18.392g 2.50 63 2160.000 669.153 666.502 827278.265 327449.152 18.392g 2.50 64 2200.000 675.071 671.599 827201.580 327461.944 18.392g 2.50 66 2280.000 677.509 674.133 827163.238 327473.339 18.392g 2.50 67 2320.000 682.497 679.066 827086.553 327496.131 18.392g 2.50 68 2360.000 682.497 679.066 827098 82701.813 18.392g 2.50 69 2400.000 684.540 681.101 827048.211 327551.8923 18.392g 2.50 71 2480.000 688.547 684.104 826971.526 327530.319 18.392g 2.50 72 250.000 680.268	59	2000.000	654.070	656.339	827431.634	327393.568	18.392g	2.50	-2.5
62 2120.000 666.325 663.958 827316.607 3274277.56 18.392g 2.50 63 2160.000 669.153 666.502 827278.265 327439.152 18.392g 2.50 65 2240.000 675.607 671.599 827201.580 327461.944 18.392g 2.50 66 2280.000 675.509 674.133 827168.238 327481.344 18.392g 2.50 67 2320.000 679.813 676.677 827124.896 327486.131 18.392g 2.50 68 2360.000 684.540 681.101 827088.553 327496.131 18.392g 2.50 70 2440.000 686.573 682.780 82709.869 327518.923 18.392g 2.50 71 2480.000 689.547 684.104 826971.526 327530.319 18.392g 2.50 73 2542.958 690.413 685.467 326911.178 327548.255 18.392g 2.50 74 2560.000 691.370	60	2040.000	659.651	658.870	827393.292	327404.964			-2.5
63 2160 000 669 153 666 502 827278.265 327439.152 18.3929 2.50 64 2200.000 675.071 671.589 82729.923 327450.548 18.3929 2.50 66 2280.000 677.509 674.133 827163.238 327481.339 18.3929 2.50 67 2320.000 682.497 679.066 827086.553 327484.735 18.3929 2.50 68 2360.000 684.540 681.101 827048.211 327507.527 18.3929 2.50 70 2440.000 684.540 681.101 82709.869 327530.319 18.3929 2.50 71 2480.000 689.547 684.104 826971.526 327530.319 18.3929 2.50 72 2520.000 689.1370 685.062 826894.797 327542.956 17.1869 2.50 73 2542.956 690.413 685.625 826894.797 327562.763 14.3579 2.50 75 260.000 694.380	61	2080.000	663.146	661.414	827354.950	327416.360	18.392g	2.50	-2.5
64 2200.000 672.566 669.046 827239.923 327461.548 18.392g 2.50 65 2280.000 675.071 671.589 827201.580 327461.944 18.392g 2.50 67 2320.000 679.813 676.677 827124.896 327484.735 18.392g 2.50 68 2360.000 682.497 679.066 827086.553 327496.131 18.392g 2.50 69 2400.000 684.540 681.101 82708.6553 327507.527 18.392g 2.50 70 2440.000 686.673 682.780 82709.869 327518.923 18.392g 2.50 71 2480.000 681.310 8268.072 826933.184 327541.525 18.392g 2.50 72 2520.000 689.290 685.072 826933.184 327548.255 18.392g 2.50 73 2542.958 690.413 685.467 826894.797 327562.956 17.186g 2.50 75 2600.000 694.872	62	2120.000	666.325	663.958	827316.607	327427.756	18.392g	2.50	-2.5
64 2200.000 672.566 669.046 827239.923 327461.548 18.392g 2.50 65 2280.000 675.071 671.589 827201.580 327461.944 18.392g 2.50 67 2320.000 679.813 676.677 827124.896 327484.735 18.392g 2.50 68 2360.000 682.497 679.066 827086.553 327496.131 18.392g 2.50 69 2400.000 684.540 681.101 82708.6553 327599.27 18.392g 2.50 70 2440.000 686.573 682.780 82709.869 327518.923 18.392g 2.50 71 2480.000 689.413 685.467 826911.178 327548.255 18.392g 2.50 73 2542.958 690.413 685.467 82694.797 327562.956 17.186g 2.50 75 2600.000 694.872 886.942 828686.021 327577.166 3669.006 694.211 685.389 326777.355 327577.166 <t< td=""><td>63</td><td>2160.000</td><td>669.153</td><td>666.502</td><td>827278.265</td><td>327439.152</td><td>18.392g</td><td>2.50</td><td>-2.5</td></t<>	63	2160.000	669.153	666.502	827278.265	327439.152	18.392g	2.50	-2.5
65 2240.000 675.071 671.589 827201.580 327461.944 18.392g 2.50 66 2280.000 677.509 674.133 827163.238 327473.339 18.392g 2.50 67 2320.000 682.497 679.066 827096.553 327496.131 18.392g 2.50 69 2400.000 684.540 681.101 827098.551 327507.527 18.392g 2.50 70 2440.000 686.573 682.780 82709.869 327518.923 18.392g 2.50 71 2480.000 688.547 684.104 826971.526 327530.319 18.392g 2.50 72 250.000 689.290 685.072 82693.3184 327541.715 18.392g 2.50 73 2542.958 690.413 685.467 826911.178 327562.763 17.186g 2.50 75 2600.000 694.380 685.843 826816.848 327562.763 14.357g 2.50 76 2640.000 694.211		2200.000	672.566	669.046	827239.923	327450.548			-2.5
67 2220.000 679.813 676.677 827124.896 327494.735 18.392g 2.50 68 2360.000 682.497 679.066 827086.553 327496.131 18.392g 2.50 70 2440.000 684.540 681.101 827048.211 327507.527 18.392g 2.50 71 2480.000 688.547 682.780 827099.869 327518.923 18.392g 2.50 72 2520.000 689.290 685.072 826933.184 327547.151 18.392g 2.50 73 2542.958 690.413 685.467 826911.178 327552.956 17.186g 2.50 74 2560.000 691.370 685.843 826816.848 327567.083 11.528g 2.50 75 2600.000 694.380 685.843 826816.848 327577.166 8.698g 2.50 78 2720.000 694.211 685.399 826777.375 327582.737 327582.528 30.39g 2.50 79 2760.000	65	2240.000	675.071	671.589	827201.580	327461.944	18.392g	2.50	-2.5
67 2320.000 679.813 676.677 827124.896 327484.735 18.392g 2.50 68 2360.000 682.497 679.066 827086.553 327496.131 18.392g 2.50 69 2400.000 684.540 681.101 827048.211 327507.527 18.392g 2.50 70 2440.000 686.573 682.780 82709.869 327518.923 18.392g 2.50 71 2480.000 689.290 685.072 826933.184 327541.715 18.392g 2.50 73 2542.958 690.413 685.685 826894.797 327552.551 18.392g 2.50 74 2560.000 691.370 685.685 826894.797 327552.561 77.186g 2.50 75 2600.000 694.380 685.842 826856.021 327562.763 14.357g 2.50 76 2640.000 694.380 685.843 826816.848 327570.839 11.528g 2.50 77 2680.000 694.211 685.389 826777.355 327577.162 8.698g 2.50 78 2720.000 690.781 683.414 826697.721 327584.528 0.210g 2.50 80 2800.000 688.767 681.884 826697.721 327584.528 0.210g 2.50 81 2840.000 684.179 678.546 82657.737 327585.548 0.210g 2.50 82 2880.000 684.179 678.546 826577.831 327585.480 0.210g 2.50 83 2920.000 681.453 676.871 826538.067 327577.172 391.305g 2.50 84 2925.888 681.054 676.625 826532.231 327577.172 391.305g 2.50 86 3000.000 679.226 675.979 826498.437 327575.540 391.722g 2.50 87 3040.000 687.826 686.826 826532.231 327577.754 391.305g 2.50 88 3080.000 679.226 675.979 826498.437 327575.540 391.305g 2.50 89 3120.000 681.474 671.848 826419.182 327567.616 35 391.305g 2.50 89 3120.000 685.688 666.826 826300.299 327567.954 391.305g 2.50 90 3160.000 672.058 666.826 826300.299 327567.954 391.305g 2.50 91 3200.000 665.638 666.826 826300.299 327567.954 391.305g 2.50 94 3320.000 665.638 665.638 826602.207 32759.856 391.305g 2.50 95 3360.000 675.862 668.866 826 826300.299 327567.954 391.305g 2.50 96 3400.000 655.688 656.782 826902.534 327590.713 391.305g 2.50 97 3440.000 655.688 656.782 826902.534 327590.834 391.305g 2.50 98 3480.000 665.638 666.850 826339.927 327590.713 391.305g 2.50 99 3520.000 665.638 666.850 826339.927 327590.713 391.305g 2.50 90 3160.000 675.656.656 826.856.859 327590.004 391.305g 2.50 91 3200.000 665.638 666.850 82639.927 327590.7173 391.305g 2.50 91 3200.000 665.638 666.850 82630.299 327560.213 391.305g 2.50 92 3240.000 665.6	66	2280.000	677.509	674.133	827163.238	327473.339	18.392g	2.50	-2.5
68 2360.000 684.540 679.066 827086.553 327496.131 18.392g 2.50 70 2440.000 684.540 681.101 827048.211 327507.527 18.392g 2.50 71 2480.000 685.73 682.780 827099.869 327518.923 18.392g 2.50 72 2520.000 688.207 684.104 826971.526 327530.319 18.392g 2.50 73 2524.958 690.413 685.467 826911.178 327548.255 18.392g 2.50 75 2600.000 691.370 685.685 826894.797 327562.763 17.186g 2.50 76 2640.000 694.380 685.843 826816.848 327570.839 11.528g 2.50 78 2720.000 690.26 684.579 826777.355 327577.166 8.698g 2.50 79 2760.000 69.781 683.414 826697.721 327584.528 0.210g 2.50 80 280.000 686.374	67	2320.000	679.813	676.677	827124.896				-2.5
69 2400.000 684.540 681.101 827048.211 327507.527 18.392g 2.50 70 2440.000 688.547 684.104 827009.869 327518.923 18.392g 2.50 72 2520.000 689.290 685.072 826933.184 327541.715 18.392g 2.50 73 2542.958 690.413 685.467 826911.178 327548.255 18.392g 2.50 74 2560.000 691.370 685.685 826894.797 327552.956 17.186g 2.50 75 2600.000 694.380 685.842 826856.021 327562.763 14.357g 2.50 76 2640.000 694.211 685.389 226777.355 327571.683 11.528g 2.50 79 2760.000 690.781 683.414 826697.737 327584.528 30.30g 2.50 80 2800.000 687.67 681.894 826697.737 327585.48 328 3284.791 397.380g 2.50 81	68			679.066	827086.553	327496.131			-2.5
70 2440.000 686.573 682.780 827009.869 327518.923 18.392g 2.50 71 2480.000 688.547 684.104 826971.526 327530.319 18.392g 2.50 72 2520.000 689.290 685.072 826933.184 327541.715 18.392g 2.50 74 2560.000 691.370 685.685 826894-797 327552.956 17.186g 2.50 75 2600.000 694.380 685.843 826816.848 327570.839 11.528g 2.50 76 2640.000 694.211 685.389 826777.355 327577.166 8.698g 2.50 77 2680.000 694.211 685.389 826777.355 327577.166 8.698g 2.50 79 2760.000 690.781 683.414 826697.721 327584.528 3.039g 2.50 81 2840.000 686.344 880.20 826617.748 327584.528 394.551g 2.50 82 2880.000 684.179	69			681.101	827048.211				-2.5
71 2480.000 688.547 684.104 826971.526 327530.319 18.392g 2.50 72 2520.000 689.290 685.072 826933.184 327541.715 18.392g 2.50 74 2560.000 691.370 685.685 826894.797 327552.956 17.186g 2.50 75 2600.000 694.380 685.843 826816.021 327562.763 14.357g 2.50 76 2680.000 694.211 685.383 826777.355 327577.166 8.698g 2.50 77 2680.000 694.211 685.383 826777.355 327577.166 8.698g 2.50 79 2760.000 690.781 683.414 826697.721 327585.548 0.210g 2.50 81 2840.000 688.767 681.894 826697.737 327585.548 0.210g 2.50 82 2880.000 684.179 678.546 826577.831 3275877.954 391.722g 2.50 83 2925.888 681.054	70	2440.000	686.573	682.780	827009.869	327518.923			-2.5
72 2520 000 689 290 685 072 826933 184 327541.715 18.392g 2.50 73 2542 958 690 413 685.467 826911.178 327548.255 18.392g 2.50 75 2600 000 691 370 685 .685 826894.797 327552.956 17.186g 2.50 76 2640 000 694 .380 685 .843 826816.848 327570.839 11.528g 2.50 77 2680 000 694 .211 685 .389 826777.355 327577.166 8.698g 2.50 78 2720 000 696 .026 684 .579 826737.620 327581.732 5.869g 2.50 79 2760 000 690 .781 681 .894 826657.737 327584.528 3.039g 2.50 80 2800 .000 688 .767 681 .894 826617.748 327584.528 3.039g 2.50 81 2840 .000 684 .179 678 .548 826577.831 327582.58 40.210g 2.50 82 2880 .000 681									-2.5
73 2542.958 690.413 685.685 826811.178 327548.255 18.392g 2.50 74 2560.000 691.370 685.685 826894.797 327552.763 14.357g 2.50 76 2640.000 694.380 685.942 826816.848 327570.839 11.528g 2.50 77 2680.000 694.211 685.389 826777.355 327577.166 8698g 2.50 78 2720.000 690.266 684.579 826737.620 327581.732 5.869g 2.50 79 2760.000 690.781 683.414 826697.737 327584.528 3.039g 2.50 80 2800.000 684.779 681.894 826657.737 327584.528 0.210g 2.50 81 2840.000 684.179 678.546 826577.831 327582.258 394.551g 2.50 82 2880.000 681.453 676.625 826532.231 327577.172 391.305g 2.50 84 2925.888 681.054	72	2520.000	689.290	685.072	826933.184				-2.5
74 2560.000 691.370 685.685 826894.797 327552.956 17.186g 2.50 75 2600.000 695.872 685.942 826856.021 327552.956 14.357g 2.50 76 2640.000 694.380 685.843 826816.848 327570.839 11.528g 2.50 77 2680.000 694.211 685.389 826777.835 327577.166 8.698g 2.50 78 2720.000 696.026 684.579 826737.620 327581.732 5.869g 2.50 79 2760.000 687.781 681.894 826657.737 327584.528 30.399g 2.50 81 2840.000 686.344 680.220 826617.748 327584.791 397.380g 2.50 82 2880.000 681.453 676.671 826538.067 327577.172 397.380g 2.50 83 2920.000 681.453 676.625 826538.0231 327577.954 391.305g 2.50 85 2960.000 679.329									-2.5
75 2600.000 695.872 685.942 826856.021 327562.763 14.357g 2.50 76 2640.000 694.380 685.843 826816.848 327570.839 11.528g 2.50 77 2680.000 694.211 685.389 826777.355 327577.166 8.698g 2.50 78 2720.000 696.026 684.579 826737.620 327581.732 5.869g 2.50 79 2760.000 690.781 683.414 826697.721 327584.528 3.039g 2.50 80 2800.000 688.476 681.894 826657.737 327584.528 0.210g 2.50 81 2840.000 684.179 678.546 826577.831 327584.791 397.380g 2.50 82 2880.000 684.179 678.546 826532.231 327577.954 391.722g 2.50 84 2925.888 681.054 676.625 826532.231 327577.172 391.305g 2.50 85 2960.000 679.229									-2.5
76 2640.000 694.380 685.843 826816.848 327570.839 11.528g 2.50 77 2680.000 694.211 685.389 826777.355 327571.166 8.698g 2.50 78 2720.000 690.26 684.579 826737.620 327581.732 5.869g 2.50 79 2760.000 690.781 683.414 826697.721 327584.528 3.039g 2.50 80 2800.000 688.767 681.894 826657.737 327585.548 0.210g 2.50 81 2840.000 686.344 680.220 826617.748 327584.791 397.380g 2.50 82 2880.000 684.179 678.546 826577.831 327577.954 391.722g 2.50 84 2925.888 681.054 676.625 826532.231 327577.172 391.305g 2.50 85 2960.000 679.229 675.197 826498.437 327567.081 391.305g 2.50 86 3000.000 678.203		2600,000		3 1 1 1 2 1 3 G C C C C C C C C C C C C C C C C C C	The state of the s				-2.5
77 2680.000 694.211 685.389 826777.355 327577.166 8.698g 2.50 78 2720.000 696.026 684.579 826737.620 327581.732 5.869g 2.50 79 2760.000 690.781 683.414 826697.721 327584.528 3.039g 2.50 80 2800.000 688.767 681.894 826657.737 327585.548 0.210g 2.50 81 2840.000 684.179 678.546 82657.831 327582.258 394.551g 2.50 82 2880.000 684.179 678.546 826532.231 327577.7954 391.722g 2.50 84 2925.888 681.054 676.625 826532.231 327577.729 391.305g 2.50 85 2960.000 679.329 675.197 826498.437 327567.081 391.305g 2.50 86 3000.000 681.474 671.848 826419.182 327567.081 391.305g 2.50 87 3040.000 675.862		2640,000		1 1 1 1 1 1 1 1 1 1 1 1 1 1 1 1 1 1 1					-2.5
78 2720.000 696.026 684.579 826737.620 327581.732 5.869g 2.50 79 2760.000 690.781 683.414 826697.721 327584.528 3.039g 2.50 80 2800.000 688.767 681.894 826657.737 327585.548 0.210g 2.50 81 2840.000 684.179 678.546 826577.831 327582.258 394.551g 2.50 82 2880.000 681.453 676.871 826538.067 327577.954 391.722g 2.50 84 2925.888 681.054 676.625 826532.231 327577.172 391.305g 2.50 85 2960.000 679.329 675.197 826498.437 327576.081 391.305g 2.50 86 3000.000 679.263 673.523 826458.809 327561.083 391.305g 2.50 87 3040.000 681.474 671.448 826379.554 3275561.89 391.305g 2.50 89 3120.000 675.862	100000000000000000000000000000000000000	A CONTRACTOR OF THE PROPERTY O		1 1 1 1 1 1 1 1 1 1 1 1 1 1 1 1 1 1 1		TOTAL STREET,			-2.5
79 2760.000 690.781 683.414 826697.721 327584.528 3.039g 2.50 80 2800.000 688.767 681.894 826657.737 327585.548 0.210g 2.50 81 2840.000 684.179 678.546 826577.831 327582.258 394.551g 2.50 83 2920.000 681.453 676.871 826538.067 327577.175 391.305g 2.50 84 2925.888 681.054 676.625 826532.231 327577.172 391.305g 2.50 85 2960.000 679.329 675.197 826498.437 327567.081 391.305g 2.50 86 3000.000 679.263 673.523 826458.809 327567.081 391.305g 2.50 87 3040.000 681.474 671.848 826419.182 327567.081 391.305g 2.50 89 3120.000 675.862 668.500 826339.927 327550.743 391.305g 2.50 91 320.000 662.725 <td></td> <td>2011/2012/2012/2012/2012/2012/2012/2012</td> <td></td> <td></td> <td></td> <td></td> <td></td> <td></td> <td>-2.5</td>		2011/2012/2012/2012/2012/2012/2012/2012							-2.5
80 2800.000 688.767 681.894 826657.737 327585.548 0.210g 2.50 81 2840.000 686.344 680.220 826617.748 327584.791 397.380g 2.50 82 2880.000 684.179 678.546 826577.831 327577.954 391.722g 2.50 84 2925.888 681.054 676.625 826532.231 327577.172 391.305g 2.50 85 2960.000 679.329 675.197 826498.437 327572.527 391.305g 2.50 86 3000.000 679.263 673.523 826458.809 327561.635 391.305g 2.50 87 3040.000 681.474 671.848 826419.182 327556.183 391.305g 2.50 89 3120.000 675.862 668.500 826339.927 327556.183 391.305g 2.50 90 3160.000 672.058 666.826 826300.299 327554.296 391.305g 2.50 91 3200.000 665.638<		FALL ROOM & CO.	The state of the s						-2.5
81 2840.000 686.344 680.220 826617.748 327584.791 397.380g 2.50 82 2880.000 684.179 678.546 826577.831 327582.258 394.551g 2.50 83 2920.000 681.453 676.625 826538.067 327577.172 391.305g 2.50 84 2925.888 681.054 676.625 826532.231 327577.172 391.305g 2.50 85 2960.000 679.263 673.523 826458.809 327567.081 391.305g 2.50 86 3000.000 681.474 671.848 826419.182 327561.635 391.305g 2.50 87 3040.000 678.201 670.174 826379.554 327556.189 391.305g 2.50 89 3120.000 675.862 668.500 826339.927 327559.43 391.305g 2.50 91 3200.000 666.638 665.151 826260.672 327539.850 391.305g 2.50 92 3240.000 666.725		F100 PER	FIG. 500 CT (CO. CO. CO. CO. CO. CO. CO. CO. CO. CO.			The second secon			-2.5
82 2880.000 684.179 678.546 826577.831 327582.258 394.551g 2.50 83 2920.000 681.453 676.871 826538.067 327577.954 391.722g 2.50 84 2925.888 681.054 676.625 826532.231 327577.172 391.305g 2.50 85 2960.000 679.263 673.523 826458.809 327567.081 391.305g 2.50 87 3040.000 681.474 671.848 826419.182 327561.635 391.305g 2.50 88 3080.000 678.201 670.174 826379.554 327556.189 391.305g 2.50 89 3120.000 675.862 668.500 826339.927 327550.743 391.305g 2.50 90 3160.000 672.058 666.826 826300.299 327545.296 391.305g 2.50 91 3200.000 665.638 665.151 826260.672 327538.850 391.305g 2.50 93 3240.000 667.63		22/22/24/24/25/24/25/24/25/24/25/24/24/24/24/24/24/24/24/24/24/24/24/24/	A CONTRACTOR OF THE PROPERTY O			KANATA MATA MATA MATA MATA MATA MATA MATA			-2.5
83 2920.000 681.453 676.871 826538.067 327577.954 391.722g 2.50 84 2925.888 681.054 676.625 826532.231 327577.172 391.305g 2.50 85 2960.000 679.263 673.523 826498.437 327567.081 391.305g 2.50 87 3040.000 681.474 671.848 826419.182 327561.635 391.305g 2.50 88 3080.000 678.201 670.174 826379.554 3275561.89 391.305g 2.50 89 3120.000 675.862 668.500 826339.927 327550.743 391.305g 2.50 91 3200.000 665.638 665.151 826260.672 327539.850 391.305g 2.50 92 3240.000 662.725 663.477 826221.044 327534.404 391.305g 2.50 94 3320.000 660.406 661.803 826181.417 327528.958 391.305g 2.50 95 3360.000 657.09		TO MAKE AND THE RESIDENCE OF THE PARTY OF TH	The second of th			TO THE RESERVE OF THE			-2.5
84 2925.888 681.054 676.625 826532.231 327577.172 391.305g 2.50 85 2960.000 679.329 675.197 826498.437 327572.527 391.305g 2.50 86 3000.000 679.263 673.523 826458.809 327567.081 391.305g 2.50 87 3040.000 681.474 671.848 826419.182 327561.635 391.305g 2.50 88 3080.000 678.201 670.174 826379.554 327556.189 391.305g 2.50 89 3120.000 675.862 668.500 826339.927 327559.743 391.305g 2.50 90 3160.000 672.058 666.826 826300.299 327545.296 391.305g 2.50 91 3200.000 665.638 665.151 826260.672 327539.850 391.305g 2.50 93 3280.000 660.406 661.803 826181.417 327528.958 391.305g 2.50 94 3320.000 655.68						DECEMBER 2015 STATE OF THE PROPERTY OF THE PRO			-2.5
85 2960.000 679.329 675.197 826498.437 327572.527 391.305g 2.50 86 3000.000 679.263 673.523 826458.809 327567.081 391.305g 2.50 87 3040.000 681.474 671.848 826419.182 327561.635 391.305g 2.50 88 3080.000 678.201 670.174 826379.554 327556.189 391.305g 2.50 89 3120.000 675.862 668.500 826339.927 327550.743 391.305g 2.50 90 3160.000 672.058 666.826 826300.299 327545.296 391.305g 2.50 91 3200.000 665.638 665.151 826260.672 327539.850 391.305g 2.50 92 3240.000 662.725 663.477 826221.044 327534.404 391.305g 2.50 94 3320.000 658.579 660.128 826181.417 327528.958 391.305g 2.50 95 3360.000 657.07		10 THE WORLDS SERVICE R.		The second second second	4.753.437.54.17.17.27.27.27.20.100				-2.5
86 3000.000 679.263 673.523 826458.809 327567.081 391.305g 2.50 87 3040.000 681.474 671.848 826419.182 327561.635 391.305g 2.50 88 3080.000 678.201 670.174 826379.554 327556.189 391.305g 2.50 89 3120.000 675.862 668.500 826339.927 327550.743 391.305g 2.50 90 3160.000 672.058 666.826 826300.299 327545.296 391.305g 2.50 91 3200.000 665.638 665.151 826260.672 327539.850 391.305g 2.50 92 3240.000 662.725 663.477 826221.044 327534.404 391.305g 2.50 93 3320.000 660.406 661.803 826181.417 327528.958 391.305g 2.50 95 3360.000 657.097 658.454 826102.162 327518.065 391.305g 2.50 96 3400.000 655.68									-2.5
87 3040.000 681.474 671.848 826419.182 327561.635 391.305g 2.50 88 3080.000 678.201 670.174 826379.554 327556.189 391.305g 2.50 89 3120.000 675.862 668.500 826339.927 327550.743 391.305g 2.50 90 3160.000 672.058 666.826 826300.299 327545.296 391.305g 2.50 91 3200.000 665.638 665.151 826260.672 327539.850 391.305g 2.50 92 3240.000 662.725 663.477 826221.044 327534.404 391.305g 2.50 93 3280.000 660.406 661.803 826181.417 327528.958 391.305g 2.50 94 3320.000 657.097 658.454 826102.162 327518.065 391.305g 2.50 95 3400.000 655.688 656.782 826062.534 327512.619 391.305g 2.50 97 3440.000 654.52			The state of the s			A 100 TO			-2.5
88 3080.000 678.201 670.174 826379.554 327556.189 391.305g 2.50 89 3120.000 675.862 668.500 826339.927 327550.743 391.305g 2.50 90 3160.000 672.058 666.826 826300.299 327545.296 391.305g 2.50 91 3200.000 665.638 665.151 826260.672 327539.850 391.305g 2.50 92 3240.000 662.725 663.477 826221.044 327534.404 391.305g 2.50 93 3280.000 660.406 661.803 826181.417 327528.958 391.305g 2.50 94 3320.000 658.579 660.128 826141.789 327523.512 391.305g 2.50 95 3360.000 657.097 658.454 826102.162 327518.065 391.305g 2.50 97 3440.000 654.522 655.423 826022.907 327507.173 391.305g 2.50 98 3480.000 653.43			The second secon			10 10 00 00 00 00 00 00 00 00 00 00 00 0			-2.5
89 3120.000 675.862 668.500 826339.927 327550.743 391.305g 2.50 90 3160.000 672.058 666.826 826300.299 327545.296 391.305g 2.50 91 3200.000 665.638 665.151 826260.672 327539.850 391.305g 2.50 92 3240.000 662.725 663.477 826221.044 327534.404 391.305g 2.50 93 3280.000 660.406 661.803 826181.417 327528.958 391.305g 2.50 94 3320.000 658.579 660.128 826141.789 327523.512 391.305g 2.50 95 3360.000 657.097 658.454 826102.162 327518.065 391.305g 2.50 96 3400.000 655.688 656.782 826062.534 327507.173 391.305g 2.50 97 3440.000 654.522 655.423 826022.907 327507.173 391.305g 2.50 98 3480.000 653.43	10.5576575		The state of the s	The second secon		100, 100,000, 100 Year 100 Year 100 Year			-2.5
90 3160.000 672.058 666.826 826300.299 327545.296 391.305g 2.50 91 3200.000 665.638 665.151 826260.672 327539.850 391.305g 2.50 92 3240.000 662.725 663.477 826221.044 327534.404 391.305g 2.50 93 3280.000 660.406 661.803 826181.417 327528.958 391.305g 2.50 94 3320.000 658.579 660.128 826141.789 327523.512 391.305g 2.50 95 3360.000 657.097 658.454 826102.162 327518.065 391.305g 2.50 96 3400.000 655.688 656.782 826062.534 327512.619 391.305g 2.50 97 3440.000 654.522 655.423 826022.907 327507.173 391.305g 2.50 98 3480.000 653.431 654.597 825983.279 327501.727 391.305g 2.50 100 3560.000 651.9		1 1 1 1 1 1 1 1 1 1 1 1 1 1 1 1 1 1 1 1					391 305g	2.50	-2.5
91 3200.000 665.638 665.151 826260.672 327539.850 391.305g 2.50 92 3240.000 662.725 663.477 826221.044 327534.404 391.305g 2.50 93 3280.000 660.406 661.803 826181.417 327528.958 391.305g 2.50 94 3320.000 658.579 660.128 826141.789 327523.512 391.305g 2.50 95 3360.000 657.097 658.454 826102.162 327518.065 391.305g 2.50 96 3400.000 655.688 656.782 826062.534 327512.619 391.305g 2.50 97 3440.000 654.522 655.423 826022.907 327507.173 391.305g 2.50 98 3480.000 653.431 654.597 825983.279 327501.727 391.305g 2.50 100 3560.000 651.950 654.545 825904.024 327496.281 391.305g 2.50 101 3600.000 651.				140 0 540 540 1 100 0 100 0		100 C C C C C C C C C C C C C C C C C C			-2.5
92 3240.000 662.725 663.477 826221.044 327534.404 391.305g 2.50 93 3280.000 660.406 661.803 826181.417 327528.958 391.305g 2.50 94 3320.000 658.579 660.128 826141.789 327523.512 391.305g 2.50 95 3360.000 657.097 658.454 826102.162 327518.065 391.305g 2.50 96 3400.000 655.688 656.782 826062.534 327512.619 391.305g 2.50 97 3440.000 654.522 655.423 826022.907 327507.173 391.305g 2.50 98 3480.000 653.431 654.597 825983.279 327501.727 391.305g 2.50 100 3560.000 651.950 654.545 825904.024 327496.281 391.305g 2.50 101 3600.000 651.395 655.099 825864.397 327485.388 391.305g 2.50 102 3640.000 650	274225 504 5		1 100 000 000 000 000 0000						-2.5
93 3280.000 660.406 661.803 826181.417 327528.958 391.305g 2.50 94 3320.000 658.579 660.128 826141.789 327523.512 391.305g 2.50 95 3360.000 657.097 658.454 826102.162 327518.065 391.305g 2.50 96 3400.000 655.688 656.782 826062.534 327512.619 391.305g 2.50 97 3440.000 654.522 655.423 826022.907 327507.173 391.305g 2.50 98 3480.000 653.431 654.597 825983.279 327501.727 391.305g 2.50 99 3520.000 652.623 654.304 825943.652 327496.281 391.305g 2.50 100 3560.000 651.950 654.545 825904.024 327490.834 391.305g 2.50 102 3640.000 650.997 655.655 825824.769 327479.942 391.305g 2.50 103 3680.000 650									-2.5
94 3320.000 658.579 660.128 826141.789 327523.512 391.305g 2.50 95 3360.000 657.097 658.454 826102.162 327518.065 391.305g 2.50 96 3400.000 655.688 656.782 826062.534 327512.619 391.305g 2.50 97 3440.000 654.522 655.423 826022.907 327507.173 391.305g 2.50 98 3480.000 653.431 654.597 825983.279 327501.727 391.305g 2.50 99 3520.000 652.623 654.304 825943.652 327496.281 391.305g 2.50 100 3560.000 651.950 654.545 825904.024 327490.834 391.305g 2.50 101 3600.000 651.395 655.099 825864.397 327485.388 391.305g 2.50 102 3640.000 650.723 656.211 825785.142 327474.496 391.305g 2.50 104 3720.000 65			The second secon						-2.5
95 3360.000 657.097 658.454 826102.162 327518.065 391.305g 2.50 96 3400.000 655.688 656.782 826062.534 327512.619 391.305g 2.50 97 3440.000 654.522 655.423 826022.907 327507.173 391.305g 2.50 98 3480.000 653.431 654.597 825983.279 327501.727 391.305g 2.50 99 3520.000 652.623 654.304 825943.652 327496.281 391.305g 2.50 100 3560.000 651.950 654.545 825904.024 327490.834 391.305g 2.50 101 3600.000 651.395 655.099 825864.397 327485.388 391.305g 2.50 102 3640.000 650.997 655.655 825824.769 327479.942 391.305g 2.50 103 3680.000 650.723 656.211 825785.142 327474.496 391.305g 2.50 104 3720.000 6									-2.5
96 3400.000 655.688 656.782 826062.534 327512.619 391.305g 2.50 97 3440.000 654.522 655.423 826022.907 327507.173 391.305g 2.50 98 3480.000 653.431 654.597 825983.279 327501.727 391.305g 2.50 99 3520.000 652.623 654.304 825943.652 327496.281 391.305g 2.50 100 3560.000 651.950 654.545 825904.024 327490.834 391.305g 2.50 101 3600.000 651.395 655.099 825864.397 327485.388 391.305g 2.50 102 3640.000 650.997 655.655 825824.769 327479.942 391.305g 2.50 103 3680.000 650.723 656.211 825785.142 327474.496 391.305g 2.50 104 3720.000 650.591 656.767 825745.514 327469.050 391.305g 2.50	0.000								-2.5
97 3440.000 654.522 655.423 826022.907 327507.173 391.305g 2.50 98 3480.000 653.431 654.597 825983.279 327501.727 391.305g 2.50 99 3520.000 652.623 654.304 825943.652 327496.281 391.305g 2.50 100 3560.000 651.950 654.545 825904.024 327490.834 391.305g 2.50 101 3600.000 651.395 655.099 825864.397 327485.388 391.305g 2.50 102 3640.000 650.997 655.655 825824.769 327479.942 391.305g 2.50 103 3680.000 650.723 656.211 825785.142 327474.496 391.305g 2.50 104 3720.000 650.591 656.767 825745.514 327469.050 391.305g 2.50									-2.5
98 3480.000 653.431 654.597 825983.279 327501.727 391.305g 2.50 99 3520.000 652.623 654.304 825943.652 327496.281 391.305g 2.50 100 3560.000 651.950 654.545 825904.024 327490.834 391.305g 2.50 101 3600.000 651.395 655.099 825864.397 327485.388 391.305g 2.50 102 3640.000 650.997 655.655 825824.769 327479.942 391.305g 2.50 103 3680.000 650.723 656.211 825785.142 327474.496 391.305g 2.50 104 3720.000 650.591 656.767 825745.514 327469.050 391.305g 2.50									-2.5
99 3520.000 652.623 654.304 825943.652 327496.281 391.305g 2.50 100 3560.000 651.950 654.545 825904.024 327490.834 391.305g 2.50 101 3600.000 651.395 655.099 825864.397 327485.388 391.305g 2.50 102 3640.000 650.997 655.655 825824.769 327479.942 391.305g 2.50 103 3680.000 650.723 656.211 825785.142 327474.496 391.305g 2.50 104 3720.000 650.591 656.767 825745.514 327469.050 391.305g 2.50	100000000000000000000000000000000000000	CONT. 1 1 1 1 1 1 1 1 1 1 1 1 1 1 1 1 1 1 1						1 - 120 1 1 1 1 1 1	-2.5
100 3560.000 651.950 654.545 825904.024 327490.834 391.305g 2.50 101 3600.000 651.395 655.099 825864.397 327485.388 391.305g 2.50 102 3640.000 650.997 655.655 825824.769 327479.942 391.305g 2.50 103 3680.000 650.723 656.211 825785.142 327474.496 391.305g 2.50 104 3720.000 650.591 656.767 825745.514 327469.050 391.305g 2.50									-2.5
101 3600.000 651.395 655.099 825864.397 327485.388 391.305g 2.50 102 3640.000 650.997 655.655 825824.769 327479.942 391.305g 2.50 103 3680.000 650.723 656.211 825785.142 327474.496 391.305g 2.50 104 3720.000 650.591 656.767 825745.514 327469.050 391.305g 2.50									-2.5
102 3640.000 650.997 655.655 825824.769 327479.942 391.305g 2.50 103 3680.000 650.723 656.211 825785.142 327474.496 391.305g 2.50 104 3720.000 650.591 656.767 825745.514 327469.050 391.305g 2.50									-2.5
103 3680.000 650.723 656.211 825785.142 327474.496 391.305g 2.50 104 3720.000 650.591 656.767 825745.514 327469.050 391.305g 2.50	100.00	500 CONTROL SECTION SECTION 15							-2.5
104 3720.000 650.591 656.767 825745.514 327469.050 391.305g 2.50		The state of the s							-2.5
									-2.5
TU5 3760 UUU 650 688 657 323 825705 887 327463 604 391 305a 2250	105	3760.000	C 100 00 00 00 00 00 00 00 00 00 00 00 00	657.323		4. Control of the Con			-2.5
106 3800.000 650.997 657.879 825666.259 327458.157 391.305g 2.50									-2.5
107 3840.000 651.463 658.435 825626.632 327452.711 391.305g 2.50									-2.5
108 3880.000 652.104 658.990 825587.004 327447.265 391.305g 2.50									-2.5

PROF	ABSCISSE CURVILIGN	COTE IN	COTE PROJET	X PROFIL	Y PROFIL	ANGLE PROFIL	DEV GAU	DEV DRO
109	3920.000						2.50	-2.5
110	3960.000							-2.5
111	4000.000							-2.5
112	4040.000							
113	4080.000			825388.867	327420.034			
114	4120.000	658.672			327414.588			
115	4160.000	660.184			327409.142	391.305g	2.50	-2.5
116	4200.000	665.238	663.438	825269.984	327403.695	391.305g	2.50	-2.5
117	4240.000	663.994	664.286	825230.357	327398.249	391.305g	2.50	-2.5
118	4243.405	664.136	664.382	825226.984		391.305g	2.50	-2.5
119	4280.000	665.733	665.666	825190.638	327393.541	393.894g	2.50	-2.5
120	4320.000	667.704	667.337	825150.750	327390.597	396.723g	2.50	-2.5
121	4360.000	669.682	669.009	825110.770	327389.427	399.553g	2.50	-2.5
122	4400.000	671.573	670.681	825070.778	327390.034	2.382g	2.50	-2.5
123	4440.000				327392.418	5.211g	2.50	
124	4480.000	675.274	674.025	824991.072	327396.574	8.041g	2.50	-2.5
125	4520.000	677.076	675.696	824951.516	327402.493			
126	4560.000		677.368	824912.262	327410.163	13.700g	2.50	-2.5
127	4600.000	680.073	679.040	824873.387	327419.570	16.529g	2.50	-2.5
128	4640.000	681.174	680.638	824834.968	327430.695	19.358g	2.50	
129	4680.000	682.069	681.764	824797.082	327443.515		2.50	
130	4720.000	684.055	682.356	824759.803	327458.007			-2.5
131	4760.000	682.950	682.415	824723.204	327474.140	27.847g	2.50	-2.5
132	4800.000	683.029	681.940	824687.359	327491.884			-2.5
133	4824.632	682.899	681.385		327503.596	32.419g	2.50	
134	4840.000	682.778	680.993	824652.272	327511.088	32.419g	2.50	
135	4880.000	682.274	679.972	824617.348	327530.588	32.419g	2.50	-2.5
136	4920.000	681.509	678.951	824582.423	327550.088	32.419g	2.50	-2.5
137	4960.000	680.506	677.930	824547.498	327569.589	32.419g	2.50	-2.5
138	5000.000	679.223	676.909	824512.573	327589.089	32.419g	2.50	0.9
139	5032.804			824483.932	327605.081		4.75	4.7
140	5040.000	677.637						4.7
141	5080.000	675.792	674.867	824441.299	327625.245		4.75	4.7
142	5120.000						4.75	4.7
143	5160.000	671.450	672.825	824364.158	327645.774	9.283g	4.75	4.7
144	5200.000	669.933	671.804	824324.337	327649.314			4.7
145	5240.000	669.619				394.731g	4.75	4.7
146	5280.000	669.762	670.286	824244.784	327642.716	387.456g	4.75	4.7
147	5295.711	669.913			327639.295		4.75	4.7
148	5320.000					384.598g	2.50	1.9
149	5360.000	670.481	670.710	824167.035	327623.893	384.598g	2.50	-2.5
150	5400.000							-2.5
151	5440.000	674.718	671.658	824089.365	327604.726	384.598g	2.50	-2.5
152	5480.000				327595.143			-2.5
153	5520.000							-2.5
154	5560.000							-2.5
155	5600.000							-2.5
156	5640.000		674.027			384.598g		-2.5





ANNEXESIII : SOLUTIONS DE RENFORCEMENT ENVISAGÉES

I. DETERMINATION DES CONTRAINTES ET DEFORMATIONS

Pour la détermination des déformations, nous allons supposer l'interface entre les Couches collées.

• La variante étudiée est modélisée de la manière suivante avec le logiciel Alizé-LCPC et les résultats sont présentés dans la figure ci-dessous :

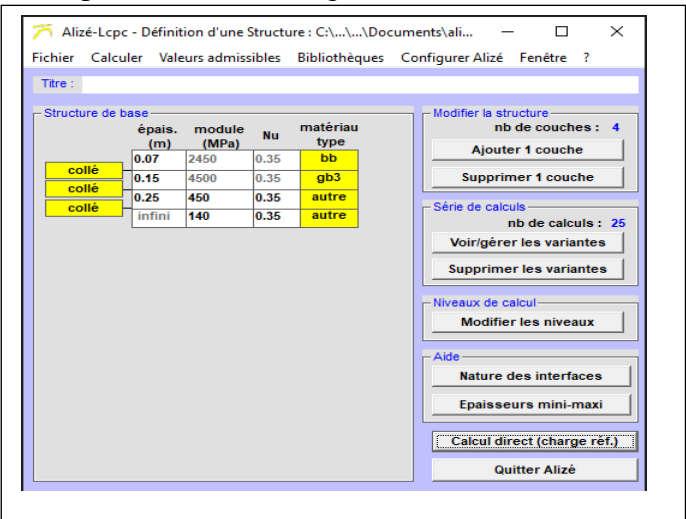


Figure 15:Définition des couches de chaussée Epaisseur-Module de Young-Coeff. Poisson

Source: ALIZE-LCPC VERSION 1.3.0

• Calcul des déformations) : les résultats sont ci-dessous Consignés dans la figure ci-dessous.

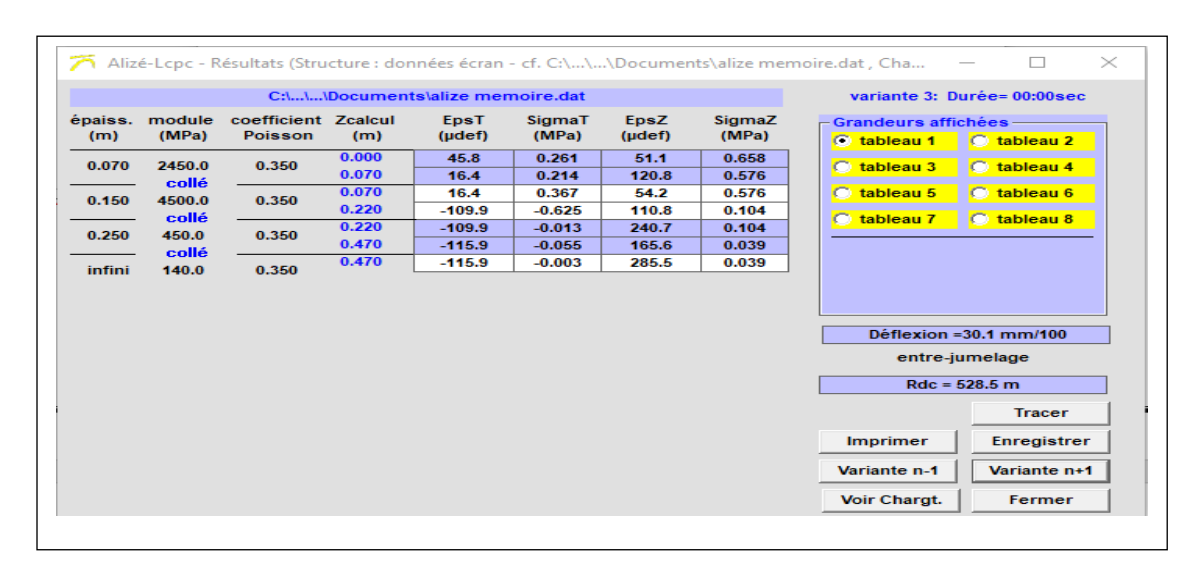


Figure 16 : Définition de la structure de chaussée et calcul des déformations



Source: ALIZE-LCPC VERSION 1.3.0

II. DÉTERMINATION CONTRAINTES ADMISSIBLES

Les facteurs pris en considération pour évaluer la dégradation des chaussées sont entre autres les résultats d'essai en fatigue et l'épaisseur des couches de fondation lors de l'exécution. La courbe de fatigue tirée des essais de laboratoire est définie pour une probabilité de rupture de 50 %. Les résultats des essais, exprimés en log (N) (logarithme décimal du nombre de cycles à la rupture) sont distribués suivant une loi normale avec un écart-type noté SN. L'épaisseur des couches est considérée comme étant distribuée également selon une loi normale, d'écart-type noté Sh. Le risque $\bf r$, est l'intégrale de la densité de probabilité de la variable $\log(N)$ réduite. L'écart type δ associé à la variable $\log(N)$, se déduit de la combinaison des facteurs de dispersion sur la loi de fatigue et sur l'épaisseur des couches, par la relation :

$$\delta = \left(SN^2 + \left(\frac{c^2}{b^2}\right)Sh^2\right)^{0.5}$$

c : coefficient reliant la variation de déformation (ou de contrainte) dans la chaussée à la variation aléatoire d'épaisseur Δh , (log $\epsilon = \log \epsilon_0$ - Δh), pour les chaussées courantes il est de $0.02~\text{cm}^{-1}$.

b : pente de la loi de fatigue du matériau exprimée sous la forme d'une loi bi logarithmique.

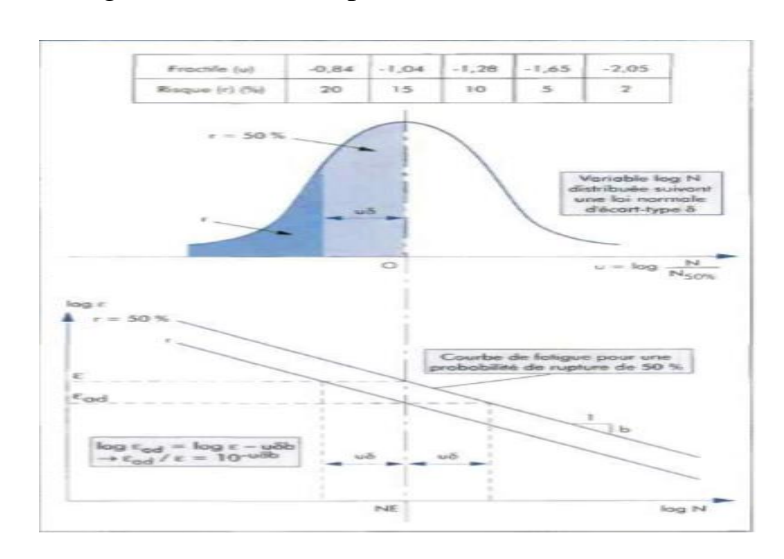


Figure 17:Choix du facteur u en fonction du risque r

<u>Source</u>: « conception et dimensionnement des structures de chaussée » Jean François CORTE, LCPC décembre 1994





Détermination de l'allongement $\varepsilon_{t,ad}$ admissible à la base des couches bitumineuses $\varepsilon_{t,adm} = \varepsilon(NE, \theta_{eq}, f)xK_cxK_rxK_s$

 $\varepsilon(NE, \theta_{eq}, f)$: déformation pour laquelle la rupture conventionnelle en flexion sur éprouvette est obtenue au bout de NE cycles avec une probabilité de 50 %, pour la température équivalente θ_{eq} , et à la fréquence f caractéristique des sollicitations subies par la couche considérée.

La loi de fatigue des matériaux bitumineux est représentée par une relation du type :

$$\varepsilon(NE, \theta_{eq}, f) = \varepsilon_6(\theta_{eq}, f)x\left(\frac{NE}{10^6}\right)^b$$

 $\varepsilon_{t,adm} = \varepsilon_6 (10^{\circ}C, 25Hz) x \left(\frac{NE}{10^{6}}\right)^b x \left(\frac{E(10^{\circ}C)}{E(\theta_{eq})}\right)^{0.5} x K_c x K_r x K_s \text{La}$ loi de fatigue est généralement établie expérimentalement pour une température de 10°C et une fréquence de 25 Hz. On considère usuellement pour les couches d'assise que la fréquence caractéristique des sollicitations est de l'ordre de 10 Hz et que la correction de fréquence entre 10 et 25 Hz sur la valeur de ε_6 peut être négligée pour les températures moyennes. On obtient alors :

Tableau 43 : Valeurs des coefficients de ɛ6, b, SN, Sh, Kc en fonction des couches bitumineuses extraits du guide de dimensionnement des chaussées.

	ε ₆ (10°C; 25 Hz) (10-6)	-1/b	SN	Sh	k _c
BBSG	100	5	0,25	(1)	1,1
GB 1	70	5	0,4	(1)	1,3
GB 2	80	5	0,3	(1)	1,3
GB 3	90	5	0,3	(1)	1,3
EME 1	100	5	0,3	(1)	1,0
EME 2	130	5	0,25	(1)	1,0

<u>Source</u> : « conception et dimensionnement des structures de chaussée » Jean François CORTE, LCPC décembre 1994

Tableau 44:Choix de l'élasticité pour téta équivalent et pour 10° en fonction du type de couche bitumineuse issus du guide de conception et de dimensionnement des chaussées

Sh = 0,025 m si h \geq 0,15 m; Sh = 0,01 + 0,3* (h-0,10) si 0,10 \leq h \leq 0,15 m.





	E (15°C)	ν						
θ	-10	0	10	20	30	40	(MPa)	V
BBSG	14 800	12 000	7 200	3 600	1 300	1 000	5 400	0,35
GB 1	18 000	14 000	9 000	5 000	2 000	800	7 000	0,35
GB 2	23 000	18 800	12 300	6 300	2 700	1 000	9 300	0,35
GB 3	23 000	18 800	12 300	6 300	2 700	1 000	9 300	0,35
EME 1	30 000	24 000	17 000	11 000	6 000	3 000	14 000	0,35
EME 2	30 000	24 000	17 000	11 000	6 000	3 000	14 000	0,35

<u>Source</u>: « conception et dimensionnement des structures de chaussée » Jean François CORTE, LCPC décembre 1994

Kr est un coefficient qui ajuste la valeur de la déformation admissible au risque de calcul retenu en fonction des facteurs de dispersion sur l'épaisseur (écart-type Sh) et sur les résultats des essais de fatigue (écart-type SN), $K_r=10^{-ub\delta}$

u : variable centrée réduite associée au risque r

b : pente de la loi de fatigue du matériau (loi bi-logarithmique)

δ: écart-type de la distribution de logN à la rupture

Kc est un coefficient qui corrige l'écart entre les prédictions de la démarche de calcul et l'observation du comportement des chaussées

Tableau 45: Coefficient Kc en fonction de la couche bitumineuse

Matériaux	Кс
Grave Bitume	1,3
Béton bitumineux	1,1
EME	1

Ks est un coefficient qui corrige le défaut de portance du sol support





Tableau 46: Coefficient Ks en fonction du module d'élasticité

Module	E < 50 MPa	$50 MPa \le E < 120 MPa$	$E \ge 120 MPa$
Ks	1/1,2	1/1,1	1

Pour effectuer les calculs, il nous faut les différents modules des matériaux qui sont notés ci-dessous

Tableau 47: Modules d'élasticité des couches de chaussées

Nature du matériaux	Module (MPa)
Béton bitumineux à 25° C	2450
Grave bitume	4500
Graveleux latéritique naturelle (CBR >39 à 95% OPM et 4j IMB)	450
Plateforme (en matériau de type S4)	140

Pour le béton bitumineux à partir des différents tableaux on a :

$$\varepsilon_6(10^{\circ}C, 25Hz) = 100^{-6}\mu def$$

$$-1/b = 5$$
 d'où $b = -0.2$

Kc=1,1

Ks=1

 $E(10^{\circ}) = 7200 \text{ MPa}$

 $E(\theta eq) = 2450 \text{ MPa}$

Pour les trafics moyens on a un risque de 5% donc u=-1.65

SN=0,25

Sh=0,01

c = 0.02

On a donc:
$$\delta = \left(0.25^2 + \left(\frac{0.02^2}{(-0.1)^2}\right)0.01^2\right)^{0.5} = 0.25$$

$$K_r = 10^{-(-1.28x(-0.2)x0.25} = 0.86$$





$$\varepsilon_{t,adm} = 100^{-6} x \left(\frac{4 \times 10^6}{10^6}\right)^{-0.2} x \left(\frac{7200}{2450}\right)^{0.5} x 1,1x 0,86x 1 = 122,90 \mu def$$

Pour le grave bitume à partir des différents tableaux on a :

$$\varepsilon_6(10^{\circ}C, 25Hz) = 90^{-6}\mu def$$

$$-1/b = 5$$
 d'où $b = -0.2$

$$Kc = 1,3$$

$$Ks=1$$

$$E(10^{\circ}) = 12300 \text{ MPa}$$

$$E(\theta eq) = 4500 \text{ MPa}$$

Pour les trafics moyens on a un risque de 5% donc u=-1,65

$$SN = 0.3$$

$$c = 0.02$$

On a donc:
$$\delta = \left(0.3^2 + \left(\frac{0.02^2}{(-0.2)^2}\right)0.025^2\right)^{0.5} = 0.3$$

$$K_r = 10^{-(-1.65x(-0.2)x0.3)} = 0.79$$

$$\varepsilon_{t,adm} = 90x \left(\frac{4 \times 10^6}{10^6}\right)^{-0.2} x \left(\frac{12300}{4500}\right)^{0.5} x1,3x0,79x1 = 115,81\mu def$$

Pour les graves naturels non traités

$$\varepsilon_{z,adm} = Ax(NE)^{-0.222}$$

Pour un trafic de type T3 on a A=12000

$$\varepsilon_{z,adm} = 12000x(4 \times 10^6)^{-0.222} = 410.70 \,\mu def$$

Contrainte admissible du sol de fondation et support







Pour la détermination de cette contrainte au niveau supérieur de la plateforme, nous appliquons

La formule semi-empirique de Kerkhoven et Dormon donnée par CEBTP. Cette formule s'articule autour de deux paramètres essentiels à savoir la charge (NE) et le CBR, dont l'expression est la suivante :

$$\varepsilon_{z,adm} = \frac{0.3 \times CBR}{1 + 0.7 \times \log(NE)}$$

• Pour le sol de fondation :

$$\varepsilon_{z,adm} = \frac{0.3 \times 90}{1 + 0.7 \times \log(4000000)} = 4.8 \; Mpa$$

• Pour le sol support :
$$\varepsilon_{z,adm} = \frac{0.3 \times 28}{1 + 0.7 \times \log(4000000)} = 1,49 \, Mpa$$





ANNEXEIV: ASSAINISSEMENT DE LA ROUTE

Récapitulatif de l'ensemble des ouvrages hydrauliques et d'art ainsi que leurs localisations.

Tableau 48: Récapitulatif de l'ensemble des ouvrages sur le tronçon Ebolowa-Ambam





Désignations	localisation	type d'ouvrage	dimensions	état	observation
	PK2+100	dalot	2*3*3	moyen	nécessite un entretien courant
EBOLOWA-	PK3+700	patterie de buse métallique	2*Ø1200	mauvais état	à remplacer
NKOEMVO NE	PK11+100	pont sur le SENG	20m	moyen	nécessite un entretien courant
	PK2+600	buse métallique	Ø1200	mauvais état	à remplacer
	PK13+700	buse métallique	Ø1200	mauvais état	à remplacer
	PK15+400	patterie de buse métallique	Ø1200	mauvais état	à remplacer
	PK17+400	buse métallique	Ø1500	mauvais état	à remplacer
	PK23+00	buse métallique	Ø1500	mauvais état	à remplacer
	PK24+240	buse métallique	Ø1000	moyen	nécessite un entretien courant
	PK29+500	buse métallique	Ø1000	mauvais état	nécessite un entretien courant
	PK34+00	dalot	2*4*4	moyen	nécessite un entretien courant
	PK35+400	buse métallique	Ø1200	mauvais état	à remplacer
	PK37+100	buse métallique	Ø1200	mauvais état	à remplacer
	PK37+600	patterie de buse métallique	2Ø1000	moyen	nécessite un entretien courant
	PK38+100	dalot	2*3*3	moyen	nécessite un entretien courant
NKOEMV ONE-	PK44+300	dalot	2*4*4	moyen	nécessite un entretien courant
AMBAM	PK45+200	patterie de buse métallique	Ø1000	moyen	nécessite un entretien courant
	PK46+800	buse métallique	Ø1000	mauvais état	à remplacer
	PK47+600	buse métallique	Ø1000	moyen	nécessite un entretien courant
	PK48+800	buse métallique	Ø1000	mauvais état	à remplacer
	PK49+300	patterie de buse métallique	Ø1000	moyen	nécessite un entretien courant
	PK50+200	buse métallique	Ø1000	mauvais état	à remplacer
	PK52+400	buse métallique	Ø1200	moyen	nécessite un entretien courant
	PK55+900	pont sur le MBORO	Ø1000	mauvais état	à remplacer
	pk66+200	dalot	2*3*3	moyen	nécessite un entretien courant
	pk67+625	buse métallique	Ø1400	mauvais état	à remplacer
	pk71+00	dalot	2*1*1	moyen	nécessite un entretien courant
	pk71+00	dalot	1*1.5*1.5	moyen	nécessite un entretien courant







DIFFERENTES EVALUATIONS DES DEBITS

Tableau 49:coefficient de montana

Tr (années)	Pluies courtes ≤ 45n	nn
	a	b
1	322,7	0,45
5	623,9	0,54
10	698,4	0,54
20	771,6	0,54
50	864,7	0,54
100	937,9	0,54

<u>SOURCE</u>: « hydraulique urbaine et hydraulique rurale »,YAN BABROWSKI,2014

DONNEES PLUVIOMETRIQUES DE LA ZONE D'ETUDE

La zone de projet est soumise dans son ensemble à l'influence d'un climat équatorial humide à deux saisons de pluies et de deux saisons sèches. Les précipitations annuelles moyennes se situent entre 1800mm et 2600mm. Elle se singularise par l'existence d'une végétation évolutive du Nord au Sud allant de la forêt semi-décidue (forêt caractérisée par la présence d'une majorité d'arbres dont les feuilles, caduques, tombent au rythme des saisons) à la forêt dense humide. L'humidité relative moyenne annuelle est élevée (supérieure à 80%). La température moyenne est de l'ordre de 24,50°C par an. Les figures ci-dessous mettent en lumière les données pluviométriques de la zone d'étude fournies par la station pluviométrique de Kribi.





Tableau 50:intensité pluviométrique et hauteur maximale en 24 h avec temps de retour

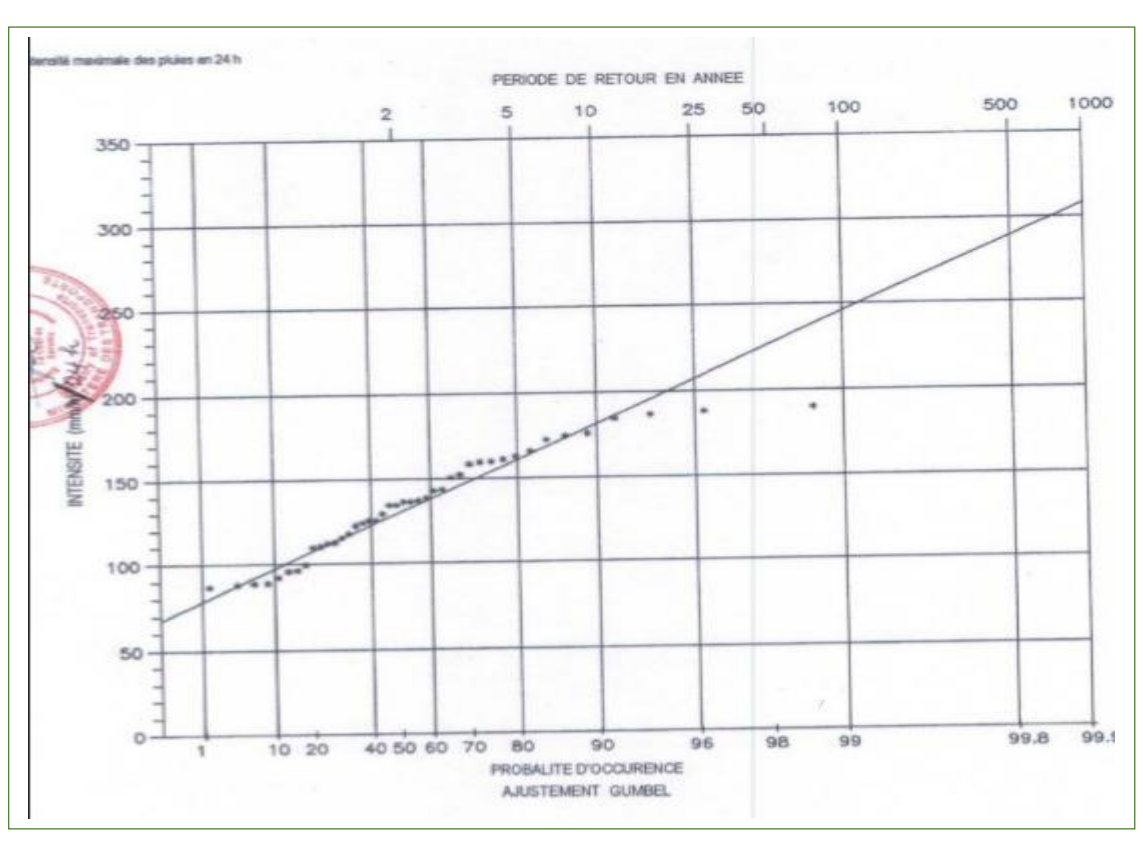
SERVICE	DE LA CLIMATOLOGIE		CANAD.	C	LIMATOL	OGY SER	VICE
12	NTENSITES PLUVIOMI	ETRIQUI		UTEUR M	AXIMAL	E EN 24 H	ı
	A	VEC TEN	IPS EN RE	TOUR			
Pas de 15	Temps de retour en années	2	5	10	20	50	100
m	Intensité en mes	100	105	150	167	198	221
Pas de 30	Temps de retour on années	2	5	10	20	50	100
ma	Intensité en mm	87	95	108	126	141	168
Pas de 60	Temps de retour en années	2	5	10	20	50	100
-	Issensité ou mes	51	69	75	89	100	108
Pas de 120	Temps de ratour en années	2	5	10	20	50	100
ma	Intessité en mm	27	39	46	57	68	73
Pas de 180	Temps de retour en années	2	5	10	20	50	100
-	Intensité on mm	17	21	25	28	33	38
Pas de	Temps de retour en anoles	2	5	10	20	50	100
Maximum on 24 h	Quantité maximale en mm	130	160	180	205	223	242
						O'UNU D	UE OU

Source : station pluviométrique de KRIBI





Tableau 51: Ajustement De Gumbel



Source : station pluviométrique de KRIBI

Tableau 52:intensité pluviométrique

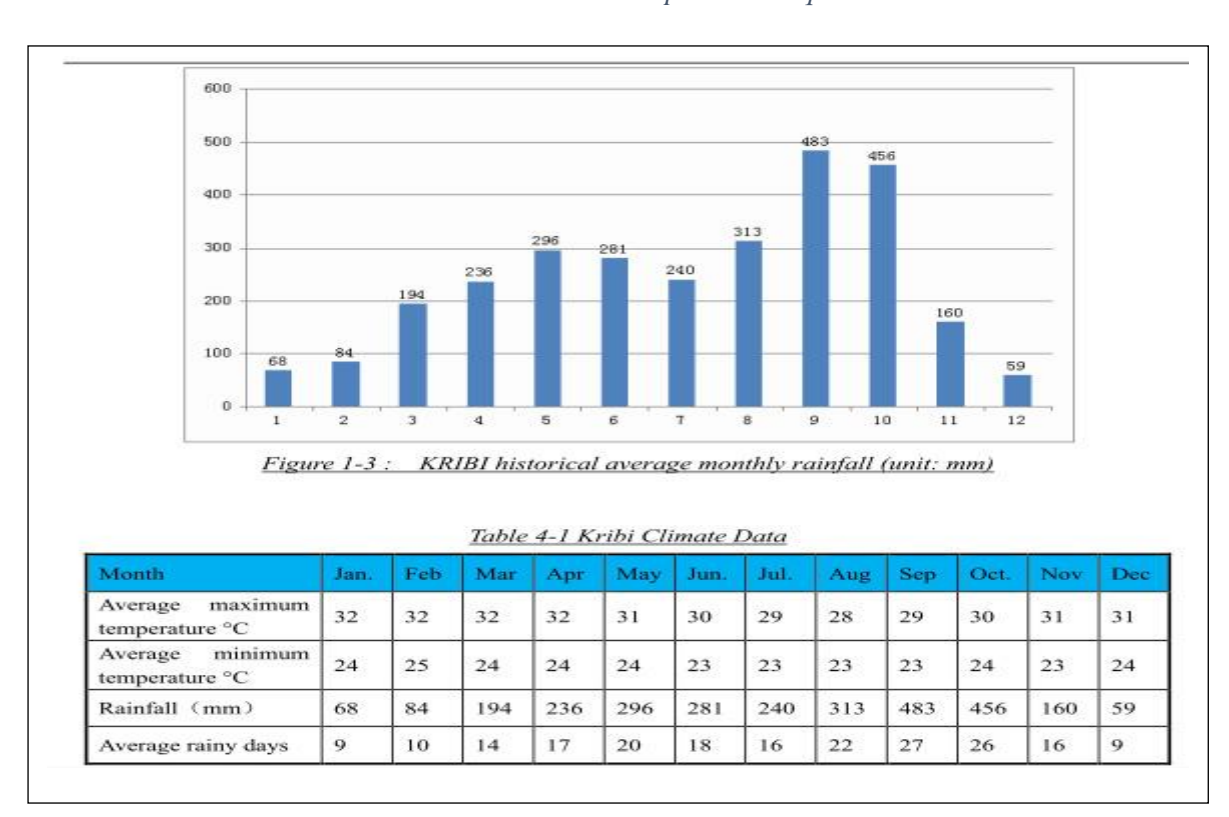




Tableau 53:intensité pluviométrique durant la période retour dans les principales stations météorologiques du Cameroun

Table 2-1 Collected rainfall intensity (mm/h) during return period at Cameroon main meteorological station

Duration of	Rainfall intensity during return period									
rainfall	2 years	5 years	10 years	20 years	50 years	100 years				
15 minutes	100.0	105.0	150.0	167.0	198.0	221.0				
30 minutes	87.0	95.0	108.0	126.0	141.0	168.0				
1 hour	51.0	69.0	75.0	89.0	100.0	108.0				
2 hours	27.0	39.0	46.0	57.0	68.0	73.0				
3 hours	17.0	21.0	25.0	28.0	33.0	38.0				

Table 2-2 Collected maximum rainfall (mm) in 24 hours during return period at Cameroon main

meteorological station

Duration	of	Maximu	m rainfall d	uring return p	period		
rainfall	- 33	2 years	5 years	10 years	20 years	50 years	100 years
24 hours		130	160	180	205	223	242

Source : station pluviométrique de KRIBI

Méthode Rationnelle

Les caractéristiques des bassins versants concernés par cette méthode sont récapitulées dans le tableau 47. Les caractéristiques géomorphologiques de ce dernier ont été déjà déterminées à partir du logiciel Global Mapper[®].

Tableau 54 : caractéristiques des bassins versants concernés par la méthode rationnelle.

Designations	BV	surface (km2)	périmètre (km)	altitude min(m)	altitude max(m)	pente moy(%)
	BV3	3.003	8.628	555	763	11.51
	BV6	1.794	5.623	556	625	8.19
	BV8	1.288	4.714	556	783	19.05
NKOEMVONE-	BV13	1.761	6.298	571	686	9.258
AMBAM	BV14	2.085	6.099	658	567	9.3
AIVIDAIVI	BV18	1.394	5.701	566	675	9.55
	BV19	2.217	7.455	569	708	10.8
	BV21	1.035	5.011	560	616	7
	BV22	2.502	8.519	569	788	10.98

Détermination de la concentration par la formule de KIRPICH





$$Tc = 0.01947 \times \frac{L^{1.15}}{I^{0.385}} \to Tc$$

Calcul de l'intensité de la pluie déterminée à partir de la méthode de Montana

Les coefficients a et b pour des averses de durée de retour 10 ans et pour la zone de Ebolowa sont : a = 694,5 et b = 0,54(source : station Météorologie de kribi)

$$i = a \times T_c^{-b}$$

• Calcul du débit ruisselé

$$Q = 0.278 \times C \times i \times A \rightarrow Q = 0.278 \times 0.45 \times 455.75 \times 0.0132$$

$$Q = 3,564 \, m^3/s$$

Les résultats des calculs des débits des autres bassins versants ont résumés dans le point suivant.

Méthode ORSTOM

La pluie moyenne sur le bassin :

 P_{m10} est calculée en appliquant à P_{10} le coefficient d'abattement A, déterminé à l'aide de l'équation de Vuillaume :

$$A = 1 - \left[\frac{161 - 0.042 \times \overline{P_{an}}}{1000} \right] \times log(S) = 0.97$$

$$P_{m10} = A \times P_{10} = 173,97 \ mm$$

Avec:

 $S = Surface du bassin versant = 6,736 \text{ km}^2$

 P_{an} = Précipitation annuelle = 2870 mm

 P_{10} = Pluie décennal ponctuel = 180 mm





Le coefficient de ruissellement Kr :

$$K_{r10} = K_{r100} - \left[\frac{(100 - 10) \times (K_{r100} - K_{r70})}{100 - 70} \right]$$

Le calcul des valeurs KR₇₀ et KR₁₀₀ sont calculées par extrapolation entre Ig₁₅ et Ig₇ à l'aide des courbes de la figure 13 et 14 pages 265 du FOA. Les résultats sont consignés dans le tableau si dessous.

Tableau 55:Determination du coefficient de ruissellement Kr

Désignation	lg ₁₅	lg _{10.52}	lg ₇
Kr ₇₀	30	28,80	24
Kr ₁₀₀	35	33,60	28

$$K_{r10} = 19,20$$

Le temps de base :

Il est calculé en fonction de zone, l'indice de pente corrigé et la surface du bassin versant. Ayant une surface < 7 km², ce temps est donné par la figure 17 page 48 du FAO :

$$T_{b10} = 220mn$$

Coefficient de pointe décennal :

$$\alpha_{10} = 2.6$$

Après consultation de la check-list, le bassin ne présente aucune particularité qui pourrait conduire ultérieurement à être modifier.

Les résultats des calculs sont consignés dans le tableau suivant :

Tableau 56:calcul du débit par la méthode ORSTOM

Dásismotion	Méthode ORSTOM							
Désignation	A	P10(m)	Kr10	α10	S(m ²)	Tb10(min)	P50(mm)	
	0.97	0.18	0.19	2.6	6,736,000.00	17,400.00	0.22	
Qr10	33.62							
Q10=m*Qr10	34.63							
$C_{50} = 1 + \frac{P_{50} - P_{10}}{P10} \times \frac{(\frac{Tb}{24})^{0,12}}{Kr10}$	1.02							
Q50=c*Q10	35.32							





Méthode CIEH

L'estimation du débit décennal par cette méthode est basée sur un schéma de régression multiple et tient compte des caractéristiques du bassin, de son emplacement et du régime climatique de la zone. Elle se présente sous la forme :

$$Q_{10} = a \times S^s \times P^p_{an} \times I^i_g \times K^k_{r10} \times D^d_d \dots$$

Pour l'estimation du débit nous utiliserons les équations de régressions linéaires (28,29 et 30).

METHODE CIEH S Ig N Ι **Kr10** $Q_{10} (m^3/s)$ k a S (Km2) (mm) 6,736 28 0,876 10,52 0,521 0,625 18 22,73 27,93 29 893 0,773 0,567 0,923 6,736 10,52 18 30 0,109 0,771 0,419 0,887 6,736 10,52 18 46,38

Tableau 57:calcul du débit par la méthode CIEH

$$Q_{10}(28) = a \times S^s \times K_{r10}^k = 22,73 \text{ m}^3/\text{s}$$

$$Q_{10}(28) = a \times S^s \times K_{r10}^k = 27,93 \text{ m}^3/\text{s}$$

$$Q_{10}(29) = a \times S^s \times I_q^i \times K_{r10}^k = 46,38 \, m^3/s$$

$$Q_{10}(CIEH) = \frac{Q_{10}(28) + Q_{10}(29) + Q_{10}(30)}{3} = 32,33 \ m^3/s$$

Le débit à retenir au final correspond à la valeur maximale entre le débit fournit par la méthode de ORSTOM et celle fournit par la méthode CIEH.

$$Q_{10} = max(34,63;32,33) = 34,63 m^3/s$$

Débit du bassin versant 20

L'obtention du débit s'obtient en appliquant un coefficient C au débit décennal pour extrapoler le débit à la période de retour de 50 ans qui correspond à notre débit de projet.

$$Q_{50} = C \times Q_{10} = 35,33 \text{m}^3/\text{s}$$





Dimensionnement hydraulique

Le dimensionnement hydraulique c'est effectué suivant les trois étapes sur citées. Les détails de calculs sont consignés dans les tableaux suivants :

Pour l'application de ses différentes formules certaines valeurs telles que Q*,H*,Icrit* et V* ont étés lues sur les figures suivantes:

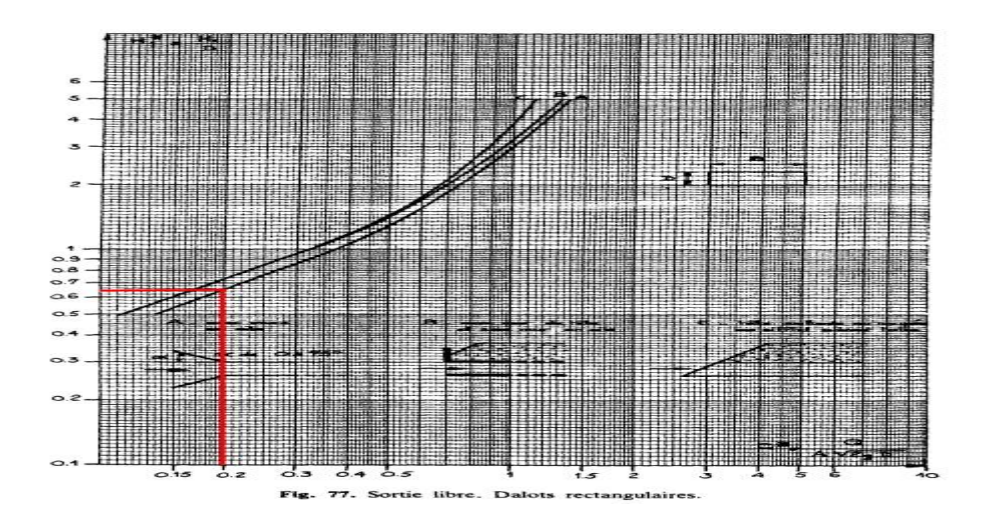


Figure 19:Dalots fonctionnant à sortie libre : Calcul de la profondeur d'eau

Source: « HYDRAULIQUE ROUTIERE », par Nguyen Van Tuu,1981

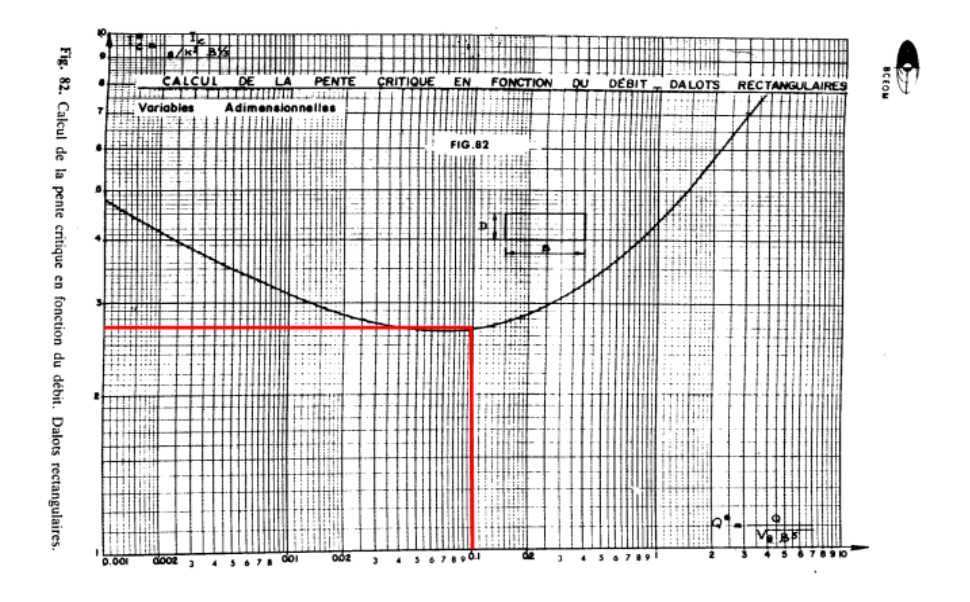


Figure 20:Dalots fonctionnant à sortie libre : Calcul de la pente critique





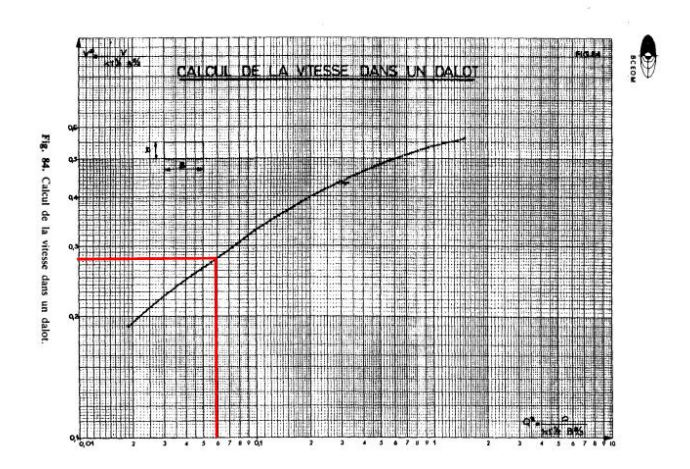


Figure 21:Dalots fonctionnant à sortie libre : Calcul de vitesse à la sortie

Source: « HYDRAULIQUE ROUTIERE », par Nguyen Van Tuu,1981





Tableau 58:verification entre Vr et Vp et détermination de la section du dalot sur le BV 20

BV20						
ETAPE 1: CALCUL DE LA HAUTEUR AMONT H1						
Q(m3/s)	35.32					
Vmax (m/s)	3					
Ks (béton)	67					
n (nombre de cellule)	2					
q: débit par cellule	17.66					
A: section muoillée d'une cellule	12.00					
B: Largeur de la cellule	4.0					
D: hauteur de la cellule	3.0	BV 21				
Q*	0.19					
H*(abaque hydraulique routière Fig 77)	0.56	Vérifiée				
H1=DxH*(hateur amont)	1.68					
ETAPE 2:CALCUL DE	LA PEN	NTE CRITIQUE				
Q*	0.18					
Ic* (abaque hydraulique routière Fig 82)	2.90					
Ic(pente critique de l'ouvrage)	0.003					
ETAPE3: CALCUL DE LA VITESSE et vérification						
Q*	0.12					
V*(abaque hydraulique routière Fig 84)	0.32					
V (vitesse de l'ouvrage)	2.98	Condition de vitesse vérifiée				





ETAPE 1: CALCUL DE L.	A HAU	TEUR AMONT H1
Q(m3/s)	22.48	
Vmax (m/s)	3	
Ks (béton)	67	
n (nombre de cellule)	2	
q: débit par cellule	11.24	
A: section muoillée d'une cellule	9.00	
B: Largeur de la cellule	3.0	BV 15 et 19
D: hauteur de la cellule	3.0	B v 13 ct 17
Q*	0.16	
H*(abaque hydralique routière Fig 77)	0.57	vérifiée
H1=DxH*(hateur amont)	1.71	
ETAPE 2:CALCUL DE	LA PEI	NTE CRITIQUE
Q*	0.23	
Ic* (abaque hydraulique routière Fig 82)	3.00	
Ic(pente critique de l'ouvrage)	0.003	
ETAPE3: CALCUL DE L	A VITE	SSE et vérification
Q*	0.16	
V*(abaque hydraulique routière Fig 84)	0.38	
V(vitesse de l'ouvrage)	2.97	Condition de vitesse vérifiée
		on retiendra un dalot de 2x3x3

Tableau 60: Tableau récapitulatif des résultats du calcul des ouvertures des différents dalots

Bassin	Débit de dimensionnement m³/s	Nombre de cellule	Hauteur de cellule D	Largeur de la cellule B (m)	Vitesse de reference Vr	Vitesse réelle Vp	Conclusion Vp < Vr
BV3	11,41	2	2	2	3	2,78	Vérifiée
BV6	19,14	2	3	3	3	2,69	Vérifiée
BV8	6,48	1	1	1	3	1,8	Vérifiée
BV14	20,99	2	3	3,0	3	2,69	Vérifiée
BV14	22,48	2	3	3	3	2,97	Vérifiée
BV18	17,68	2	3	3	3	2,97	Vérifiée
BV19	8,53	1	1	1	3	2,3	Vérifiée
BV21	12,56	2	2	2	3	2,78	Vérifiée
BV22	10,17	2	2	2	3	2,78	Vérifiée
BV20	35,32	2	3	4	3	2,98	Vérifiée





ANNEXE V : ETUDE STRUCTURAL D'UN DALOT $2\times4\times3$ (BASSIN VERSANT 20)

EVALUATION DES CHARGES PERMANENTES

4 Au niveau de la traverse

Poids propre de la traverse : $P_{tr} = e \times B \times \gamma_b = 0.3 \times 1.00 \times 25 = 7.5 kN/ml$ Poids propre des guides roues : $P_{gr} = \frac{e_{gr} \times h_{gr} \times L_T \times \gamma_b}{L_c + 2e_{gr}} = \frac{0.25 \times 0.85 \times 8.9 \times 25}{9 + 2 \times 0.25} = 4.98 kN/ml$

Poids du remblai et du revêtement : $P_{rr} = (H_r \times \gamma_d + e_r \times \gamma_r) \times B =$ $(0.9 \times 18 + 0.05 \times 22) \times 1.00 = 19,1N/ml$

La charge permanente totale sur la traverse vaut : $G_1=31.58 \ kN/ml$

4 Au niveau du radier

Poids propre du radier : $P_{ra} = e \times B \times \gamma_b = 0.3 \times 1.00 \times 25 = 7.5 kN/ml$

Poids propre des piédroits : $P_{ra} = \frac{(n+1)\times H\times e\times \gamma_b}{n\times L + (n+1)\times e} = \frac{3\times 3\times 0, 3\times 25}{2\times 4 + (3)\times 0, 3} = 7,59kN/ml$

Poids propre de la traverse : $P_{tr} = e \times B \times \gamma_b = 0.3 \times 1.00 \times 25 = 7.5 kN/ml$ Poids propre des guides roues : $P_{gr} = \frac{e_{gr} \times h_{gr} \times L_T \times \gamma_b}{L_c + 2e_{gr}} = \frac{0.25 \times 0.85 \times 8.9 \times 25}{9 + 2 \times 0.25} = 4.98 kN/ml$

Poids du remblai et du revêtement : $P_{rr} = (H_r \times \gamma_d + e_r \times \gamma_r) \times B = (0.9 \times 18 + e_r \times \gamma_r) \times B$

 $0.55 \times 22) \times 1.00 = 19{,}10N/ml$

La charge permanente totale sur le radier vaut : G_2 =46, 67 kN/ml

Poussée latérale du remblai sur un piédroit : $P_l = K_a \times \gamma_d \times h$

Avec h la hauteur du remblai par rapport au point considéré : h désigne h₁ ou h₂.

Le coefficient de poussée vaut Ka=0.333 et le poids volumique du remblai $\gamma_d = 18 \, kN/m^3$

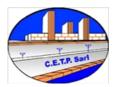
Calcul de h₁ à partir de la traverse : $\mathbf{h_1} = \mathbf{H_r} \times \frac{e}{2} = \mathbf{0}, 90 \times \frac{0.3}{2} = \mathbf{1}, 05m$

Poussée latérale au niveau du tablier : $G_{lt} = 0,333 \times 18 \times 1,05 = 6,993 kN/ml$

Calcul de h₂ à partir du radier : $h_2 = H_i + H_r + \times \frac{e}{2} = 3, 3 + 0, 90 \times \frac{0.3}{2} = 4,35m$

Poussée latérale au niveau du radier : $G_{lr} = 0$, $333 \times 18 \times 4$, 35 = 28, 971kN/ml





Les charges permanentes sur l'ouvrage se résument suivant la figure ci-après :

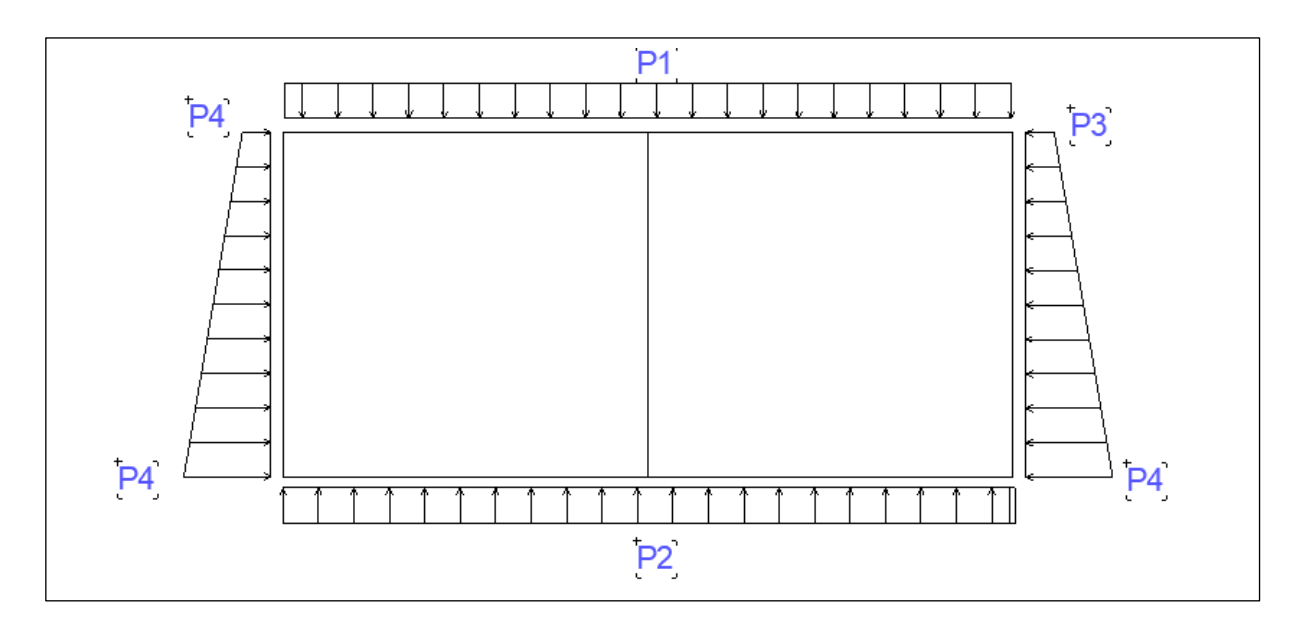


Figure 22: Chargement permanent appliqué à l'ouvrage

SOURCE: ARCHICAD 16

Evaluation des charges d'exploitation

Au niveau de la traverse

Au niveau de la traverse

• Sous-système Bc

Un camion type Bc a une masse totale de 30 t et comporte 3 essieux, tous les 3 à roues simples. L'essieu avant pèse 6t tandis que chaque essieu arrière pèse 12t Le rectangle d'encombrement mesure 10,50 m de long sur 2,5 m de large. Une distance de 1,5 m sépare les essieux arrière.

La surface d'impact d'une roue arrière est un carré de 0,25 m de côté et celle d'une roue avant est un carré de 0,20 m de côté. Dans le cas des surcharges routières du système Bc, le cas le plus défavorable est celui où l'on se retrouve avec les huit (08) roues arrière de 6 tonnes chacune que forment deux files de camions disposés sur la même travée. Pour le calcul de nos différents moments, nous allons transformer ces charges les plus défavorables en charge de surface. Le schéma ci-dessous nous montre une disposition des roues des deux files de camions sur une travée.





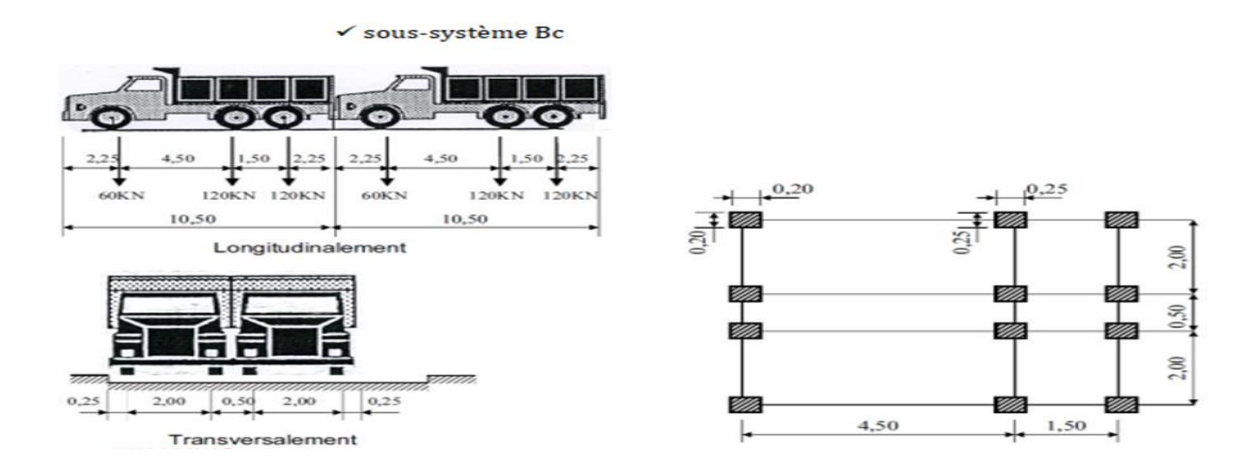


Figure 23:Disposition des roues des deux files de camions sur une travée sous Bc

La charge Qc est multipliée par un coefficient de dégressivité transversale bc qui est fonction de la classe de l'ouvrage et du nombre de voies de circulation sur l'ouvrage. L'ouvrage étant de classe I avec 2 voies de circulation, le coefficient vaut = 1,1.

On peut disposer sur la traverse (sur une travée) 2 x 2 essieux de 12 tonnes soit 8 roues de 6 t, la charge repartie linéairement correspondante s'évalue comme suit : Proues=8*6*10=480kN

La surface d'encombrement la plus contraignante de la surcharge à la surface de roulement est de 1,75 x 0,75 = a x b correspondant à 1 x 2 essieux de 12 tonnes, soit 240 kN. La surface d'impact d'une roue arrière est un carré de 0.25 m de côté, donc $v_o = u_o = 0,25$. Cet impact sur l'ouvrage sera un carré de côté : u = v = 0,25 + 1,40 = 1.65 La surface d'impact due à la charge des 4 roues (cas défavorable) sera :

$$A = \left(a + \frac{u}{2}\right)\left(b + \frac{v}{2}\right) = \left(1,75 + \frac{1.65}{2}\right)\left(0,75 + \frac{1.65}{2}\right) = 4,06m^2$$

La surcharge repartie sur la traverse : $Q_c = \frac{240 \times b_c}{A} = \frac{240 \times 1.1}{4.06} = 65.02 kN/m^2$

Le coefficient de majoration dynamique donne : $\delta = 1 + \frac{0.4}{1 + 0.2xL} + \frac{0.6}{1 + 4*\frac{G}{Q}}$

Avec L = max (Largeur roulable; portée de la travée) = (9; 3.00) = 9

G = Poids total d'une section de couverture de longueur L et toute la largeur relative à cette Couverture et aux éléments reposant sur elle.

G=charge permanente de l'élément considéré(travée)soit G= 31.58×4=126,32kN





Q=poids total maximum des essieux du système (Bc)qu'il est possible de placer sur la longueur

L; cette charge vaut: Q=240kN

Le coefficient de majoration dynamique donne : $\delta = 1 + \frac{0.4}{1 + 0.2x9} + \frac{0.6}{1 + 4 * \frac{126.32}{240}} = 1.33$

La surcharge majorée sous le système Bc : $Q_{bc} = 65,02 \times 1,33 \times 1 = 86,48 kN/ml$

• Sous-système Bt

L'essieu tandem du sous-système Bt comporte 2 essieux de 2 roues simples de 16t par essieu soit 8t par roue.

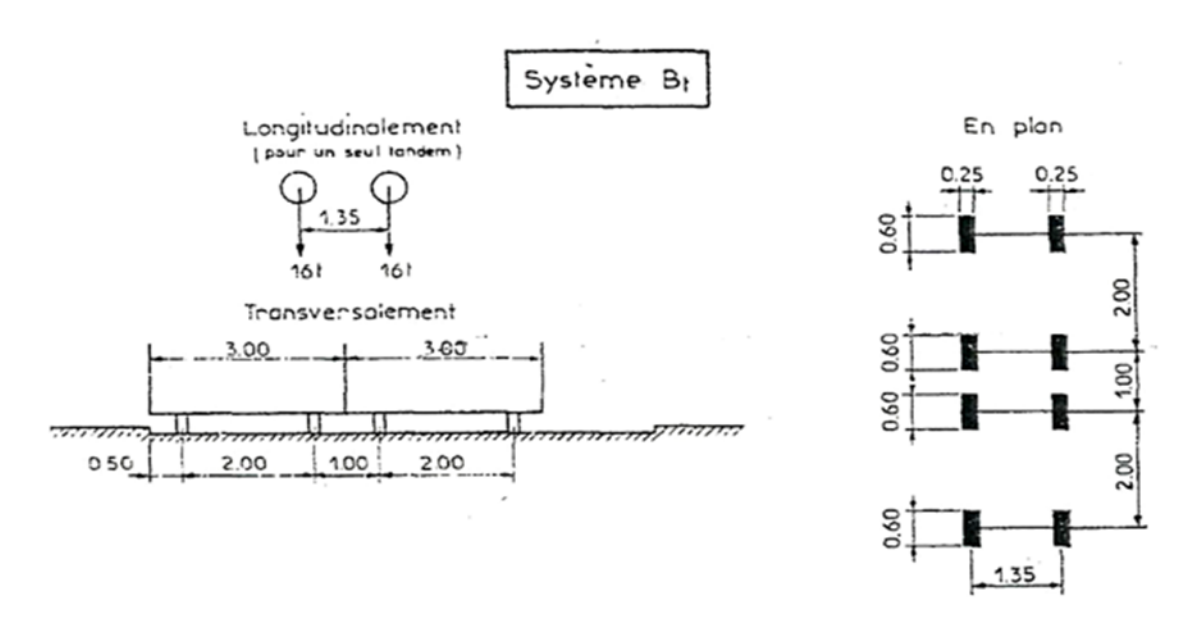


Figure 24:Disposition des roues des deux files de camions sur une travée sous Bt

<u>SOURCE</u>: « Fascicule 61 Titre II, conception, calcul et épreuves des ouvrages d'art » page28

La charge Bt est multipliée par un coefficient de dégressivité transversale bt qui est fonction de la classe de l'ouvrage ; ce coefficient pour un ouvrage de première classe est bt = 1.

Le poids des 8 roues est : Proues = 8*8*10 = 640

Le cas le plus contraignant est celui d'un tandem de 32 tonnes soit 320 kN disposés pour un

Impact de 1,60 x 1,60 m à la surface de la couche de roulement.

ÉTUDES TECHNIQUES DÉTAILLÉES DES TRAVAUX DE RÉHABILITATION DE LA ROUTE NATIONALE N°2 : « CAS DU TRONÇON EBOLOWA-AMBAM » (91780 ml) : RÉGION DU SUD - CAMEROUN.





La surface d'impact d'une roue arrière est un rectangle de dimensions u_o = 0.60 et v_o = 0.25

Cet impact sur l'ouvrage sera un rectangle tel que : u = 0.60 + 1.4 = 2m et

$$V = 0.25 + 1.4 = 1.65 m$$

La surface d'impact due à la charge des 4 roues (cas défavorable) sera :

$$A = \left(a + \frac{u}{2}\right)\left(b + \frac{v}{2}\right) = \left(1.6 + \frac{2}{2}\right)\left(1.6 + \frac{1.65}{2}\right) = 6.305 \ m^2$$

La surcharge repartie sur le tablier : $Q_{Bt} = \frac{320 \times b_t}{A} = \frac{320 \times 1}{6,305} = 50,75 \, kN/m^2$

 $G = 31.58 \times 4 = 126.32 \text{kN kN/ml}$ et Q = 320 kN

Le coefficient de majoration :
$$\delta = 1 + \frac{0.4}{1 + 0.2xL} + \frac{0.6}{1 + 4 \cdot \frac{G}{0}} = 1 + \frac{0.4}{1 + 0.2x9} + \frac{0.6}{1 + 4 \cdot \frac{126.32}{320}} = 1,375$$

La surcharge majorée sous le système Bt: $Q_{Bt} = 50.75 \times 1.375 = 69.78 \text{ kN/ml}$

Sous système Br

Il s'agit d'une roue isolée de 10 tonnes soit 100 kN pour un impact de 0,30 x 0,60 m à la Surface de la couche de roulement. La surface d'impact de la seule roue arrière est un rectangle de dimensions $u_o = 0.60$ m et $v_o = 0.30$ m

Cet impact sur l'ouvrage sera un rectangle tel que : u = 0.60 + 1.4 = 2.00 et

$$v = 0.30 + 1.4 = 1.70$$

La surface d'impact due à la charge des 4 roues (cas défavorable) sera :

$$A = \left(a + \frac{u}{2}\right)\left(b + \frac{v}{2}\right) = \left(0.6 + \frac{2}{2}\right)\left(0.3 + \frac{1,70}{2}\right) = 1,84 \ m^{2}$$

La surcharge repartie sur la traverse : $Q_{br} = \frac{100}{A} = \frac{100}{1.84} = 54,34 kN/m^2$

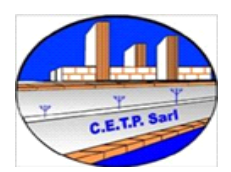
 $G = 31.58 \times 4 = 126.32$ kN et Q = 100kN

Le coefficient de majoration :
$$\delta = 1 + \frac{0.4}{1 + 0.2 \text{xL}} + \frac{0.6}{1 + 4 * \frac{G}{0}} = 1 + \frac{0.4}{1 + 0.2 \text{x9}} + \frac{0.6}{1 + 4 * \frac{126.32}{100}} = 1,24$$

Pour 1 m de large, on aura une charge linéaire : $Q_{Br} = 54.34 \times 1.24 \times 1 = 67,38 \mathrm{kN/ml}$

• Charge militaire du convoi Mc120





Un véhicule type du système Mc 120 comporte deux chenilles de masse totale 110t avec une longueur de 6,10 m. et une largeur 1 m par chenille ; la distance d'axe en axe des deux chenilles est de 3,30 m. Le rectangle d'impact de chaque chenille est supposé uniformément chargé. La charge correspondante est alors : $Q_{Mc120} = \frac{1100}{6.10*4.30} = 41,94 \, kN/m^2$

$$G = 31.58 \times 4 = 126.32$$
kN et $Q = 1100$

Le coefficient de majoration :
$$\delta = 1 + \frac{0.4}{1 + 0.2 \text{xL}} + \frac{0.6}{1 + 4 * \frac{G}{O}} = 1 + \frac{0.4}{1 + 0.2 \text{x}9} + \frac{0.6}{1 + 4 * \frac{126.32}{1100}} = 1,55$$

Pour 1 m de large, on aura une charge linéaire : $Q_{Mc120} = 41,94 \times 1,55 \times 1 = 65,00 \text{kN/ml}$

Au niveau du radier et des pieddroits

Le cheminement est le même que précédemment, la seule variante ici est le poids propre de la Structure qui sera dans ce cas de : $G = 46,67 \times 4,00 = 186,68$

Au niveau du radier

• Sous-système Bc

Un camion type Bc a une masse totale de 30 t et comporte 3 essieux, tous les 3 à roues simples. L'essieu avant pèse 6t tandis que chaque essieu arrière pèse 12t. Le rectangle d'encombrement mesure 10,50 m de long sur 2,5 m de large. Une distance de 1,5 m sépare les essieux arrière.

La surface d'impact d'une roue arrière est un carré de 0,25 m de côté et celle d'une roue avant est un carré de 0,20 m de côté Dans le cas des surcharges routières du système Bc, le cas le plus défavorable est celui où l'on se retrouve avec les huit (08) roues arrière de 6 tonnes chacune que forment deux files de camions disposés sur la même travée. Pour le calcul de nos différents moments, nous allons transformer ces charges les plus défavorables en charge de surface. Le schéma ci-dessous nous montre une disposition des roues des deux files de camions sur une travée.





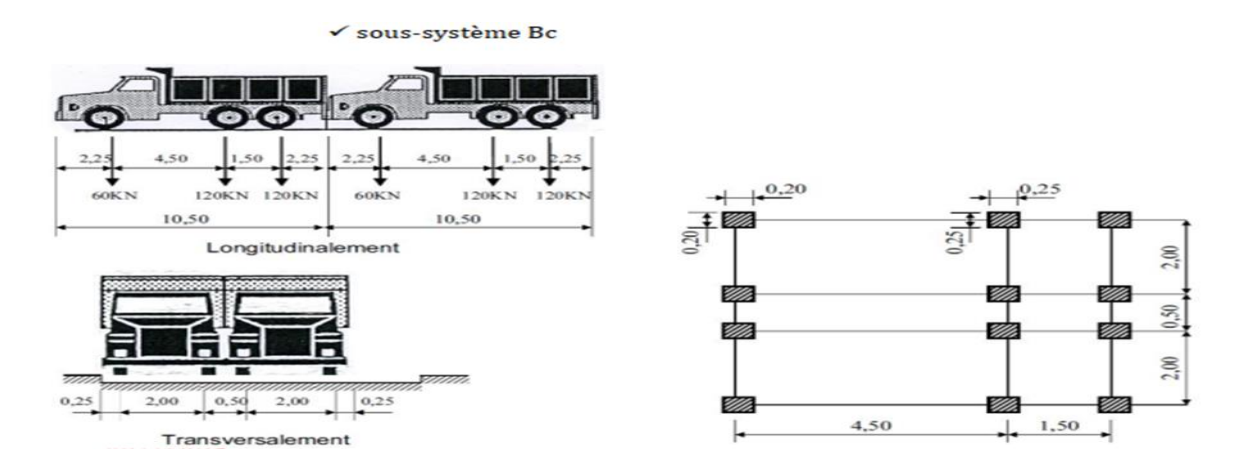


Figure 25:Disposition des roues des deux files de camions sur une travée sous Bc

La charge Qc est multipliée par un coefficient de dégressivité transversale bc qui est fonction de la classe de l'ouvrage et du nombre de voies de circulation sur l'ouvrage. L'ouvrage étant de classe I avec 2 voies de circulation, le coefficient vaut = 1,1 On peut disposer sur la traverse (une travée) 2 x 2 essieux de 12 tonnes soit 8 roues de 6 t, la charge repartie linéairement correspondante s'évalue comme suit : Poids roues=8*6*10=480Kn.

La surface d'encombrement la plus contraignante de la surcharge à la surface de roulement est de 1,75 x 0,75 = a x b correspondant à 1 x 2 essieux de 12 tonnes, soit 240 kN. La surface d'impact d'une roue arrière est un carré de 0.25 m de côté, donc $v_o = u_o = 0,25$ Cet impact sur l'ouvrage sera un carré de côté : u = v = 0.25 + 1.40 = 1.65 La surface d'impact due à la charge des 4 roues (cas défavorable) sera :

$$A = \left(a + \frac{u}{2}\right)\left(b + \frac{v}{2}\right) = \left(1{,}75 + \frac{1.65}{2}\right)\left(0{,}75 + \frac{1.65}{2}\right) = 4{,}06m^2$$

La surcharge repartie sur la traverse : $Q_c = \frac{240 \times b_c}{A} = \frac{240 \times 1.1}{4.06} = 65,02 kN/m^2$

Le coefficient de majoration dynamique donne : $\delta = 1 + \frac{0.4}{1 + 0.2 \text{xL}} + \frac{0.6}{1 + 4 * \frac{G}{O}}$

Avec L = max (Largeur roulable; portée de la travée) = (9; 3.00) = 9

G = Poids total d'une section de couverture de longueur L et toute la largeur relative à cette couverture et aux éléments reposant sur elle.

G=charge permanente de l'élément considéré(travée)soit G= 46,67× 4,00 = 186,68kN/ml

Q=poids total maximum des essieux du système (Bc)qu'il est possible de placer sur la longueur

L; cette charge vaut : Q=240kN





Le coefficient de majoration dynamique donne :
$$\delta = 1 + \frac{0.4}{1 + 0.2x9} + \frac{0.6}{1 + 4 * \frac{186.68}{240}} = 1,29$$

La surcharge majorée sous le système Bc : $Q_{bc} = 65,02 \times 1,29 \times 1 = 83,87 kN/ml$

Au niveau des piédroits

Sur les piédroits
$$p_{to}=1,29\times p_o\times b_c\times 1=1,29\times 10\times 1,10\times 1=14,19kN/ml$$

Au niveau du radier

Sur les piédroits $p_{to}=1.29\times\,p_o\times\,b_c\times 1=1.29\times 10\times 1\times 1=14.19kN/ml$

• Sous-système Bt

L'essieu tandem du sous-système Bt comporte 2 essieux de 2 roues simples de 16t par essieu soit 8t par roue.

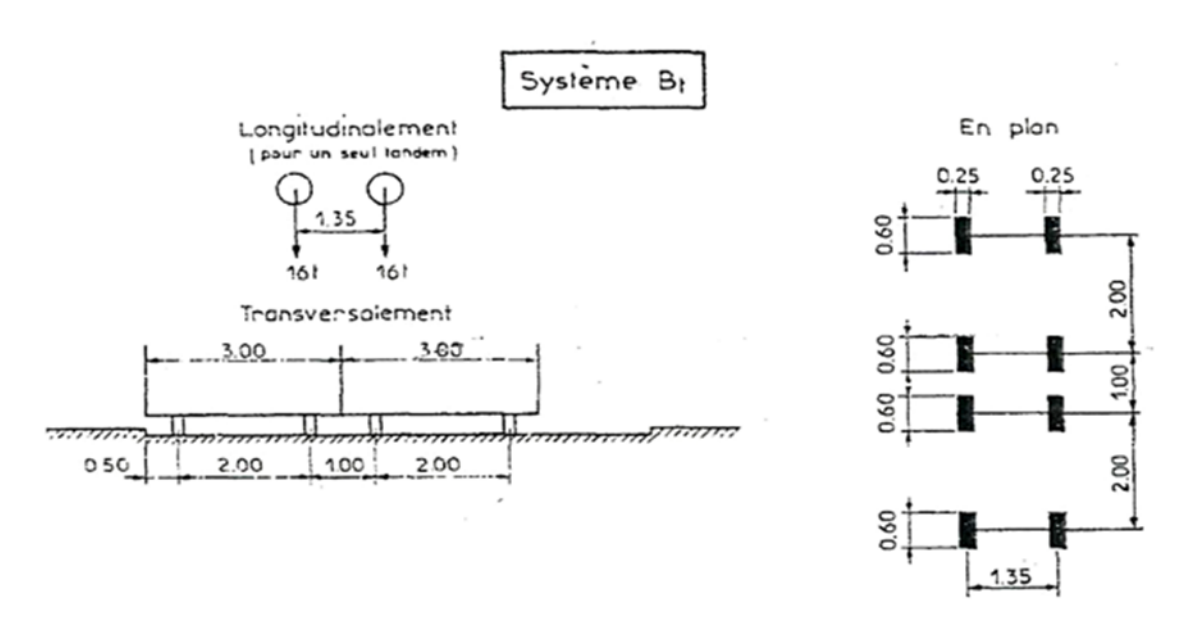


Figure 26:Disposition des roues des deux files de camions sur une travée sous Bt

La charge Bt est multipliée par un coefficient de dégressivité transversale bt qui est fonction de la classe de l'ouvrage ; ce coefficient pour un ouvrage de première classe est bt = 1. Le poids des 8 roues est : Proues = 8*8*10 = 640

Le cas le plus contraignant est celui d'un tandem de 32 tonnes soit 320 kN disposés pour un impact de 1,60 x 1,60 m à la surface de la couche de roulement. La surface d'impact d'une roue arrière est un rectangle de dimensions $u_o = 0,60$ et $v_o = 0,25$

Cet impact sur l'ouvrage sera un rectangle tel que : u = 0.60 + 1.4 = 2m et

$$v = 0.25 + 1.4 = 1.65$$
m





La surface d'impact due à la charge des 4 roues (cas défavorable) sera :

$$A = \left(a + \frac{u}{2}\right)\left(b + \frac{v}{2}\right) = \left(1,6 + \frac{2}{2}\right)\left(1,6 + \frac{1.65}{2}\right) = 6,305 \ m^2$$

La surcharge repartie sur la traverse : $Q_{Bt} = \frac{320 \times b_t}{A} = \frac{320 \times 1}{6.305} = 50,75 \, kN/m^2$

 $G = 46.67 \times 4.00 = 186.68 \text{kN/ml}$ et Q = 320 kN

Le coefficient de majoration :
$$\delta = 1 + \frac{0.4}{1 + 0.2 \text{xL}} + \frac{0.6}{1 + 4 * \frac{G}{O}} = 1 + \frac{0.4}{1 + 0.2 \text{x9}} + \frac{0.6}{1 + 4 * \frac{186.68}{320}} = 1.32$$

La surcharge majorée sous le système Bt: $Q_{Bt} = 50.75 \times 1.32 = 66,99 \text{ kN/ml}$

Au niveau des piédroits

Sur les piédroits $p_{to}=1,32\times\,p_o\times\,b_t\times 1=1,32\times 10\times 1,10\times 1=14,52kN/ml$

• Sous système Br

Au niveau du radier

Il s'agit d'une roue isolée de 10 tonnes soit 100 kN pour un impact de 0,30 x 0,60 m à la surface de la couche de roulement. La surface d'impact de la seule roue arrière est un rectangle de dimensions $u_o = 0,60$ m et $v_o = 0,30$ m.

Cet impact sur l'ouvrage sera un rectangle tel que : u = 0.60 + 1.4 = 2.00 et v = 0.30 + 1.4 = 1.70

La surface d'impact due à la charge des 4 roues (cas défavorable) sera :

$$A = \left(a + \frac{u}{2}\right)\left(b + \frac{v}{2}\right) = \left(0.6 + \frac{2}{2}\right)\left(0.3 + \frac{1.70}{2}\right) = 1.84 \ m^2$$

La surcharge repartie sur la traverse : $Q_{br} = \frac{100}{A} = \frac{100}{1,84} = 54,34 kN/m^2$

$$G = G = 46.67 \times 4.00 = 186.68 \text{kN/ml}$$
 et $Q = 100 \text{kN}$

Le coefficient de majoration :
$$\delta = 1 + \frac{0.4}{1 + 0.2 \text{xL}} + \frac{0.6}{1 + 4 * \frac{G}{O}} = 1 + \frac{0.4}{1 + 0.2 \text{xg}} + \frac{0.6}{1 + 4 * \frac{186.68}{100}} = 1.21$$

Pour 1 m de large, on aura une charge linéaire : $Q_{Br} = 54,34 \times 1.21 \times 1 = 65,75 \text{kN/ml}$

Au niveau des piédroits

Sur les piédroits $p_{to} = 1.21 \times p_o \times b_t \times 1 = 1,21 \times 10 \times 1.10 \times 1 = 13,31 kN/ml$

• Charge militaire du convoi Mc120





Au niveau du radier

Un véhicule type du système Mc 120 comporte deux chenilles de masse totale 110t avec une longueur de 6,10 m. et une largeur 1 m par chenille ; la distance d'axe en axe des deux chenilles est de 3,30 m. Le rectangle d'impact de chaque chenille est supposé uniformément chargé. La charge correspondante est alors : $Q_{Mc120} = \frac{1100}{6.10*4.30} = 41,94 \, kN/m^2$

$$G = 46.67 \times 4.00 = 186.68 \text{kN/ml}$$
 et $Q = 1100$

Le coefficient de majoration :
$$\delta = 1 + \frac{0.4}{1 + 0.2 \text{xL}} + \frac{0.6}{1 + 4 \cdot \frac{G}{O}} = 1 + \frac{0.4}{1 + 0.2 \text{xg}} + \frac{0.6}{1 + 4 \cdot \frac{186.68}{1100}} = 1,50$$

Pour 1 m de large, on aura une charge linéaire : $Q_{Mc120} = 41,94 \times 1.5 \times 1 = 62,91 \text{kN/ml}$

Au niveau des piédroits

Sur les piédroits $p_{to} = 1,50 \times p_o \times b_t \times 1 = 1,50 \times 10 \times 1,10 \times 1 = 16,5kN/ml$

CALCUL DES MOMENTS ENGENDRÉS PAR LES CHARGES PERMANENTES

On sait que,
$$\mathbf{m_{1.2}} = \frac{-P_1L^2}{12}$$
, $\mathbf{m_{4.5}} = \frac{-P_2L^2}{12}$, $\mathbf{m_{6.1}} = \frac{-(P_4-P_3)H^2}{20} - \frac{P_3H^2}{12}$
et $\mathbf{m_{1.6}} = \frac{(P_4-P_3)H^2}{30} + \frac{P_3H^2}{12}$

Les moments d'encastrement pour 1 m de largeur de dalot sont :

$$\mathbf{m_{1.2}} = \frac{-P_1L^2}{12} = \frac{-31,58*4^2}{12} = -42,11kN.m = \mathbf{m_{2.3}}$$

$$\mathbf{m_{2.1}} = 42.11kN.m = \mathbf{m_{3.2}}$$

$$\mathbf{m_{4.5}} = \frac{-P_2L^2}{12} = \frac{-46,67*4^2}{12} = -62,27kN.m = \mathbf{m_{5.6}}$$

$$m_{5.4} = 62.27 kN. m = m_{6.5}$$

$$\mathbf{m_{6.1}} = \frac{-(P_4 - P_3)H^2}{20} - \frac{P_3H^2}{12} = \frac{-(28,971 - 6,993)3^2}{20} - \frac{6.993 * 3^2}{12} = -15,16kN.m = \mathbf{m_{4.3}}$$

$$\mathbf{m}_{1.6} = \frac{(P_4 - P_3)H^2}{30} + \frac{P_3H^2}{12} = \frac{(28,971 - 6,993)3^2}{30} + \frac{6.993 \times 3^2}{12} = 11,84 \text{kN.} \text{ m} = \mathbf{m}_{3.4}$$

$$m_{2.5} = m_{5.2} = 0$$





Calcul de b1 a b5

$$\mathbf{b_1} = -(\mathbf{m_{12}} + \mathbf{m_{16}}) = -(-42.11 + 11.84) = 30.27$$

$$\mathbf{b_2} = -(\mathbf{m_{2.1}} + \mathbf{m_{2.3}} + \mathbf{m_{2.5}}) = -(42,11 - 42,11 + 0) = 0$$

$$\mathbf{b_3} = -(\mathbf{m_{3.2}} + \mathbf{m_{3.4}}) = -(42,11 + 11,84) = -53,95$$

$$\mathbf{b_4} = -(\mathbf{m_{4.5}} + \mathbf{m_{4.3}}) = -(-62,27 - 15,16) = 77,43$$

$$\mathbf{b_5} = -(\mathbf{m_{5.4}} + \mathbf{m_{5.6}} + \mathbf{m_{5.2}}) = -(62,27 - 62,27 + 0) = 0$$

$$\mathbf{b_6} = -(\mathbf{m_{6.5}} + \mathbf{m_{6.1}}) = -(62,27 - 15,16) = -47,11$$

La résolution du système

$$a_1 = 9.8827$$

$$a_2 = 3,0967$$

$$a_3 = -19,62$$

$$a_4 = 24,00$$

$$a_5 = -2,649$$

$$a_6 = -13,79$$

Nous déduisons alors les moments

$$M_{i,j} = k \times (2 \times a_i + a_j) + m_{i,j}, \quad k = k_1 \text{ ou } k_2$$

$$M_{1,2} = M_{2,3} = -18, 15$$

$$M_{2,1} = M_{3,2} = 58,99$$

$$M_{4.5} = M_{5.6} = -14,65$$

$$M_{5.4} = M_{6.5} = 81,91$$

$$M_{6.1} = M_{4.3} = -33,74$$

$$M_{1.6} = M_{3.4} = 18,11$$





Calcul des moments à mi-travée

$$M_{\text{mi-trav\'ee}} = \frac{M_{gauche} + M_{droite}}{2} + M_{isostatique}$$

De plus les réactions aux appuis sont déterminées par la relation :

$$R_{agt} = \frac{M_{adt} - M_{agt}}{2} + \frac{P \times L}{2}$$
 et $R_{adt} = \frac{M_{agt} - M_{adt}}{2} + \frac{P \times L}{2}$

Les moments isostatiques au milieu des travées du tablier, du radier et piédroits sont :

Tablier:
$$M_{ot} = \frac{P_1 * L^2}{8} = \frac{31,58 * 4^2}{8} = 63,16 kN. m/ml$$

Radier:
$$M_{ot} = \frac{P_1 * L^2}{8} = \frac{46,67 * 4^2}{8} = 93,34 kN. m/ml$$

Piédroit :
$$\frac{(P_4 - P_3)H^2}{16} + \frac{P_3H^2}{8} = \frac{(28,971 - 6,993)3^2}{16} + \frac{6,993x3^2}{8} = 20,23kN. m/ml$$

Les moments maximums en travées et sur appuis sont donc :

Tablier:

Travée 1 = travée 2

Au milieu de la travée :

$$M_{tt} = \frac{M_{agt} + M_{adt}}{2} + M_{ot} = \frac{-18,15 + (-58,99)}{2} + 63,16 = 24,59kN.m/ml$$

Radier:

Au milieu de la travée :

$$M_{tt} = \frac{M_{agt} + M_{adt}}{2} + M_{ot} = \frac{-81,91 + (-14,65)}{2} + 93,34 = 59,71 \text{kN.} \text{ m/ml}$$

Piédroit extrême

Appui inférieur : $M_{tt} = M_{3.4} = -33,74$

Appui supérieur : $M_{tt} = -M_{4.3} = -18, 11$





Au milieu de la travée :
$$M_{tt} = \frac{-33,74-18,11}{2} + 20,23 = -5,695 kN. m/ml$$

Les réactions à chaque appui sont :

Tablier:

Appui de gauche =appui de droite

Appui :
$$Rt = \frac{M_{agt} - M_{adt}}{L} + \frac{P_1 * L}{2} = \frac{-18,15 + 58,99}{4} + \frac{31,58 * 4}{2} = 73,27 kN/ml$$

Radier:

$$Rr = \frac{M_{agt} - M_{adt}}{L} - \frac{P_2 * L}{2} = \frac{-14,65 + 81.91}{4} - \frac{46,67 * 4}{2} = -76,525 kN/ml$$

CALCUL DES MOMENTS ENGENDRES PAR LES CHARGES ROUTIERES

On sait que,
$$\mathbf{m_{1.2}}=\frac{-P_1L^2}{12}$$
 , $\mathbf{m_{4.5}}=\frac{-P_2L^2}{12}$, $\mathbf{m_{6.1}}=\frac{-(P_4-P_3)H^2}{20}-\frac{P_3H^2}{12}$

et
$$\mathbf{m_{1.6}} = \frac{(P_4 - P_3)H^2}{30} + \frac{P_3H^2}{12}$$

Les moments d'encastrement pour 1 m de largeur de dalot sont :

$$\mathbf{m}_{1.2} = \frac{-P_1L^2}{12} = \frac{-83.87*4^2}{12} = -111,83kN.m = \mathbf{m}_{2.3}$$

$$\mathbf{m}_{2.1} = 115.31kN.m = \mathbf{m}_{3.2}$$

$$\mathbf{m}_{4.5} = \frac{-P_2L^2}{12} = \frac{-83,87*4^2}{12} = -111,83kN.m = \mathbf{m}_{5.6}$$

$$m_{5.4} = 111.83kN.m = m_{6.5}$$

$$\mathbf{m_{6.1}} = \frac{-(P_4 - P_3)H^2}{20} - \frac{P_3H^2}{12} = \frac{-(14.19 - 14.19)3^2}{20} - \frac{14.19 \times 3^2}{12} = -10.64 \text{kN.} m = \mathbf{m_{4.3}}$$

$$\mathbf{m}_{1.6} = \frac{(P_4 - P_3)H^2}{30} + \frac{P_3H^2}{12} = \frac{(14.19 - 14.19)3^2}{20} + \frac{14.19 * 3^2}{12} = 10,64 \text{kN.} \text{ m} = \mathbf{m}_{3.4}$$

$$m_{2.5}=m_{5.2}=0\,$$

Calcul de b1 a b5





$$\mathbf{b_1} = -(\mathbf{m_{1.2}} + \mathbf{m_{1.6}}) = -(-111,83 + 10,64) = 101,19$$

$$\mathbf{b_2} = -(\mathbf{m_{2.1}} + \mathbf{m_{2.3}} + \mathbf{m_{2.5}}) = -(111,83.31 - 111,83 + 0) = 0$$

$$\mathbf{b_3} = -(\mathbf{m_{3.2}} + \mathbf{m_{3.4}}) = -(-111,83 + 10,64) = 101,19$$

$$\mathbf{b_4} = -(\mathbf{m_{4.5}} + \mathbf{m_{4.3}}) = -(-111,83 - 10,64) = 122,47$$

$$\mathbf{b_5} = -(\mathbf{m_{5.4}} + \mathbf{m_{5.6}} + \mathbf{m_{5.2}}) = -(\mathbf{111}, \mathbf{83} - 111, \mathbf{83} + 0) = 0$$

$$\mathbf{b_6} = -(\mathbf{m_{6.5}} + \mathbf{m_{6.1}}) = -(\mathbf{111}, \mathbf{83} - 10, 64) = -101, 19$$

La résolution du système

$$a_1 = 35,132$$

$$a_2 = -14,59$$

$$a_3 = 21,904$$

$$a_4 = 23,347$$

$$a_5 = 1.34$$

$$a_6 = -29,56$$

Nous déduisons alors les moments

$$M_{i,j} = k \times (2 \times a_i + a_j) + m_{i,j}, \quad k = k_1 \text{ ou } k_2$$

$$M_{1.2} = M_{2.3} = -56,85$$

$$M_{2,1} = M_{3,2} = 121,55$$

$$M_{4.5}=M_{5.6}=-61,39\,$$

$$M_{5.4} = M_{6.5} = 139, 15$$

$$M_{6.1} = M_{4.3} = -35,82$$

$$M_{1.6} = M_{3.4} = 54,58$$

$$M_{5,2} = -12,51$$





$$M_{2.5} = 29,23$$

Calcul des moments à mi-travée

$$M_{\text{mi-trav\'ee}} = \frac{M_{gauche} + M_{droite}}{2} + M_{isostatique}$$

Les moments isostatiques au milieu des travées du tablier, du radier et piédroits sont :

Tablier:
$$M_{\text{ot}} = \frac{P_1 * L^2}{8} = \frac{83,87 * 4^2}{8} = 167,74 kN. m/ml$$

Piédroit :
$$\frac{(P_4 - P_3)H^2}{16} + \frac{P_3H^2}{8} = \frac{(14,19 - 14,19)3^2}{16} + \frac{14,19x3^2}{8} = 15,96kN.m/ml$$

Les moments maximums en travées et sur appuis sont donc :

Tablier:

Au milieu de la travée :

$$M_{tt} = \frac{M_{agt} + M_{adt}}{2} + M_{ot} = \frac{-56,85 + (-121,55)}{2} + 167,74 = 78,54kN. m/ml$$

Radier:

Au milieu de la travée :

$$M_{tt} = \frac{M_{agt} + M_{adt}}{2} + M_{ot} = \frac{-61,39 + (-139,15)}{2} + 167,74 = 67,47kN.m/ml$$

Piédroit extrême

Appui inférieur :
$$M_{tt} = M_{3.4} = 54,58$$

Appui supérieur :
$$M_{tt} = M_{4.3} = -35,82$$

Au milieu de la travée :
$$M_{tt} = \frac{54,58-35,82}{2} + 15,96 = 25,34kN. m/ml$$

Piédroit intermédiaire :

112



Appui inférieur : $M_{aip} = M_{5.2} = -12,51$

Appui supérieur $M_{asp} = M_{5.2} = -29,23$

Au milieu de la travée :
$$M_{tp} = \frac{M_{aip} - M_{asp}}{2} = \frac{-12.51 + 29.23}{2} = 8,36kN.m/ml$$

De plus les réactions aux appuis sont déterminées par la relation :

$$R_{agt} = \frac{M_{adt} - M_{agt}}{2} + \frac{P \times L}{2}$$
 et $R_{adt} = \frac{M_{agt} - M_{adt}}{2} + \frac{P \times L}{2}$

Traverse:

Appui de gauche =appui de droite

$$Rt = \frac{M_{agt} - M_{adt}}{L} + \frac{P_1 * L}{2} = \frac{-55.32 - 121.50}{4} + \frac{86.48 * 4}{2} = 128,755 kN/ml$$

Radier:

$$Rr = \frac{M_{agt} - M_{adt}}{L} - \frac{P_2 * L}{2} = \frac{139.09 - 61.88}{4} - \frac{86.48 * 4}{2} = -153,66kN/ml$$

Calcul des sections d'armatures du dalot

Les calculs sont menés à l'Etat Limite de Service car la fissuration est jugée préjudiciable.

> Armature du tablier

Données :
$$H = 3 \text{ m}$$
, $b = 1 \text{ m}$, $h = 0.3 \text{ m}$, $c = 3 \text{ cm}$, $d = 0.9 \text{ h} = 27 \text{ cm}$

Calcul de la section en flexion simple.

• Sur appui

Moment à l'ELS : $M_{ser} = 192, 29KN.m$

Paramètre de déformation :
$$\overline{\alpha_{ser}} = \frac{n\sigma_{bc}}{n\sigma_{hc} + \sigma_{st}} = \frac{15x15}{15x15 + 250} = 0,47$$

Fibre neutre :
$$\overline{\gamma_{ser}} = d * \overline{\alpha_{ser}} = 0.27 * 0.47 = 0.13$$

Bras de levier :
$$\overline{Z_{ser}} = d - \frac{\overline{\gamma_{ser}}}{3} = 0.27 - \frac{0.13}{3} = 0.233$$





$$M_{rser} = \frac{1}{2} \times b_0 \times \overline{\gamma_{ser}} \times \overline{\sigma_{bc}} \times \overline{Z_{ser}} = \frac{1}{2} \times 1,00 \times 0,13 \times 15 \times 0,223$$

$$M_{rser} = 0.217 \, KN. \, m$$

$$M_{ser} = 192,29 < M_{rser} = 217,00 \longrightarrow A_{sc} = 0$$

Il n'y a pas nécessité d'utiliser les aciers comprimés car le béton seul suffit pour reprendre la sollicitation.

Section :
$$A_s = \frac{M_{ser}}{\overline{\sigma_{st}} * \overline{Z_{ser}}} = \frac{0.19229}{250 * 0.223} \times 10^4$$

$$A_s = 34,49 \ cm^2 / ml$$

Condition de non fragilité de la section

$$A_{min} = 0.23b_0d\frac{f_{t28}}{f_e} = 0.23 * 1 * 0.27 * \frac{2.1}{500}10^4$$

$$A_{min}=2,61 cm^2/ml$$

Section retenue : A = max (Amin ; As) = 34,49 cm2 / ml

Choix 2x9HA16 — 36.19 cm2/ml espacement st=100/9=11,11

Choix: St = 10 cm

• En travée

Moment à l'ELS : $M_{ser} = 108$, 05KN.m

Paramètre de déformation :
$$\overline{\alpha_{ser}} = \frac{n\sigma_{bc}}{n\sigma_{bc} + \sigma_{st}} = \frac{15x15}{15x15 + 250} = 0,47$$

Fibre neutre :
$$\overline{\gamma_{ser}} = d * \overline{\alpha_{ser}} = 0.27 * 0.47 = 0.13$$

Bras de levier :
$$\overline{Z_{ser}} = d - \frac{\overline{\gamma_{ser}}}{3} = 0.27 - \frac{0.13}{3} = 0.233$$

$$M_{rser} = \frac{1}{2} \times b_0 \times \overline{\gamma_{ser}} \times \overline{\sigma_{bc}} \times \overline{Z_{ser}} = \frac{1}{2} \times 1.00 \times 0.13 \times 15 \times 0.223$$

$$M_{rser} = 0.217 \, KN. m$$

$$M_{ser} = 108,05 < M_{rser} = 217,00 \longrightarrow A_{sc} = 0$$





Il n'y a pas nécessité d'utiliser les aciers comprimés car le béton seul suffit pour reprendre la sollicitation.

Section :
$$A_s = \frac{M_{ser}}{\overline{\sigma_{st}*Z_{ser}}} = \frac{0.10805}{250*0.223} \times 10^4$$

$$A_{\rm s} = 18,55 \, cm^2 / ml$$

Condition de non fragilité de la section

$$A_{min} = \mathbf{0}, 23b_0d\frac{f_{t28}}{f_e} = 0.23 * 1 * 0.27 * \frac{2.1}{500}10^4$$

$$A_{min}=2,61 \, cm^2/ml$$

Section retenue : A = max (Amin ; As) = 18.55 cm2 / ml

Choix 2x9HA12 ===== 20,40 cm2/ml espacement st=100/9=11,11

Choix: St = 10 cm

4 Armature radier

De façon analogue, le calcul est mené en flexion simple.

Données:
$$H = 3 \text{ m}, b = 1 \text{ m}, h = 0.3 \text{ m}, c = 3 \text{ cm}, d = 0.9 \text{ h} = 27 \text{ cm}$$

• Sur appui

Moment à l'ELS : $M_{ser} = 173$, 14KN.m

Paramètre de déformation :
$$\overline{\alpha_{ser}} = \frac{n\sigma_{bc}}{n\sigma_{bc} + \sigma_{st}} = \frac{15x15}{15x15 + 250} = 0,47$$

Fibre neutre :
$$\overline{\gamma_{ser}} = d * \overline{\alpha_{ser}} = 0.27 * 0.47 = 0.13$$

Bras de levier :
$$\overline{Z_{ser}} = d - \frac{\overline{\gamma_{ser}}}{3} = 0.27 - \frac{0.13}{3} = 0.233$$

$$M_{rser} = \frac{1}{2} \times b_0 \times \overline{\gamma_{ser}} \times \overline{\sigma_{bc}} \times \overline{Z_{ser}} = \frac{1}{2} \times 1,00 \times 0,13 \times 15 \times 0,223$$

$$M_{rser} = 0.217 \, KN. m$$

$$M_{ser} = 173, 14 < M_{rser} = 217, 00$$
 $A_{sc} = 0$





Il n'y a pas nécessité d'utiliser les aciers comprimés car le béton seul suffit pour reprendre la sollicitation.

Section :
$$A_s = \frac{M_{ser}}{\overline{\sigma_{st}*Z_{ser}}} = \frac{0.17374}{250*0.223} \times 10^4$$

$$A_s = 31, 16cm^2 / ml$$

Condition de non fragilité de la section

$$A_{min} = \mathbf{0}, 23b_0d\frac{f_{t28}}{f_e} = 0.23 * 1 * 0.27 * \frac{2.1}{500}10^4$$

$$A_{min}=2,61~cm^2/ml$$

Section retenue : A = max (Amin ; As) = 31,16 cm2/ml

Choix 2x8HA16 ===== 32,2 cm2/ml espacement st=100/8=12,5

Choix: St = 10 cm

• En Travée

Moment à l'ELS: $M_{ser} = 174$, 03KN.m

Paramètre de déformation :
$$\overline{\alpha_{ser}} = \frac{n\sigma_{bc}}{n\sigma_{bc} + \sigma_{st}} = \frac{15x15}{15x15 + 250} = 0,47$$

Fibre neutre :
$$\overline{\gamma_{ser}} = d * \overline{\alpha_{ser}} = 0.27 * 0.47 = 0.13$$

Bras de levier :
$$\overline{Z_{ser}} = d - \frac{\overline{\gamma_{ser}}}{3} = 0.27 - \frac{0.13}{3} = 0.233$$

Moment résistant :

$$M_{rser} = \frac{1}{2} \times b_0 \times \overline{\gamma_{ser}} \times \overline{\sigma_{bc}} \times \overline{Z_{ser}} = \frac{1}{2} \times 1,00 \times 0,13 \times 15 \times 0,223$$

$$M_{rser} = 0.217 \, KN. \, m$$

$$M_{ser} = 17,03 < M_{rser} = 217,00$$
 $\longrightarrow A_{sc} = 0$

Il n'y a pas nécessité d'utiliser les aciers comprimés car le béton seul suffit pour reprendre la sollicitation.

Section :
$$A_s = \frac{M_{ser}}{\overline{\sigma_{st}*Z_{ser}}} = \frac{0.174}{250*0.223} \times 10^4$$

$$A_s = 29,87cm^2/ml$$





Condition de non fragilité de la section

$$A_{min} = \mathbf{0}, 23b_0d\frac{f_{t28}}{f_e} = 0.23 * 1 * 0.27 * \frac{2.1}{500}10^4$$

 $A_{min} = 2,61 \, cm^2/ml$

Section retenue : A = max (Amin ; As) = 29,87 cm2 /ml

Choix 2x8HA16 ===== 32,2 cm2/ml espacement st=100/8=12,5

Choix: St = 15 cm

Moment à l'ELS : $M_{ser} = 73,04$ KN.m \longrightarrow $A_s = 13,10cm^2/ml$

Choix: St = 15 cm

> Armatures piédroit centrale

Les calculs sont effectués pour un piédroit considéré au mètre linéaire comme un poteau de section 1mx0.3m soumis à une compression simple centrée.

Données: H = 3 m, b = 1 m, h = 0.3 m, c = 3 cm, d = 0.9 h = 27 cm.

Efforts sollicitant le piédroit : Nu = 709.38 KN/ml, Nser = 473,17 KN/ml.

Section réduite : Br = $(h - 2c) (b - 2c) = (0.30-2x0.03) (1-2x0.03) = 0.2256 m^2$.

Longueur de flambement (piédroit bi encastré) : $l_f = 0.5 * l_0 = 0.5 x3 = 1.5 m$.

Moment quadratique et rayon de giration :

$$I = \frac{b*h^3}{12}, i = \sqrt{\frac{I}{bh}} = \frac{h}{\sqrt{12}}$$

Elancement : $\lambda = \frac{l_f}{i} = \sqrt{12} * \frac{1.5}{0.3} = 17,32$

$$\lambda < 50 \rightarrow \alpha = \frac{0.85}{1 + 0.2 \left(\frac{\lambda}{35}\right)^2} = 0.81$$

En considérant que plus de la moitié des charges sont appliquée avant 90 jours (k= 1.1), on a $:\alpha' = \frac{\alpha}{1.1} = 0.736$





$$A_{sc} = \left(\frac{Nser}{\alpha'} - \frac{Br * f_{c28}}{0.9\gamma_b}\right) \left(\frac{\gamma_s}{f_e}\right) = \left(\frac{0,709}{0,736} - \frac{0,2256 * 25}{0.9 * 1,5}\right) \left(\frac{1,15}{500}\right) * 10^4 = -73,93 < 0$$

Section minimale : $A_{min} = max \left(4u ; \frac{0,2B}{100}\right)$

$$4u = 4 *2(1+0,3) = 10,4 \text{ cm}^2$$

 $0.2B/100 = 6cm^2$

$$A_{min} = 10,4 \ cm^2$$

Calcul de la section maximale : $A_{max} = \frac{5B}{100} = 150 \text{ cm}^2$

$$A_{min} < A_{max}$$

Donc $A_{sc} = A_{min} = 10.4 \text{ cm}^2 \text{ soit } 5.2 \text{ cm}^2 \text{ sur chaque face.}$

Choix :2× 5HA12 → 11.3 cm2/ml/face.

Espacement: $s_t \leq min(h + 10cm; 40cm) \leq 40cm$

On prendra: $s_t = 15 cm$.

Armatures transversales

$$\frac{1}{3}\emptyset l \leq \emptyset t \leq \emptyset l \leftrightarrow \frac{1}{3} * 12 \leq \emptyset t \leq 12$$

$$4 < \emptyset t < 12$$

On prend $\emptyset t = 10mm$

Choix: 5HA10 ------ 3,93 cm²/ml

Espacement $s_t \leq min(15\emptyset t; h + 10 cm; 40cm)$

$$s_t \leq 40 \ cm$$

On prendra : $s_t = 15 cm$.

> Armature piédroit de rive

Les calculs sont effectués pour un piédroit considéré au mètre lineaire comme un poteau 100cmx30cm en flexion composée



DESIGNATON	M (KN.m/ml)	N (KN/ml)
ELU	32,86	246,32
ELS	24,71	185,21

• Calcul à l'ELU

M = 32,86 KN.m/ml et N = 246,32 KN/ml

Excentricité additionnelle :
$$e_a = \max \left\{ \frac{2cm}{\frac{H}{250}} \rightarrow \max \left\{ \frac{2cm}{\frac{330}{250}} = 1,12cm \right. \right. \rightarrow e_a = 2cm \right\}$$

$$e_1 = \frac{32.86}{246.32} = 0,153 \, m$$

Sollicitations ultime corrigées pour le flambement

Elancement : $l_f = 0.7l_0 = 0.7x3 = 2.10m$ (poteau encasté)

Type de calcul

Pièce chargée de calcul

$$\frac{l_f}{h} < \max\left(15; 20\frac{e_1}{h}\right) = \left(15; 20x\frac{0,153}{0,3}\right)$$

$$\frac{2.10}{0.3} < \max\left(15; 20\frac{e_1}{h}\right) = \left(15; 20x\frac{0,111}{0,3}\right)$$

Calcul en flexion composée en tenant compte, de façon forfaitaire, de l'excentricité de 2nd ordre.

$$\alpha = \frac{32,86}{32,86 + 24,71} = 0,57$$

$$e_2 = \frac{3l_f^2}{10^4h}(2 + \Phi\alpha) = \frac{3x2,10^2(2 + 2x0,57)}{10^4x0,3} = 0,0138m = 1,38 cm$$

Avec $\Phi = 2$ (cas courant)

Sollicitation corrigée pour le calcul en flexion composée

$$\begin{cases} N_u = N_i & N_u = 246.32KN/ml \\ M_{uG0} = N_u(e_1 + e_2) \rightarrow M_{uG0} = 246,32(0,153 + 0,0138) = 41,09KN.m/ml \\ e_0 = e_1 + e_2 & e_0 = e_1 + e_2 = 0,1668m = 16,68cm \end{cases}$$





Sollicitation au centre de gravité des aciers tendus

$$\begin{cases} e_A = e_0 + \left(d - \frac{h}{2}\right) = 16.68 + 27 - \frac{30}{2} = 28,68 \text{ cm} \\ M_{uA} = 246,32 \text{ x } 0,1668 = 41,086 \text{ KN. m/ml} \end{cases}$$

Moment de référence :
$$\mu_{BC} = \frac{0.8h}{d} \left(1 - \frac{0.4h}{d} \right) = \frac{0.8x0.3}{0.27} \left(1 - \frac{0.4x0.3}{0.27} \right) = 0.494$$

Moment agissant
$$\mu_{uA} = \frac{M_{uA}}{b_0 d^2 f_{bu}} = \frac{0.041086}{1 \times 0.27^2 \times 14,20} = 0,0396$$

 $\mu_{uA} < \mu_{BC} \rightarrow section partiellement tendue$

Calcul à l'ELS

$$\begin{cases} N_{ser} = 185,21 \, KN/ml \\ M_{ser} = 24,71 \, KN. \, m/ml \end{cases}$$

$$e_{0ser} = \frac{M_{ser}}{N_{ser}} = 0.134 m$$

Sollicitation au centre de gravité des aciers tendus.

$$e_A = e_{0ser} + \left(d - \frac{h}{2}\right) = 0,134 + 0,27 - \frac{0.30}{2} = 0,254 cm$$

 $M_{serA} = N_{ser}xe_A = 185,21 \times 0,224 = 41,49 \text{ KN. m/ml}$

Calcul des aciers en flexion simple

Moment réduit limite :
$$\gamma_M = \frac{M_{uA}}{M_{serA}} = \frac{41.086}{41,49} = 0,99$$

$$10^4 \mu_{lu} = 3440 \theta \gamma_M + 49 \frac{f_{c28}}{\theta} - 3000 = 3440 x 1 x 0,99 + 49 \frac{17}{1}$$

$$\mu_{lu} = 0.1238$$

On a : $\mu_{uA} < \mu_{lu} \rightarrow pas \ d'aciers \ comprimés$

Paramètre de déformation :

$$\alpha_{uA} = 1,25(1 - \sqrt{1 - 2\mu_{uA}}) = 1,25(1 - \sqrt{1 - 2x0,039}) = 0,050$$

Bras de levier :
$$Z_u = d(1 - 0.4\alpha_{uA}) = 0.27(1 - 0.4x0.050) = 0.264m$$

$$A = \frac{M_{uA}}{Z_u \sigma_s} = \frac{0,041086}{0,264x348} = 4,47 \text{ cm}^2$$





Section théorique d'acier :

$$A_u = A - \frac{N_u}{\sigma_s} = 4.47 - \frac{246,32}{348}$$

 $A_u = 3,76 \text{ cm}^2$

Condition de non fragilité:

$$A_{min} = 0.23 \frac{f_{t28}}{f_e} b_0 d = 0.23 x \frac{2.4}{400} x 1 x 0.27 = 3.73 cm^2$$

Section d'acier retenue :

 $A_u = 3,76 \text{ cm}^2 \text{ Soit } 1,9 \text{ cm}^2 /\text{ml/face}$

Choix: 2x2HA12 soit 2.26 cm² / face espacement 15 cm.

Armatures transversales: $\frac{1}{3}\emptyset_l \leq \emptyset t \leq \emptyset l \rightarrow 4 \leq \emptyset t \leq 12$

On prendra : $\emptyset t = 10mm$

Choix: 4HA12 espacement 15 cm

Calcul des sollicitations et ferraillage du mur en aile



Calcul des sollicitations du voile

h = 30 cm, d = 35 cm, b0 = 1.00 m

Contraintes à :

Pour z = H = 3.60: $0.333*3.60*20 = 24.00 \text{ kN/m}^2$

Pour $z = H/3 = 1.20 \text{ m} : 0.333*1.20*20 = 8.00 \text{ kN/m}^2$

Pour $z = H/2 = 1.80 \text{ m} : 0.333*1.80*20 = 12.00 \text{ kN/m}^2$

Pour $z = 2/3 * H = 2.40 \text{ m} : 0.333 * 2.40 * 20 = 16.00 \text{ kN/m}^2$

Charge sur terre-plein: $0.333*10=3,33 \text{ kN/m}^2$

> Ferraillage principal du voile

Le moment dans la section critique S1 et déterminant pour le calcul des armatures verticales du voile du côté du remblai. Cette section sera donc utilisée afin d'harmoniser les armatures du voile.





Sur le côté du remblayé du mur, on a :

Désignations	
Moment à l'état de service	$M_{ser} = 73,44kN/ml$
Paramètres de déformation	$\overline{\alpha_{ser}} = \frac{n\sigma_{bc}}{n\sigma_{bc} + \sigma_{st}} = \frac{15x15}{15x15 + 250} = 0,474$
Fibre neutre	$\overline{\gamma_{ser}} = d * \overline{\alpha_{ser}} = 0,25 * 0,47 = 0,12m$
Bras de levier :	$\overline{Z_{ser}} = d - \frac{\overline{\gamma_{ser}}}{3} = 0.25 - \frac{0.12}{3} = 0.21m$
Moment résistant :	$M_{rser} = \frac{b_0 d^2}{2} \sigma_{bc} \overline{\alpha_{ser}} \left(1 - \frac{\overline{\alpha_{ser}}}{3} \right)$ $= \frac{1}{2} * 1,00 * 0,12 * 15 * 0,21 = 0,189MN/ml$

$$M_{ser} < M_{rser}$$
 $A_{sc} = 0$

Il n'y a pas nécessité d'utiliser les aciers comprimés car le béton seul suffit pour reprendre la sollicitation.

Section d'acier :
$$A_S = \frac{M_{Ser}}{\sigma_{St} * Z_{Ser}} = \frac{0.0734}{250 * 0.21} = 13,99$$

Condition de non fragilité de la section :

$$A_{min} = 0.23 * b_o * d * \frac{f_{t28}}{f_e} = 0.23 * 1 * 0.35 * \frac{2.1}{500} * 10^4 = 3.40 cm^2/ml$$

Choix: $10 \text{ HA} \ 14 / \text{ml} = 15,39 \text{cm}^2 \text{ avec un espacement st} : 100 / (7+1) = 12,5 \text{ cm},$

Choix: st = 20 cm.

• Armatures de répartition (aciers horizontaux) du voile (côté remblayé) On adopte une disposition forfaitaire d'armatures de de répartition :

ÉTUDES TECHNIQUES DÉTAILLÉES DES TRAVAUX DE RÉHABILITATION DE LA ROUTE NATIONALE N°2 : « CAS DU TRONÇON EBOLOWA-AMBAM » (91780 ml) : RÉGION DU SUD - CAMEROUN.





Armatures de répartition : $A_H \ge 0.10e_1 = 0.10 * 30 = 3cm^2/ml$; e_1 étant l'épaisseur du voile en cm. Choix : 5 HA 12 /ml = 5,65 cm² avec un espacement st = 20 cm

• Aciers complémentaires du voile pour le côté non remblayé Il vient d'adopter sur ce côté une disposition forfaitaire d'armatures de peau dans le sens vertical AV et horizontal AH.

Armatures verticales : $A_H \ge 0.10e_1 = 0.10 * 30 = 3cm^2/ml$; e_1 étant l'épaisseur du voile en cm.

Choix: $5 \text{ HA } 12 \text{ /ml} = 5,65 \text{ cm}^2 \text{ avec un espacement st} = 20 \text{ cm}$

Armature horizontale : $A_H \ge 0.075e_1 = 0.0075 * 30 = 2.25cm^2/ml$; e_1 étant l'épaisseur du voile en cm.

Choix: $5 \text{ HA } 10 / \text{ml} = 3,93 \text{ cm}^2 \text{ avec un espacement st} = 20 \text{ cm}$

Nécessité d'armatures transversales

• Vérification à l'effort tranchant au niveau de la section S1 $V_u = 1,35 \times 19,20 + 1,5 \times 8 = 37,92kN/ml$

Condition à vérifier :
$$\frac{V_u}{b_o*d} \le \frac{0.07}{\gamma_b} \times d \times f_{c28}$$
 (1)

$$\frac{37.92}{1*0.25} = 151,68kN/ml < \frac{0.07}{1.5} \times 0,35 \times 25 = 408kN/ml$$

La condition (1) est bien vérifiée et il n'est donc pas nécessaire d'utiliser des armatures à l'effort tranchant.

4 Calcul des armatures de la semelle

$$d = 35$$
 cm, $h = 40$ cm, $b0 = 1,00$ m

Nous considérons la combinaison C1 à l'ELS

La résultante des forces verticale RH (kN/m)	55,20
La résultante des forces verticale RV (kN/m)	236,60
Moment résultant en A : M/A (kN.m/m)	400,39
L'excentricité eA (m)	1,692
$\sigma = \frac{RV}{RH} (KN/m^2)$	69,90





• Patin (section S2)

Il est considéré comme une poutre (console) encastrée dans le voile et à la réaction du sol (le Poids des terres aval au-dessus du patin est considéré négligeable)

Le moment d'encastrement (section S2) vaut :

$$M_{ser} = \sigma \times \frac{l^2}{2} = 69,90 \times \frac{1,00^2}{2} = 34,95$$

Designation	
Moment à l'état de	$M_{ser} = 34,90 \ kN/ml$
service	
Paramètres de deformation	$\overline{\alpha_{ser}} = \frac{n\sigma_{bc}}{n\sigma_{bc} + \sigma_{st}} = \frac{15*15}{15*15+250} = 0,47$
Fibre neutre	$\overline{\gamma_{ser}} = d * \overline{\alpha_{ser}} = 0.35 * 0.47 = 0.165m$
Bras de levier :	$\overline{Z_{ser}} = d - \frac{\overline{\gamma_{ser}}}{3} = 0.35 - \frac{0.165}{3} = 0.295m$
Moment résistant :	$M_{rser} = \frac{b_0 d^2}{2} \sigma_{bc} \overline{\alpha_{ser}} \left(1 - \frac{\overline{\alpha_{ser}}}{3} \right)$ $= \frac{1}{2} * 1.00 * 0,165 * 15 * 0,295 = 0,365MN/ml$

$$\overline{M}_{rb} = \frac{1}{2} * b_0 * \overline{\gamma}_{ser} * \overline{\sigma}_{bc} * \overline{z}_{ser} = \frac{1}{2} * 1.00 * 0.165 * 15 * 0.295 = 0.365 MN. m/ml$$

 $M_{ser} = 34.95 \ kN. \ m/ml < \overline{M}_{rb} = 365.06 \ kN. \frac{m}{ml} \Longrightarrow A_{sc} = 0$; il n'y a donc de nécessité d'utiliser des aciers comprimés car Le béton « seul » suffit pour reprendre la sollicitation.

Section d'acier :
$$\overline{A_s} = \frac{M_{ser}}{\overline{\sigma_{st}} * Z_{ser}} = \frac{0.03495}{250 * 0.295} = 4.74 \text{ cm}^2/\text{ml}$$

Condition de non fragilité de la section :





$$A_{min} = 0.23 * b_o * d * \frac{f_{t28}}{f_e} = 0.23 * 1 * 0.35 * \frac{2.1}{500} * 10^4 = 3.40 cm^2/ml$$

La section d'acier retenu est : $A_s = \max(A_u, A_s, A_{min}) = 4,74cm^2/ml$

Choix: $5 \text{ HA } 12 / \text{ml} = 5.65 \text{ cm}^2$,

Espacement st = 20 cm

Il convient de disposer en armatures de répartition perpendiculaires aux armatures principales, une section Ar d'acier satisfaisant à : Ar $(cm^2/ml) > 0,10$ e2 (cm) pour le patin, e2 = 40 cm étant l'épaisseur du patin.

$$A_r\left(\frac{cm^2}{ml}\right) \ge 0.10 \times 40 = 4cm^2$$

Choix: $5 \text{ HA } 10 / \text{ml} = 3.93 \text{ cm}^2$,

Espacement st = 20 cm

• Talon (section S3)

Il est considéré comme une poutre (console) encastrée dans le voile et est soumis :

- À la réaction du sol de fondation sous le talon : Rs= $69.90 *(2*1,69-1,30) = 145.39 \text{kN/m}^2$
- Au poids propre des terres au-dessus du talon : $Pp = 3,60*20 = 72kN/m^2$
- Aux charges d'exploitation au-dessus du talon. $Q_e = 10kN/m^2$

Moment d'encastrement (section S3) :

$$M_{ser} = -69,39 * 2,09 * \frac{2.09}{2} + (72 + 10 * (3,35 * 2,05)) * \frac{(3.35 - 2.05)}{2} = -82,26$$

Moment à l'état de service : $M_{ser} = 82.26$ kN/ml

Paramètres de déformation :
$$\bar{\alpha}_{ser} = \frac{n + \bar{\sigma}_{bc}}{n + \bar{\sigma}_{bc} + \bar{\sigma}_{st}} = \frac{15 + 15}{15 * 15 + 250} = 0,47$$

Fibre neutre :
$$\bar{Y}_{ser} = d * \bar{\alpha}_{ser} = 0.35 * 0.47 = 0.165$$

Bras de levier :
$$\bar{Z}_{ser} = d - \frac{\bar{Y}_{ser}}{3} = 0.35 - \frac{0.165}{3} = 0.295m$$

$$\overline{M}_{rb} = \frac{1}{2} * h * \overline{Y}_{ser} * \overline{\sigma}_{bc} * \overline{Y}_{ser} = \frac{1}{2} * 1,00 * 0,165 * 15 * 0,295 = 0,365 \text{ MN. m/ml}$$





 $M_{ser} = \frac{82,26kN}{ml} < \overline{M}_{rb} = 365,06kN.\frac{m}{ml} \rightarrow A_{sc} = 0$ N'y a donc de nécessité d'utiliser des aciers comprimés car Le béton « seul » suffit pour reprendre la sollicitation.

Section d'acier :
$$A_s = \frac{M_{ser}}{\overline{\sigma_{st}} * Z_{ser}} = \frac{0.08226}{250*0.295} = 11.15 \text{ cm}^2/\text{ml}$$

Condition de non fragilité de la section :

$$A_{min} = 0.23 * b_o * d * \frac{f_{t28}}{f_e} = 0.23 * 1 * 0.35 * \frac{2.1}{500} * 10^4 = 3.40 cm^2/ml$$

La section d'acier retenu est : $A_s = \max(A_u, A_s, A_{min}) = 11,15cm^2/ml$

Choix: $8 \text{ HA } 14 / \text{ ml} = 12,32 \text{ cm}^2$,

Espacement st = 20 cm

Il convient de disposer en armatures de répartition perpendiculaires aux armatures principales, Une section Ar d'acier satisfaisant à : Ar $(cm^2/ml) > 0,10$ e2 (cm) pour le patin, e2 = 40 cm étant l'épaisseur du patin.

$$A_r\left(\frac{cm^2}{ml}\right) \ge 0.10 \times 40 = 4cm^2$$

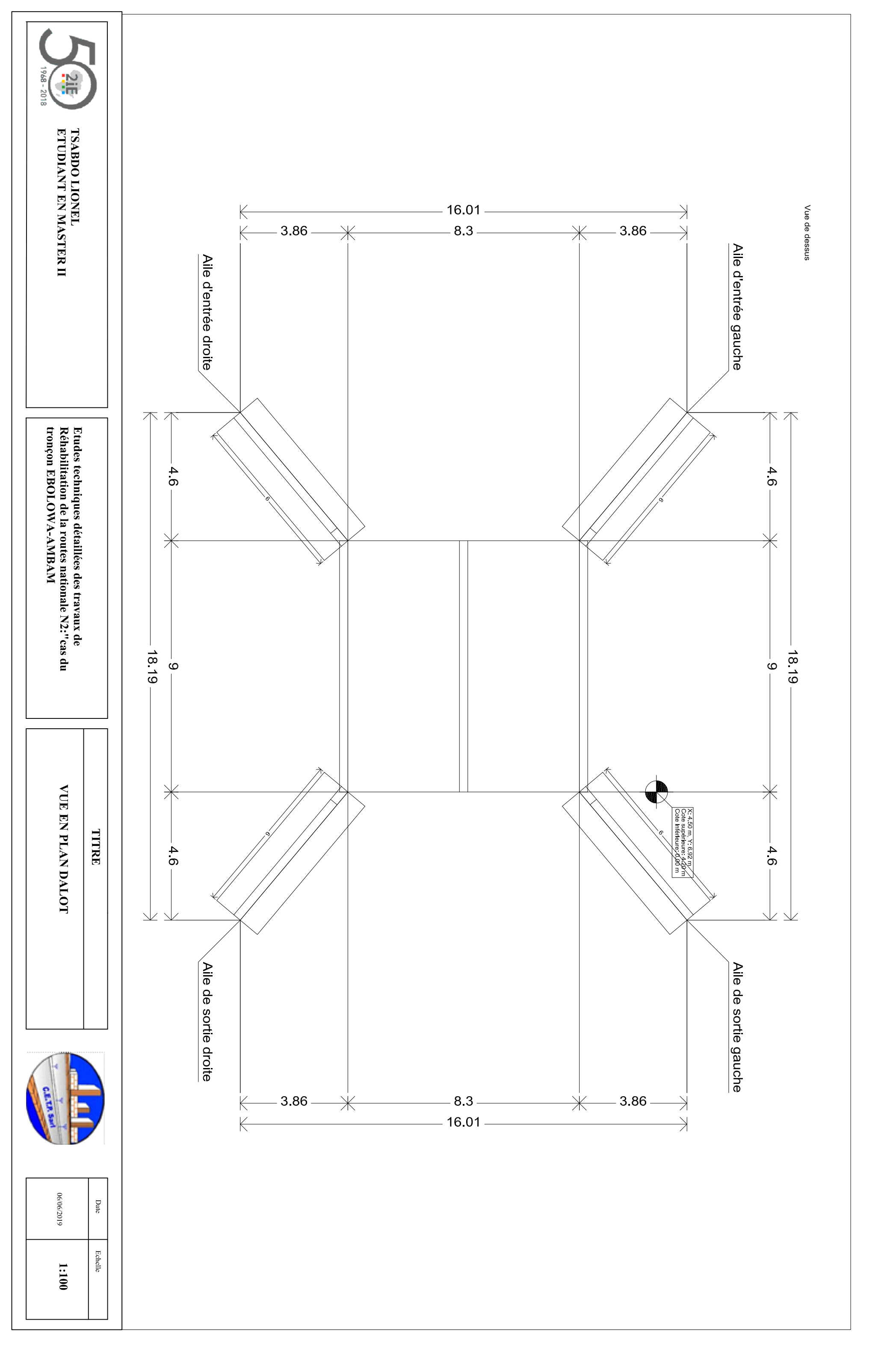
Choix: $5 \text{ HA } 10 / \text{ml} = 6,79 \text{ cm}^2$,

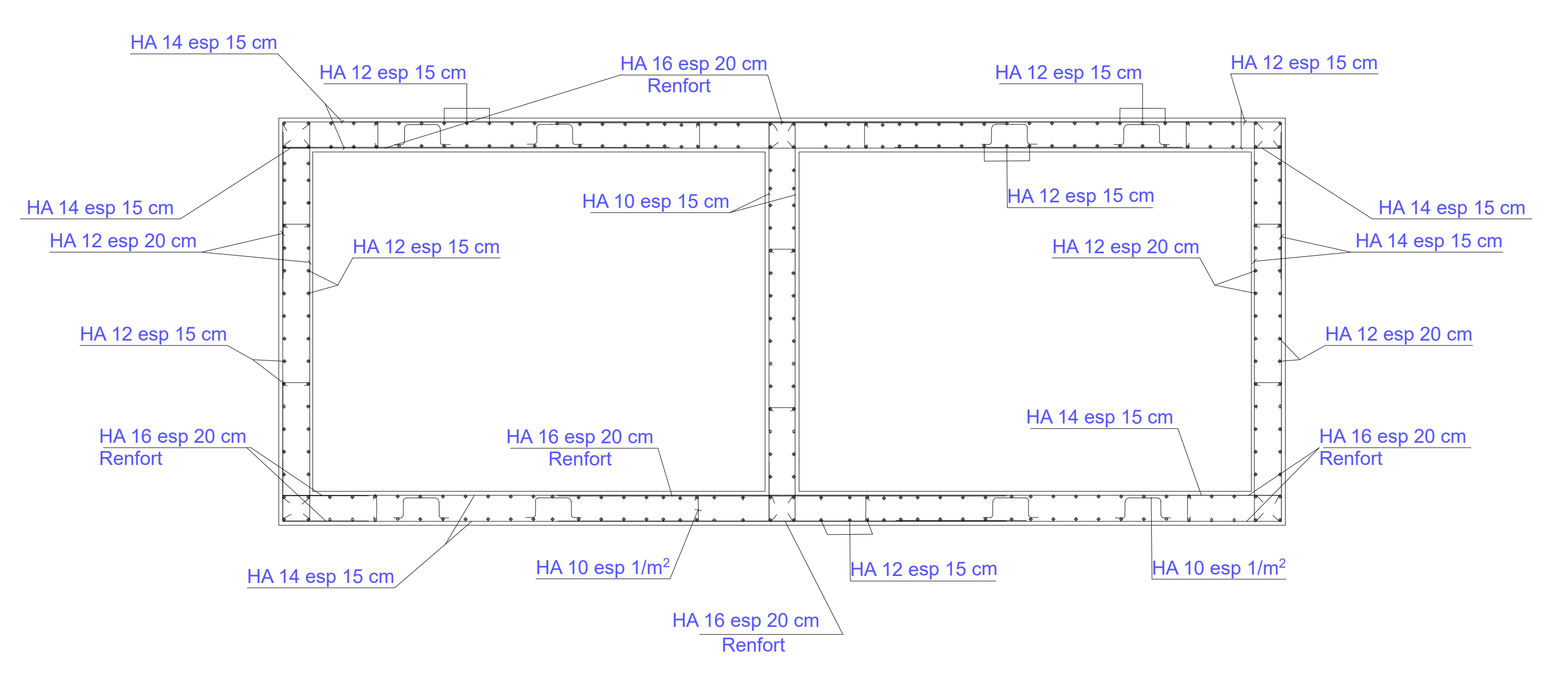
Espacement st = 20 cm

Il est nécessaire d'intercaler les armatures supérieures entre elles et le béton de propreté par un certain nombre de « chaises » dans la semelle.

Le dimensionnement structural du dalot a abouti à l'établissement des plans d'exécution. Ces plans sont regroupés à la page suivante et comprend :

- Une vue en plan de l'ouvrage;
- Une coupe transversale;
- Une coupe longitudinale;
- Le plan de ferraillage du cadre ;
- Le cahier d'armatures du cadre ;
- Le plan de ferraillage du mur en aile ;







TSABDO LIONEL Etudiant en Master 2

Etudes techniques détaillées et suivi d'execution des travaux d'entretien des routes de la nationale N2:"cas du troncon EBOLOWA-AMBAM"

TITRE

Module de Ferraillage Radier et Tablier



06/06/2019	Date
1:100	Echelle

890

59PSHA16

197

197

60P2HA12e=15

60P1HA12e=15

139

116

59P7HA12

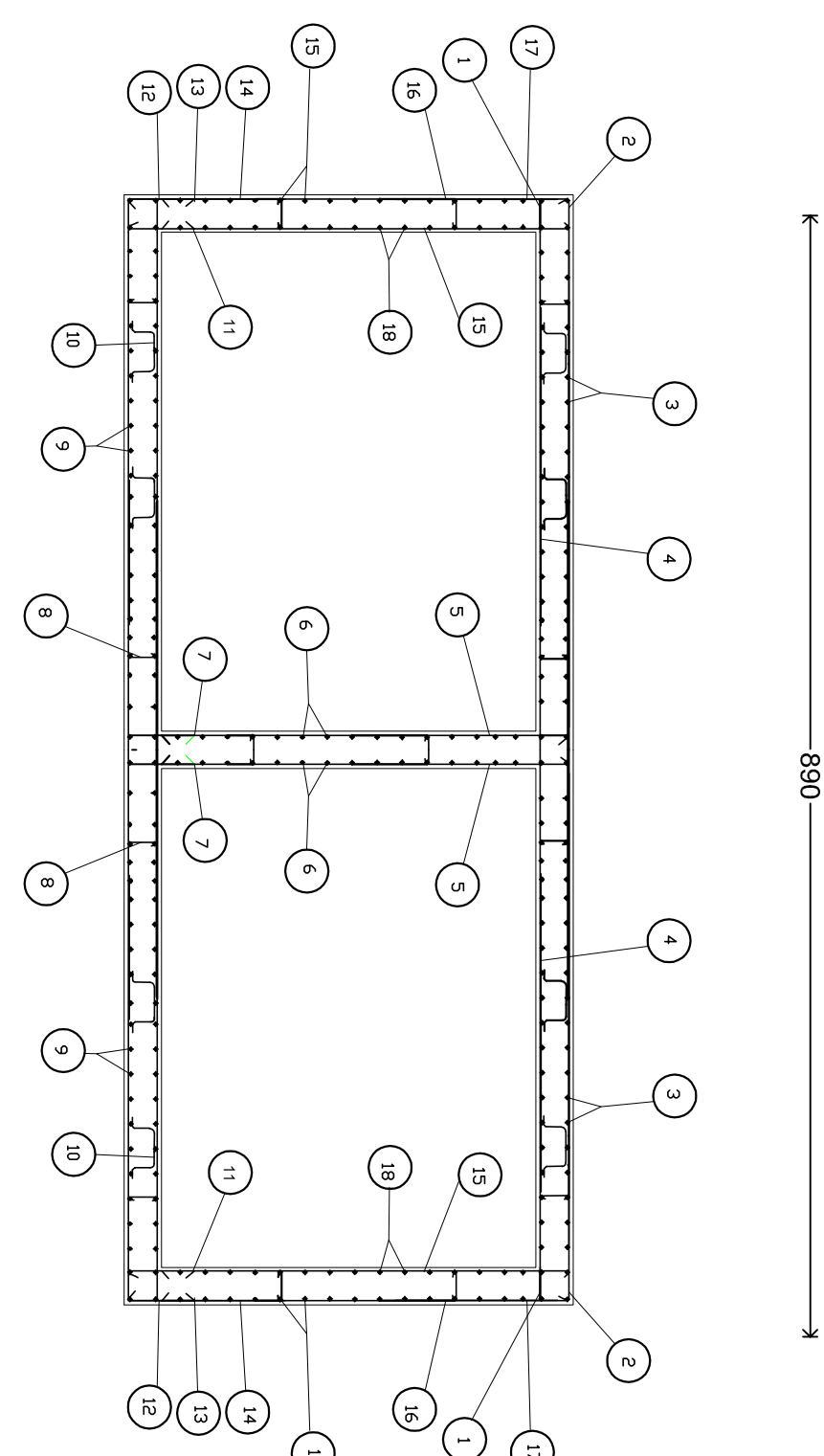
59P6HA12

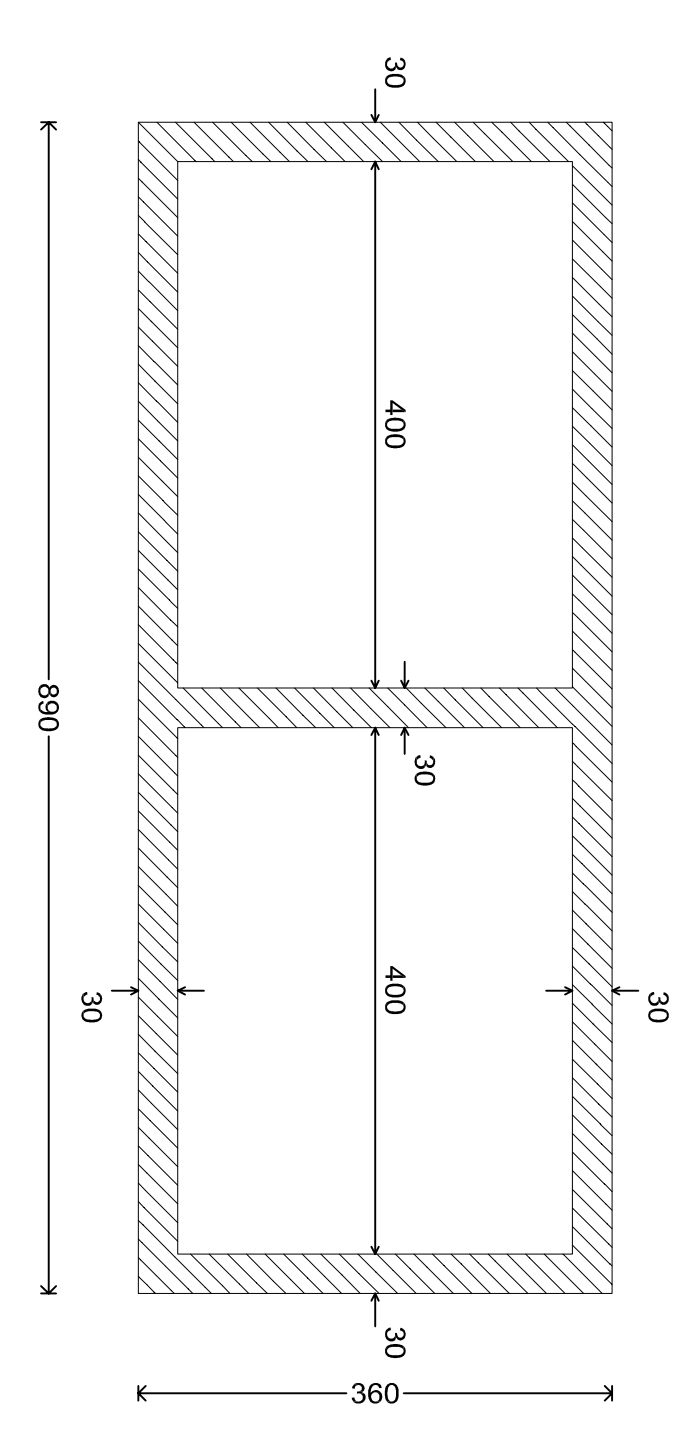
890
89P1HA16e=10
89P8HA16e=10
60P9HA16e=15
150
59P12HA16



TSABDO LIONEL ETUDIANT EN MASTER II

									_															_
26	25	24	23	22	21	17	16	15	14	3	12	=======================================	9	9	ω	7	0	5	4	ω	2	_	POSITION	
12	14	14	14	14	12	12	10	12	12	12	14	10	16	16	10	10	10	10	16	12	12	12	Ø mm	
18	89	89	60	60	59	59	20	18	59	59	60	45	133	59	133	60	20	60	59	59	60	60	NBRE. PIÈCES	
9.80	0.64	3.39	0.75	3.50	0.75	1.56	9.80	9.80	1.54	0.75	3.50	0.60	0.28	9.97	0 73	0.60	9.80	3.35	3.94	9.80	9.29	9.03	LONGUEUR m	
18 26 26 892 28 18	49	15 324	26	324	26	26	892 17	18 892	154	26	26	11 49	12 ₀ 12 ⁰	17 36 891 17	24 24 24	11 49	19 892	324	394	18 26 892 18	877	877	FAÇONNAGE L=cm	Module
176.40	57.36	301.80	45.22	210.01	44 52	92.03	196 04	176.40	90.84	44 52	210.01	27.11	37.24	588.36	98	36.15	196.04	200.82	232 44	578.19	557.53	541.80	LONGUEUR TOTAL m	
0.89	1.21	1.21	1.21	1.21	0.89	0.89	0.62	0.89	0.89	0.89	1.21	0.62	1.58	1.58	0.62	0.62	0.62	0.62	1.58	0.89	0.89	0.89	POIDS kg/m	
156.61	69.32	364.70	54.64	253.78	39.53	81.71	120.86	156.61	80.65	39.53	253.78	16.72	58.84	928.62	45.26	22.29	120.86	123.81	366.87	513.34	495.00	481.03	POIDS kgf	



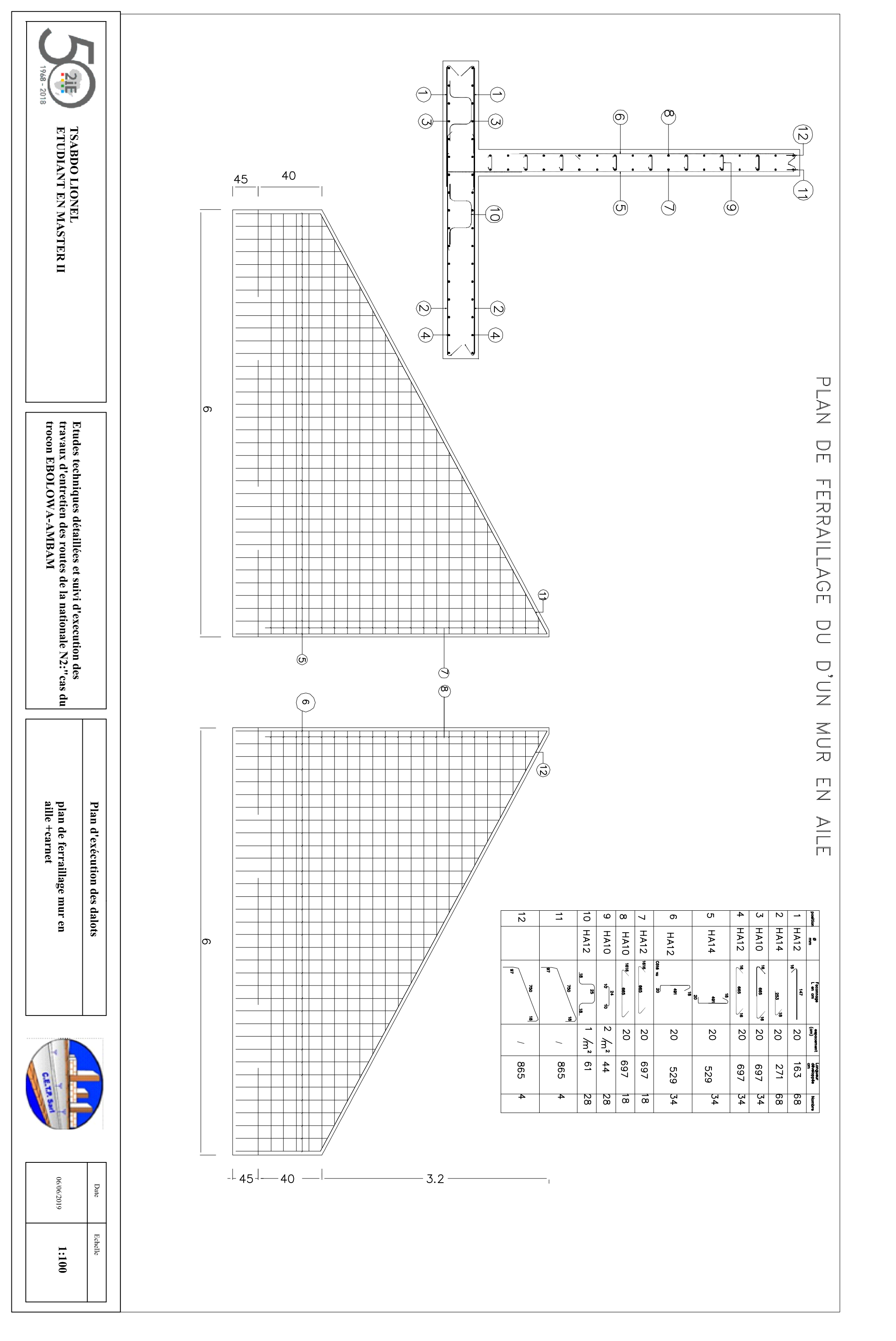


Etudes techniques détaillées des travaux de Réhabilitation de la routes nationale N2:"cas du tronçon EBOLOWA-AMBAM

Plan d'exécution des dalots plan de ferraillage dalot +carnet de ferraillage



06/06/2019	Date
1:100	Echelle







ANNEXE VI : SÉCURITÉ ET SIGNALISATION ROUTIÈRE

I. Signalisation

La signalisation routière est l'ensemble des signaux conventionnels implantés sur le domaine routier et destinés à assurer la sécurité des usagers de la route. Elle est constituée de deux grands ensembles : la signalisation horizontale caractérisée par des marquages au sol et des plots et la signalisation verticale qui compte les panneaux, les balises, les bornes et les feux tricolores.

Compte tenu de l'importance du développement du trafic et de l'augmentation de la vitesse des véhicules, la circulation devra être guidée et disciplinée par des signaux simples susceptibles d'être compris par tous les intéressés.

La signalisation routière comprend la signalisation verticale et la signalisation horizontale. Elle a pour objet de :

- Rendre plus sûre la circulation routière.
- Faciliter cette circulation.
- Indiquer ou de rappeler diverses prescriptions particulières de police.
- Donner des informations relatives à l'usage de la route.

Il est nécessaire de concevoir une bonne signalisation en respectant les règles suivantes :

- Cohérence entre la géométrie de la route et la signalisation (homogénéité).
- Cohérence avec les règles de circulation.
- Cohérence entre la signalisation verticale et horizontale.
- Eviter la publicité irrégulière.
- Simplicité qui s'obtient en évitant une surabondance de signaux qui fatiguent
- L'attention de l'usager.

1. Signalisation horizontale

L'ensemble de la signalisation horizontale est issu de *l'Instruction Interministérielle sur la Signalisation Routière en France (IISR)*, Septième partie portant sur les marques de chaussées, édition de novembre 2008.

On distingue, dans le cadre de la signalisation horizontale, cinq grands groupes de marques répartis de la manière suivante :





a) Les lignes longitudinales

Parmi ces lignes, nous pouvons citer:

- Les lignes continues infranchissables ;
- Les lignes discontinues axiales ou de délimitation des voies (types T1 et T'1 à
- Forte prédominance des vides sur les pleins) ;
- Les lignes discontinues d'annonce d'une ligne continuent ou de dissuasion remplaçant une ligne continue ou de délimitation des voies dans certains cas en agglomération (type T3 à forte prédominance des pleins sur les vides);
- Les lignes discontinues de délimitation de la chaussée (T2 et T'2 à vides et pleins approximativement équilibrés);
- Les lignes mixtes (ligne discontinue du type T1 ou T3 accolée à une ligne continue) qui ne peuvent être franchies que si, au début de la manœuvre de dépassement la ligne discontinue se trouve la plus proche du véhicule ;
- Les lignes continues ou discontinues de délimitation de voies réservées à certaines catégories de véhicules ou de délimitation de bandes d'arrêt d'urgence (types T2, T3 et T4).

a) Les flèches

On distingue deux flèches à savoir :

- Les flèches de rabattement ;
- Les flèches directionnelles
- a) Les lignes transversales
- b) Les lignes continues « STOP »
- c) Les lignes discontinues « CEDEZ LE PASSAGE », d'effet des feux de Signalisation, et de guidage en intersection.
- d) Les autres marques

On distingue les marques pour :

- Piétons ;
- Cyclistes;
- Le stationnement ;
- Les transports en commun ;





• Les ralentisseurs de type dos d'âne

Caractéristiques des lignes discontinues

On distingue quatre types de marquage dans cette catégorie répartis en sept modulations. Le tableau 61 présente les différentes modulations et les caractéristiques y afférentes.

TYPE	TY	LONGUEUR	INTERVALLE	RAPPORT
Axial	Т	3	10	1/3
	T	1.5	5	1/3
longitudinal	Ť	3	1.33	3
Rive	Ť	3	3.5	1
	T	20	6	3
	T	39	13	3
Transversal	T	0.5	0.5	1

Tableau 61: Caractéristiques géométriques des lignes discontinues

Dans le cadre de notre étude, nous utiliserons spécialement les types de modulation suivants : T1, T2, T3, T4 et T'3.

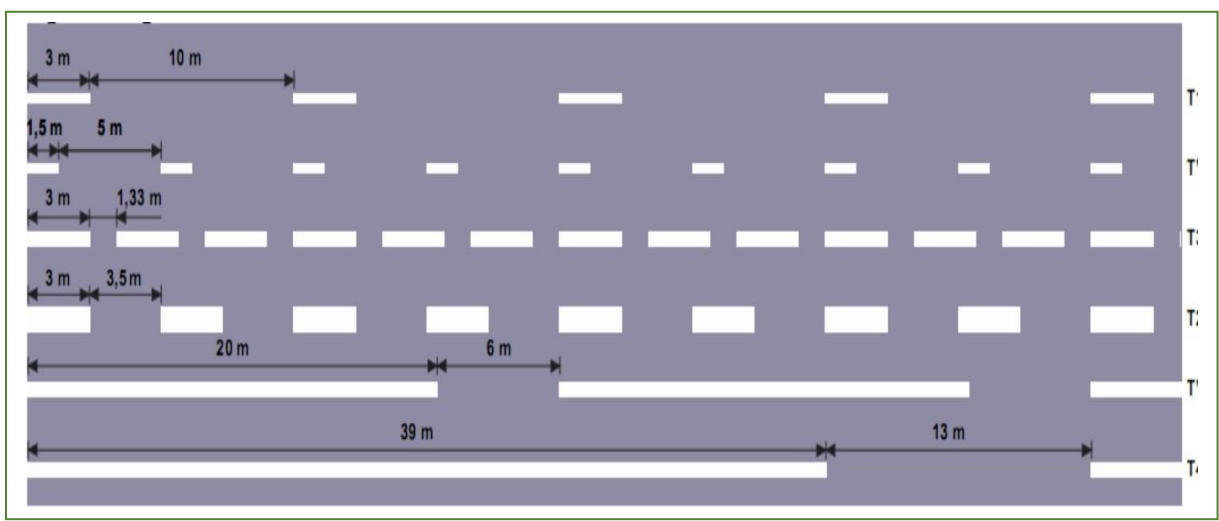


Figure 27: Caractéristiques géométriques des lignes discontinues

La durée de vie fonctionnelle est exprimée en nombre de roues passées sur le marquage. L'échelle de durabilité est exprimée par une classe P allant de 50 000 à 1 million de passage de roues. Dans le cas d'espèce, avec une projection du trafic sur 15 ans, nous avons obtenu la classe P1 de durabilité.



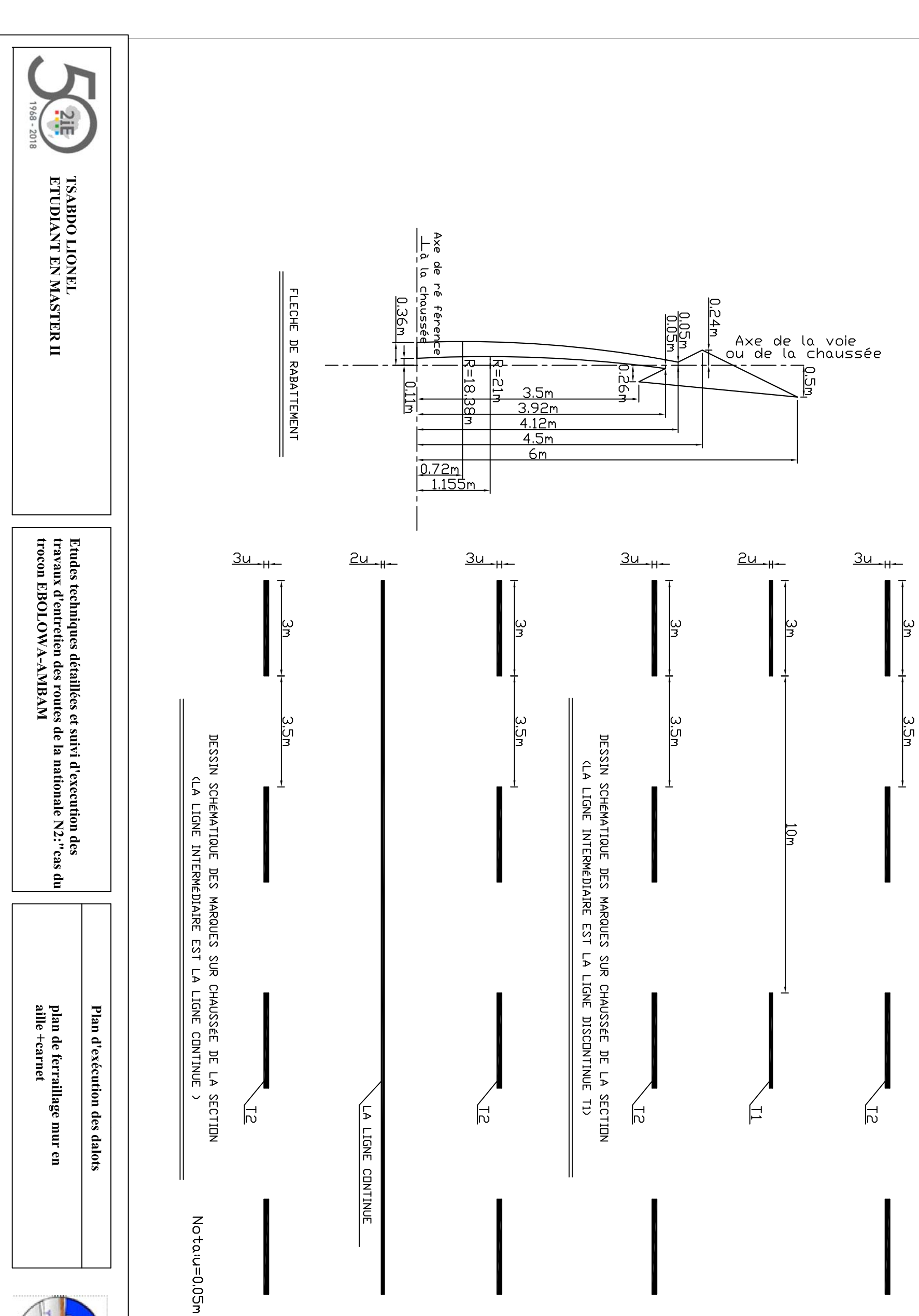


Tableau 62:Classes de durabilité

Classes de durabilité	Nombre de passage de roues
P1	50 000
P2	100 000
P3	200 000
P4	500 000
P5	1 000 000

2. Signalisation verticale

L'ensemble des panneaux de signalisation de ce projet a été prévu dans le but d'attirer de façon toute spéciale l'attention des usagers de la route aux endroits où leur vigilance doit redoubler en présence d'obstacles ou de points dangereux. La conception de cette signalisation a été faite suivant l'instruction interministérielle de la république Française sur la signalisation routière, relative à la signalisation de danger, les intersections et régimes de priorités, la signalisation de prescription, la signalisation d'indication et de service et enfin la signalisation temporaire (de chantier). Les figure en annexe V résume les différents panneaux permanents et marquages utilisés. Les plans de la signalisation routières sont répertoriés à la page suivante.

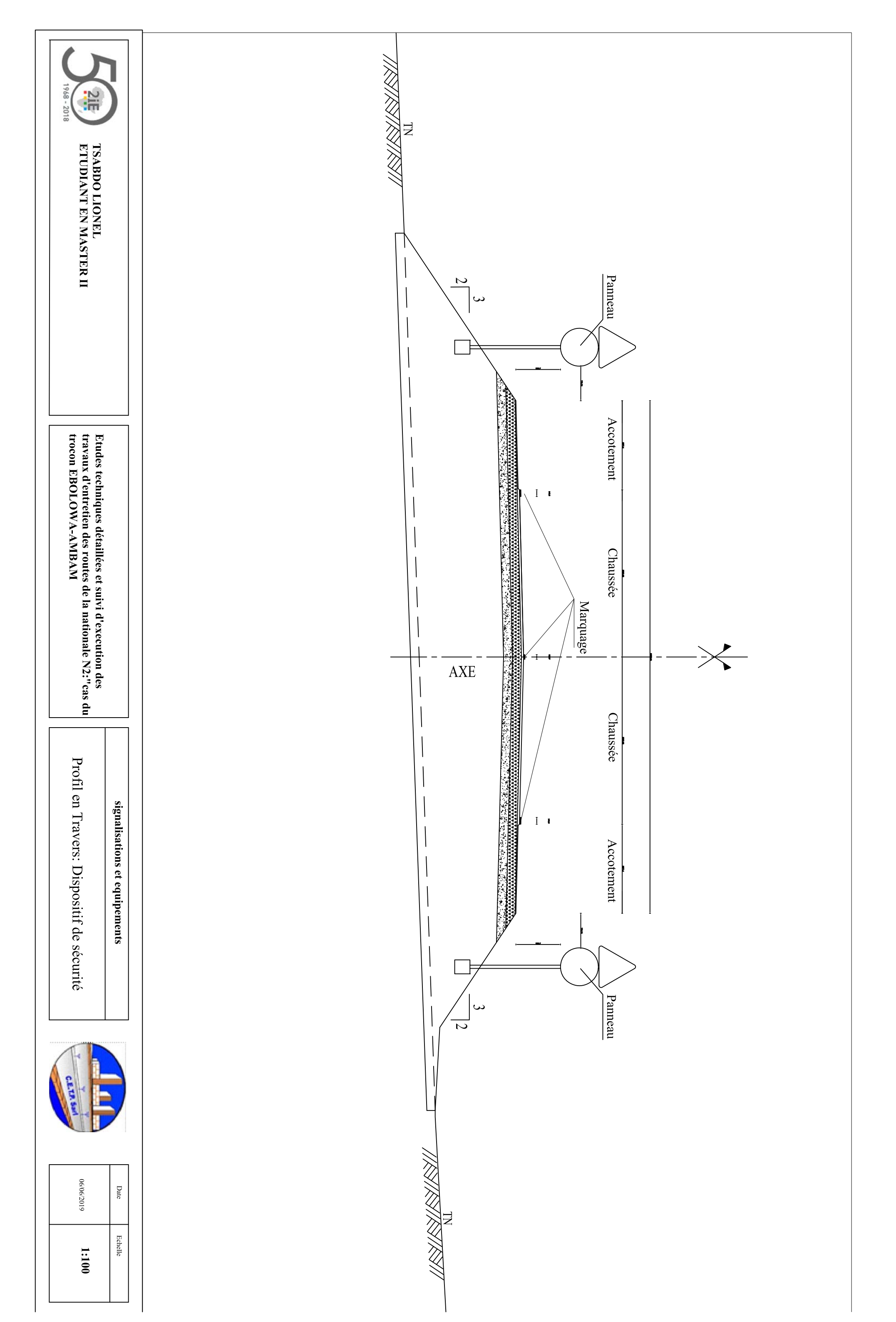


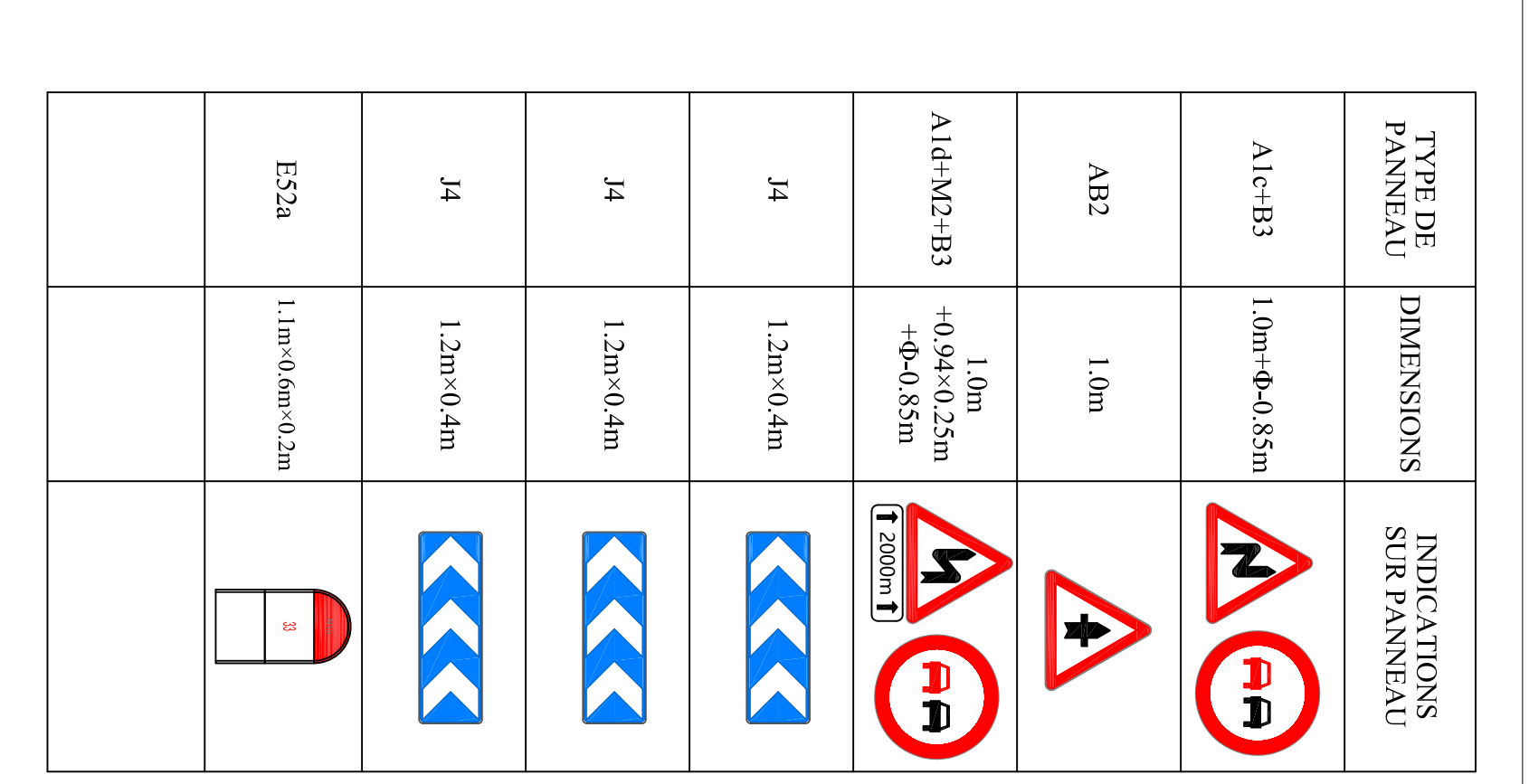
3.75m 3.75m

3.75m 3.75m



06/06/2019	Date
1:100	Echelle





Т2	T1	FLECHE DE RABATTEMENT	E52a	J4	M2	В3	AB2	Alc	TYPE DE PANNEAU
			88		1 2000m 1			3	Symbole
$409.80 \mathrm{m}^2$	63.74m²	$9.40\mathrm{m}^2$	2	3	1	2	1	2	Nbre

			LA LIGNE CONTINUE	Т3	TYPE DE PANNEAU
					Symbole
			49.80m²	$10.80 { m m}^2$	Nbre



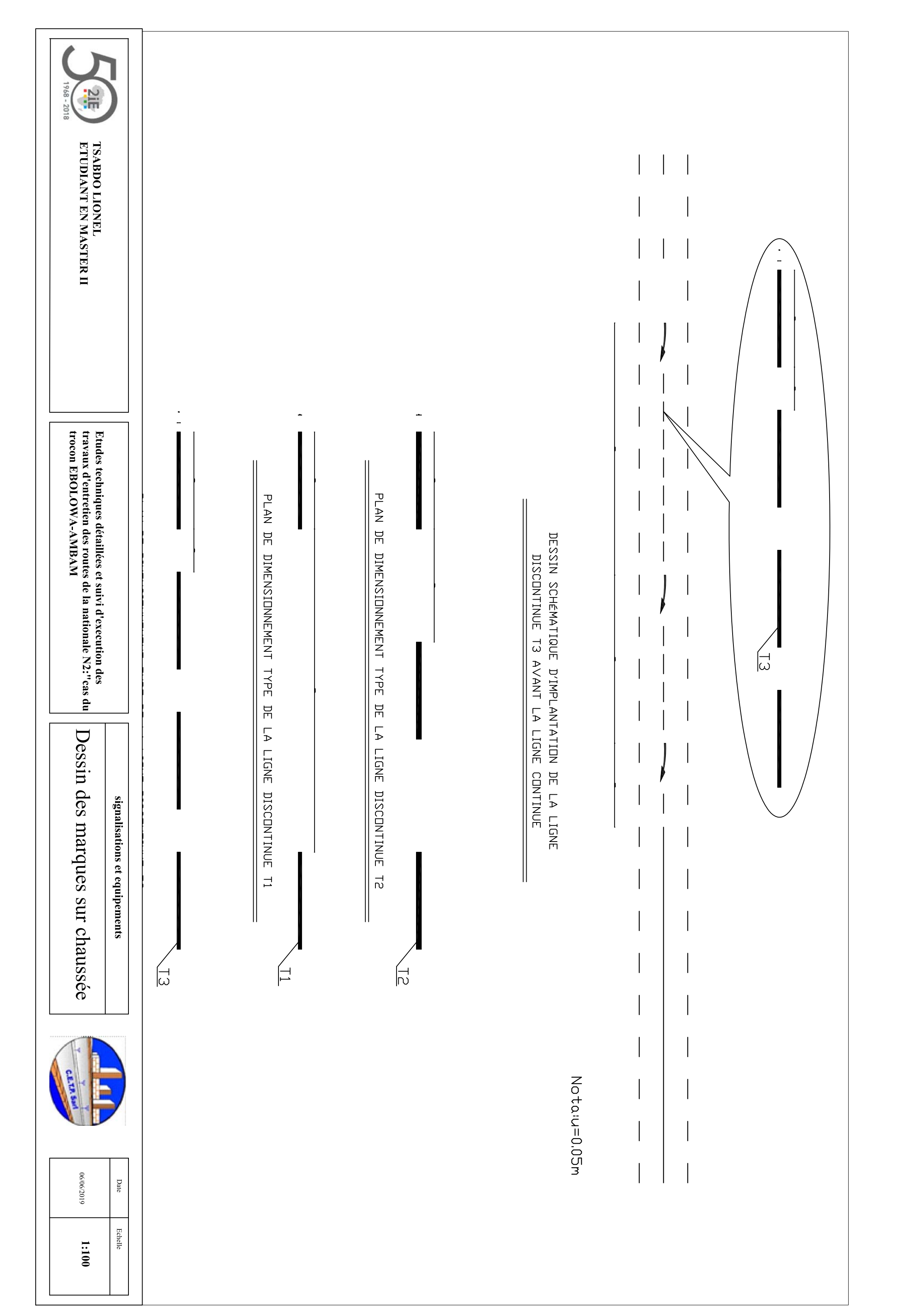
Etudes techniques détaillées et suivi d'execution des travaux d'entretien des routes de la nationale N2:"cas du trocon EBOLOWA-AMBAM

signalisations et equipements

Dessin des marques sur chaussée



06/06/2019	Date
1:100	Echelle







ANNEXES VII PRESENTATION D'UNE MÉTHODOLOGIE D'EXÉCUTION DES TRAVAUX

I. INSTALLATION DE CHANTIER

L'installation de chantier va consister pour l'essentiel, à la construction des baraquements de chantier, à l'amené des matériels et engins de chantier nécessaires pour l'exécution des travaux, au montage de la centrale à béton hydraulique et à béton bitumineux, aux travaux préparatoires (étude d'exécution, libération des emprises des travaux).

II. METHODOLOGIE D'EXECUTION DU CORPS DE CHAUSSEE ET MISE EN ŒUVRE DE LA COUCHE DE ROULEMENT

Une fois la couche de base réalisée, l'entreprise procédera à la mise en œuvre de la couche d'accrochage, suivie de l'exécution de la couche de roulement en béton bitumineux. Les aux accotements, ils seront en enduit superficiel bicouche

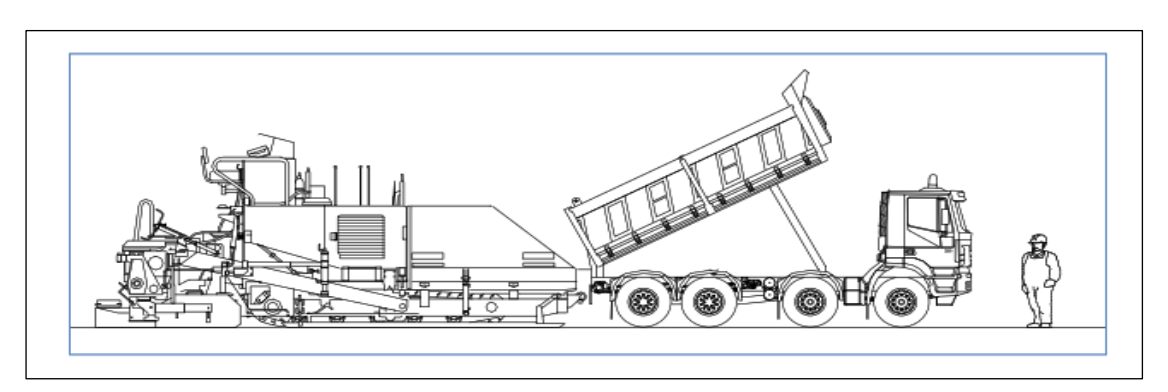


Figure 28: application de l'enrobé

III. METHODOLOGIE D'EXECUTION DU DALOT 2 x4 x3

Le dalot de franchissement sera construit suivant les étapes suivantes :

- Implantation du dalot par l'équipe de topographe ;
- Construction de déviation et terrassement généraux du site implanté ;
- Substitution du mauvais matériau en fondation ;
- Mise en place des coffrages, du ferraillage complet conformément à la note de calcul produite ;
- Aménagement du site en granulat et eau, puis coulage sur place du béton hydraulique à l'aide de bétonnière conformément à l'étude de formulation (utilisation d'adjuvants de prise rapide);





• Mise en place des remblais, stabilisation des talus avec péri-maçonnés, mise en place des équipements de sécurité.

IV. ENGINS ET OUTILLAGE DE CHANTIER

Afin de mener à bien l'exécution du projet, l'entreprise aura besoin au minimum des outillages et équipements essentiels suivants en propriété ou en location :

- 10 camions bennes;
- Quatre pelles hydrauliques ;
- Quatre chargeurs (bulldozers);
- Quatre compacteurs à bille ;
- Quatre niveleuses;
- Une centrale à béton hydraulique ;
- Une centrale de production d'enrobé;
- Deux camions toupies;
- Trois camions-citernes à eau ;
- Un finisher;
- Deux mini compacteurs;
- Deux dameuses manuelles.





ANNEXES VIII Avant Métré Et Estimation Des Coûts Du Projet.

Dans cette partie il sera question de mettre en lumière quelques sous détails des prix ayant conduit à la détermination du cout du projet à savoir

Tableau 63:sous détails de prix dalot 1,5×1m

			SOUS DET	AIL DE PE	RIX			
	DESIGNATION	N :			Dalot 1,	xl		
N. PRIX	Rendement journalier :		Quantité totale		Unité Dui		rée activité	
001		10.00	120.0		Fft	12	JOURS	
		CATEGORIE	salaire jo	ornalier	jour	s facturés	montant	
>	Manoeuvre		7,000		240.00		1,680,000.0	
E	Ouvrier spéciali	sé	15,000		60.00		900,000.0	
-	Chef Equipe		25,000		24.00		600,000.0	
	Conducteur des	travaux	60,000		12.00		720,000.0	
		TOTAL			A		3,900,000.0	
		TYPE	Taux journ.		JOURS FACTURES		MONTANT	
503	Bétonière		150,000		24.00		3,600,000.0	
z	camion grue		200,000		2.40		480,000.0	
-	citerne		200,000.0		2.40		480,000.0	
Ö	Compresseur et	vibreur	200,000.0		24.00		4,800,000.0	
E	Pick up		100,000		12.00		1,200,000.0	
		TOTAL		В				
		TYPE	Prix unitaires		Consom.		MONTANT	
-	Sable 0/5		10,000	f/m3	42,00		420,000.0	
24	Gaviers 5/15		25,000.00	f/m3	24.15		603,750.0	
[±]	Graviers 15/25		20,000	f/m3	38.85	700	777,000.0	
H	Ciment		100,000.00	f/t	37.00		3,700,000.0	
Ą	Acier 10mm		425,000.00	f/t	13.13		5,578,125.	
Z	Acier 12mm		435,000.00	f/t	26.25		11,418,750.	
	Coffrage		10,000.00	f/m²	317.00		3,170,000.	
	Déblai à méttre	en remblai	4,628.72	f/m3	360.00		1,666,339.	
	Remblai proven	ant d'emprunt	0.00	f/m3	180.00		0.0	
	petit matériel						100,000.	
	Débroussaillage	déviation	132.77	f/m2	105.00		13,941.0	
	Mise en forme d	le plateforme de déviation	1,175.71	f/m2	105.00		123,449.2	
		TOTAL			С		27,571,354.	
D	TOTAL COÛT	S DIRECTS	i				42,031,354.7	
E	Frais généraux d	le chantier			8.93%		3,754,109.	
F	Frais généraux d	le siège			5.19%		2,182,061.	
G	COÛT DE REV	IENT					47,967,525.	
Н	Risques + Bénéf	ices			15.00%		7,195,128.	
P	PRIX DE VENT	TE TOTAL HORS TAXES					55,162,654.	
v	PRIX DE VENT	TE UNITAIRE HORS TAXES					459,688.	





Tableau 64:sous détails de prix recalibrage cour d'eau

		SOUS DETA	AII. DE PRIX	
	DESIGNATION :	SOUS BEIL	Recalibrage du cour d'	eau
N. BRIX	Rendement journalier	Ouantité totale	Unité	Durée activité
001	50.00	1600.0	Fft	7.3 JOURS
	CATEGORIE	salaire journal	lier jours fa	turés montant
≃				
⊳	Manoeuvre	7,000	182.50	1,277,500.00
₽				
(±1	Ouvrier spécialisé	15,000	51.10	766,500.00
0				
-	Chef Equipe	25,000	7.30	182,500.00
Ω				
	Conducteur des travaux	60,000	7.30	
	TOTAL		A	2,664,500.00
	TYPE	Taux journ.	JOURS FACTUR	ES MONTANT
5/3				
z	camion 20 to	200,000	73.00	
-	Pelle hydraulique	200,000.0	29.20	5,840,000.00
O				
z				
[=]	Pick up	100,000	73.00	7,300,000.00
	TOTAL		В	27,740,000.00
	TYPE	Prix unitaires	Consom.	MONTANT
_				
~				
(±1)				
⊢				
₹				
×				
	Petit matériel			500,000.00
T0	TAL	С		500,000.00
D 10	TOTAL COÛTS DIRECT			30,904,500.00
E	Frais généraux de chantier		7.47%	
E	Frais generaux de chantier		7.47%	2,508,855.88
F	Frais généraux de siège		4.82%	
G	COÛT DE REVIENT			34,702,566.47
H	Risques + Bénéfices		15.00%	
P	PRIX DE VENTE TOTAI	L HORS TAXES		39,907,951.44
v		TRE HORA TATES		
V	PRIX DE VENTE UNITA	IKE HORS TAXES		24,942.47

Tableau 65:sous détails de prix couche de roulement

	DESIGNATION :	I	ETAIL DE	Couche de roulem	4 DD		
N. BBIX	Rendement journalier	Ouantité totale		Unité		Durée activité	
001	2.000.00	51660 0		Fft	75		
001						JOURS	
	CATEGORIE	salaire jou		jours fa		montant	
>	Manoeuvre	7,000		2,250.00		15,750,000.	
土	Ouvrier spécialisé	15,000		2,175.00		32,625,000.	
-	Chef Equipe	25,000		225.00		5,625,000.	
	Conducteur des travaux	60,000		75.00		4,500,000.	
	TOTAL			A		58,500,000.	
	TYPE	Taux journ.		JOURS FACTUR		MONTANT	
	Citeme à liant	200,000		150.00		30,000,000.	
	Balai mécanisé	200,000		75.00		15,000,000.	
	Centrale à enrobée	1,000,000		75.00		75,000,000.	
5/2	Finisher	700,000		150.00		105,000,000.	
Z	Compacteur double roulea	250,000		150.00		37,500,000.	
-	Compacteur pneu lisse	300,000.0		75.00		22,500,000.	
Ö	Camions 20t	200,000.0		450.00		90,000,000.	
Z	Citeme à eau	200,000		75.00		15,000,000.	
ഥ	Pick up	100,000		150.00		15,000,000.	
	TOTAL	В				405,000,000.	
	TYPE	Prix unitaires		Consom.		MONTANT	
_		TIE GIRGIE		Consoni			
02							
[22]							
	Sable 0/6	8,000.00	£/m2	1,084.86		8,678,880.	
≪	Gravier 6/10	25,000.00		1,498.14		37,453,500.	
>	Bitume 60/70	1,500,000.00		170.48		255,717,000.	
_	petit matériel	1,500,000.00	1/1	170.40		300,000.	
	Frais Divers					500,000.	
	TOTAL.			С		302,649,380.	
D	TOTAL COÛTS DIRECTS					766.149.380.	
E				0.000		, ,	
E	Frais généraux de chantier			8.93%	'	68,430,077.	
F	Frais généraux de siège			5.19%		39,774,712	
G	COÛT DE REVIENT					874,354,169	
Н	Risques + Bénéfices			15.00%		131,153,125	
P	PRIX DE VENTE TOTAL I	HORS TAXES				1,005,507,294.	
v	PRIX DE VENTE UNITAIR	E HORS TAXES				200,000.	





Tableau 66:sous détails de prix caniveaux bétonnés

		SOUS	S DETAIL DE PRIX			
	DESIGNATION:		Can	iveaux bétonnés		
N. BRIX	Rendement journalier	: Quantité totale		Unité	Du	rée activité
001	40.00	2613.0		Fft	65.33	JOURS
	CATEGORIE	8	alaire journalier	jours fa	cturés	montant
~						
>	Manoeuvre	7,000		1,306.60		9,146,200.0
Þ						
[±]	Ouvrier spécialisé	15,000		1,306.60		19,599,000.0
0						
-	Chef Equipe	25,000		130.66		3,266,500.
О						
	Conducteur des travau	x 60,000		65.33		3,919,800.0
	TOTAL		A			35,931,500.
	TYPE	Taux journ.		JOURS FACTURE	S	MONTANT
503	Bétonière	150,000		130.66		19,599,000.0
z	camion grue	200,000		13.07		2,613,200.0
-	citerne	200,000.0		13.07		2,613,200.
Ð	Compresseur et vibreu	r 200,000.0		65.33		13,066,000.
×						
[=]	Pick up	100,000		65.33		6,533,000.
		•				, ,
	TOTAL		В			44,424,400.0
	TYPE	Prix unitaires		Consom.		MONTANT
-	Sable 0/5	10.000	f/m3	376.40		3,764,000.
×	Gaviers 5/15	25,000.00	f/m3	216.43		5,410,750.
<u> </u>	Graviers 15/25	20,000	f/m3	348.17		6,963,400.
H	Ciment	100,000.00	f/t	330.00		33,000,000.0
¥	Acier 10mm	425,000.00	f/t	117.63		49,992,750.
Σ	Acier 12mm	435,000.00		235.25		102,333,750.
	Coffrage	10,000.00	f/m²	1,102.69		11,026,860.
	petit matériel	,		,		500,000.
	TOTAL		C			212,991,510.
D	TOTAL COÛTS DIR	ECTS				293,347,410.
Е	Frais généraux de char			7.47%		21,915,801.
_						,,
F	Frais généraux de siège	Frais généraux de siège				14.135.678.
G	COÛT DE REVIENT					329,398,889.
H	Risques + Bénéfices			15.00%		49,409,833.
P	PRIX DE VENTE TO	TAL HORS TAXES	3	22.50%		378,808,723
		THE RESERVE THE PERSON				270,000,723.
v	PRIX DE VENTE UN	TAIRE HORS TA	VEC			144,970.

Tableau 67: sous détails de prix fourniture et pose bordure T

	DESIGNATION:		Fou	rniture et pose	bordure Ta	
N. PRIX	Rendement journalier :	Quantité to	tale	Unité	D	trée activité
001	100.00	8610.0		Fft	86.1	JOURS
	CATEGORIE	salaire	journalier	jours fa	cturés	montant
>	Manoeuvre	7,000		1,722.00		12,054,000.0
[2]	Ouvrier spécialisé	15,000		344.40		5,166,000.0
-	Chef Equipe	25,000		172.20		4,305,000.0
	Conducteur des travau	60,000		86.10		5,166,000.0
	TOTAL			A		26,691,000.0
	TYPE	Taux journ.	J	OURS FACTUR	ES	MONTANT
∞	Bétonière	150,000		172.20		25,830,000.0
Z	camion grue	200,000		86.10		17,220,000.0
-	citeme	200,000.0		8.61		1,722,000.0
Ö	Compresseur et vibreur	200,000.0		86.10		17,220,000.0
Z						
田	Pick up	100,000		86.10		8,610,000.0
	TOTAL			В		70,602,000.0
	TYPE	Prix unitaire	S	Consom.		MONTANT
-	Sable	10,000	f/m3	129.20		1,292,000.0
	Gaviers	20,000.00	f/m3	258.40		5,168,000.0
[=]	Ciment	100,000	f/t	114.00		11,400,000.0
⊢	Coffrage	7,000.00	f/m ²	408.98		2,862,825.0
⋖						
Σ						
	petit matériel					100,000.0
	TOTAL			С		20,822,825.0
D	TOTAL COÛTS DIREC	CTS				118,115,825.0
E	Frais généraux de chan	tier		8.93%		10,549,737.7
F	Frais généraux de siège	5.19%			6,131,993.3	
G	COÛT DE REVIENT					134,797,556.1
H	Risques + Bénéfices			15.00%		20,219,633.4
P	PRIX DE VENTE TOTA	AL HORS TA	XES			155,017,189.5
v	PRIX DE VENTE UNIT	AIRE HORS	TAXES			25,000.0





Tableau 68: sous détails de prix avaloir

		SOUS	DETAIL DE PRIX			
	DESIGNATION:		Avaloir de liaison sou	trottoir avec	dallette	
N' PRIX	Rendement journalier	Quantité totale		Unité	Dur	rée activité
001	50.00	30.0		Fft	0.6	JOURS
	CATEGORIE	8	alaire journalier	jours fac	cturés	montant
Main d'œuvre	Manoeuvre	7,000		12.00		84,000.00
, <u>s</u>	Ouvrier spécialisé	15,000		3.00		45,000.00
ii.	Chef Equipe	25,000		1.20		30,000.00
Ma	Conducteur des travaux	60,000		0.60		36,000.00
	TOTAL		A			195,000.00
	TYPE	Taux journ.	JC	URS FACTURE	S	MONTANT
ton.	Bétonière	150,000		1.20		180,000.00
z	camion grue	200,000		0.12		24,000.00
-	citerne	200,000.0		0.12		24,000.00
Ď	Compresseur et vibreur	200,000.0		0.48		96,000.00
E	Pick up	100,000		0.60		60,000.00
	TOTAL		В			384,000.00
	TYPE	Prix unitaires		Consom.		MONTANT
-	Sable 0/5	10,000	f/m3	72.00		720,000.00
≃	Gaviers 5/15	25,000.00	f/m3	41.40		1,035,000.00
E	Graviers 15/25	20,000	f/m3	66.60		1,332,000.00
⊢	Ciment	100,000.00	f/t	63.00		6,300,000.00
M	Acier 12mm	435,000.00		67.50		29,362,500.00
	Coffrage	10,000.00	f/m²	3.60		36,000.00
	petit matériel					100,000.00
	TOTAL		C			38,885,500.00
D	TOTAL COÛTS DIRE	CTS				39,464,500.00
E	Frais généraux de chantier			7.47%		2,948,368.13
F	Frais généraux de siège			4.82%		1,901,695.59
G	COÛT DE REVIENT	COÛT DE REVIENT				44,314,563.72
H	Risques + Bénéfices	Risques + Bénéfices				6,647,184.56
P	PRIX DE VENTE TO	PRIX DE VENTE TOTAL HORS TAXES				50,961,748.28
V	PRIX DE VENTE UNI	TAIRE HORS TAI	XES			1,698,724.94





ANNEXES VIII: ETUDE D'IMPACT ENVIRONNEMENTALE ET SOCIALE

Tableau 69: Synthèse des mesures d'atténuation ou de bonification des impacts pendant la phase de construction

Milieu		Nature et	
Récepteur	Impacts potentiels	importance absolue	Mesures
			Baliser et respecter les emprises des aménagements ;
	Affectation de la quiétude de la faune et		 Faire circuler les engins sur les voies existantes et sensibiliser les travailleurs à la préservation
	microfaune	Négative et moyenne	de la faune ;
Faune	Risques d'accidents d'animaux	Négative et moyenne	Barricader le chantier dans les zones à risque (zone de passage du bétail, etc.)
			Remise en état des sites de prélèvements d'emprunts et carrières ;
	Destruction de la végétation et du	Négative et moyenne	Plantation des arbres le long des voies aménagées, sur les sites d'emprunts et carrières et
	couvert végétal		aux endroits d'occupations temporaires.
	Emission de vibration et de nuisance sonore	Négative et moyenne	Utiliser des engins neufs ou en bon état et procéder à une maintenance régulière
	Dégradation des terres, érosion et diminution		Faire circuler les engins et camions sur des voies existantes dans la mesure du possible lors d
	du coefficient d'infiltration des sols	Négative et majeure	travaux, transport des matériaux et emprunts vers le chantier
	Emission de poussières et de CO ₂ dans l'air	Négative et moyenne	Asperger d'eau les voies non bitumées où passent les camions et engins lors des travaux ;Couvrir les camions pendant le transport des matériaux et éviter le trop plein lors du transp
Sol et air			Utiliser des engins neufs ou en bon état avec du carburant de qualité lors des travaux ;
55. 57 dii	Emission de gaz à effet de serre	Négative et moyenne	Procéder à la maintenance régulière des engins





Tableau 70:Synthèse des mesures d'atténuation ou de bonification des impacts pendant la phase d'exploitation

Milieu		Nature et	
récepteur	Impacts potentiels	Importance absolue	Mesures
Santé et sécurité	Perturbation du trafic et risques d'accidents des usagers de la route Contamination aux IST, VIH/SIDA et contraction de maladies respiratoires	Négative et moyenne Négative et majeure	Implanter des panneaux de signalisation à des distances raisonnables des lieux de travaux Informer à travers les médias sur les lieux de travaux et sur les possibilités de déviation avant le démarrage des travaux Asperger d'eau les voies non bitumées où passent les camions et engins lors des travaux; Couvrir les camions pendant le transport des matériaux et éviter le trop plein lors du transport
	Contraction de maladies hydriques par les <u>ouvriers</u> lors des travaux	Négative et mineure	Porter des équipements de protection pendant les travaux
	Création d'emplois directs et indirects	Positive et moyenne	Prioriser l'emploi des affectés en cas de besoin d'ouvriers

Milieu		Nature	
Récepteur	Impacts potentiels	et Importance	Mesures
Faune	Accidents des animaux	Négative et moyenne	Positionner des panneaux routiers aux endroits à risques (lieux fréquentés par les animaux) afin de permettre le ralentissement les véhicules
Sol et air	Réduction substantielle de poussières	Positive et majeure	Asperger d'eau avant chaque balayage (entretien)
	Réduction du nombre d'accidents	Positive et majeure	Réguler la circulation par la présence des agents de
Emploi et économie	Réduction du temps moyen de circulation et de la	Positive et majeure	
	Facilitation des échanges commerciaux	Positive et majeure	Réguler la circulation
Société et culture	Perturbation de certaines habitudes de	Négative et	Réguler la circulation
	voisinage	moyenne	_